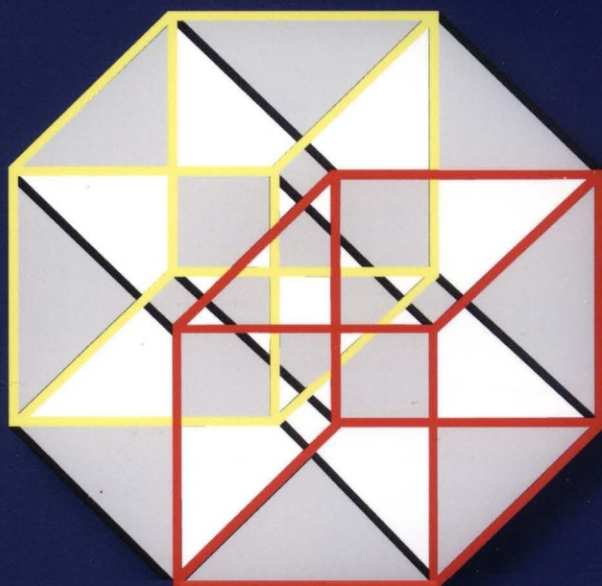


Пятое издание

Введение в

ТЕОРИЮ ГРАФОВ

Робин Уилсон



Введение
в **ТЕОРИЮ ГРАФОВ**

Introduction to **GRAPH THEORY**

Fifth Edition

Robin J. Wilson

Prentice Hall Life
is an imprint of

PEARSON

Harlow, England • London • New York • Boston • San Francisco • Toronto
Sydney • Tokyo • Singapore • Hong Kong • Seoul • Taipei • New Delhi
Cape Town • Madrid • Mexico City • Amsterdam • Munich • Paris • Milan

Введение в **ТЕОРИЮ ГРАФОВ**

Пятое издание

Робин Уилсон



Москва · Санкт-Петербург
2019

ББК 22.174.2
У36
УДК 519.17(075.8)

ООО “Диалектика”

Зав. редакцией *С.И. Тригуб*

Перевод с английского и редакция канд. техн. наук *И.В. Красикова*

По общим вопросам обращайтесь в издательство “Диалектика” по адресу:

info@dialektika.com, http://www.dialektika.com

Уилсон, Робин Дж.

У36 Введение в теорию графов, 5-е изд. : Пер. с англ. — СПб. : ООО “Диалектика”, 2019. — 240 с. : ил. — Парал. тит. англ.

ISBN 978-5-907144-75-0 (рус.)

ББК 22.174.2

Все названия программных продуктов являются зарегистрированными торговыми марками соответствующих фирм.

Никакая часть настоящего издания ни в каких целях не может быть воспроизведена в какой бы то ни было форме и какими бы то ни было средствами, будь то электронные или механические, включая фотокопирование и запись на магнитный носитель, если на это нет письменного разрешения издательства Pearson Education Europe.

Copyright © 2019 by Dialektika Computer Publishing Ltd.

Authorized translation from the English language edition of *Introduction to Graph Theory, 5th Edition* (ISBN 978-0-273-72889-4) published by Prentice Hall, Copyright © Robin Wilson 1972, 2010.

This translation is published and sold by permission of Pearson Education Europe, Inc., which owns or controls all rights to sell the same.

All rights reserved. No part of this book may be reproduced or transmitted in any form or by any means, electronic or mechanical, including photocopying, recording, or by any information storage or retrieval system, without the prior written permission of the copyright owner and the Publisher.

Научно-популярное издание

Робин Дж. Уилсон

Введение в теорию графов, 5-е издание

Подписано в печать 12.09.2019.
Формат 70x100/16. Гарнитура Times.
Усл. печ. л. 15,0. Уч.-изд. л. 10,4.
Тираж 500 экз. Заказ № 7588.

Отпечатано в АО “Первая Образцовая типография”

Филиал “Чеховский Печатный Двор”

142300, Московская область, г. Чехов, ул. Полиграфистов, д. 1
Сайт: www.chpd.ru, E-mail: sales@chpd.ru, тел. 8 (499) 270-73-59

ООО “Диалектика”, 195027, Санкт-Петербург, Магнитогорская ул., д. 30, лит. А, пом. 848

ISBN 978-5-907144-75-0 (рус.)
ISBN 978-0-273-72889-4 (англ.)

© ООО “Диалектика”, 2019
© Robin Wilson 1972, 2010, 2013

Оглавление

Предисловие	10
Введение	12
Глава 1. Определения и примеры	21
Глава 2. Пути и циклы	50
Глава 3. Деревья	86
Глава 4. Планарность	111
Глава 5. Раскраска графов	137
Глава 6. Паросочетания, свадьбы и теорема Менгера	171
Глава 7. Матроиды	193
Приложение 1. Алгоритмы	209
Приложение 2. Количества графов	213
Условные обозначения	214
Список литературы	215
Решения к избранным упражнениям	218
Предметный указатель	236

Содержание

Предисловие	10
Введение	12
Что такое граф	12
Упражнения	18
Глава 1. Определения и примеры	21
1.1. Определения	21
Изоморфизм	22
Связные графы	24
Смежность и степени	26
Подграфы	27
Дополнение простого графа	28
Матричное представление	29
Упражнения	30
1.2. Примеры	33
Нулевой граф	33
Полные графы	34
Циклические графы, цепи и колеса	34
Регулярные графы	34
Платоновы графы	35
Двудольные графы	35
Кубы	36
Упражнения	37
1.3. Вариации на тему графов	38
Орграфы	38
Бесконечные графы	40
Упражнения	42
1.4. Три головоломки	43
Задача о восьми кругах	43
Шесть человек на вечеринке	44
Задача о четырех кубиках	45
Упражнения	47
Проблемы	48

Глава 2. Пути и циклы	50
2.1. Связность графов	50
Связность	53
Ориентированные графы	55
Бесконечные графы	58
Упражнения	58
2.2. Эйлеровы графы и орграфы	60
Эйлеровы графы	61
Эйлеровы орграфы	64
Бесконечные эйлеровы графы	65
Упражнения	66
2.3. Гамильтоновы графы и орграфы	68
Гамильтоновы орграфы	70
Упражнения	73
2.4. Приложения	74
Задача о кратчайшем пути	75
Задача о критическом пути	77
Задача китайского почтальона	79
Задача коммивояжера	81
Упражнения	82
Проблемы	84
Глава 3. Деревья	86
3.1. Свойства деревьев	86
Упражнения	90
3.2. Перечисление деревьев	91
Подсчет химических молекул	91
Подсчет маркированных деревьев	93
Упражнения	97
3.3. Другие приложения	98
Задача о минимальном остовном дереве	98
Деревья поиска	100
Скрепление прямоугольных каркасов	102
Электрические цепи	104
Упражнения	106
Проблемы	109
Глава 4. Планарность	111
4.1. Планарные графы	111
Теорема Куратовского	114
Бесконечные планарные графы	116
Упражнения	117

4.2. Формула Эйлера	119
Упражнения	123
4.3. Дуальные графы	125
Упражнения	130
4.4. Графы на других поверхностях	131
Упражнения	134
Проблемы	135
Глава 5. Раскраска графов	137
5.1. Раскраска вершин	137
Теорема Брукса	138
Раскраска планарных графов	141
Упражнения	144
5.2. Хроматические полиномы	145
Упражнения	149
5.3. Раскраска карт	150
Упражнения	155
5.4. Теорема о четырех красках	156
Неизбежное множество	157
Сводимые конфигурации	159
5.5. Раскраска ребер	164
Теорема Кёнига	167
Упражнения	168
Проблемы	169
Глава 6. Паросочетания, свадьбы и теорема Менгера	171
6.1. Теорема Холла “о свадьбах”	171
Теория трансверселей	174
Упражнения	176
6.2. Теорема Менгера	178
Упражнения	184
6.3. Сетевые потоки	184
Упражнения	189
Проблемы	191
Глава 7. Матроиды	193
7.1. Введение в матроиды	193
Упражнения	197
7.2. Примеры матроидов	198
Тривиальные матроиды	198
Дискретные матроиды	198

Однородные матроиды	198
Графические матроиды	198
Кографические матроиды	199
Планарные матроиды	199
Двудольные и эйлеровы матроиды	199
Представимые матроиды	200
Трансверсальные матроиды	200
Матроид Фано	201
Ограничения и сужения	202
Упражнения	202
7.3. Матроиды и графы	203
Дуальность матроидов	203
Циклы и разрезы	204
Планарные графы	206
Графические матроиды	206
Упражнения	207
Проблемы	208
Приложение 1. Алгоритмы	209
Приложение 2. Количества графов	213
Условные обозначения	214
Список литературы	215
Решения к избранным упражнениям	218
Введение	218
Глава 1, “Определения и примеры”	218
Глава 2, “Пути и циклы”	222
Глава 3, “Деревья”	223
Глава 4, “Планарность”	226
Глава 5, “Раскраска графов”	229
Глава 6, “Паросочетания, свадьбы и теорема Менгера”	231
Глава 7, “Матроиды”	233
Предметный указатель	236

Предисловие

*“Вперед, моя книга, в дорогу!
Вперед, добрым людям на радость!”*

Уильям Вордсворт (William Wordsworth)

В последние несколько лет теория графов стала важнейшим математическим инструментом, широко используемым во многих областях науки, от исследования операций и химии до генетики и лингвистики и от информатики и географии до социологии и архитектуры. В то же самое время она выросла в самостоятельную математическую дисциплину.

В связи с этим возникла необходимость в небольшом вводном курсе, полезном и для математиков, начинающих изучать теорию графов, и для неспециалистов, стремящихся как можно быстрее овладеть предметом. Надеюсь, что эта книга стала шагом в нужном направлении. Для ее понимания требуется только знание элементарной теории множеств и теории матриц, хотя для некоторых из более сложных упражнений необходимы дополнительные знания абстрактной алгебры и топологии.

По содержанию книгу удобно разделить на четыре части. В первой части (главы 1–3) заложен фундамент курса и представлены определения и примеры графов и ориентированных графов, а также такие темы, как связность, эйлеровы и гамильтоновы цепи и циклы и деревья. Затем следуют две главы, посвященные планарности и раскрашиванию, в которых особенно выделены вопросы, связанные с теоремой четырех красок. Третья часть (глава 6) посвящена теории трансверсальности и связности с приложениями к сетевым потокам. Книга заканчивается главой о матроидах (глава 7), которая связывает воедино материал предыдущих глав и знакомит с некоторыми недавними работками.

На протяжении всей книги я пытался ограничить текст основным материалом. Одни из 300 упражнений являются обычными примерами, предназначенными для проверки понимания текста, другие же знакомят с новыми результатами и идеями. Вы должны прочитать каждое упражнение независимо от того, выполняете ли вы его подробно, так как на некоторые из них имеются ссылки далее в книге. Решения даны не ко всем упражнениям; упражнения с решениями обозначены символом ^s рядом с номером упражнения. Более сложные упражнения (именуемые проблемами) приводятся в конце каждой главы.

Для указания окончания доказательства я использую символ ■, а для определений используется полужирный шрифт. Количество элементов множества S обозначается как $|S|$, а пустое множество — как \emptyset .

В это издание внесено значительное количество изменений. Текст тщательно пересмотрен, а несколько разделов переставлены и перенумерованы. Добавлен новый материал (в частности, теорема о четырех красках и алгоритмы), некоторый материал был удален. Несколько дальнейших изменений явились результатом комментариев ряда людей, и я хотел бы поблагодарить их за полезные замечания.

Наконец, я хотел бы выразить свою благодарность моим бывшим ученикам, которым эта книга была знакома заранее, Уильяму Шекспиру и другим за их меткие и остроумные эпиграфы в начале каждой главы, и прежде всего моей жене Джой за многие вещи, которые не имеют ничего общего с теорией графов.

R.J.W.

Ноябрь 2009 года

Введение

“Последнее, что понимаешь, когда пишешь книгу, — это с чего ее следует начать”.

Блез Паскаль (Blaise Pascal)

В этой вводной главе мы хотим заложить интуитивно понятные основы того материала, который в последующих главах будет описан более формально. Ко всем выделенным полужирным шрифтом терминам следует относиться скорее как к описаниям, а не как к определениям, чтобы, познакомившись с ними неформально, узнавать их и в более формальном окружении. Так что быстро прочтите эту главу, а потом забудьте о ней!

Что такое граф

Рассмотрим сначала рис. 0.1 и 0.2, на которых изображены часть дорожной карты и участок электрической цепи соответственно.

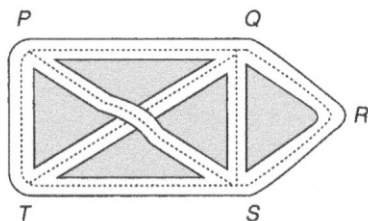


Рис. 0.1

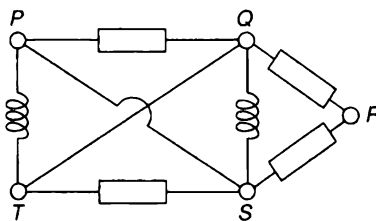


Рис. 0.2

Ясно, что обе ситуации могут быть представлены одной и той же диаграммой из точек и линий, изображенной на рис. 0.3. Точки P , Q , R , S и T называются **вершинами** (vertex), линии называются **ребрами** (edge), а вся диаграмма называется **графом** (graph). (Заметим, что точка пересечения линий PS и QT не относится к вершинам графа, так как она не является ни перекрестком дорог, ни пересечением проводов.) **Степенью** (degree) вершины называется число ребер, концом которых является эта вершина; на рис. 0.1 это соответствует числу пересекающихся в точке дорог; так, степень вершины Q равна 4.

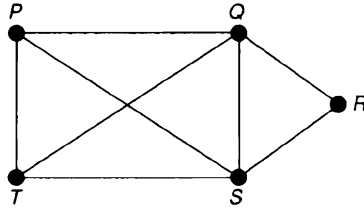


Рис. 0.3

Граф, изображенный на рис. 0.3, может представлять и другие ситуации. Например, если обозначить через P , Q , R , S и T футбольные команды, то наличие ребра между двумя вершинами можно трактовать как состоявшуюся встречу двух соответствующих команд. Так, согласно рис. 0.3 команда P уже сыграла с Q , S и T , но еще не сыграла с R . В этом представлении степень вершины представляет собой количество игр, сыгранных командой.

Другой способ представления этих ситуаций показан на рис. 0.4. Здесь мы удалили “пересечение” линий PS и QT , перерисовав линию PS вне прямоугольника $PQST$. Полученный граф все еще информирует нас о том, существует ли прямая дорога от одного перекрестка к другому, как подключена электрическая цепь и какие футбольные команды сыграли с какими другими командами. Единственная информация, которую мы потеряли, касается “метрических” свойств, таких как длина дороги и прямолинейность провода.

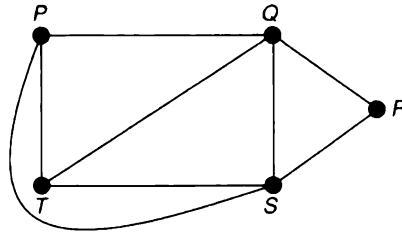


Рис. 0.4

Таким образом, граф является представлением множества точек и способа их соединения, и любые метрические свойства графа значения не имеют. С этой точки зрения любые графы, которые представляют одинаковую ситуацию (такие, как графы на рис. 0.3 и 0.4), рассматриваются как один и тот же граф.

В более общем смысле два графа одинаковы, если две вершины соединены ребром в одном графе тогда и только тогда, когда соответствующие вершины соединены ребром в другом. Еще один граф, такой же, как на рис. 0.3 и 0.4, показан на рис. 0.5. Здесь полностью исчезло все представление о пространстве и расстоянии, но мы все еще можем сразу определить, какие точки соединены дорогой или проводом.

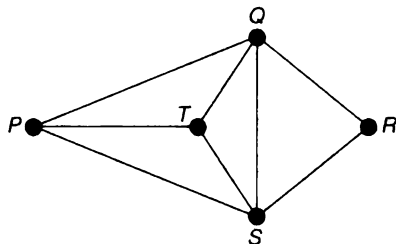


Рис. 0.5

В этом графе имеется не более одного ребра, соединяющего каждую пару вершин. Предположим теперь, что на рис. 0.5 дороги, соединяющие Q и S , а также S и T , имеют слишком большое движение. В таком случае мы можем облегчить ситуацию, построив дополнительные дороги, соединяющие эти точки, и полученная диаграмма принимает вид, показанный на рис. 0.6. Ребра, соединяющие Q и S , или S и T , называются **кратными ребрами** (multiple edges). Если, кроме того, нам нужна автостоянка в узле P , то мы указываем этот факт, изображая ребро от P к самой этой точке, именуемое **петлей** (loop) (рис. 0.7). В этой книге графы могут содержать петли и кратные ребра; графы без петель или кратных ребер, такие как граф на рис. 0.5, называются **простыми графами** (simple graph).

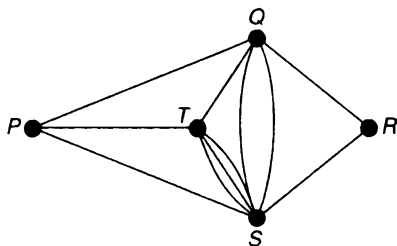


Рис. 0.6

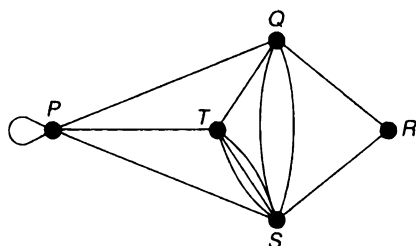


Рис. 0.7

Изучение **ориентированных графов** (directed graph) (или, сокращенно, **орграфов** (digraph)) возникает при превращении дорог в улицы с односторонним движением. Пример ориентированного графа приведен на рис. 0.8, где направления улиц с односторонним движением указаны стрелками; такое “направленное ребро” называется **дугой**. (В этом примере в T начнется хаос, но это не мешает нам изучать такие ситуации!)

Большая часть теории графов посвящена “маршрутам” различного рода. **Маршрут** (walk) — это “способ перехода из одной вершины в другую” в графе или ориентированном графе, состоящий из последовательности ребер или

дуг, следующих одна за другой. Например, на рис. 0.5 $P \rightarrow Q \rightarrow R$ — это маршрут длиной 2, а $P \rightarrow S \rightarrow Q \rightarrow T \rightarrow S \rightarrow R$ — это маршрут длиной 5. Маршрут, в котором ни одна вершина не появляется более одного раза, называется **путем** (path); например, $P \rightarrow T \rightarrow S \rightarrow R$ является путем. Маршрут вида $Q \rightarrow S \rightarrow T \rightarrow Q$, в котором ни одна вершина не появляется более одного раза, за исключением совпадающих начальной и конечной вершин, называется **циклом** (cycle).

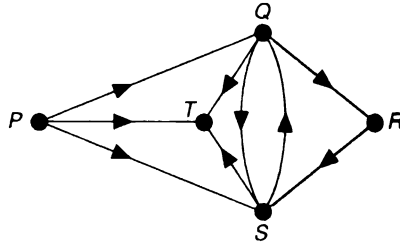


Рис. 0.8

В главе 2, “Пути и циклы”, мы рассмотрим также маршруты с некоторыми дополнительными свойствами. В частности, мы рассмотрим графы и ориентированные графы, содержащие маршруты, включающие каждое ребро графа ровно один раз и заканчивающиеся в начальной вершине; такие графы и ориентированные графы называются **эйлеровыми**. Граф на рис. 0.5 не является эйлеровым, так как любой маршрут, включающий каждое ребро ровно один раз (например, $P \rightarrow Q \rightarrow R \rightarrow S \rightarrow T \rightarrow P \rightarrow S \rightarrow Q \rightarrow T$), должен заканчиваться вершиной, отличной от начальной. Мы также рассмотрим графы и орграфы, содержащие циклы, которые проходят через каждую вершину; они называются **гамильтоновыми**. Например, граф на рис. 0.5 — гамильтонов; подходящим циклом является $P \rightarrow Q \rightarrow R \rightarrow S \rightarrow T \rightarrow P$.

Некоторые графы или ориентированные графы состоят из двух или более частей. Например, рассмотрим граф, вершинами которого являются станции лондонского и нью-йоркского метро, а ребрами — линии, соединяющие соседние станции. Совершенно невозможно проехать от Трафальгарской площади до Центрального вокзала Нью-Йорка, используя только ребра этого графа. Но если мы ограничимся только частью графа, соответствующей лондонскому метро, то сможем добраться с любой станции на любую другую. Граф или орграф, собранный “в одно целое” так, что любые две вершины соединены некоторым путем, является **связным** (connected); граф или орграф, состоящий из нескольких частей, является несвязным (disconnected) (рис. 0.9). Мы обсуждаем связность в главах 1, “Определения и примеры”, 2, “Пути и циклы”, и 6, “Паросочетания, свадьбы и теорема Менгера”.

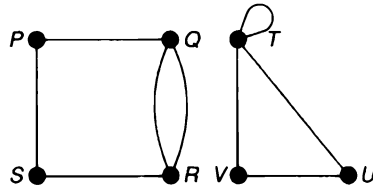


Рис. 0.9

Иногда нас интересуют связные графы с единственным путем между каждой парой вершин. Такие графы не содержат циклов и называются **деревьями** (tree) (рис. 0.10). Они обобщают идею генеалогического дерева и рассматриваются в главе 3, “Деревья”.

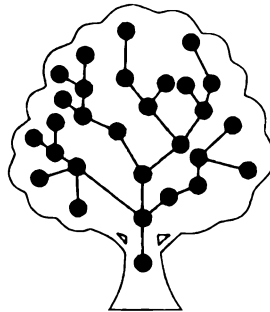


Рис. 0.10

Ранее мы видели, что можно перерисовать граф на рис. 0.3 так, как показано на рис. 0.4 и 0.5, чтобы избежать пересечений ребер. Любой граф, который можно перерисовать таким способом без пересечений, называется **планарным графом** (planar graph). В главе 4, “Планарность”, мы дадим несколько критериев планарности. Одни из них включают свойства определенных “подграфов” рассматриваемого графа; другие включают фундаментальное понятие дуальности.

Планарные графы также играют важную роль в задачах раскраски. Предположим, что на нашем графе “дорожной карты” компании Shell, Esso, BP и Gulf хотят установить пять заправок в вершинах и что по экономическим причинам ни одна компания не хочет устанавливать две заправки в соседних вершинах. Тогда Shell может построить заправку в P , Esso может построить заправку в Q , BP — в S , а Gulf — в T , после чего в R заправку сможет построить либо Shell, либо Gulf (рис. 0.11). Однако если Gulf выйдет из соглашения, то остальные три компании не смогут установить свои заправки при указанном ограничении.

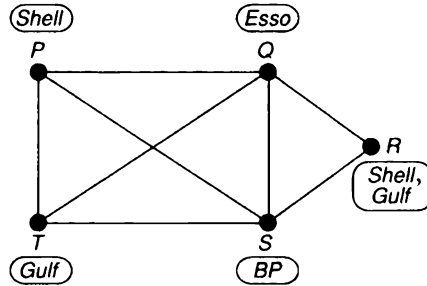


Рис. 0.11

Мы рассматриваем такие задачи в главе 5, “Раскраска графов”, где пытаемся раскрасить вершины простого графа с помощью заданного количества цветов так, чтобы каждое ребро графа соединяло вершины разных цветов. Если граф планарный, то мы всегда можем раскрасить его вершины четырьмя цветами — в этом и заключается знаменитая **теорема четырех красок**. Другая версия этой теоремы заключается в том, что мы всегда можем раскрасить страны на любой карте четырьмя цветами так, чтобы никакие две соседние страны не имели одинаковый цвет (рис. 0.12).

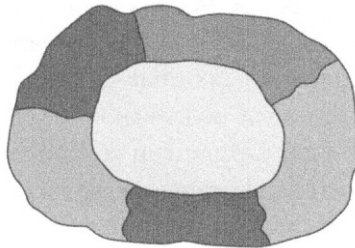


Рис. 0.12

В главе 6, “Паросочетания, свадьбы и теорема Менгера”, мы исследуем знаменитую **задачу о свадьбах**, в которой спрашивается, при каких условиях девушки, каждая из которых знакома с несколькими юношами, могут выйти замуж так, что каждая девушка выходит за знакомого ей юношу. Эта задача легко формулируется на языке ветви теории множеств, называемой “теорией трансверсалей”, и связана с проблемами поиска непересекающихся путей, соединяющих две заданные вершины в графе или орграфе.

Заканчивается глава 6 обсуждением сетевых потоков и транспортных задач. Предположим, что есть транспортная сеть, подобная показанной на рис. 0.13, в которой P — это фабрика, R — рынок, а ребра графа — каналы, по которым можно отправлять товары. Каждый канал имеет емкость, указанную числом рядом с ребром и представляющую собой максимальное количество товара, которое может пройти через этот канал. Задача состоит в том, чтобы определить,

сколько товара можно отправить с завода на рынок, не превысив пропускную способность ни одного канала.

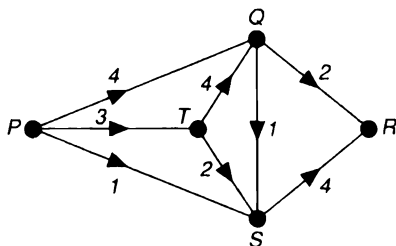


Рис. 0.13

Заканчивается книга главой по теории матроидов. Эта глава была задумана для того, чтобы связать воедино материал предыдущих глав и чтобы следовать максиме “Мудрым будь — обобщить не забудь!” На самом деле теория матроидов есть просто-напросто учение о множествах с определенными на них “структурами независимости”, обобщающими не только свойства линейной независимости в векторных пространствах, но и некоторые результаты теории графов и трансверсалей, описанные в этой книге. Однако, как мы увидим, теория матроидов далека от “обобщения ради обобщения”; напротив, она позволяет глубже проникнуть в суть некоторых задач теории графов, включая циклы и планарные графы, а в своих приложениях дает простые доказательства результатов из теории трансверсалей, которые плохо поддаются более традиционным методам. Матроиды сыграли важную роль в развитии комбинаторики в последние годы.

Надеемся, что эта вступительная глава оказалась полезной нашим читателям и тем, что ввела их в курс дела, и тем, что предложила им описание понятий, которые встретятся в дальнейшем. Приступим теперь к формальному изложению рассматриваемого предмета.

Упражнения

0.1⁵ Укажите количество вершин, ребер и степень каждой вершины в

- 1) графе на рис. 0.3;
- 2) дереве на рис. 0.14.

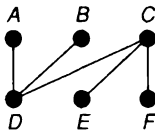


Рис. 0.14

0.2. Начертите граф, представляющий дорожную систему, показанную на рис. 0.15, и укажите количество вершин, ребер и степень каждой вершины.

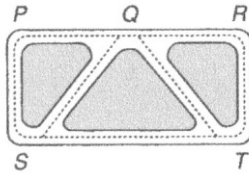


Рис. 0.15

0.3: На рис. 0.16 показаны молекулы метана (CH_4) и пропана (C_3H_8).

- 1) Рассматривая эти диаграммы как деревья, что вы можете сказать о вершинах, представляющих атомы углерода (C) и водорода (H)?
- 2) Изобразите дерево, представляющее молекулу с формулой C_2H_6 (этан).
- 3) Имеется две разные химические молекулы с формулой C_4H_{10} . Изобразите деревья, представляющие эти молекулы.

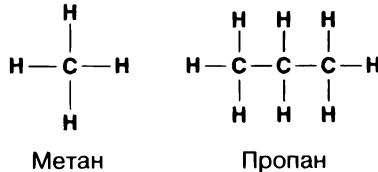


Рис. 0.16

0.4. Изобразите граф, представляющий генеалогическое дерево на рис. 0.17.

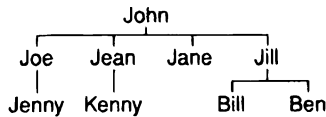


Рис. 0.17

- 0.5: Джоону нравятся Джоан, Джин и Джейн; Джоо нравятся Джейн и Джоан; Джин и Джоан нравятся друг другу. Нарисуйте ориентированный граф, иллюстрирующий отношения между Джоном, Джоан, Джин, Джейн и Джоо.
- 0.6. Змеи едят лягушек, а птицы едят пауков; птицы и пауки питаются насекомыми; лягушки едят улиток, пауков и насекомых. Изобразите ориентированный граф, представляющий это пищевое поведение.

0.7. Нарисуйте граф с вершинами A, B, \dots, M , демонстрирующий различные маршруты, по которым можно гулять в Хэмптон-кортском лабиринте (рис. 0.18).

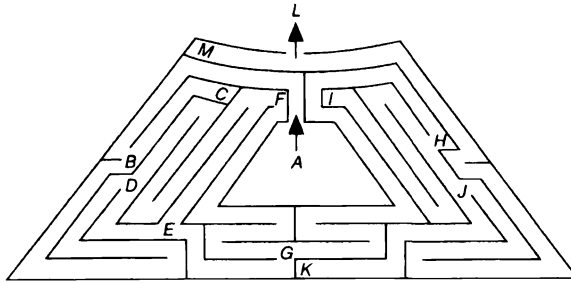


Рис. 0.18

Определения и примеры

“Ненавижу определения!”

Бенджамин Дизраэли (Benjamin Disraeli)

В этой главе закладывается фундамент теории графов. В разделе 1.1 формализованы некоторые идеи из введения, в разделе 1.2 представлены различные примеры, а в разделе 1.3 — две вариации основной идеи. В разделе 1.4 показано, как графы могут использоваться для представления и решения трех задач занимательной математики. Более существенные приложения откладываются до глав 2, “Пути и циклы”, и 3, “Деревья”, когда в нашем распоряжении будет больше технических средств.

1.1. Определения

Простой граф (simple graph) G состоит из непустого конечного множества $V(G)$ элементов, именуемых **вершинами** (vertices) (или **узлами** (node) или **точками** (points)), и конечного множества $E(G)$ различных неупорядоченных пар различных элементов $V(G)$, именуемых **ребрами** (edges) (или **линиями** (lines)). $V(G)$ называется **множеством вершин**, а $E(G)$ — **множеством ребер** графа G . Ребро $\{v, w\}$ **соединяет** (join) вершины v и w и часто записывается как vw . Например, на рис. 1.1 представлен простой граф G , множество вершин $V(G)$ которого имеет вид $\{u, v, w, z\}$, а множество ребер $E(G)$ состоит из ребер uv , uw , vw и wz . В любом простом графе имеется не более одного ребра, соединяющего данную пару вершин. Однако многие результаты для простых графов справедливы и для более общих объектов, в которых две вершины могут соединяться несколькими ребрами; такие ребра называются **кратными ребрами** (multiple edges). Кроме того, можно убрать ограничение, согласно которому ребро должно соединять две *разные* вершины, и разрешить существование **петель** (loop) — ребер, соединяющих вершину с самой собой. Получаемый в результате объект с разрешенными циклами и кратными ребрами называется **обобщенным графом** (general graph) или просто **графом** (рис. 1.2). Обратите внимание, что каждый простой граф является графом, но не каждый граф является простым.

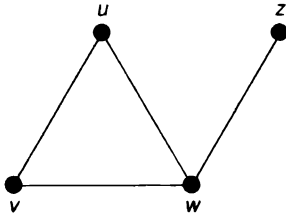


Рис. 1.1

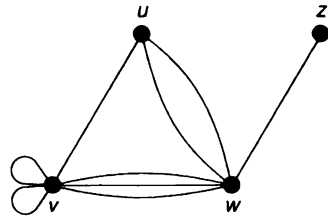


Рис. 1.2

Таким образом, **граф** G состоит из непустого конечного множества $V(G)$ элементов, называемых **вершинами**, и конечного семейства $E(G)$ неупорядоченных пар (не обязательно различных) элементов из $V(G)$, именуемых ребрами; использование слова “семейство” допускает существование кратных ребер. Мы называем $V(G)$ **множеством вершин**, а $E(G)$ — **семейством ребер** графа G . Говорят, что ребро $\{v, w\}$ **соединяет** вершины v и w (и сокращенно записывается как vw). Таким образом, на рис. 1.2 $V(G)$ — это множество $\{u, v, w, z\}$, а $E(G)$ состоит из ребер uv , vw (дважды), wv (трижды), iw (дважды) и wz . Обратите внимание, что каждая петля vv соединяет вершину v с собой. Хотя иногда нам нужно ограничивать наше внимание простыми графами, мы будем доказывать наши результаты для обобщенных графов всегда, когда это возможно.

Примечание. Язык теории графов не является стандартным — многие авторы имеют собственную терминологию. Одни используют термин “граф” для того, что мы называем простым графом, в то время как другие используют его для графов с направленными ребрами или для графов с бесконечным числом вершин или ребер; эти вариации будут рассмотрены в разделе 1.3. Любое такое определение совершенно верно при условии последовательного использования. В нашей книге

все графы являются конечными и неориентированными, с разрешенными петлями и кратными ребрами, если только явно не оговорено иное.

Изоморфизм

Два графа, G_1 и G_2 , **изоморфны** (isomorphic), если существует взаимно однозначное соответствие между вершинами G_1 и вершинами G_2 , такое, что число ребер, соединяющих любые две вершины G_1 , равно числу ребер, соединяющих соответствующие вершины G_2 . Например, два графа на рис. 1.3 изоморфны в силу соответствия

$$u \leftrightarrow l, v \leftrightarrow m, w \leftrightarrow n, x \leftrightarrow p, y \leftrightarrow q, z \leftrightarrow r.$$

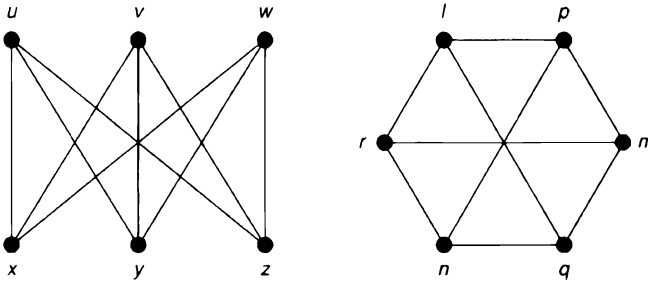


Рис. 1.3

Для многих задач метки вершин не нужны, и мы их отбрасываем. В таком случае мы говорим, что два “немаркированных графа” изоморфны, если мы можем назначить метки их вершинам так, чтобы результирующие “маркированные графы” были изоморфными. Например, мы рассматриваем немаркированные графы на рис. 1.4 как изоморфные, поскольку маркированные графы на рис. 1.3 изоморфны.

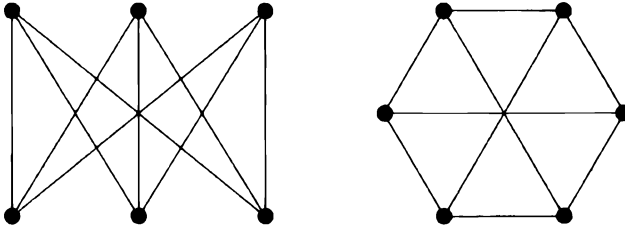


Рис. 1.4

Разница между маркированными и немаркированными графами становится более очевидной, когда мы пытаемся их подсчитать. Например, если мы ограничимся графами с тремя вершинами, то существует восемь различных маркированных графов (рис. 1.5), но только четыре немаркированных (рис. 1.6). Из контекста обычно ясно, имеем ли мы в виду маркированные или немаркированные графы.

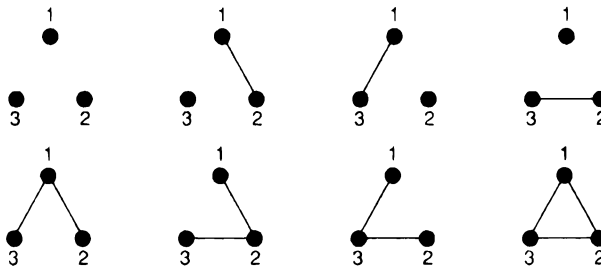


Рис. 1.5

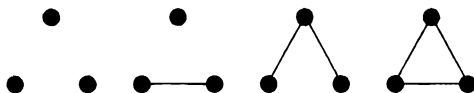


Рис. 1.6

Связные графы

Мы можем объединить два графа, чтобы создать больший граф. Если эти два графа — G_1 и G_2 и их множества вершин $V(G_1)$ и $V(G_2)$ не пересекаются, то объединение $G_1 \cup G_2$ является графом с множеством вершин $V(G_1) \cup V(G_2)$ и семейством ребер $E(G_1) \cup E(G_2)$ (рис. 1.7).

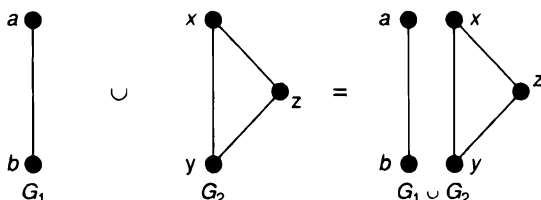


Рис. 1.7

Большинство рассматривавшихся до сих пор графов были в виде “одного куска”. Граф **связный** (connected), если он не может быть выражен как объединение графов, и **несвязный** (disconnected) в противном случае. Ясно, что любой несвязный граф G можно выразить как объединение связных графов, каждый из которых называется **компонентом** (component) G . Такой несвязный граф с тремя компонентами показан на рис. 1.8.

При доказательстве результатов о графах в общем случае мы часто можем получить соответствующие результаты для связных графов, а затем применить их к каждому компоненту в отдельности. Таблица всех немаркированных связных простых графов, содержащих до пяти вершин, приведена на рис. 1.9.

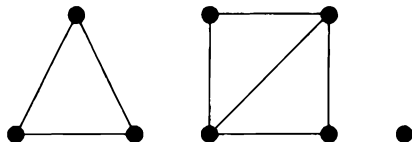


Рис. 1.8

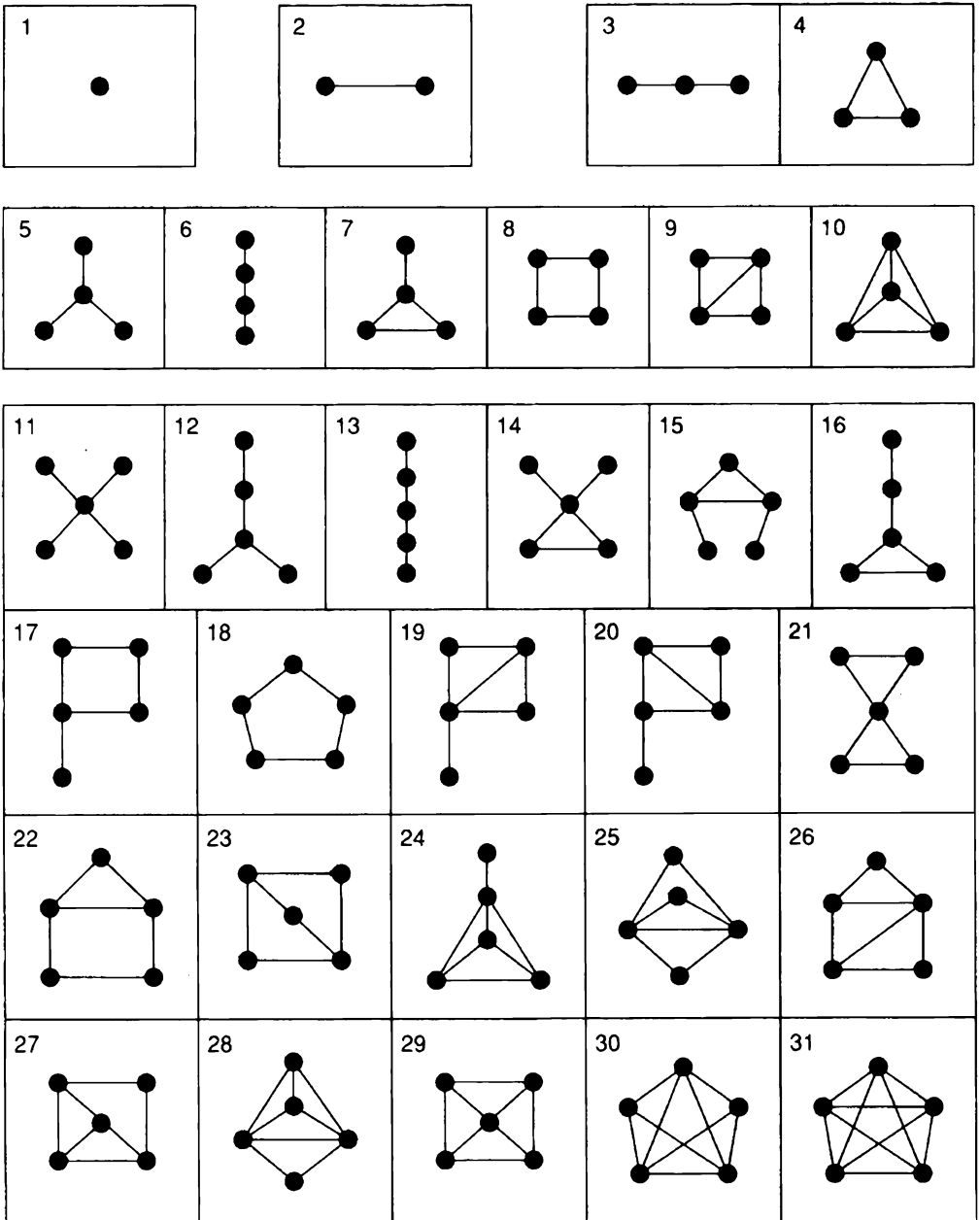


Рис. 1.9

Смежность и степени

Мы говорим, что две вершины графа, v и w , являются **смежными** (adjacent), если существует соединяющее их ребро vw ; тогда вершины v и w называются **инцидентными** (incident) такому ребру. Мы также говорим, что два разных ребра, e и f , являются **смежными** (adjacent), если имеют общую вершину (рис. 1.10).

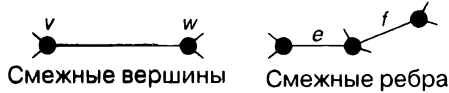


Рис. 1.10

Степень (degree) вершины v — это число ребер, инцидентных v , которое записывается как $\deg(v)$; при вычислении степени v мы обычно заключаем соглашение о том, что петля в v вносит в $\deg(v)$ вклад, равный 2 (а не 1). Вершина степени 0 представляет собой **изолированную** вершину, а вершина степени 1 — **конечную**. Таким образом, каждый из двух графов на рис. 1.11 имеет две конечные вершины и три вершины степени 2, в то время как граф на рис. 1.12 имеет одну конечную вершину, одну вершину степени 3, одну — степени 6 и одну — 8.

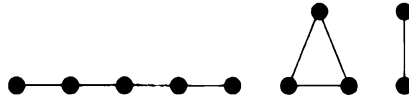


Рис. 1.11

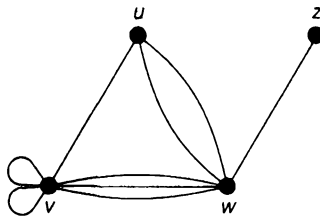


Рис. 1.12

Последовательность степеней графа состоит из степеней, записанных в порядке возрастания, при необходимости с повторениями. Например, последовательности степеней графов на рис. 1.11 и 1.12 представляют собой $(1, 1, 2, 2, 2)$ и $(1, 3, 6, 8)$.

Самый ранний результат по теории графов, по сути, получен Леонардом Эйлером в 1735 году (хотя он и не выразил его на языке графов). Иногда его называют **леммой о рукопожатиях**.

Теорема 1.1 (лемма о рукопожатиях). В любом графе сумма всех степеней вершин является четным числом.

Доказательство. Сумма всех степеней вершин равна удвоенному количеству ребер, поскольку каждое ребро вносит в эту сумму вклад, равный 2. Таким образом, эта сумма является четным числом. ■

Лемма о рукопожатиях называется так потому, что она говорит нам, что если несколько человек пожимают друг другу руки, то общее количество рукопожатий должно быть четным, а именно — потому, что в каждом рукопожатии участвуют две руки. Полезным следствием леммы о рукопожатии является следующее.

Следствие 1.2. В любом графе количество вершин с нечетной степенью четно.

Доказательство. Если бы количество вершин с нечетной степенью было нечетным, то сумма степеней вершин также была бы нечетной, что противоречит теореме 1.1. Таким образом, количество вершин с нечетной степенью четно. ■

Подграфы

Граф H является **подграфом** графа G , если каждая из его вершин принадлежит $V(G)$, а каждое его ребро принадлежит $E(G)$. Таким образом, граф на рис. 1.13 является подграфом графа на рис. 1.14, но не является подграфом графа на рис. 1.15, поскольку этот последний граф не содержит “треугольников”.

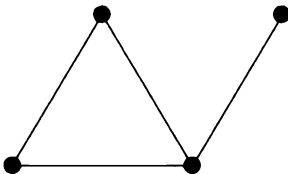


Рис. 1.13

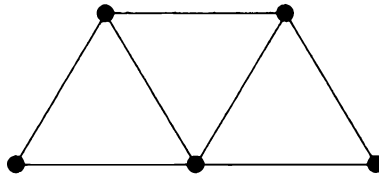


Рис. 1.14

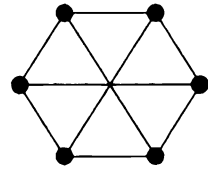


Рис. 1.15

Мы можем получить подграфы графа, удаляя ребра и вершины. Если e — ребро графа G , то через $G - e$ мы обозначаем граф, полученный из G удалением

ребра e ; в общем случае, если F — некоторое множество ребер G , то $G - F$ означает граф, полученный из G удалением ребер, находящихся во множестве F . Аналогично, если v — вершина G , то $G - v$ означает граф, полученный из G удалением вершины v вместе с ребрами, инцидентными v ; в общем случае, если S — некоторое множество вершин G , то $G - S$ означает граф, полученный из G удалением вершин, находящихся во множестве S и всех ребер, инцидентных любой из этих вершин. Соответствующий пример показан на рис. 1.16.

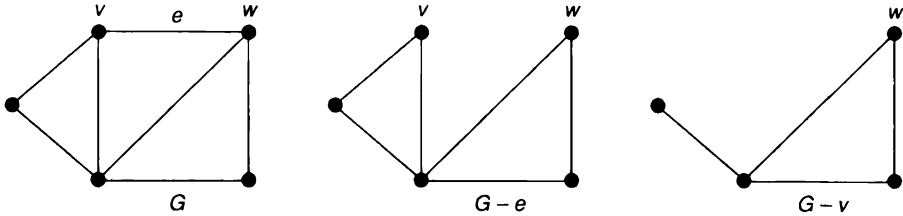


Рис. 1.16

Мы также обозначаем через $G \setminus e$ граф, полученный путем “сжатия” ребра e , т.е. его удаления и отождествления его вершин v и w так, чтобы результирующая вершина была инцидентна со всеми ребрами (кроме e), которые первоначально были инцидентны с v или w . Соответствующий пример показан на рис. 1.17.

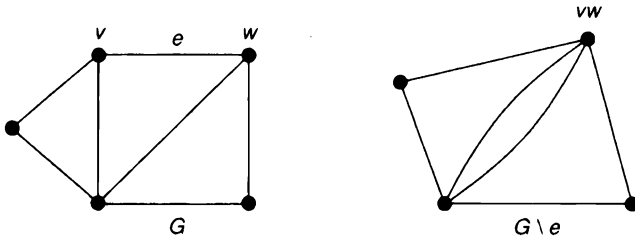


Рис. 1.17

Дополнение простого графа

Если G — простой граф с множеством вершин $V(G)$, его **дополнением** (complement) \bar{G} является простой граф с множеством вершин $V(G)$, в котором две вершины смежны тогда и только тогда, когда они *не* смежны в G . На рис. 1.18 показаны граф и его дополнение. Обратите внимание, что дополнением \bar{G} является G .

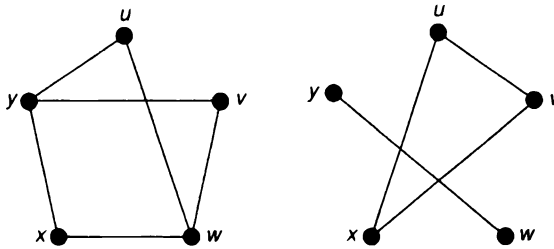


Рис. 1.18

Матричное представление

Хотя граф удобно представлять с помощью диаграммы, состоящей из соединенных линиями точек, такое представление может быть неприемлемым, если мы хотим хранить большой граф на компьютере. Один из способов хранения простого графа — путем перечисления вершин, смежных с каждой вершиной графа. Пример такого представления приведен на рис. 1.19.

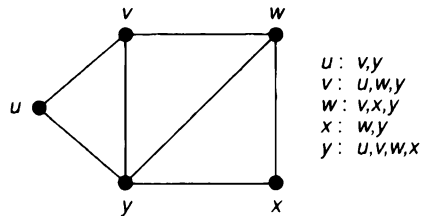


Рис. 1.19

Другие полезные представления используют матрицы. Если G — граф без петель с вершинами, помеченными $\{1, 2, \dots, n\}$, то его **матрица смежности** (adjacency matrix) A является матрицей размером $n \times n$, ij -й элемент которой является количеством ребер, соединяющих вершину i и вершину j . Если, кроме того, ребра помечены как $\{1, 2, \dots, m\}$, его **матрица инцидентий** (incidence matrix) M представляет собой матрицу размером $n \times m$, ij -й элемент которой равен 1, если вершина i инцидентна ребру j , и 0 — в противном случае. На рис. 1.20 показан маркированный граф G с матрицами смежности и инцидентий.

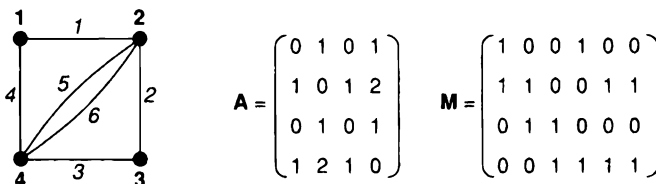


Рис. 1.20

Упражнения

1.1[§] Запишите множества вершин и ребер для каждого графа на рис. 1.3.

1.2. Запишите множество вершин и семейство ребер графа на рис. 1.21.

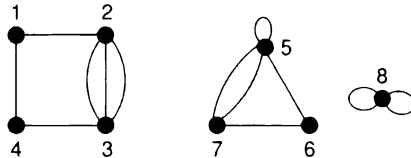


Рис. 1.21

1.3. Изобразите

- 1) простой граф,
- 2) граф без петель, не являющийся простым,
- 3) граф без кратных ребер, не являющийся простым.

Каждый граф должен состоять из пяти вершин и восьми ребер.

1.4[§] Покажите изоморфность графов на рис. 1.22, соответствующим образом пометив вершины

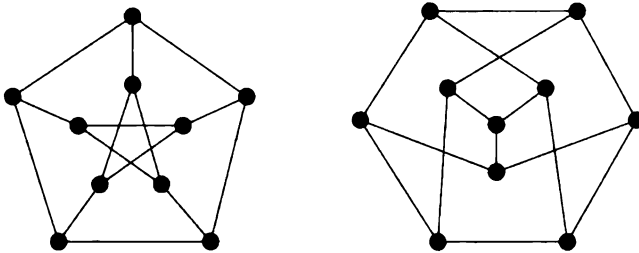


Рис. 1.22

1.5[§] Поясните, почему два графа на рис. 1.23 не изоморфны.

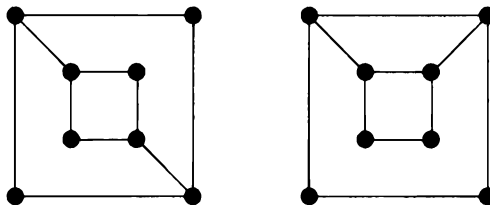


Рис. 1.23

1.6. Изоморфны ли графы на рис. 1.24?

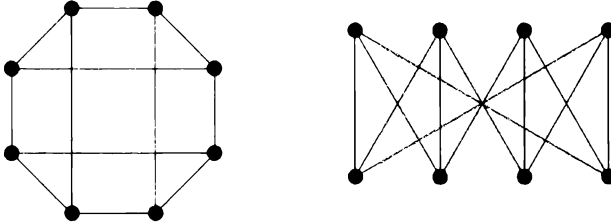


Рис. 1.24

1.7. Истинны или ложны следующие утверждения?

- 1) Любые два изоморфных графа имеют одну и ту же последовательность степеней.
- 2) Любые два графа, имеющие одну и ту же последовательность степеней, изоморфны.

1.8^s. Найдите каждый из приведенных на рис. 1.25 графов в таблице на рис. 1.9.

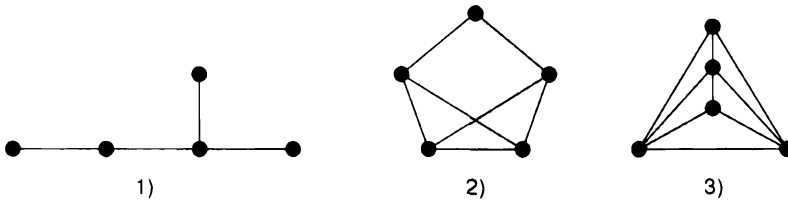


Рис. 1.25

1.9. Найдите каждый из приведенных на рис. 1.26 графов в таблице на рис. 1.9.

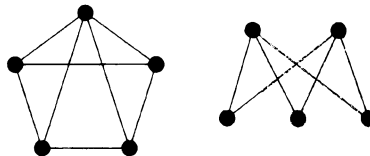


Рис. 1.26

1.10. 1) Покажите, что имеется ровно $2^{n(n-1)/2}$ маркированных графов с n вершинами.

2) Сколько из них имеют ровно m ребер?

1.11^s. Запишите последовательности степеней для каждого графа с четырьмя вершинами на рис. 1.9 и убедитесь в справедливости леммы о рукопожатиях для этих графов.

- 1.12. Запишите последовательности степеней для каждого графа с пятью вершинами на рис. 1.9 и убедитесь в справедливости леммы о рукопожатиях для этих графов.
- 1.13. 1) Изобразите граф с шестью вершинами и последовательностью степеней $(3, 3, 5, 5, 5, 5)$. Существует ли *простой* граф с этими степенями?
2) Ответьте на тот же вопрос для последовательности степеней $(2, 3, 3, 4, 5, 5)$.
- 1.14. 1) Пусть G — простой граф с четырьмя вершинами и последовательностью степеней $(1, 2, 3, 4)$. Укажите количество ребер графа G и постройте этот граф.
2) Существуют ли простые графы с четырьмя вершинами и последовательностью степеней $(1, 2, 3, 4)$?
- 1.15. Докажите, что если G — простой граф с как минимум двумя вершинами, то G должен содержать две или более вершин с одной и той же степенью.
- 1.16[§] Какие из графов на рис. 1.27 являются подграфами графов на рис. 1.22?

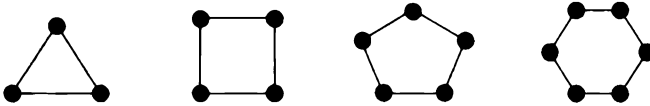


Рис. 1.27

- 1.17. Пусть G — граф на рис. 1.3, а e — ребро *их*. Изобразите графы $G - e$ и $G \setminus e$.
- 1.18. Пусть G — граф с n вершинами и m ребрами и пусть v — вершина G степени k , а e — ребро G . Сколько вершин и ребер у графов $G - e$, $G - v$ и $G \setminus e$?
- 1.19. Изобразите дополнения графов на рис. 1.13–1.15.
- 1.20[§] Запишите матрицы смежности и инциденций для графа на рис. 1.28.

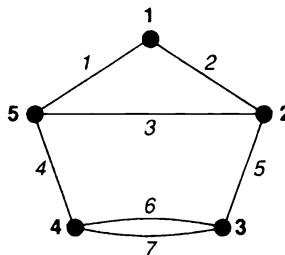


Рис. 1.28

1.21. Запишите матрицы смежности и инцидентий для графа на рис. 1.2.

1.22. Изобразите граф, матрица смежности которого приведена на рис. 1.29.

$$\begin{pmatrix} 0 & 1 & 1 & 2 & 0 \\ 1 & 0 & 0 & 0 & 1 \\ 1 & 0 & 0 & 1 & 1 \\ 2 & 0 & 1 & 0 & 0 \\ 0 & 1 & 1 & 0 & 0 \end{pmatrix}$$

Рис. 1.29

1.23. Изобразите граф, матрица инцидентий которого приведена на рис. 1.30.

$$\begin{pmatrix} 0 & 0 & 1 & 1 & 1 & 1 & 1 & 0 \\ 0 & 1 & 0 & 1 & 0 & 0 & 0 & 1 \\ 0 & 0 & 0 & 0 & 0 & 0 & 0 & 1 \\ 1 & 0 & 1 & 0 & 1 & 0 & 1 & 0 \\ 1 & 1 & 0 & 0 & 0 & 1 & 0 & 0 \end{pmatrix}$$

Рис. 1.30

1.24. Если G — граф без петель, то что можно сказать о сумме записей в

- 1) любой строке или столбце матрицы смежности G ?
- 2) любой строке матрицы инцидентий G ?
- 3) любом столбце матрицы инцидентий G ?

1.2. Примеры

В этом разделе мы рассмотрим некоторые важные типы графов. Вы должны ознакомиться с ними, так как они будут часто появляться в примерах и упражнениях.

Нулевой граф

Граф с пустым множеством ребер называется **нулевым графом** (null graph); обратите внимание, что каждая вершина нулевого графа изолирована. Будем обозначать нулевой граф с n вершинами как N_n ; граф N_4 показан на рис. 1.31. Нулевые графы не очень интересны.

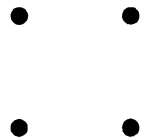


Рис. 1.31

Полные графы

Полным графом (complete graph) называется простой граф, в котором каждая пара различных вершин смежна. Полный граф с n вершинами обозначается как K_n ; графы K_4 и K_5 показаны на рис. 1.32. Вы должны проверить, что граф K_n имеет $n(n-1)/2$ ребер.

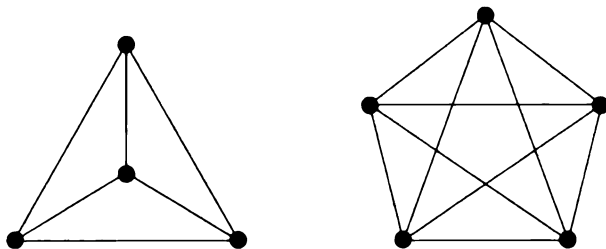


Рис. 1.32

Циклические графы, цепи и колеса

Связный граф, в котором каждая вершина имеет степень 2, называется **циклическим графом** (cycle graph). Обозначение циклического графа с n вершинами — C_n .

Граф, полученный из C_n путем удаления ребра, называется **цепью** (path graph) с n вершинами, и обозначается как P_n .

Граф, полученный из C_{n-1} путем соединения каждой вершины с новой вершиной v , называется **колесом** (wheel) с n вершинами и обозначается как W_n .

Графы C_6 , P_6 и W_6 показаны на рис. 1.33.

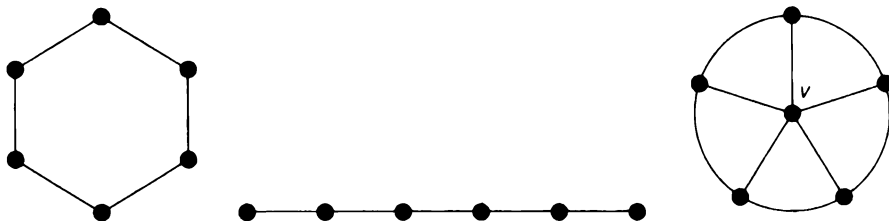


Рис. 1.33

Регулярные графы

Граф, в котором каждая вершина имеет одну и ту же степень, называется **регулярным графом** (regular graph). Если каждая вершина имеет степень r , граф является **регулярным степени r** , или **r -регулярным**. Обратите внимание, что нулевой граф N_n является регулярным графом степени 0, циклический

граф C_n является регулярным графом степени 2, а полный граф K_n является регулярным графом степени $n-1$.

Особое значение имеют **кубические графы** (cubic graph), которые являются регулярными графами степени 3. Примером кубического графа является **граф Петерсена**, показанный на рис. 1.34.

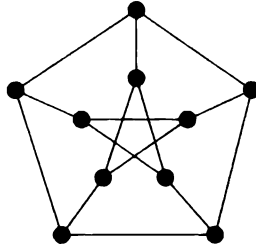


Рис. 1.34

Платоновы графы

Среди регулярных графов интерес представляют **Платоновы графы**, образованные из вершин и ребер пяти правильных (платоновых) тел — тетраэдра, октаэдра, гексаэдра, икосаэдра и додекаэдра (рис. 1.35).

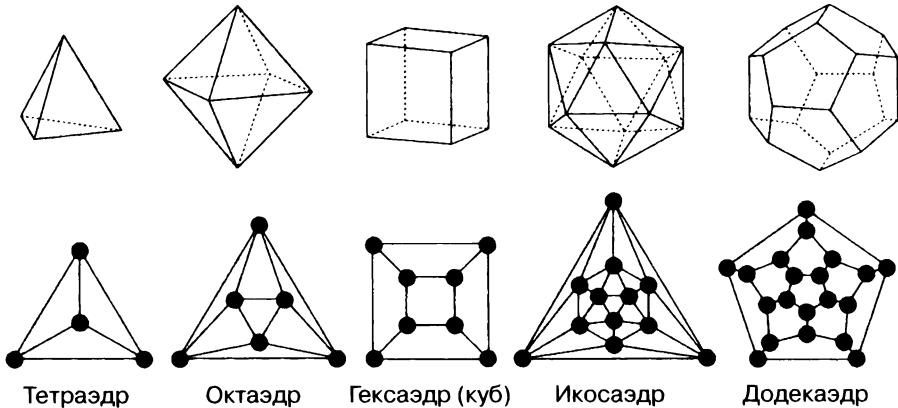


Рис. 1.35

Двудольные графы

Если множество вершин графа G можно разбить на два непересекающихся множества, A и B , так, чтобы каждое ребро G соединяло вершину из A и вершину из B , то G является **двудольным графом** (bipartite graph) (рис. 1.36). Альтернативно двудольный граф можно определить как граф, вершины которого могут быть окрашены в черный и белый цвета таким образом, что каждое

ребро соединяет черную вершину (из A) и белую вершину (из B). Иногда, когда мы хотим указать множества A и B , мы записываем $G = G(A, B)$.

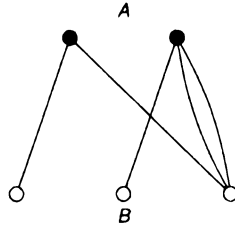


Рис. 1.36

Полным двудольным графом (complete bipartite graph) называется двудольный граф, в котором каждая вершина в A соединена с каждой вершиной в B единственным ребром. Обозначим полный двудольный граф с r черными вершинами и s белыми вершинами как $K_{r,s}$. Графы $K_{1,3}$, $K_{2,3}$, $K_{3,3}$ и $K_{4,3}$ показаны на рис. 1.37. Вы должны проверить, что $K_{r,s}$ имеет $r + s$ вершин и rs ребер.

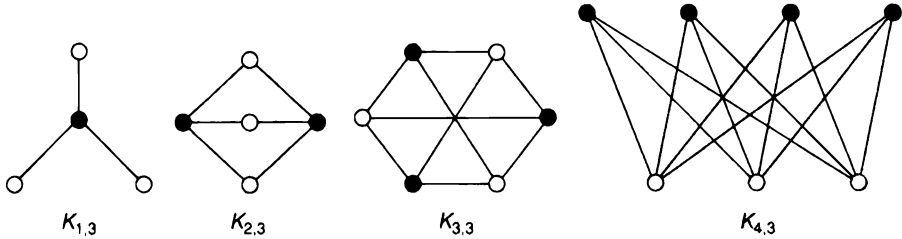


Рис. 1.37

Кубы

Особый интерес среди регулярных двудольных графов представляют кубы. **K -куб Q_k** — это граф, вершины которого соответствуют последовательностям (a_1, a_2, \dots, a_k) , где каждый $a_i = 0$ или 1 , а ребра которого соединяют последовательности, различающиеся только одним значением. Граф Q_3 (граф куба) показан на рис. 1.38, а Q_4 показан на обложке. Обратите внимание, что Q_k имеет 2^k вершин и является регулярным графом степени k .

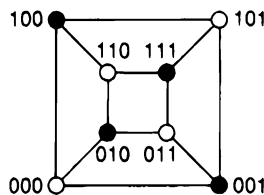


Рис. 1.38

Упражнения

1.25^s Изобразите следующие графы:

- 1) нулевой граф N_5 ;
- 2) полный граф K_6 ;
- 3) полный двудольный граф $K_{2,4}$;
- 4) объединение графов $K_{1,3}$ и W_4 ;
- 5) дополнение к циклическому графу C_4 .

1.26^s Укажите в таблице на рис. 1.9 все регулярные и все двудольные графы.

1.27^s Сколько ребер имеет каждый из перечисленных графов?

- 1) K_{10} ; 2) $K_{5,7}$; 3) Q_4 ; 4) W_8 ; 5) граф Петерсена.

1.28. Сколько ребер имеет каждый из перечисленных графов?

- 1) K_{12} ; 2) $K_{6,8}$; 3) Q_5 ; 4) W_{10} ; 5) дополнение к графу C_8 .

1.29. Если граф G имеет n вершин и является регулярным графом степени r , то сколько ребер имеет граф G ? Используйте свой ответ для проверки количества ребер в графе Петерсена и k -кубе Q_k .

1.30. Сколько ребер и вершин имеет каждый из Платоновых графов?

1.31. Приведите пример (если таковой существует)

- 1) двудольного графа, являющегося регулярным графом степени 5;
- 2) двудольного Платонового графа;
- 3) полного графа, являющегося колесом;
- 4) кубического графа с 11 вершинами;
- 5) регулярного графа степени 4, отличного от K_5 , $K_{4,4}$ или Q_4 .

1.32^s Изобразите все простые кубические графы с не более чем 8 вершинами.

1.33. Что вы можете сказать о дополнении полного графа и дополнении полного двудольного графа?

1.34. **Полный трехдольный граф** $K_{r,s,t}$ состоит из трех множеств вершин (размеров r , s и t) с ребрами, соединяющими две вершины тогда и только тогда, когда они находятся в разных множествах. Изобразите графы $K_{2,2,2}$ и $K_{3,3,2}$ и найдите количество ребер $K_{3,4,5}$.

1.3. Вариации на тему графов

В этом разделе мы рассмотрим две вариации определения графа. В первом из них каждому ребру придается определенное направление, как на улице с односторонним движением. Во втором мы допускаем, что множество вершин и/или ребер может быть бесконечным.

Орграфы

Ориентированный граф (directed graph), или **орграф** (digraph), D состоит из непустого конечного множества $V(D)$ элементов, именуемых вершинами, и конечного семейства $A(D)$ упорядоченных пар элементов $V(D)$, именуемых дугами (arcs) (или направленными ребрами). Мы называем $V(D)$ **множеством вершин**, а $A(D)$ — **семейством дуг** D . Дуга (v, w) при записи обычно сокращается до vw . Таким образом, на рис. 1.39 $V(D)$ — это множество $\{u, v, w, z\}$, а $A(D)$ состоит из дуг uv , vw , vw (дважды), wv , wu и zw ; упорядочение вершин в дуге обозначено стрелкой.

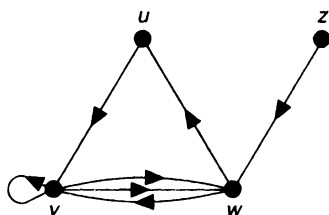


Рис. 1.39

Если D — ориентированный граф, то граф, полученный из D путем “удаления стрелок” (т.е. путем замены каждой дуги вида vw соответствующим ребром vw), является **базовым графом** (underlying graph) для D (рис. 1.40).

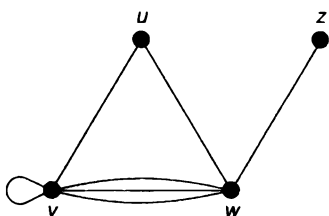


Рис. 1.40

Граф D является **простым ориентированным графом**, если все дуги D различны и если в нем нет “петель” (дуг вида vv). Обратите внимание, что базовый граф простого ориентированного графа не обязательно должен быть простым графом (рис. 1.41).

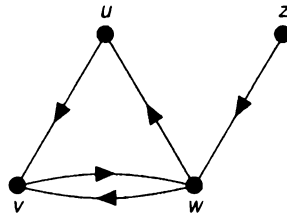


Рис. 1.41

Для ориентированных графов мы можем получить аналоги многих определений, приведенных в разделе 1.1 для графов. Например, два ориентированных графа **изоморфны**, если между лежащими в их основе графами существует изоморфизм, который сохраняет порядок вершин в каждой дуге. Обратите внимание, что орграфы на рис. 1.39 и 1.42 не изоморфны.

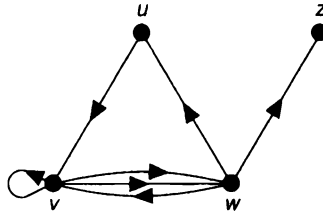


Рис. 1.42

Мы также можем определить связность ориентированных графов. Ориентированный граф D является (слабо) **связным**, если он не может быть представлен как объединение двух орграфов, определенных очевидным образом. Это равносильно тому, что базовый граф D является связным графом. Более строгое определение связности ориентированных графов будет дано в разделе 2.1.

Две вершины, v и w , ориентированного графа D **смежны**, если в $A(D)$ есть дуга вида vw или wv и вершины v и w **инцидентны** с такой дугой.

Полустепень исхода (out-degree) вершины v из D равна количеству дуг вида vw и обозначается как $\text{outdeg}(v)$. Аналогично **полустепень захода** (in-degree) v — это количество дуг D вида wv , обозначаемое как $\text{indeg}(v)$.

Существует версия теоремы 1.1 для ориентированных графов, которую мы, естественно, назовем **орлеммой¹ о рукопожатиях**.

Теорема 1.3 (орлемма о рукопожатиях). В любом графе сумма всех полустепеней исхода равна сумме всех полустепеней захода.

¹ Игра слов: поскольку “ориентированный граф” на английском — это сокращенно “digraph”, в оригинале “орлемма” звучит как “dilemma” (дилемма). — *Примеч. пер.*

Доказательство. Сумма всех полустепеней исхода равна количеству дуг, поскольку каждая дуга вносит в эту сумму вклад, равный 1. Точно так же равна количеству дуг и сумма всех полустепеней захода. ■

Если D — ориентированный граф без петель с вершинами, помеченными как $\{1, 2, \dots, n\}$, то **матрица смежности** A является матрицей размером $n \times n$, ij -й элемент которой является количеством дуг от вершины i к вершине j . На рис. 1.43 показаны маркированный ориентированный граф и его матрица смежности.

Важным видом ориентированного графа является **турнир** (tournament). Это ориентированный граф, в котором любые две вершины соединены ровно одной дугой (рис. 1.44). Обратите внимание, что его базовый граф является полным. Такой орграф можно использовать для записи результатов теннисного турнира или любой другой игры, в которой не разрешены ничьи. Например, на рис. 1.44 команда z побеждает команду w , но побеждена командой v , и т.д.

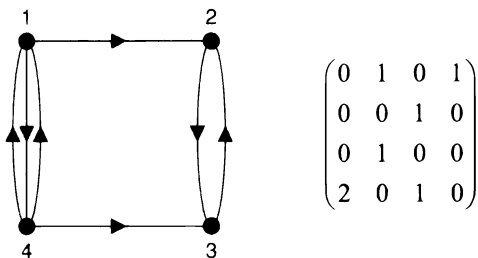


Рис. 1.43

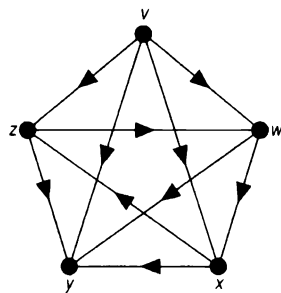


Рис. 1.44

Бесконечные графы

Бесконечный граф (infinite graph) G состоит из бесконечного множества $V(G)$ элементов, именуемых вершинами, и бесконечного семейства $E(G)$ неупорядоченных пар элементов $V(G)$, именуемых ребрами. Если $V(G)$ и $E(G)$ являются счетными бесконечными множествами (т.е. могут быть маркированы как $1, 2, 3, \dots$), то G является **счетным графом** (countable graph). Для удобства мы исключаем возможность того, что множество $V(G)$ бесконечно при конечном множестве $E(G)$ (поскольку такие объекты являются просто конечными графами с бесконечным числом изолированных вершин) или что множество $E(G)$ бесконечно при конечном множестве $V(G)$ (поскольку такие объекты, по сути, представляют собой конечные графы, но с бесконечным числом петель или кратных ребер).

Многие из наших ранних определений непосредственно распространяются на бесконечные графы. **Степень** вершины v бесконечного графа является мощностью множества ребер, инцидентных v , и может быть конечной или бесконечной. Бесконечный граф **локально конечен** (locally finite), если каждая из его вершин имеет конечную степень; два важных примера таких графов — бесконечная квадратная и бесконечная треугольная решетки, показанные на рис. 1.45 и 1.46. Аналогично мы определяем **локально счетный** бесконечный граф как граф, в котором каждая вершина имеет счетную степень.

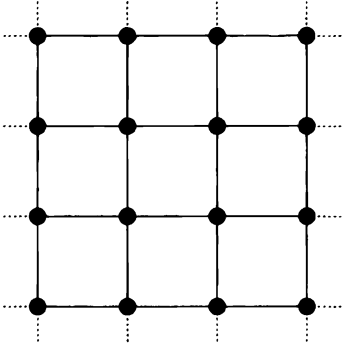


Рис. 1.45

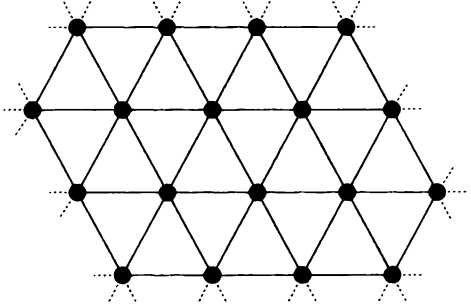


Рис. 1.46

Теперь мы можем доказать следующую простую, но фундаментальную теорему.

Теорема 1.4. Каждый связный локально счетный бесконечный граф является счетным графом.

Доказательство. Пусть v — любая вершина такого бесконечного графа и пусть A_1 — множество вершин, смежных с v , A_2 — множество всех вершин, смежных с вершинами из A_1 , и т.д. По условию множество A_1 счетно, а значит, счетными являются и множества A_2, A_3, \dots , поскольку объединение счетной коллекции счетных множеств счетно. Следовательно, $\{v\}, A_1, A_2, \dots$, представляет собой последовательность множеств, объединение которых счетно и в силу связности содержит каждую вершину бесконечного графа, откуда непосредственно следует искомый результат. ■

Следствие 1.5. Каждый связный локально конечный бесконечный граф является счетным графом.

Упражнения

1.35^s Запишите множества вершин и дуг ориентированного графа на рис. 1.41.

1.36. Запишите множество вершин и семейство дуг графа на рис. 1.42.

1.37^s Два орграфа на рис. 1.47 изоморфны. Какие именно?

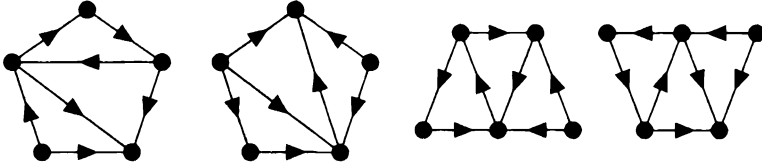


Рис. 1.47

1.38. Два орграфа на рис. 1.48 изоморфны. Какие именно?

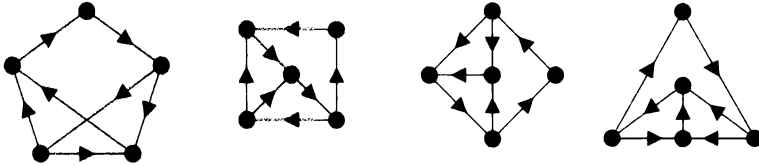


Рис. 1.48

1.39^s Убедитесь в справедливости орлеммы о рукопожатиях для ориентированного графа на рис. 1.39.

1.40. Убедитесь в справедливости орлеммы о рукопожатиях для турнира на рис. 1.49.

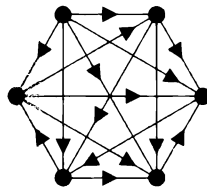


Рис. 1.49

1.41^s Запишите матрицу смежности ориентированного графа на рис. 1.39.

1.42. Запишите матрицу смежности турнира на рис. 1.44.

1.43. Ориентированный граф D' , **обратный** орграфу D , получается из D путем изменения направления каждой дуги.

1) Приведите пример орграфа, который изоморфен обратному ему.

2) Какова связь между матрицами смежности D и D' ?

- 1.44. Пусть T — турнир с n вершинам и пусть \sum обозначает суммирование по всем вершинам T . Докажите, что $\sum \text{outdeg}(v)^2 = \sum \text{indeg}(v)^2$.
- 1.45^s. Приведите пример
- 1) бесконечного двудольного графа;
 - 2) бесконечного связного кубического графа.
- 1.46. Приведите пример
- 1) бесконечного графа с бесконечным количеством конечных вершин;
 - 2) бесконечного графа с несчетным количеством вершин и ребер.

1.4. Три головоломки

В этом разделе мы представляем три развлекательные головоломки, которые могут быть решены с помощью идей, связанных с графами. В каждой головоломке обратите внимание на то, как использование изображения графа значительно облегчает понимание и решение задачи.

Задача о восьми кругах

Поместите буквы A, B, C, D, E, F, G, H в восемь кружков на рис. 1.50 таким образом, чтобы ни одна буква не стояла рядом с буквой, следующей за ней в алфавите.

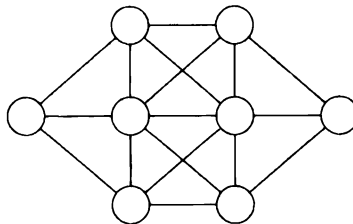


Рис. 1.50

Во-первых, заметим, что испробовать все возможности невозможно, так как имеется $8! = 40\,320$ способов размещения восьми букв в восьми кружках. Поэтому нам нужен более систематический подход.

Заметим, что

- 1) простейшие для размещения буквы — A и H , потому что у каждой есть только одна буква, с которой она не может быть смежной (B и G соответственно);
- 2) самые трудные круги для заполнения — находящиеся посередине, так как каждый из них смежен с шестью другими.

Это наталкивает на мысль поместить в средние круги A и H . Если мы поместим A слева от H , то единственными возможными позициями для B и G будут те, которые показаны на рис. 1.51.

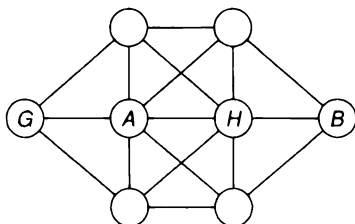


Рис. 1.51

Теперь буква C должна быть размещена в левой части диаграммы, а буква F — в правой. Затем легко разместить оставшиеся буквы так, как показано на рис. 1.52.

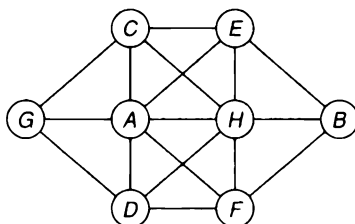


Рис. 1.52

Шесть человек на вечеринке

Покажите, что в любой группе из шести человек либо есть три человека, которые все знают друг друга, либо есть три человека, ни один из которых не знает ни одного из двух других.

Чтобы решить эту задачу, нарисуем граф, на котором представим каждого человека вершиной, и соединим две вершины сплошным ребром, если соответствующие люди знают друг друга, и пунктирным — если нет. Мы должны показать, что всегда найдется либо сплошной, либо пунктирный треугольник.

Пусть v — произвольная вершина. Тогда должно иметься ровно пять ребер, инцидентных v (либо сплошных, либо пунктирных), так что по крайней мере три из них должны быть одного типа. Предположим, что у нас есть три сплошных ребра (рис. 1.53); случай по меньшей мере трех пунктирных ребер аналогичен.

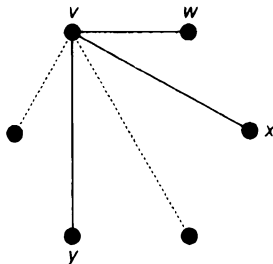


Рис. 1.53

Если люди, соответствующие вершинам w и x , знают друг друга, то v , w и x образуют сплошной треугольник, что и требуется. Аналогично, если люди, соответствующие вершинам w и y или вершинам x и y , знают друг друга, то мы снова получаем сплошной треугольник. Эти три случая показаны на рис. 1.54.

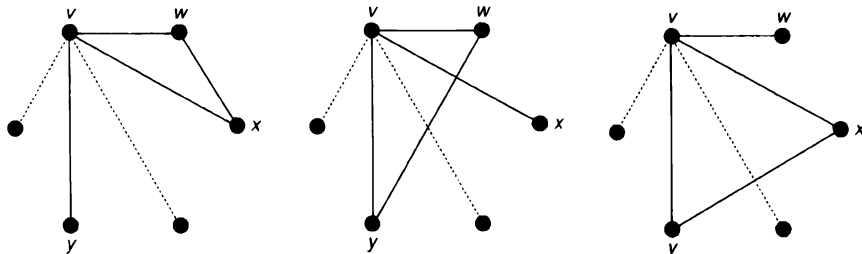


Рис. 1.54

Наконец, если среди w , x и y не находится двух людей, знающих друг друга, то w , x и y образуют пунктирный треугольник, что и требуется (рис. 1.55). Поскольку на этом все возможности исчерпаны, исходное утверждение доказано.

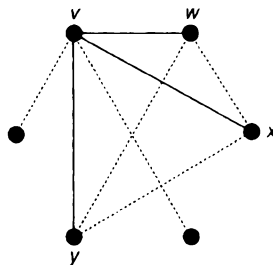


Рис. 1.55

Задача о четырех кубиках

Завершим этот раздел головоломкой, которая долгое время была популярна под названием “Instant Insanity”².

² Дословно — “Мгновенное безумие”. — Примеч. пер.

Имеется четыре куба, грани которых окрашены в красный, синий, зеленый и желтый цвета, как показано на рис. 1.56. Можно ли сложить их так, чтобы на каждой стороне полученного столбика 4×1 появились все четыре цвета?

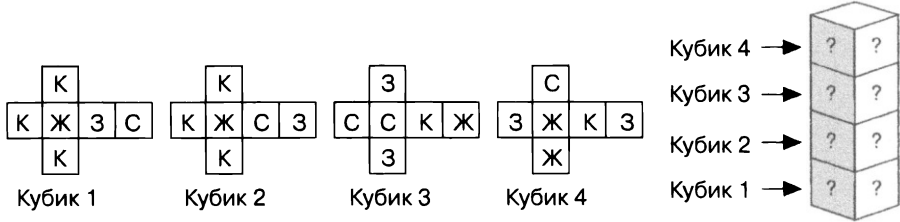


Рис. 1.56

Хотя эти кубы могут быть сложены тысячами разных способов, по сути, существует только один способ решения задачи.

Чтобы решить эту задачу, представим каждый куб в виде графа с четырьмя вершинами — К, С, З и Ж, по одной для каждого цвета. В каждом из этих графов две вершины являются смежными тогда и только тогда, когда рассматриваемый куб имеет соответствующие цвета на *противоположных* гранях. Графы, соответствующие кубам на рис. 1.56, показаны на рис. 1.57.

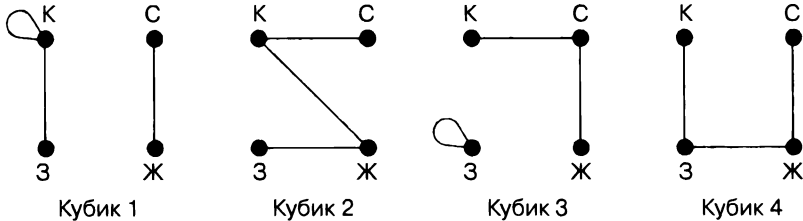


Рис. 1.57

Затем наложим эти графы один на другой так, чтобы образовался новый граф G (рис. 1.58).

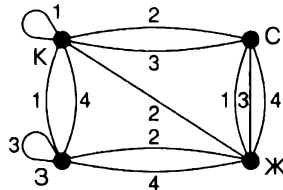


Рис. 1.58

Решение головоломки получается путем нахождения в G двух подграфов, H_1 и H_2 . Подграф H_1 говорит нам о том, какая пара цветов появляется на передней и задней гранях каждого куба, а подграф H_2 говорит о том, какая пара цветов появляется на левой и правой гранях. Для этого подграфы H_1 и H_2 должны обладать следующими свойствами.

- а) *Каждый подграф содержит ровно одно ребро от каждого куба:* это гарантирует, что у каждого куба есть передняя и задняя грани, а также левая и правая, а подграфы сообщают нам, какие пары цветов должны находиться на этих гранях.
- б) *Подграфы не имеют общих ребер:* это гарантирует, что грани спереди и сзади отличаются от граней по бокам.
- в) *Каждый подграф является регулярным графом степени 2:* это говорит о том, что каждый цвет появляется ровно дважды на боковых сторонах столбца (по одному на каждой стороне) и ровно дважды — спереди и сзади (один раз — спереди и один раз — сзади).

Используя эти наблюдения, мы можем легко убедиться, что в подграфы не может войти ни один цикл. Затем, после небольшого экспериментирования, можно получить подграфы, показанные на рис. 1.59, и построить из них решение, показанное на рис. 1.60.

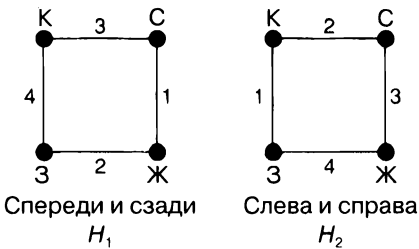


Рис. 1.59

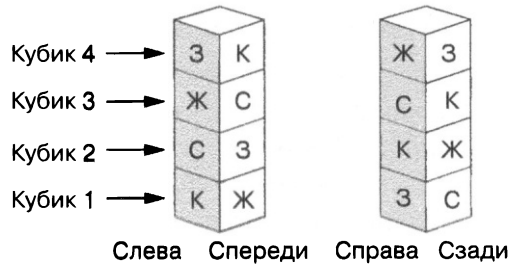


Рис. 1.60

Упражнения

- 1.47^s Найдите другое решение задачи о восьми кругах.
- 1.48^s Покажите, что существует группа из пяти человек, в которой нет ни трех человек, которые все знают друг друга, ни трех человек, ни один из которых не знает ни одного из двух других.
- 1.49^s Найдите решение задачи о четырех кубах для множества кубов, показанного на рис. 1.61.

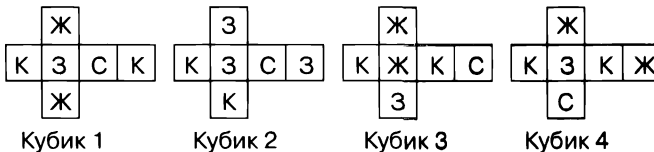


Рис. 1.61

1.50. Покажите, что задача о четырех кубах для множества кубов, показанного на рис. 1.62, решения не имеет.

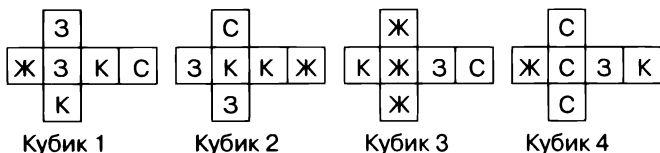


Рис. 1.62

Проблемы

1.51. Простой граф, изоморфный своему дополнению, является **самодополнительным** (self-complementary).

1) Докажите, что если граф G — самодополнительный, то он имеет $4k$ или $4k+1$ вершин, где k — целое число.

2) Найдите все самодополнительные графы с четырьмя и пятью вершинами.

3) Найдите все самодополнительные графы с восемью вершинами.

1.52. (Для знакомых с линейной алгеброй.) Если G — простой граф с множеством ребер $E(G)$, то **векторное пространство G** представляет собой векторное пространство над полем $Z_2 = \{0, 1\}$ целых чисел по модулю 2, элементами которого являются подмножества $E(G)$. Сумма $E+F$ двух таких подмножеств E и F является множеством ребер в E или F , но не в обоих, а скалярное умножение определяется как $1 \cdot E = E$ и $0 \cdot E = \emptyset$. Покажите, что этим определяется векторное пространство над Z_2 , и найдите его базис.

1.53. **Реберный граф** (line graph) $L(G)$ простого графа G представляет собой граф, вершины которого взаимнооднозначно соответствуют *ребрам* графа G , причем две вершины $L(G)$ смежны тогда и только тогда, когда смежны соответствующие ребра графа G .

1) Покажите, что K_3 и $K_{1,3}$ имеют один и тот же реберный граф.

2) Покажите, что реберным графом для графа тетраэдра является граф октаэдра.

3) Докажите, что если G — регулярный граф степени k , то $L(G)$ является регулярным графом степени $2k-2$.

4) Выразите количество ребер $L(G)$ через степени вершин графа G .

5) Покажите, что $L(K_5)$ является дополнением к графу Петерсена.

1.54. (Для знакомых с теорией групп.) **Автоморфизм** φ простого графа G представляет собой взаимнооднозначное отображение множества вершин G на себя, обладающее тем свойством, что $\varphi(v)$ и $\varphi(w)$ смежны, когда тако-

выми являются v и w . **Группа автоморфизмов** $\Gamma(G)$ группы G является группой автоморфизмов группы G по композиции.

1) Докажите, что группы $\Gamma(G)$ и $\Gamma(\bar{G})$ изоморфны.

2) Найдите группы $\Gamma(K_n)$, $\Gamma(K_{r,s})$ и $\Gamma(C_n)$.

3) Воспользуйтесь результатами пп. 1 и 2 и 5 упражнения 1.53 для поиска группы автоморфизмов графа Петерсена.

1.55. Покажите, что бесконечный граф G может быть нарисован в евклидовом трехмерном пространстве, если $V(G)$ и $E(G)$ можно поместить во взаимнооднозначное соответствие с подмножеством множества действительных чисел.

1.56. Докажите, что решение проблемы четырех кубов в тексте главы для указанного набора кубов является единственным.

Пути и циклы

*“...Как много есть извилистых путей,
А все, что нужно в этом грустном мире, —
Искусство быть немножечко добрей”.*

Элла Уилер Уилкоккс (Ella Wheeler Wilcox)

Теперь, когда у нас есть целый арсенал графов, мы можем взглянуть на их свойства. Для этого нам понадобятся некоторые определения, которые описывают способы “перехода из одной вершины в другую” как в графах, так и в ориентированных графах. Мы даем эти определения в разделе 2.1 и приводим некоторые сведения о связности. В разделах 2.2 и 2.3 мы изучаем два конкретных типа графа и орграфа: те, у которых есть пути, которые включают каждое ребро, и те, у которых циклы проходят через каждую вершину. Мы завершаем эту главу разделом 2.4 с некоторыми приложениями путей и циклов.

2.1. Связность графов

Для данного графа G **маршрутом** (walk) в G является конечная последовательность ребер вида

$$v_0v_1, v_1v_2, \dots, v_{m-1}v_m, \text{ обозначаемая также как } v_0 \rightarrow v_1 \rightarrow v_2 \rightarrow \dots \rightarrow v_m,$$

в которой любые два последовательных ребра смежны или идентичны. Такой маршрут определяет последовательность вершин $v_0, v_1, v_2, \dots, v_m$. Мы называем v_0 **начальной вершиной** (initial vertex), а v_m — **конечной вершиной** (final vertex) маршрута и говорим о **маршруте от v_0 к v_m** . Количество ребер в маршруте называется его **длиной**; например, на рис. 2.1 маршрут

$$v \rightarrow w \rightarrow x \rightarrow y \rightarrow z \rightarrow z \rightarrow y \rightarrow w$$

от v до w имеет длину 7.

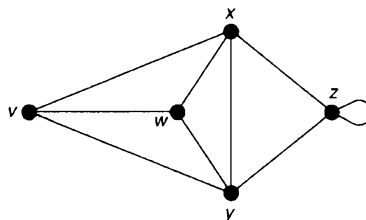


Рис. 2.1

Концепция маршрута обычно слишком общая для наших целей, поэтому мы накладываем некоторые ограничения. Маршрут, в котором все ребра различны, называется **цепью** (trail). Если, кроме того, вершины v_0, v_1, \dots, v_m различны (за исключением, возможно, $v_0 = v_m$), цепь представляет собой **путь** (path). Если $v_0 = v_m$, то маршрут, путь или цепь является **замкнутой**, а замкнутый путь с по крайней мере одним ребром является **циклом** (cycle). Например,

$v \rightarrow w \rightarrow x \rightarrow y \rightarrow z \rightarrow z \rightarrow x$	является цепью,
$v \rightarrow w \rightarrow x \rightarrow y \rightarrow z$	является путем,
$v \rightarrow w \rightarrow x \rightarrow y \rightarrow z \rightarrow x \rightarrow v$	является замкнутой цепью, а
$v \rightarrow w \rightarrow x \rightarrow y \rightarrow v$	является циклом.

Обратите внимание, что петля — это цикл длиной 1, а пара кратных ребер представляет собой цикл длиной 2. Цикл длиной 3, такой как

$$v \rightarrow w \rightarrow x \rightarrow v,$$

называется **треугольником**.

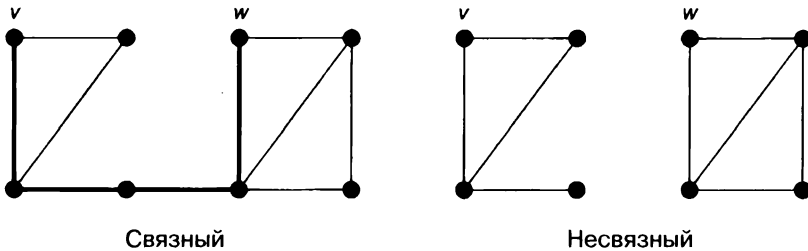


Рис. 2.2

Заметим, что граф является связным тогда и только тогда, когда имеется путь между каждой парой вершин (рис. 2.2). Мы также можем доказать некоторые теоремы для двудольных графов.

Теорема 2.1. Граф G является двудольным тогда и только тогда, когда любой цикл в G имеет четную длину.

Доказательство. \Rightarrow Если граф G двудольный, его множество вершин можно разбить на два непересекающихся множества, A и B , так, чтобы каждое ребро G соединяло вершину из множества A и вершину из множества B . Пусть

$$v_0 \rightarrow v_1 \rightarrow v_2 \rightarrow \dots \rightarrow v_m \rightarrow v_0$$

является циклом в G , и предположим (без потери общности), что v_0 принадлежит множеству A . Тогда v_1 принадлежит множеству B , v_2 — множеству A , v_3 — множеству B и т.д. Поскольку вершина v_m должна находиться в B , цикл имеет четную длину.

\Leftarrow И обратно, предположим, что каждый цикл в G имеет четную длину. Можно считать, что граф G связный. Выберем любую вершину v . Пусть A — множество вершин w , для которых кратчайший путь из v в w имеет четную длину, и пусть B — множество вершин, не принадлежащих A . Если любые две вершины из A (или из B) были бы смежными, то кратчайшие пути из этих вершин в v включали бы цикл нечетной длины. Таким образом, каждое ребро G должно соединять вершину A и вершину B , так что граф G является двудольным. ■

Далее мы исследуем оценки числа ребер простого связного графа с n вершинами. Такой граф имеет наименьшее количество ребер, когда в нем нет циклов, и наибольшее, когда он является полным графом; это означает, что число ребер должно лежать между $n-1$ и $n(n-1)/2$. Фактически можно доказать более сильный результат, который включает данный в качестве частного случая.

Теорема 2.2. Пусть G — простой граф с n вершинами. Если G имеет k компонентов, то количество ребер m графа G удовлетворяет соотношению $n-k \leq m \leq (n-k)(n-k+1)/2$

Доказательство. Нижнюю оценку $m \geq n-k$ мы докажем по индукции по числу ребер в G с тривиальным результатом для нулевого графа. Если G содержит наименьшее возможное количество ребер (скажем, m_0), то удаление любого ребра в G должно увеличить число компонентов на 1, а оставшийся граф имеет n вершин, $k+1$ компонентов и m_0-1 ребер. Согласно гипотезе индукции отсюда следует, что $m_0-1 \geq n-(k+1)$, что дает нам, как и требуется, $m_0 \geq n-k$.

Чтобы доказать верхнюю оценку, можно предположить, что каждый компонент G является полным графом. Предположим далее, что существуют два компонента, C_i и C_j , с n_i и n_j вершинами соответственно, где $n_i \geq n_j > 1$. Если теперь мы заменим C_i и C_j полными графами с n_i+1 и n_j-1 вершинами соответственно, то общее количество вершин останется неизменным, но количество ребер изменится на положительную величину

$$\frac{1}{2}\{(n_i+1)n_i - n_i(n_i-1)\} - \frac{1}{2}\{n_j(n_j-1) - (n_j-1)(n_j-2)\} = n_i - n_j + 1,$$

Отсюда следует, что для достижения максимального числа ребер граф G должен состоять из полного графа с $n-k+1$ вершинами и $k-1$ изолированными вершинами, откуда и вытекает нужный результат. ■

Мы можем получить такое следствие (упражнение 2.4).

Следствие 2.3. Любой простой граф с n вершинами и более чем $(n-1)(n-2)/2$ ребрами является связным.

Связность

Другой подход, используемый при изучении связных графов, заключается в том, чтобы спросить “насколько связан данный граф?” Такие вопросы возникли в связи с уязвимостью некоторых сетей, таких как железнодорожные или телекоммуникационные. Одной из интерпретаций данного вопроса является вопрос о том, сколько ребер (железнодорожных линий или телефонных кабелей) или вершин (станций или телефонных станций) должно быть отключено, чтобы сеть стала несвязной, распавшись на несвязанные части. Введем некоторые термины, полезные при обсуждении таких вопросов.

Разделяющее множество (disconnecting set) в связном графе G представляет собой множество ребер, удаление которых делает граф G несвязным. Например, на графе на рис. 2.3 множества $\{e_1, e_2, e_5\}$ и $\{e_3, e_6, e_7, e_8\}$ являются разделяющими множествами G ; несвязный граф, получающийся после удаления второго множества, показан на рис. 2.4.

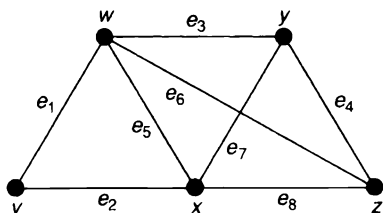


Рис. 2.3

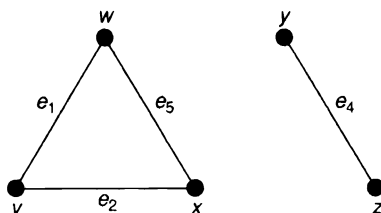


Рис. 2.4

Далее мы определим **разрез** (cutset) как минимальное разделяющее множество, т.е. разделяющее множество, никакое собственное подмножество которого не является разделяющим множеством. В рассмотренном выше примере разрезом является только второе разделяющее множество. Обратите внимание, что удаление ребер разреза всегда оставляет граф ровно с двумя компонентами. Если разрез содержит только одно ребро e , то мы называем его **мостом** (bridge) или **перешейком** (рис. 2.5).

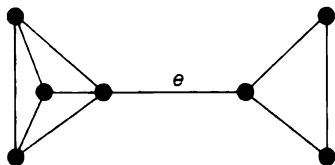


Рис. 2.5

Эти определения легко переносятся на несвязные графы. В произвольном графе G **разделяющим множеством** (disconnecting set) называется такое

множество ребер, удаление которого увеличивает количество компонент G , а **разрезом** (cutset) в G называется минимальное разделяющее множество.

Если G является связным графом, то его **реберная связность** (edge-connectivity) $\lambda(G)$ равна размеру наименьшего разреза в G . Таким образом, $\lambda(G)$ — это наименьшее количество ребер, которые нужно удалить, чтобы сделать G несвязным. Например, если G — граф, показанный на рис. 2.3, то $\lambda(G) = 2$ (что соответствует разрезу $\{e_1, e_2\}$). Мы также говорим, что граф G является **k -реберно-связным**, если $\lambda(G) \geq k$. Таким образом, граф на рис. 2.3 является 1-реберно-связным и 2-реберно-связным, но не 3-реберно-связным.

Можно доказать, что граф 2-реберно-связный тогда и только тогда, когда любые две различные вершины соединены по крайней мере двумя путями без общих ребер (см. упражнение 2.8.1); например, любые две различные вершины на рис. 2.3 соединены по крайней мере двумя такими путями. Более общей является знаменитая теорема К. Менгера (K. Menger), которая будет доказана в главе 6, “Паросочетания, свадьбы и теорема Менгера”.

Теорема 2.4. (Менгер, 1927) Граф G является k -реберно-связным тогда и только тогда, когда любые две различные вершины G соединены по крайней мере k путями, никакие два из которых не имеют общих ребер.

Можно также определить аналогичные понятия для удаления вершин. **Разделяющее множество** (separating set) в связном графе G представляет собой множество вершин, удаление которых делает G несвязным. Напомним, что когда мы удаляем вершину, то должны удалять и ее инцидентные ребра. Например, в графе на рис. 2.3 множества $\{w, x\}$ и $\{w, x, y\}$ являются разделяющими множествами G ; несвязный граф, получающийся после удаления первого множества, показан на рис. 2.6. Если разделяющее множество содержит только одну вершину v , мы называем v **разрезающей вершиной** (cut-vertex) (рис. 2.7). Как было сказано выше, эти определения непосредственно распространяются и на несвязные графы.



Рис. 2.6

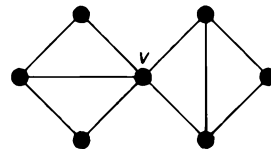


Рис. 2.7

Если граф G является связным, но не полным графом, то его (вершинная) **связность** $\kappa(G)$ равна размеру наименьшего разделяющего множества в G . Таким образом, $\kappa(G)$ равно наименьшему количеству вершин, которые нужно

удалить, чтобы граф G стал несвязным. Например, если G — граф на рис. 2.3, то $\kappa(G) = 2$, что соответствует разделяющему множеству $\{w, x\}$. Мы также говорим, что граф G является k -связным, если $\kappa(G) \geq k$. Таким образом, граф на рис. 2.3 является 1- и 2-связным, но не 3-связным.

Можно доказать, что граф с по крайней мере тремя вершинами является 2-связным тогда и только тогда, когда любые две различные вершины соединены по крайней мере двумя путями, у которых нет других общих вершин; например, на рис. 2.3 любые две различные вершины соединяются как минимум двумя такими путями (упражнение 2.8.2). Более общей является другая теорема Менгера, которая также будет доказана в главе 6, “Паросочетания, свадьбы и теорема Менгера”.

Теорема 2.5 (Менгер, 1927). Граф G с по крайней мере $k + 1$ вершинами является k -связным тогда и только тогда, когда любые две вершины G соединены по крайней мере k путями, никакие два из которых не имеют общих вершин.

Эти понятия взаимосвязаны. Например, можно доказать, что для произвольного связного графа G

$$\kappa(G) \leq \lambda(G) \leq \delta(G),$$

где $\delta(G)$ — наименьшая степень вершины в G .

Как мы увидим, между свойствами циклов и разрезов имеется поразительное и неожиданное сходство; например, посмотрите на упражнения 2.46–2.49 и теорему 3.2. Причины такого сходства станут понятны в главе 7, “Матроиды”.

Ориентированные графы

Имеются естественные обобщения приведенных выше определений на орграфы. **Маршрут** (walk) в орграфе D является конечной последовательностью дуг вида $v_0v_1, v_1v_2, \dots, v_{m-1}v_m$. Иногда мы записываем эту последовательность как

$$v_0 \rightarrow v_1 \rightarrow \dots \rightarrow v_m$$

и говорим о **маршруте от v_0 до v_m** . Аналогично можно определить направленные цепи, направленные пути и направленные циклы (или просто цепи, пути и циклы, если нет возможности для путаницы). Обратите внимание, что хотя цепь не может содержать некоторую дугу vw более одного раза, она может содержать дуги vw и wv ; например, на рис. 2.8

$$z \rightarrow w \rightarrow v \rightarrow w \rightarrow u$$

является цепью.

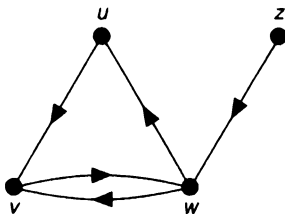


Рис. 2.8

Можно также определить связность. Два наиболее полезных типа связных ориентированных графов соответствуют тому, учитываем ли мы направления дуг: эти определения являются естественными расширениями для ориентированных графов двух описаний связных графов в разделах 1.2 и 2.1.

Мы уже определили ориентированный граф D как **связный**, если он не может быть выражен как объединение двух ориентированных графов; это равносильно тому, что базовый граф D является связным графом. Мы также говорим, что D является **сильно связным** (strongly connected), если для любых двух вершин v и w в D существует направленный путь из v в w . Каждый сильно связанный ориентированный граф является связным, но не все связные ориентированные графы являются сильно связными; например, связный орграф на рис. 2.8 не является сильно связным, поскольку пути от v до z нет.

Различие между связным и сильно связным ориентированными графами становится более очевидным, если рассмотреть дорожную карту города, все улицы которого являются улицами с односторонним движением. Если дорожная карта связная, то мы можем проехать из любой части города в любую другую, игнорируя при этом направление движения на улицах с односторонним движением. Однако, если карта сильно связная, то мы можем проехать из любой части города в любую другую, всегда идя “по правилам” по улицам с односторонним движением.

Поскольку каждая односторонняя система должна быть сильно связной, естественно спросить, когда возможно наложить систему одностороннего движения на карту улиц так, чтобы мы могли проехать из любой части города в любую другую. Это возможно не всегда, например, если город состоит из двух частей, соединенных одним мостом, то мы не сможем навязать такую одностороннюю систему городу, поскольку независимо от направления, которое мы дадим мосту, одна часть города окажется отрезанной от другой. Но если мостов нет, то мы всегда можем навязать такую систему одностороннего движения. Этот результат сформулирован ниже, в теореме 2.6.

Для удобства определим граф G как **ориентируемый** (orientable), если каждое ребро G можно направить таким образом, чтобы результирующий

ориентированный граф был сильно связным; такой орграф является **ориентацией** (orientation) G . Например, если G — граф, показанный на рис. 2.9, то G — ориентируемый; его ориентация показана на рис. 2.10.

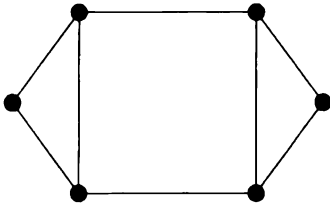


Рис. 2.9

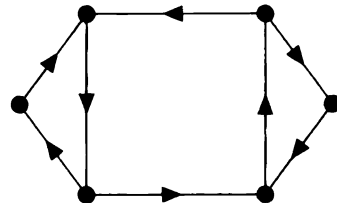


Рис. 2.10

Следующая теорема указывает необходимое и достаточное условие ориентируемости графа (Г.Э. Роббинс (H.E. Robbins)).

Теорема 2.6. Связный граф G является ориентируемым тогда и только тогда, когда каждое ребро G принадлежит по крайней мере одному циклу.

Доказательство. Необходимость условия очевидна.

Чтобы доказать достаточность, выберем любой цикл C и ориентируем его ребра циклически. Если в C содержится каждое ребро G , то доказательство завершено. Если же нет, выберем любое ребро e , которое не находится в C , но которое смежно с ребром C . По предположению e содержится в некотором цикле C' , ребра которого мы можем ориентировать циклически, за исключением тех ребер, которые уже были ориентированы, т.е. те ребра C' , которые также лежат в C ; ситуация проиллюстрирована на рис. 2.11, на котором пунктирные линии обозначают ребра C' . Мы действуем таким образом, на каждом этапе ориентируя по крайней мере одно новое ребро, пока не будут ориентированы все ребра. Нужный результат вытекает из того факта, что ориентированный граф должен оставаться сильно связным на каждой стадии описанного процесса. ■

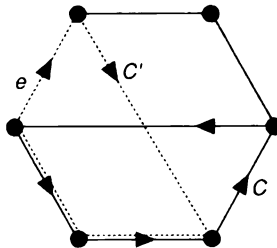


Рис. 2.11

Бесконечные графы

Мы также можем расширить концепцию маршрута для бесконечного графа G . В G существуют три основных типа маршрутов:

- 1) *конечный маршрут*, определенный точно так же, как указано выше;
- 2) *бесконечный односторонний маршрут* с начальной вершиной v_0 является бесконечной последовательностью ребер вида

$$v_0 \rightarrow v_1 \rightarrow v_2 \rightarrow \dots;$$

- 3) *бесконечный двусторонний маршрут* — это бесконечная последовательность ребер вида

$$\dots \rightarrow v_{-2} \rightarrow v_{-1} \rightarrow v_0 \rightarrow v_1 \rightarrow v_2 \rightarrow \dots.$$

Одно- и двусторонние бесконечные цепи и пути определяются аналогично.

Следующий результат, известный как **лемма Кёнига** (König), говорит о том, что найти бесконечные пути нетрудно; мы будем использовать этот результат в главе 4, “Планарность”.

Теорема 2.7 (Кёниг, 1927). Пусть G — связный локально конечный бесконечный граф. Тогда для любой его вершины v существует односторонний бесконечный путь с начальной вершиной v .

Доказательство. Для каждой вершины z , отличной от v , существует нетривиальный путь от v до z . Отсюда следует, что в G бесконечно много путей с начальной вершиной v . Поскольку степень v конечна, начинаться с одного и того же ребра должно бесконечно много этих путей. Если vv_1 — такое ребро, то мы можем повторить эту процедуру для вершины v_1 и, таким образом, получить новую вершину v_2 и соответствующее ребро v_1v_2 . Продолжая таким образом, мы получим односторонний бесконечный путь $v \rightarrow v_1 \rightarrow v_2 \rightarrow \dots$. ■

Упражнения

2.1! В графе Петерсена найдите

- 1) цепь длиной 5;
- 2) путь длиной 9;
- 3) циклы длиной 5, 6, 8 и 9;
- 4) разрезы с тремя, четырьмя и пятью ребрами.

- 2.2. В графе додекаэдра найдите
- 1) цепь длиной 5;
 - 2) путь длиной 10;
 - 3) циклы длиной 5, 8 и 9;
 - 4) разрезы с тремя, четырьмя и пятью ребрами.
- 2.3^s **Обхватом** (girth) графа называется длина его кратчайшего цикла. Найдите обхваты следующих графов:
- 1) K_9 ; 2) $K_{5,7}$; 3) C_8 ; 4) W_8 ; 5) Q_5 ; 6) графа Петерсена;
 - 7) графа додекаэдра.
- 2.4. Докажите следствие 2.3.
- 2.5^s Докажите, что простой граф и его дополнение не могут быть одновременно несвязными.
- 2.6^s Найдите $\kappa(G)$ и $\lambda(G)$ для следующих графов G :
- 1) C_6 ; 2) W_6 ; 3) $K_{4,7}$; 4) Q_4 .
- 2.7. 1) Покажите, что если G — связный граф с минимальной степенью k , то $\lambda(G) \leq k$.
- 2) Нарисуйте граф G с минимальной степенью k , для которого $\kappa(G) < \lambda(G) < k$.
- 2.8. 1) Докажите, что граф 2-реберно-связен тогда и только тогда, когда любые две разные вершины соединены как минимум двумя путями без общих ребер.
- 2) Докажите, что граф с по крайней мере тремя вершинами 2-связен тогда и только тогда, когда любые две отдельные вершины соединяются по крайней мере двумя путями без каких-либо общих вершин.
- 2.9. В связном графе **расстоянием** (distance) $d(v, w)$ между вершиной v и вершиной w является длина кратчайшего пути от v до w .
- 1) Если $d(v, w) \geq 2$, покажите, что существует вершина z , такая, что $d(v, z) + d(z, w) = d(v, w)$.
 - 2) Покажите, что в графе Петерсена для любых различных вершин v и w расстояние $d(v, w)$ равно 1 или 2.
- 2.10. Покажите, что графы K_n ($n \geq 3$) и $K_{r,s}$ ($r, s \geq 2$) ориентируемы, найдя ориентацию каждого из них.
- 2.11. Найдите ориентации для графа Петерсена и графа додекаэдра.
- 2.12. Турнир является **транзитивным** (transitive), если из наличия дуг uv и vw вытекает существование дуги uw .

- 1) Приведите пример транзитивного турнира.
- 2) Покажите, что в транзитивном турнире команды могут быть ранжированы так, что каждая из них побеждает все команды, следующие за ней в рейтинге.
- 3) Сделайте вывод, что транзитивный турнир с по крайней мере двумя вершинами не может быть сильно связным.

2.13. Турнир T является **неприводимым** (irreducible), если невозможно разбить множество вершин T на два непересекающихся множества, V_1 и V_2 , так, что каждая дуга, соединяющая вершину V_1 и вершину V_2 , направлена от V_1 к V_2 .

- 1) Приведите пример неприводимого турнира.
- 2) Докажите, что турнир является неприводимым тогда и только тогда, когда он сильно связан.

2.14^s Приведите пример, показывающий, что вывод леммы Кёнига неверен, если мы опускаем условие локальной конечности бесконечного графа.

2.2. Эйлеровы графы и орграфы

В этом разделе мы рассмотрим эйлеровы графы и орграфы. Название “эйлеров” происходит от того факта, что в 1735 году российский математик Леонард Эйлер (Leonhard Euler) решил знаменитую **задачу о Кёнигсбергских мостах**, в которой спрашивается, можете ли вы пройти по каждому из семи мостов на рис. 2.12 ровно один раз и вернуться к исходной точке. Это равносильно вопросу, имеет ли граф на рис. 2.13 “эйлерову цепь” (определенную ниже), хотя сам Эйлер и не перефразировал задачу таким образом.

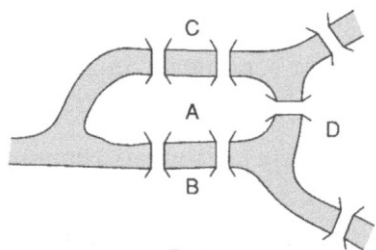


Рис. 2.12

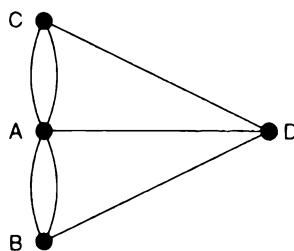


Рис. 2.13

Перевод статьи Эйлера и обсуждение различных смежных тем можно найти в работе Биггса (Biggs), Ллойда (Lloyd) и Уилсона (Wilson) [17]. Задачи об эйлеровых графах часто появляются в книгах по занимательной математике.

Типичная задача может заключаться в том, можно ли нарисовать фигуру, подобную показанной на рис. 2.13, одним росчерком карандаша, без повторения каких-либо линий.

Эйлеровы графы

Связный граф G называется **эйлеровым**, если существует замкнутая цепь, включающая каждое ребро G ; такая цепь называется эйлеровой цепью. Обратите внимание, что это определение требует, чтобы вы проходили по каждому ребру только один раз и заканчивали проход в начальной точке. Не эйлеровый граф G называется **полуэйлеровым**, если существует (незамкнутая) цепь, включающая каждое ребро G . На рис. 2.14–2.16 показаны графы, которые являются эйлеровым, полуэйлеровым и не эйлеровым соответственно.

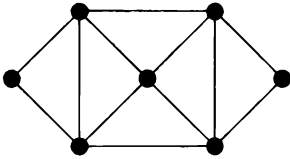


Рис. 2.14

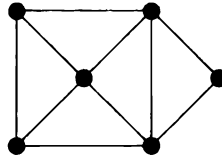


Рис. 2.15

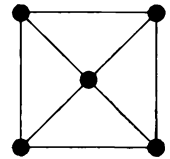


Рис. 2.16

Сразу возникает вопрос “Есть ли необходимые и достаточные условия для эйлеровости графа?” Прежде чем ответить на него в теореме 2.9, докажем простую лемму.

Лемма 2.8. Если G — граф, в котором степень каждой вершины не меньше 2, то G содержит цикл.

Доказательство. Если G имеет какие-либо петли или кратные ребра, результат тривиален. Поэтому можно предположить, что G — простой граф.

Пусть v — произвольная вершина G . Построим маршрут

$$v \rightarrow v_1 \rightarrow v_2 \rightarrow \dots$$

индуктивно, выбирая v_1 как произвольную вершину, смежную с v , и для каждого $i > 1$ выбирая v_{i+1} как произвольную вершину, смежную с v_i , кроме v_{i-1} ; существование такой вершины гарантировано нашей гипотезой. Поскольку G имеет только конечное число вершин, в конечном итоге мы должны выбрать вершину, которая уже была выбрана. Если v_k — первая такая вершина, то часть маршрута, которая лежит между двумя вхождениями v_k , и является требуемым циклом. ■

Теперь мы подошли к основному результату этого раздела, который говорит нам о том, что данный связный граф является эйлеровым тогда и только тогда, когда степени всех его вершин четны. С точки зрения задачи о мостах Кёнигсберга это соответствует карте города, на которой число мостов, исходящих из каждой части города, является четным.

Теорема 2.9 (Эйлер, 1735). Связный граф G является эйлеровым тогда и только тогда, когда степень каждой вершины G четна.

Доказательство. \Rightarrow Предположим, что P является эйлеровой цепью G . Всякий раз, когда P проходит через вершину, он вносит свой вклад 2 в ее степень. Поскольку каждое ребро встречается в P ровно один раз, степень каждой вершины должна быть суммой двоек и, таким образом, является четным числом.

\Leftarrow Доказательством служит индукция по числу ребер G . Предположим, что степень каждой вершины четна. Поскольку граф G связный, каждая вершина имеет степень не меньше 2, а поэтому согласно лемме 2.8 граф G содержит цикл C .

Если C содержит каждое ребро G , доказательство завершено. Если же нет, мы удаляем из G ребра C , формируя новый (возможно, несвязный) граф H с числом ребер, меньшим, чем в G , в котором каждая вершина все еще имеет четную степень. По предположению индукции каждый компонент H имеет эйлерову цепь. Но каждый компонент H имеет хотя бы одну общую с C вершину. Отсюда следует, что мы можем получить требуемую эйлерову цепь в G , проходя по ребрам C до тех пор, пока не будет достигнута неизолированная вершина H , отследив эйлерову цепь в компоненте H , содержащем эту вершину, а затем продолжая движение вдоль ребер C , пока не достигнем вершины, принадлежащей другому компоненту H , и т.д. Весь процесс заканчивается, когда мы возвращаемся к исходной вершине (рис. 2.17). ■

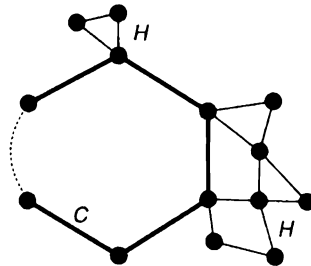


Рис. 2.17

Это доказательство можно легко модифицировать, чтобы доказать два следующих результата (детали мы опускаем; см. упражнение 2.18).

Следствие 2.10. Связный граф является эйлеровым тогда и только тогда, когда его множество ребер может быть разбито на непересекающиеся циклы (без общих ребер).

Следствие 2.11. Связный граф является полуэйлеровым тогда и только тогда, когда у него есть ровно две вершины с нечетной степенью.

Заметим, что в полуэйлеровом графе любая полуэйлерова цепь должна начинаться в одной из вершин с нечетной степенью, а завершаться — в другой. Заметим также, что, согласно лемме о рукопожатиях граф не может иметь только одну вершину нечетной степени.

Завершим рассмотрение эйлеровых графов алгоритмом построения эйлеровой цепи в эйлеровом графе. Этот алгоритм известен под названием **алгоритма Флёрн** (Fleury).

Теорема 2.12. Пусть G — эйлеров граф. Тогда всегда возможно следующее построение, дающее эйлерову цепь в G .

Начнем с любой вершины u и будем обходить ребра произвольным образом, соблюдая лишь следующие правила:

- 1) удаляем ребра по мере их прохождения, а также, если в результате образуются изолированные вершины, удаляем и их;
- 2) на каждом шаге проходим по мосту только в случае, если у нас нет других возможностей.

Доказательство. Сначала покажем, что такое построение возможно на каждом этапе.

Предположим, что мы достигли некоторой вершины v , по ходу дела стирая ребра. Если $v \neq u$, то оставшийся подграф H связан и имеет только две вершины нечетной степени, u и v . Чтобы показать возможность выполнения построения, следует показать, что удаление следующего ребра не разъединяет H — или, что то же самое, что вершина v инцидентна не более чем одному мосту. Но если это не так, то существует такой мост vw , что компонент K в $H - vw$, содержащий w , не содержит u (рис. 2.18). Поскольку вершина w в K имеет нечетную степень, некоторая другая вершина K также должна иметь нечетную степень, что приводит к противоречию. Если же $v = u$, доказательство почти идентично, пока есть еще ребра, инцидентные вершине u .

Осталось только показать, что данная процедура всегда приводит к полной эйлеровой цепи. Но это очевидно, так как в G не может быть ребер, оставшихся непройденными после использования последнего ребра, инцидентного с u (поскольку в противном случае удаление некоторого более *раннего* ребра, смежного с одним из этих ребер, разъединило бы граф, что противоречит п. 2). ■

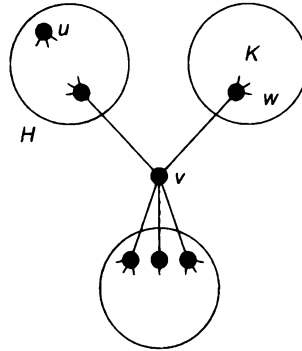


Рис. 2.18

Эйлеровы орграфы

Мы также можем получить аналоги некоторых из приведенных выше результатов для ориентированных графов.

Связный ориентированный граф D является **эйлеровым**, если существует замкнутая направленная цепь, включающая каждую дугу D ; такая цепь является **эйлеровой цепью**. Например, ориентированный граф на рис. 2.19 не является эйлеровым, хотя его базовый граф является эйлеровым графом.

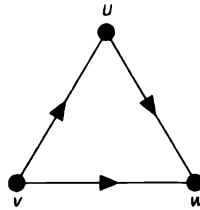


Рис. 2.19

Обратите внимание, что для существования эйлеровой цепи ориентированный граф должен быть сильно связным. Также обратите внимание, что любой эйлеров граф является ориентируемым, так как мы можем просто следовать по любой эйлеровой цепи, ориентируя ребра в направлении цепи по мере продвижения.

Наша первая цель — дать необходимое и достаточное условие эйлеровости связного орграфа, аналогичное условию теоремы 2.9.

Теорема 2.13. Сильно связный ориентированный граф является эйлеровым тогда и только тогда, когда для каждой вершины v графа D выполняется равенство

$$\text{outdeg}(v) = \text{indeg}(v).$$

Доказательство. Доказательство совершенно аналогично доказательству теоремы 2.9 и остается читателям в качестве упражнения. ■

Читателю оставляется также определение полуэйлерова орграфа и получение ориентированных аналогов следствий 2.10 и 2.11 (упражнение 2.23).

Бесконечные эйлеровы графы

Мы завершаем этот раздел кратким обсуждением бесконечных эйлеровых графов. Кажется естественным называть связный бесконечный граф G **эйлеровым**, если существует двусторонняя бесконечная цепь, включающая каждое ребро G ; такая бесконечная цепь представляет собой двустороннюю эйлерову цепь. Обратите внимание, что эти определения требуют, чтобы граф G был счетным.

Следующие теоремы дают дополнительные необходимые условия для того, чтобы бесконечный граф был эйлеровым.

Теорема 2.14. Пусть G — счетный связный граф, являющийся эйлеровым. Тогда

- 1) G не имеет вершин с нечетной степенью;
- 2) для каждого конечного подграфа H графа G бесконечный граф K получается путем удаления из G ребер H , имеет не более двух бесконечных компонентов;
- 3) если, кроме того, каждая вершина H имеет четную степень, то K имеет ровно одну бесконечную компоненту.

Доказательство

- 1) Предположим, что P — эйлерова цепь. Тогда в силу аргумента, приведенного в доказательстве теоремы 2.9, каждая вершина G должна иметь либо четную, либо бесконечную степень.
- 2) Пусть P разбита на три подцепи, P_- , P_0 и P_+ , таким образом, что P_0 — конечная цепь, содержащая каждое ребро H (и, возможно, другие ребра), а P_- и P_+ — односторонние бесконечные цепи. Тогда бесконечный граф, образованный ребрами P_- и P_+ и инцидентными им вершинами, имеет не более двух бесконечных компонентов. Поскольку K получается путем добавления к этому графу только конечного множества ребер, отсюда непосредственно следует искомым результат.
- 3) Пусть начальной и конечной вершинами P_0 являются v и w . Мы хотим показать, что v и w связаны в K . Если $v = w$, это очевидно. Если же нет, то искомым результат может быть получен при применении следствия 2.11 к графу, полученному путем удаления ребер H из P_0 ; согласно гипотезе этот граф имеет ровно две вершины (v и w) с нечетными степенями. ■

Необходимые условия, приведенные в предыдущей теореме, являются также достаточными. Мы сформулируем этот результат формально в следующей теореме, доказательство которой можно найти в [15].

Теорема 2.15. Если G — счетный связный граф, то он является эйлеровым тогда и только тогда, когда выполняются условия 1, 2 и 3 теоремы 2.14.

Упражнения

- 2.15^s Какие из следующих графов являются эйлеровыми или полуэйлеровыми?
- 1) Полный граф K_5 .
 - 2) Полный двудольный граф $K_{2,3}$.
 - 3) Граф куба.
 - 4) Граф октаэдра.
 - 5) Граф Петерсена.
- 2.16^s Найдите эйлеровы и полуэйлеровы графы в таблице на рис. 1.9.
- 2.17. 1) Для каких значений n граф K_n является эйлеровым?
 2) Какие полные двудольные графы являются эйлеровыми?
 3) Какие платоновы графы являются эйлеровыми?
 4) Для каких значений n колесо W_n является эйлеровым?
 5) Для каких значений k k -куб Q_k является эйлеровым?
- 2.18. Докажите следствия 2.10 и 2.11.
- 2.19^s Пусть G — связный граф с k ($k > 0$) вершинами нечетной степени.
- 1) Покажите, что минимальное количество цепей, которые вместе включают каждое ребро G и не имеют общих ребер, равно $k/2$.
 - 2) Сколько требуется непрерывных линий, чтобы нарисовать диаграмму на рис. 2.20, не проходя ни одного отрезка линии дважды?

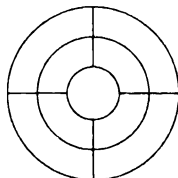


Рис. 2.20

2.20^s Примените алгоритм Флёрри для построения эйлеровой цепи для графа на рис. 2.21.

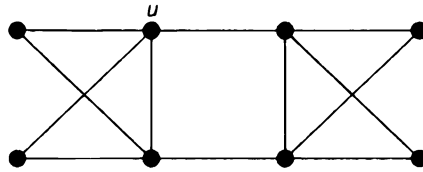


Рис. 2.21

2.21. Эйлеров граф является **случайно обходимым** (randomly traceable) из вершины v , если мы всякий раз, начав обход с вершины v , двигаясь по графу случайным образом и никогда не проходя по одному и тому же ребру дважды, в конечном итоге получаем эйлерову цепь.

- 1) Покажите, что граф на рис. 2.22 случайно обходимый.
- 2) Приведите пример эйлерова графа, который не является случайно обходимым.
- 3) Почему случайно обходимый граф может быть подходящим для схемы выставки?

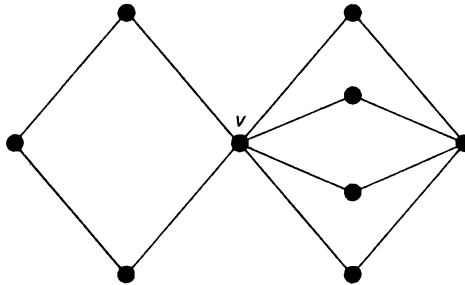


Рис. 2.22

2.22^s Найдите эйлерову цепь в турнире на рис. 2.23.

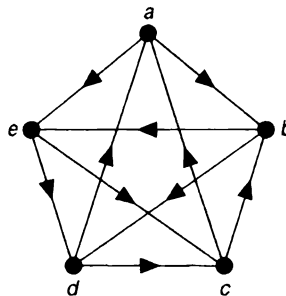


Рис. 2.23

- 2.23. Докажите теорему 2.13 и “ориентированные” аналоги следствий 2.10 и 2.11.
- 2.24. Пусть D — ориентированный граф, вершинами которого являются пары целых чисел $11, 12, 13, 21, 22, 23, 31, 32, 33$, а дуги соединяют ij с kl тогда и только тогда, когда $j = k$. Найдите эйлерову цепь в D и используйте ее, чтобы получить циклическое размещение девяти единиц, девяти двоек и девяти троек, в котором каждая из 27 возможных троек ($111, 233$ и т.д.) встречается ровно один раз. (Задачи такого рода возникают в теории связи.)
- 2.25. 1) Найдите эйлерову цепь в бесконечной квадратной решетке S .
2) Убедитесь, что S удовлетворяет условиям теоремы 2.14.
- 2.26. Повторите предыдущее упражнение для бесконечной треугольной решетки.

2.3. Гамильтоновы графы и орграфы

В предыдущем разделе мы обсуждали вопрос существования замкнутой цепи, включающей каждое ребро данного связного графа G . Схожая задача состоит в том, чтобы определить, существует ли замкнутая цепь, проходящая ровно один раз через каждую вершину графа G : такая цепь должна быть циклом, кроме случаев, когда G является графом K_1 . Такой цикл называется **гамильтоновым циклом**, а граф с гамильтоновым циклом называется **гамильтоновым графом**. Негамильтонов граф является **полугамильтоновым**, если существует путь, проходящий через каждую вершину. На рис. 2.24–2.26 показаны графы, которые являются гамильтоновым, полугамильтоновым и негамильтоновым соответственно.

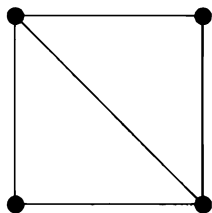


Рис. 2.24

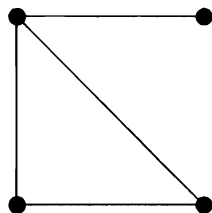


Рис. 2.25

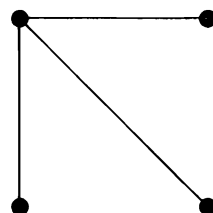


Рис. 2.26

Название “гамильтонов цикл” связано с тем фактом, что ирландский математик сэр Уильям Гамильтон (William Hamilton) исследовал их существование в графе додекаэдра в связи с алгебраической задачей, хотя циклы на

многогранниках уже были изучены ранее Т.П. Киркманом (Т.Р. Kirkman). Цикл на додекаэдре показан сплошными линиями на рис. 2.27.

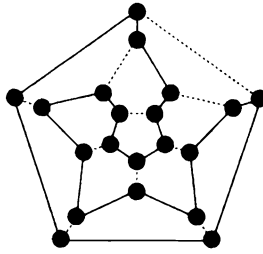


Рис. 2.27

В теореме 2.9 и следствии 2.10 мы получили необходимые и достаточные условия эйлеровости связного графа и могли бы надеяться получить аналогичные характеристики и для гамильтоновых графов, но такие характеристики неизвестны. Фактически вообще о гамильтоновых графах мало что известно, и большинство результатов имеют вид “если G имеет достаточное количество ребер, то граф G — гамильтонов”. Вероятно, наиболее прославленной является **теорема Дирака**, принадлежащая Г.Э. Дираку (G.A. Dirac) (следствие 2.17). Мы выведем ее из следующего более общего результата О. Оре (O. Ore).

Теорема 2.16 (Оре, 1960). Если G является простым графом с $n \geq 3$ вершинами и если для каждой пары несмежных вершин, v и w , выполняется соотношение

$$\deg(v) + \deg(w) \geq n,$$

то граф G — гамильтонов.

Доказательство. Будем доказывать от противного, предположив, что результат неверен, и придя к противоречию.

Итак, пусть G — негамильтонов граф, имеющий n вершин и удовлетворяющий указанному условию для степеней вершин. Добавляя, если необходимо, дополнительные ребра, мы можем считать, что G является “чуть-чуть” негамильтоновым в том смысле, что добавление любого ребра дает гамильтонов граф. Обратите внимание, что добавление дополнительного ребра не нарушает условия для степеней вершин. Отсюда следует, что G содержит путь

$$v_1 \rightarrow v_2 \rightarrow \dots \rightarrow v_n,$$

проходящий через каждую вершину. Но поскольку граф G — негамильтонов, вершины v_1 и v_n не смежны, так что $\deg(v_1) + \deg(v_n) \geq n$. Отсюда следует, что должна быть некоторая вершина v_r , смежная с v_1 и обладающая тем свойством, что v_{r-1} смежна с v_n (рис. 2.28).

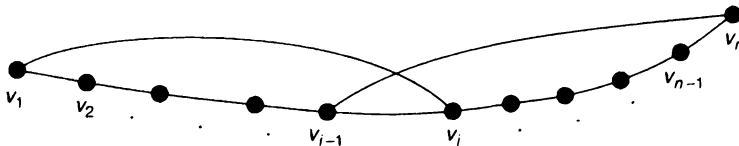


Рис. 2.28

Но это приводит нас к необходимому противоречию, поскольку в таком случае

$$v_1 \rightarrow v_2 \rightarrow \dots \rightarrow v_{i-1} \rightarrow v_n \rightarrow v_{n-1} \rightarrow \dots \rightarrow v_{i+1} \rightarrow v_i \rightarrow v_1$$

является гамильтоновым циклом. ■

Следствие 2.17 (Дирак, 1952). Если G — простой граф с $n \geq 3$ вершинами и если $\deg(v) \geq n/2$ для каждой вершины v , то граф G — гамильтонов.

Доказательство. Искомый результат немедленно следует из теоремы 2.16, поскольку $\deg(v) + \deg(w) \geq n$ для каждой пары вершин, v и w , независимо от того, смежны они или нет. ■

Гамильтоновы орграфы

Как и следовало ожидать, изучение гамильтоновых орграфов продвигается менее успешно, чем изучение эйлеровых орграфов. Ориентированный граф D является **гамильтоновым**, если существует направленный цикл, включающий каждую вершину D . Негамильтонов орграф, содержащий направленный путь через каждую вершину, является **полугамильтоновым**. О гамильтоновых ориентированных графах известно мало, а обобщить некоторые теоремы о гамильтоновых графах на ориентированные графы удастся только с большим трудом (если вообще удастся).

Естественно спросить, есть ли обобщение теоремы Дирака (следствие 2.17) для ориентированных графов. Одно из таких обобщений принадлежит М.А. Гуила-Хаури (М.А. Ghouila-Houri); его доказательство сложнее, чем теоремы Дирака, а найти его можно в [16].

Теорема 2.18. Пусть D — сильно связный ориентированный граф с n вершинами. Если $\text{outdeg}(v) \geq n/2$ и $\text{indeg}(v) \geq n/2$ для каждой вершины v , то граф D — гамильтонов.

Похоже, что такие графы встречаются не так часто, поэтому рассмотрим, какие типы ориентированных графов являются гамильтоновыми. В этом

отношении особенно важны турниры, так как результаты в этом случае принимают очень простой вид.

Поскольку в турнирах могут быть вершины с нулевой полустепенью исхода или нулевой полустепенью захода, обычно они не являются гамильтоновыми. Однако следующая теорема, полученная Л. Редеи (L. Rédei) и П. Камиемом (P. Camion), показывает, что каждый турнир “почти гамильтонов”.

Теорема 2.19.

- 1) Каждый негамильтонов турнир является полугамильтоновым.
- 2) Каждый сильно связный турнир является гамильтоновым.

Доказательство. 1) Если в турнире меньше четырех вершин, очевидно, что утверждение верно. Мы докажем результат по индукции по числу вершин и предположим, что каждый негамильтонов турнир с n вершинами является полугамильтоновым.

Пусть T — негамильтонов турнир с $n+1$ вершинами и пусть T' — турнир с n вершинами, полученными путем удаления из T вершины v и инцидентных ей дуг. По гипотезе индукции T' имеет полугамильтонов путь $v_1 \rightarrow v_2 \rightarrow \dots \rightarrow v_n$. Теперь нужно рассмотреть три случая.

- Если vv_1 является дугой в T , то требуемый путь представляет собой

$$v \rightarrow v_1 \rightarrow v_2 \rightarrow \dots \rightarrow v_n.$$

- Если vv_1 не является дугой в T (это означает, что ею является v_1v) и если существует i такое, что vv_i является дугой в T , то, выбирая первое такое i , мы получим требуемый путь (рис. 2.29)

$$v_1 \rightarrow v_2 \rightarrow \dots \rightarrow v_{i-1} \rightarrow v \rightarrow v_i \rightarrow \dots \rightarrow v_n.$$

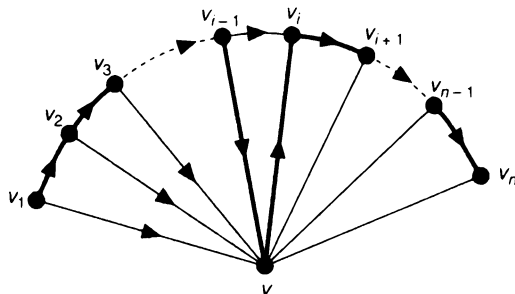


Рис. 2.29

- Если в T нет дуги вида vv_i , то требуемым путем является

$$v_1 \rightarrow v_2 \rightarrow \dots \rightarrow v_n \rightarrow v.$$

2) Докажем более сильный результат, заключающийся в том, что сильно связный турнир T с n вершинами содержит циклы длиной 3, 4, ..., n .

Покажем, что T содержит цикл длиной 3. Пусть v — любая вершина из T и пусть W — множество всех вершин w , таких, что vw — дуга в T , а Z — множество всех вершин z , таких, что zv это дуга. Поскольку T сильно связный, и W , и Z должны быть непустыми, а в T должна быть дуга вида $w'z'$, где $w' \in W$, а $z' \in Z$ (рис. 2.30). Тогда требуемый цикл длиной 3 —

$$v \rightarrow w' \rightarrow z' \rightarrow v.$$

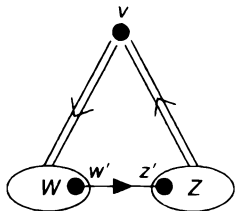


Рис. 2.30

Осталось только показать, что если существует цикл длиной k , где $k \leq n$, то существует и цикл длиной $k + 1$. Пусть таким циклом является

$$v_1 \rightarrow v_2 \rightarrow \dots \rightarrow v_k \rightarrow v_1.$$

Предположим сначала, что существует вершина v , не содержащаяся в этом цикле, для которой в T существуют дуги вида vv_i и v_jv . Тогда должна существовать вершина v_i , такая, что и $v_{i-1}v_i$ и v_iv являются дугами в T . В этом случае требуемый цикл имеет вид (рис. 2.31)

$$v_1 \rightarrow v_2 \rightarrow \dots \rightarrow v_{i-1} \rightarrow v \rightarrow v_i \rightarrow \dots \rightarrow v_k \rightarrow v_1.$$

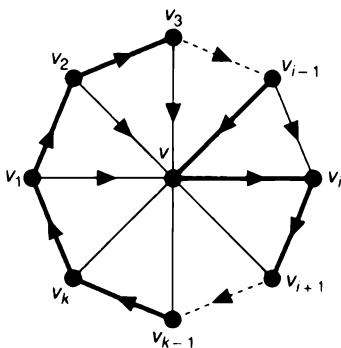


Рис. 2.31

Если вершины с вышеупомянутым свойством нет, то множество вершин, не содержащихся в цикле, может быть разделено на два непересекающихся множества, W и Z , где W — множество вершин w , таких, что $v_i w$ является дугой для i , а Z — множество вершин z , таких, что $z v_i$ является дугой для каждого i . Поскольку T является сильно связным, и W и Z должны быть непустыми, а в T должна иметься дуга вида $w' z'$, где $w' \in W$, а $z' \in Z$. Тогда требуемый цикл имеет вид (рис. 2.32)

$$v_1 \rightarrow w' \rightarrow z' \rightarrow v_3 \rightarrow \dots \rightarrow v_k \rightarrow v_1$$

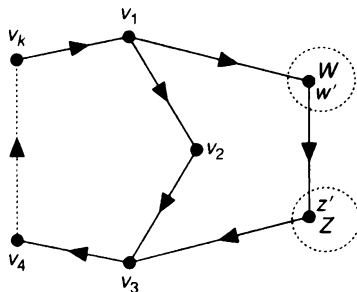


Рис. 2.32

Упражнения

2.27^s Какие из следующих графов гамильтоновы или полугамильтоновы?

- 1) Полный граф K_5 .
- 2) Полный двудольный граф $K_{2,3}$.
- 3) Граф октаэдра.
- 4) Колесо W_6 .
- 5) 4-куб Q_4 .

2.28^s Укажите в таблице на рис. 1.9 все гамильтоновы и полугамильтоновы графы.

2.29. 1) Для каких значений n граф K_n гамильтонов?

2) Какие из полных двудольных графов гамильтоновы?

3) Какие из платоновых графов гамильтоновы?

4) Для каких значений n граф W_n гамильтонов?

5) Для каких значений k граф Q_k гамильтонов?

2.30. Является ли граф Грётша (Grötzsch) на рис. 2.33 гамильтоновым?

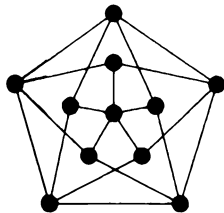


Рис. 2.33

- 2.31. 1) Докажите, что если G — двудольный граф с нечетным количеством вершин, то граф G — негамильтонов.
- 2) Покажите, что, исходя из этого, граф на рис. 2.34 негамильтонов.

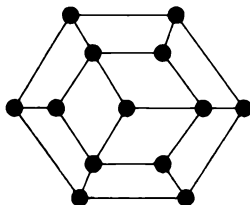


Рис. 2.34

- 2.32. Воспользуйтесь результатом упражнения 2.31.1 для того, чтобы показать, что шахматный конь не может посетить все клетки шахматной доски 5×5 или 7×7 ровно один раз и вернуться к стартовой точке. Может ли конь посетить все клетки шахматной доски размером 6×6 ?
- 2.33^s Приведите пример, демонстрирующий, что условие $\deg(v) \geq n/2$ в формулировке теоремы Дирака не может быть заменено условием $\deg(v) \geq (n-1)/2$.
- 2.34. 1) Пусть G — граф с n вершинами и $(n-1)(n-2)/2 + 2$ ребрами. Воспользуйтесь теоремой Оре, чтобы доказать, что граф G — гамильтонов.
- 2) Найдите негамильтонов граф с n вершинами и $(n-1)(n-2)/2 + 1$ ребрами.
- 2.35^s Найдите гамильтонов цикл в турнире на рис. 2.23.

2.4. Приложения

Многие важные достижения в теории графов возникли в результате попыток решить конкретные задачи — например, Эйлер и мосты Кёнигсберга (раздел 2.2), Кейли (Cauley) и перечисление химических молекул (раздел 3.2) или

работы Кирхгофа (Kirchhoff) по электрическим цепям (раздел 3.3). В настоящее время большой интерес к теории графов связан с тем, что, помимо того, что она сама по себе является элегантной математической дисциплиной, теория графов может применяться в большом количестве различных областей (см. предисловие). В данной книге в силу ее размера мы не можем обсуждать большое количество приложений и советуем вам обратиться к работам Берге (Berge) [9], Чартранда (Chartrand) и Оллермана (Oellermann) [20], Део (Deo) [21], Робертса (Reberts) [25] и Такера (Tucker) [26], чтобы ознакомиться с широким диапазоном практических задач, зачастую — с алгоритмами их решения.

В этом разделе мы рассмотрим четыре типа задач, связанных с путями и циклами: *задача о кратчайшем пути*, *задача о критическом пути*, *задача китайского почтальона* и *задача коммивояжера*. Первые две из них могут быть решены с помощью эффективных **алгоритмов** — конечных пошаговых процедур, которые быстро дают решения поставленных задач. Третья задача также может быть решена с помощью эффективного алгоритма, но здесь мы рассмотрим только один частный случай. Для четвертой задачи эффективные алгоритмы не известны; поэтому мы должны выбирать между точными алгоритмами, которые требуют очень много времени для получения решения, и эвристическими алгоритмами с малым временем работы, но дающими только приближенные решения.

Задача о кратчайшем пути

Предположим, что у нас есть схема показанного на рис. 2.35 вида, в которой буквы A – L означают города, связанные дорогами. Какова длина кратчайшего пути от A до L при условии, что указаны длины дорог, связывающих города? (Говоря о “кратчайшем пути”, следует учитывать, что может иметься более одного пути с кратчайшей длиной и что нас интересует любой из них.)

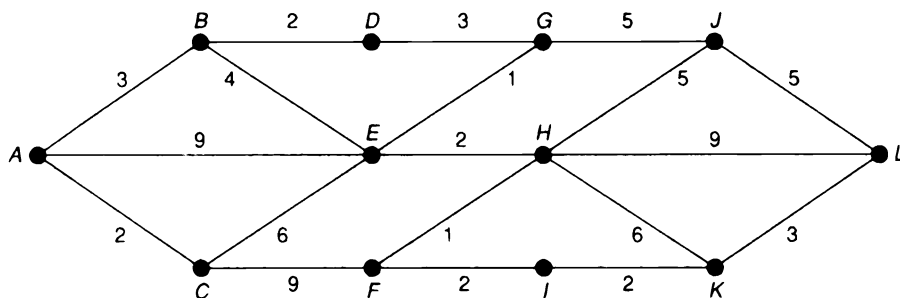


Рис. 2.35

Обратите внимание, что цифры на диаграмме могут указывать не длину каждой дороги, а время, необходимое на ее прохождение, или стоимость проезда.

Таким образом, если у нас есть алгоритм решения этой задачи в ее первоначальной формулировке, то этот алгоритм можно использовать и для поиска самого быстрого или самого дешевого маршрута.

Заметим также, что можно легко получить верхнюю оценку ответа, просто выбрав *любой* путь от A до L и вычислив его длину. Например, путь

$$A \rightarrow B \rightarrow D \rightarrow G \rightarrow J \rightarrow L$$

имеет общую длину 18, так что длина кратчайшего пути не может быть больше 18.

При решении таких задач мы рассматриваем нашу диаграмму как связный граф, в котором каждому ребру присвоено некоторое неотрицательное число. Такой граф называется **взвешенным графом**, а число, назначаемое каждому ребру e , представляет собой **вес** ребра e , обозначаемый как $w(e)$. Задача состоит в том, чтобы найти путь от A до L с минимальным общим весом. Обратите внимание, что если у нас есть взвешенный граф, в котором каждое ребро имеет вес 1, то задача сводится к поиску числа ребер в кратчайшем пути от A до L .

Есть несколько методов, которые мы можем использовать для решения этой задачи. Один из них — создать модель карты, связав вместе кусочки веревки, длины которых пропорциональны длинам дорог. Чтобы найти кратчайший путь, просто возьмитесь за узлы, соответствующие A и L , и сильно потяните!

Однако есть более математический способ решения задачи. Идея состоит в том, чтобы перемещаться по карте слева направо, пометая каждую вершину V номером $l(V)$, который указывает кратчайшее расстояние от A до V . Это означает, что когда мы достигаем такой вершины, как K , на рис. 2.35, тогда $l(K)$ принимает значение либо $l(H) + 6$, либо $l(I) + 2$, в зависимости от того, какое из значений меньше. Наша цель — найти $l(L)$.

Применяя алгоритм к показанному графу, сначала присваиваем A метку 0 и даем вершинам B , E и C временные метки $l(A) + 3$, $l(A) + 9$ и $l(A) + 2$, т.е. 3, 9 и 2. Далее мы берем наименьшее из полученных значений и записываем $l(C) = 2$. Теперь вершина C *навсегда помечена* как 2.

Рассмотрим вершины, смежные с этой вершиной C . Мы присваиваем F временную метку $l(C) + 9 = 11$ и понижаем временную метку E до $l(C) + 6 = 8$. Теперь наименьшая временная метка равна 3 (у вершины B), поэтому мы пишем $l(B) = 3$, и B теперь *навсегда помечена* как 3.

Рассмотрим вершины, смежные с этой вершиной B . Мы присваиваем D временную метку $l(B) + 2 = 5$ и понижаем временную метку E до $l(B) + 4 = 7$. Теперь наименьшая временная метка равна 5 (у вершины D), поэтому мы пишем $l(D) = 5$, и D теперь *навсегда помечена* как 5.

Рассмотрим вершины, смежные с этой вершиной B . Единственной смежной с ней вершиной является G , и мы присваиваем ей временную метку $l(D) + 3 = 8$.

Теперь наименьшая временная метка равна 7 (у вершины E), поэтому мы пишем $l(E) = 7$, и E теперь *навсегда помечена* как 7.

Продолжая работу, мы получаем перманентные метки

$$l(G) = 8, \quad l(H) = 9, \quad l(F) = 10, \quad l(I) = 12, \quad l(J) = 13, \quad l(K) = 14, \quad l(L) = 17,$$

показанные на рис. 2.36. Отсюда следует, что кратчайший путь от A до L имеет длину, равную 17.

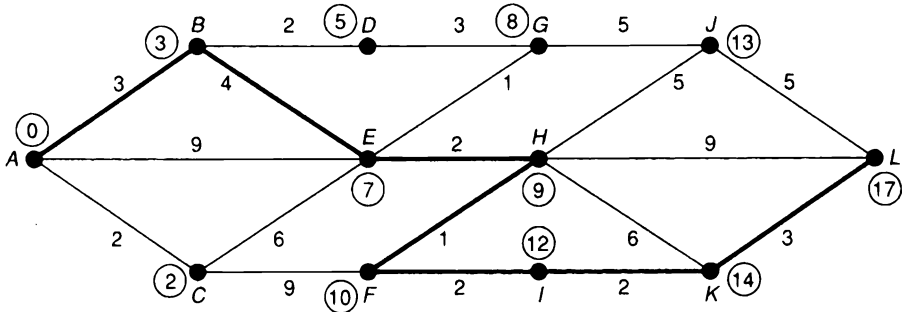


Рис. 2.36

Чтобы найти сам кратчайший путь, мы можем ограничиться только теми ребрами, длина которых равна разности меток на его концах, такими как KL и IK (поскольку $l(L) - l(K) = 17 - 14 = 3$ и $l(K) - l(I) = 2$). Используя метки, мы можем проследить путь назад от L через K и I , получив

$$L \leftarrow K \leftarrow I \leftarrow F \leftarrow H \leftarrow E \leftarrow B \leftarrow A.$$

Таким образом, кратчайшим путем (единственным в нашем случае) от A до L является путь

$$A \rightarrow B \rightarrow E \rightarrow H \rightarrow F \rightarrow I \rightarrow K \rightarrow L.$$

Задача о критическом пути

Теперь мы видим, как этот алгоритм можно адаптировать для получения *самого длинного* пути в ориентированном графе. Проиллюстрируем его использование в задаче о “критическом” пути, связанной с планированием ряда операций.

Предположим, что у нас есть некоторое задание, например строительство дома, и что это задание можно разделить на несколько видов деятельности, таких как закладка фундамента, установка крыши, электромонтаж и т.д. Часть этих действий может выполняться одновременно, в то время как некоторые должны быть полностью завершены, прежде чем можно будет приступить к другим действиям. Вопрос заключается в том, чтобы найти эффективный

метод определения того, как спланировать действия таким образом, чтобы вся работа была выполнена за минимальное время?

Чтобы решить эту проблему, мы строим “взвешенный ориентированный граф”, или **сетевой график** (activity network), в котором каждая дуга представляет время, затрачиваемое на соответствующее действие. Такой график приведен на рис. 2.37. Вершина A представляет начало задания, а вершина L — его завершение. Поскольку все задание невозможно выполнить до тех пор, пока не будет пройден каждый путь от A до L , задача сводится к поиску самого длинного пути от A до L .

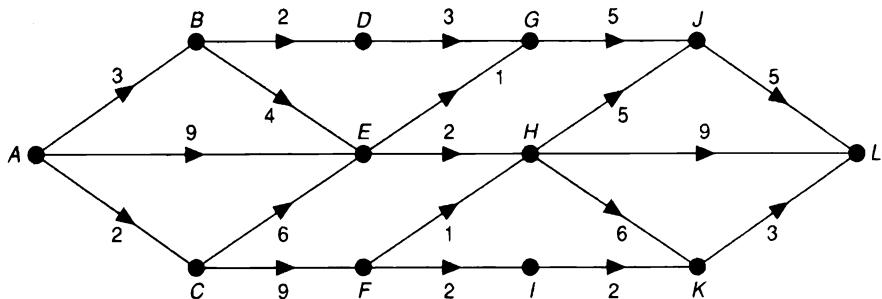


Рис. 2.37

Решение получается с помощью метода, известного как метод оценки и анализа программ (programme evaluation and review technique — PERT), который подобен методу, использованному ранее для решения задачи о кратчайшем пути. На этот раз, перемещаясь по ориентированному графу слева направо, мы связываем с каждой вершиной V метку $l(V)$, указывающую длину *самого длинного* пути от A до V . Как и в задаче с кратчайшим путем, мы отслеживаем эти метки, записывая их рядом с вершинами, которые они представляют. Однако, в отличие от рассмотренной ранее задачи здесь нет никаких “зигзагов” — все дуги направлены слева направо, так что можно назначать вершинам постоянные метки по мере продвижения. Например, для ориентированного графа на рис. 2.37 мы назначаем

- вершине A — значение 0;
- вершине B — значение $l(A) + 3$, т.е. 3;
- вершине C — значение $l(A) + 2$, т.е. 2;
- вершине D — значение $l(B) + 2$, т.е. 5;
- вершине E — наибольшее из значений $l(A) + 9$, $l(B) + 4$ и $l(C) + 6$, т.е. 9;
- вершине F — значение $l(C) + 9$, т.е. 11;
- вершине G — наибольшее из значений $l(D) + 3$ и $l(E) + 1$, т.е. 10;
- вершине H — наибольшее из значений $l(E) + 2$ и $l(F) + 1$, т.е. 12;
- вершине I — значение $l(F) + 2$, т.е. 13;

вершине J — наибольшее из значений $l(G) + 5$ и $l(H) + 5$, т.е. 17;
 вершине K — наибольшее из значений $l(H) + 6$ и $l(J) + 2$, т.е. 18;
 вершине L — наибольшее из значений $l(H) + 9$, $l(J) + 5$ и $l(K) + 3$, т.е. 22.

Эти метки показаны на рис. 2.38. Отсюда следует, что самый длинный путь имеет длину 22, а значит, все задание не может быть выполнено за меньшее время.

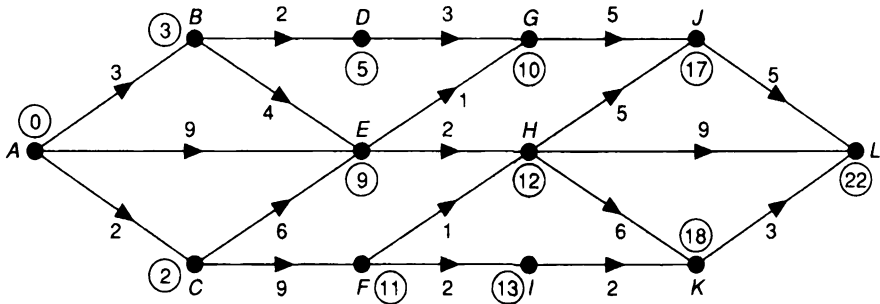


Рис. 2.38

Чтобы найти самый длинный путь, мы выполняем обратную трассировку от L , как мы делали для задачи о кратчайшем пути. В этом случае единственный наидлиннейший путь от A до L представляет собой

$$A \rightarrow C \rightarrow F \rightarrow H \rightarrow J \rightarrow L.$$

Его часто называют **критическим путем** (critical path), поскольку любая задержка на этом пути создает задержку выполнения всего задания. Вот почему при планировании следует уделять особое внимание критическим путям.

Мы также можем рассчитать самое позднее время, к которому должна быть завершена любая из операций, чтобы задание было выполнено в срок. Двигаясь от L , мы видим, что мы должны достичь

$$K \text{ ко времени } 22 - 3 = 19,$$

$$J \text{ ко времени } 22 - 5 = 17,$$

$$H \text{ ко времени } \min\{17 - 5, 22 - 9 \text{ и } 19 - 6\} = 12$$

и т.д.

Задача китайского почтальона

В этой проблеме, обсуждаемой китайским математиком Мейгу Гуаном (Meigu Guan), почтальону нужно обойти все улицы, где проживают адресаты писем; при этом он хочет пройти наименьшее возможное расстояние и вернуться в исходную точку. Очевидно, что он должен пройти по каждой улице хотя бы один раз, но должен избегать прохода более одного раза по слишком большому количеству улиц.

Эта задача может быть переформулирована в терминах взвешенного графа, где граф соответствует сети улиц, а вес каждого ребра — длине соответствующей улицы. В этой формулировке требование состоит в том, чтобы найти замкнутый маршрут с минимальным общим весом, который включает каждое ребро хотя бы один раз. Если граф эйлеров, то любая эйлерова цепь является замкнутым маршрутом требуемого типа; такую эйлерову цепь можно найти с помощью алгоритма Флёрри (см. раздел 2.2). Если же граф не является эйлеровым, то задача оказывается гораздо более сложной, хотя имеется эффективный алгоритм ее решения (см. [23]).

Чтобы проиллюстрировать лежащие в его основе идеи, рассмотрим частный случай, когда нечетную степень имеют ровно две вершины (рис. 2.39).

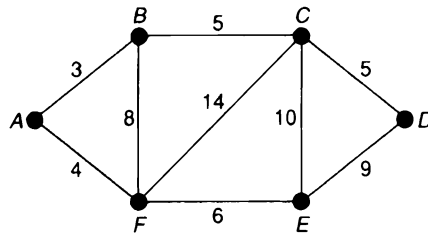


Рис. 2.39

Поскольку вершины B и E являются единственными вершинами с нечетной степенью, можно найти полуэйлерову цепь от B до E , проходящую по каждому ребру ровно один раз. Чтобы вернуться к исходной точке, пройдя наименьшее возможное расстояние, найдем кратчайший путь от E до B , используя описанный выше алгоритм. Решение задачи китайского почтальона получается путем объединения найденного кратчайшего пути

$$E \rightarrow F \rightarrow A \rightarrow B$$

с исходной полуэйлеровой цепью, что дает общее расстояние $13 + 64 = 77$. Обратите внимание, что, комбинируя кратчайший путь и полуэйлерову цепь, мы получаем эйлеров граф (рис. 2.40).

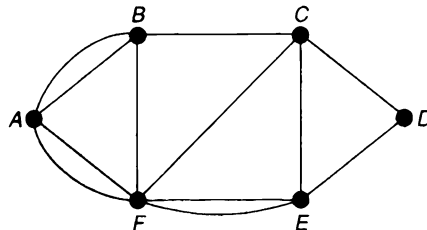


Рис. 2.40

Задача коммивояжера

В этой задаче коммивояжер хочет посетить несколько городов и вернуться в стартовую точку, пройдя наименьшее возможное расстояние. Такой маршрут должен быть циклом. Например, если есть пять городов, A , B , C , D и E , и если расстояния между ними такие, как показано на рис. 2.41, то два возможных маршрута — это циклы

$$A \rightarrow B \rightarrow C \rightarrow D \rightarrow E \rightarrow A \quad \text{и} \quad A \rightarrow D \rightarrow B \rightarrow C \rightarrow E \rightarrow A$$

с общими расстояниями

$$2 + 7 + 9 + 5 + 6 = 29 \quad \text{и} \quad 4 + 3 + 7 + 8 + 6 = 28,$$

но ни один из них не является кратчайшим маршрутом. Кратчайший маршрут коммивояжера в этом графе представляет собой

$$A \rightarrow B \rightarrow D \rightarrow E \rightarrow C \rightarrow A$$

с общей длиной, равной 26.

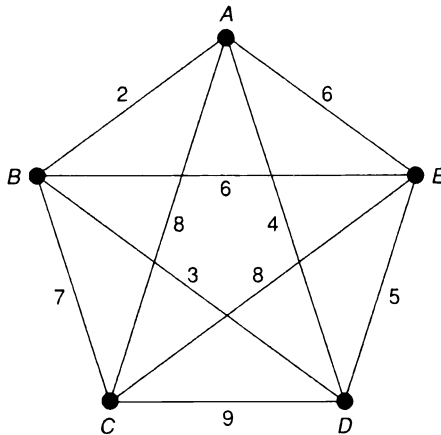


Рис. 2.41

Эта задача также может быть переформулирована в терминах взвешенных графов. В этом случае требуется найти гамильтонов цикл с наименьшим возможным общим весом в данном взвешенном полном графе. Обратите внимание, что, как и в случае задачи о кратчайшем пути, числа могут указывать время, затрачиваемое на поездку между городами, или затраты, связанные с поездкой. Таким образом, если бы мы могли найти эффективный алгоритм решения задачи коммивояжера в ее первоначальной формулировке, то его можно было бы применить для поиска самого быстрого или самого дешевого маршрута.

Один из возможных алгоритмов — рассчитать общее расстояние для *всех* возможных гамильтоновых циклов, но для более чем пяти городов это отнимает слишком много времени. Например, если имеется 20 городов, то число

возможных циклов равно $19!/2$, что составляет около 6×10^{16} . Для решения этой задачи были предложены другие алгоритмы, но они тоже требуют слишком много времени — никакой эффективный алгоритм решения данной задачи неизвестен, и обычно считается, что он и не существует. С другой стороны, имеется несколько эвристических методов, которые позволяют быстро обнаружить *приближенное* значение кратчайшего расстояния. Один из них описан в разделе 3.3.

Упражнения

2.36^s Воспользуйтесь алгоритмом поиска кратчайшего пути, чтобы найти кратчайший путь из A в G во взвешенном графе на рис. 2.42.

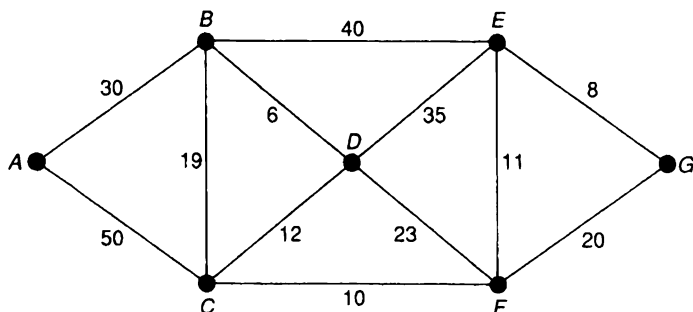


Рис. 2.42

2.37. Воспользуйтесь алгоритмом поиска кратчайшего пути, чтобы найти кратчайший путь из L в A во взвешенном графе на рис. 2.35, и убедитесь, что он согласуется с приведенным на рис. 2.36.

2.38. Найдите кратчайшие пути из вершины S графа, показанного на рис. 2.43, ко всем остальным вершинам этого графа.

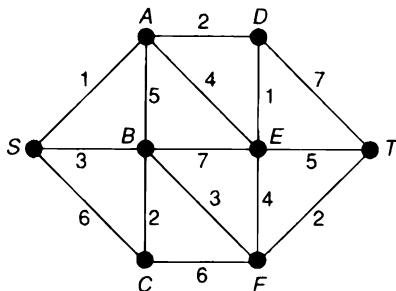


Рис. 2.43

- 2.39^s: В задаче о критическом пути, рассмотренной в разделе, вычислите наиболее поздние значения времени достижения вершин G , E и B .
- 2.40. Найдите наидлиннейший путь от вершины A к вершине G в сетевом графике на рис. 2.44.

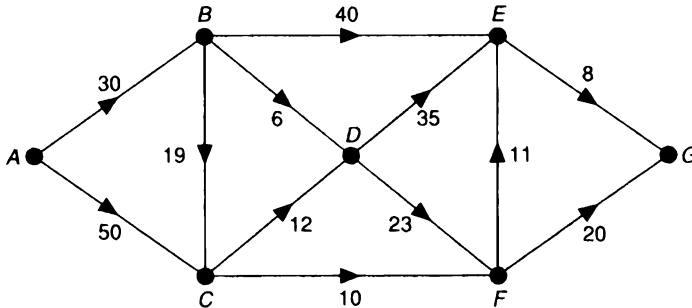


Рис. 2.44

- 2.41^s: Решите задачу китайского почтальона для взвешенного графа на рис. 2.45.

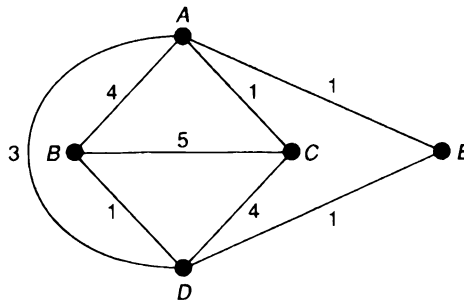


Рис. 2.45

- 2.42^s: Решите задачу коммивояжера для взвешенного графа на рис. 2.46.

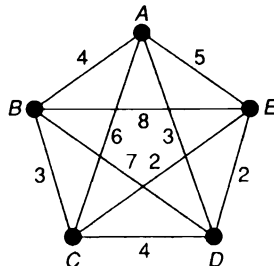


Рис. 2.46

- 2.43. Найдите гамильтонов цикл с *наибольшим* весом в графе на рис. 2.41.

Проблемы

- 2.44. Пусть G — простой граф с $2k$ вершинами, не содержащий треугольников. Докажите по индукции по k , что G имеет не более k^2 ребер, и приведите пример графа, для которого достигается указанная верхняя граница. (Данный результат часто называют *экстремальной теоремой Турана* (Turán).)
- 2.45. Пусть G — связный граф со множеством вершин $\{v_1, v_2, \dots, v_n\}$, m ребрами и t треугольниками.
- 1) Пусть A — матрица смежности G . Докажите, что количество маршрутов длиной 2 из v_i в v_j равно ij -му элементу матрицы A^2 . Выведите отсюда, что сумма диагональных записей матрицы A^2 равна $2m$.
 - 2) Получите соответствующий результат для числа маршрутов длиной 3 из v_i в v_j и выведите, что сумма диагональных записей матрицы A^3 равна $6t$.
- 2.46. 1) Докажите, что если два различных цикла графа G содержат одно и то же ребро e , то G имеет цикл, не содержащий ребра e .
- 2) Докажите аналогичное утверждение, в котором циклы заменены разрезами.
- 2.47. 1) Докажите, что если C — цикл, а C^* — разрез связного графа G , то C и C^* имеют четное число общих ребер.
- 2) Докажите, что если S — любое множество ребер G с четным числом общих ребер с каждым разрезом G , то S можно разбить на непересекающиеся циклы.
- 2.48. Множество E ребер графа G является **независимым**, если E не содержит циклов в G . Докажите, что
- 1) любое подмножество независимого множества является независимым;
 - 2) если I и J являются независимыми множествами ребер и $|J| > |I|$, то существует ребро e , которое принадлежит J , но не I , и при этом множество $I \cup \{e\}$ является независимым.
- Докажите также, что утверждения 1 и 2 будут выполняться, если слово “цикл” заменить словом “разрез”.
- 2.49. Пусть V — векторное пространство графа G (см. упражнение 1.52).
- 1) Воспользуйтесь следствием 2.10, чтобы показать, что если C и D являются циклами G , то их сумма, $C + D$, может быть записана как объединение циклов без общих ребер.

- 2) Выведите отсюда, что множество таких объединений циклов в C образует подпространство W пространства V (**подпространство циклов G**) и найдите его размерность.
- 3) Покажите, что множество объединений разрезов без общих ребер графа G образует подпространство W^* пространства V (**подпространство разрезов G**), и найдите его размерность.
- 2.50. Реберный граф графа G определен в упражнении 1.53.
- 1) Покажите, что реберный граф простого эйлера графа — эйлеров.
 - 2) Если реберный граф простого графа G эйлеров, то должен ли быть эйлеровым сам граф G ?
- 2.51. Пусть T представляет собой турнир. **Счетом** (score) вершины T является ее полустепень исхода, а **последовательность счетов** (score sequence) T представляет собой последовательность, образованную путем расстановки счетов его вершин в неубывающем порядке. Докажите, что если (s_1, s_2, \dots, s_n) — последовательность счетов турнира T , то
- 1) $s_1 + s_2 + \dots + s_n = n(n-1)/2$;
 - 2) для каждого натурального числа $k < n$, $s_1 + s_2 + \dots + s_k \geq k(k-1)/2$, причем неравенство для всех k является строгим тогда и только тогда, когда турнир T сильно связан;
 - 3) турнир T транзитивен (см. упражнение 2.12) тогда и только тогда, когда $s_k = k-1$ для каждого k .
- 2.52. Докажите, что граф Петерсена негамильтонов.
- 2.53. Пусть G — гамильтонов граф и S — любое множество k вершин в G . Докажите, что граф $G-S$ имеет не более k компонентов.
- 2.54. 1) Найдите четыре гамильтоновых цикла в K_9 , никакие два из которых не имеют общих ребер.
- 2) Каково максимальное число непересекающихся гамильтоновых циклов в K_{2k+1} ?
- 2.55. Покажите, что бесконечная квадратная решетка имеет как одно-, так и двусторонние бесконечные пути, проходящие через каждую вершину ровно по одному разу.

Деревья

“Дурак и умный видят разные деревья”.

Уильям Блейк (William Blake)

Все мы знакомы с понятием генеалогического дерева. В этой главе мы изучим деревья в общем виде и отдельно рассмотрим остовные деревья в связных графах и замечательный результат Кейли (Cayley) о перечислении маркированных деревьев. В завершение главы речь пойдет о некоторых приложениях деревьев.

3.1. Свойства деревьев

Связный граф без циклов называется **деревом** (tree); на рис. 3.1 показаны четыре дерева¹. Обратите внимание, что деревья представляют собой простые графы.

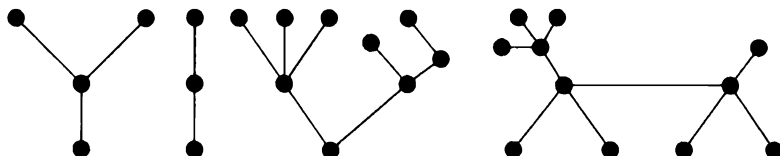


Рис. 3.1

Во многих отношениях дерево является простейшим нетривиальным типом графа. Как мы увидим, у него есть несколько “хороших” свойств, таких как тот факт, что любые две вершины связаны ровно одним путем. Пытаясь доказать некоторый общий результат для графов, иногда оказывается полезно начать с попытки доказать его для деревьев; в действительности имеется несколько гипотез, которые не были доказаны для произвольных графов, но при этом доказаны для деревьев.

В следующей теореме перечислены некоторые простые свойства деревьев.

¹ Последнее из них особенно хорошо известно своим лаем...

Теорема 3.1. Пусть T — граф с n вершинами. Тогда следующие утверждения эквивалентны:

- 1) T — дерево;
- 2) T не содержит циклов и имеет $n - 1$ ребер;
- 3) T является связным и имеет $n - 1$ ребер;
- 4) T является связным и каждое его ребро является мостом;
- 5) любые две вершины T связаны ровно одним путем;
- 6) T не содержит циклов, но добавление любого нового ребра создает ровно один цикл.

Доказательство. При $n = 1$ все шесть утверждений тривиальны, поэтому далее мы полагаем, что $n \geq 2$.

- 1) \Rightarrow 2). Поскольку T не содержит циклов, удаление любого ребра должно разделять T на два графа, каждый из которых представляет собой дерево. По индукции следует, что число ребер в каждом из этих двух деревьев на одно меньше, чем число вершин. Заменяя удаленное ребро, получаем, что общее число ребер T равно $n - 1$.
- 2) \Rightarrow 3). Если T несвязный, то каждый компонент T представляет собой связный граф без циклов; следовательно, согласно предыдущей части доказательства число вершин в каждом компоненте превышает число ребер на 1. Отсюда следует, что общее число вершин T превышает общее число ребер как минимум на 2, что противоречит тому факту, что T имеет $n - 1$ ребер.
- 3) \Rightarrow 4). Удаление любого ребра приводит к графу с n вершинами и $n - 2$ ребрами, который должен быть несвязным согласно теореме 2.2.
- 4) \Rightarrow 5). Поскольку граф T связный, каждая пара вершин соединена как минимум одним путем. Если некоторая пара вершин соединена двумя путями, то эти пути содержат цикл, что противоречит тому факту, что каждое ребро является мостом.
- 5) \Rightarrow 6). Если бы граф T содержал цикл, то любые две вершины в цикле были бы связаны по крайней мере двумя путями, что противоречит утверждению 5). Если к T добавляется ребро e , то, поскольку вершины, инцидентные e , уже соединены в T , создается цикл. Тот факт, что получается только один цикл, следует из упражнения 2.46.1.
- 6) \Rightarrow 1). Предположим, что граф T несвязный. Если мы добавим к T любое ребро, соединяющее вершину одного компонента с вершиной другого компонента, то цикл при этом создан не будет. ■

Обратите внимание, что согласно лемме о рукопожатиях сумма степеней n вершин дерева равна удвоенному количеству ребер ($= 2n - 2$). Отсюда следует, что при $n \geq 2$ любое дерево из n вершин имеет как минимум две конечные вершины.

Для любого связного графа G мы можем выбрать цикл (если таковой в нем имеется) и удалить любое его ребро, и полученный граф останется связным. Мы повторяем эту процедуру с одним из оставшихся циклов, продолжая до тех пор, пока в графе не останется циклов. Граф, который получится в результате, является деревом, соединяющим все вершины G . Он называется **остовным деревом** (spanning tree) G . Пример графа и одного из его остовных деревьев показан на рис. 3.2.

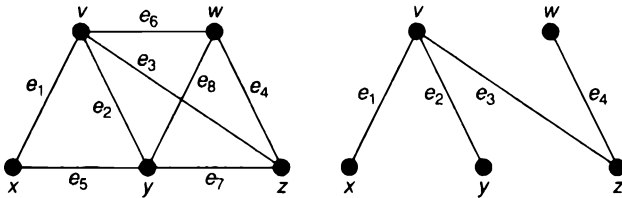


Рис. 3.2

Если мы выполним описанную выше процедуру, общее количество удаленных ребер будет представлять собой **циклическим рангом** (cycle rank) (или **цикломатическим числом**) G , обозначаемым как $\gamma(G)$. Заметим, что $\gamma(G) = m - n + 1$ (где m — количество ребер графа; по теореме 2.2 это значение является неотрицательным целым числом). Удобно также определить **ранг разреза** (cutset rank) (**коциклический ранг**) G как число ребер в остовном дереве, обозначаемый как $\xi(G)$; таким образом, $\xi(G) = n - 1$. Некоторые свойства ранга разреза рассматриваются в упражнении 3.33.

Прежде чем продолжить, докажем пару простых утверждений, касающихся остовных деревьев. В приведенной далее теореме **дополнением** (complement) остовного дерева T (не обязательно простого) связного графа G является граф, полученный из G удалением ребер графа T .

Теорема 3.2. Если T — любое остовное дерево связного графа G , то

- 1) каждый разрез G имеет ребро, общее с T ;
- 2) каждый цикл G имеет ребро, общее с дополнением T .

Доказательство

- 1) Пусть C^* — разрез графа G , удаление которого разбивает компонент G на два подграфа, H и K . Поскольку T — остовное дерево, оно должно содержать ребро, соединяющее вершину H с вершиной K , и это и есть требуемое ребро.

2) Пусть C — цикл в графе G , не имеющий ни одного общего ребра с дополнением T . Тогда C должен содержаться в T , что приводит к противоречию. ■

С понятием остовного дерева T графа G тесно связано понятие фундаментального множества циклов, связанного с T . Оно определяется следующим образом: если добавить к T любое не содержащееся в нем ребро графа G , то согласно теореме 3.1, п. 6, получим единственный цикл. Множество всех циклов, получаемых таким способом (путем добавления по отдельности каждого ребра из G , не содержащегося в T), называется **фундаментальным множеством циклов, связанным с T** . Иногда нас не интересует конкретное остовное дерево, и тогда мы говорим о **фундаментальном множестве циклов графа G** . Обратите внимание, что количество циклов в любом фундаментальном множестве должно быть равно циклическому рангу графа G . На рис. 3.3 показано фундаментальное множество циклов графа, изображенного на рис. 3.2, связанное с данным остовным деревом.

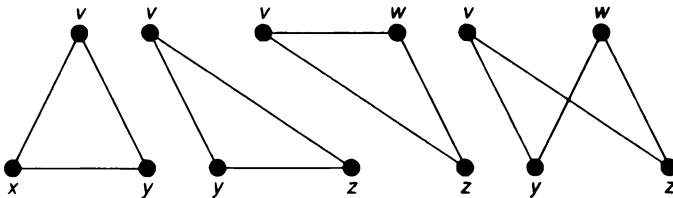


Рис. 3.3

В свете замечаний, сделанных в конце раздела 2.1, можно надеяться, что удастся определить фундаментальное множество разрезов связного графа G , связанное с остовным деревом T . Это действительно так. Согласно теореме 3.1, п. 4, удаление любого ребра из T разбивает множество вершин T на два непересекающихся подмножества, V_1 и V_2 . Множество всех ребер графа G , соединяющих вершину из V_1 с вершиной из V_2 , является разрезом графа G . Множество всех разрезов, полученных таким способом (удалением по отдельности каждого ребра из T), называется **фундаментальным множеством разрезов, связанным с T** . Обратите внимание, что количество разрезов в любом фундаментальном множестве должно быть равно рангу разреза графа G . Фундаментальное множество разрезов графа, изображенного на рис. 3.2, связанное с данным остовным деревом, представляет собой

$$\{e_1, e_3\}, \{e_2, e_5, e_7, e_8\}, \{e_3, e_6, e_7, e_8\} \text{ и } \{e_4, e_6, e_8\}.$$

Упражнения

- 3.1^s Найдите все деревья в таблице на рис. 1.9.
- 3.2^s Имеется шесть деревьев с шестью вершинами. Изобразите их все.
- 3.3. Имеется 11 деревьев с семью вершинами. Изобразите их все.
- 3.4. 1) Докажите, что любое дерево представляет собой двудольный граф.
2) Какие деревья являются полными двудольными графами?
- 3.5^s Изобразите все остовные деревья графа на рис. 3.4.

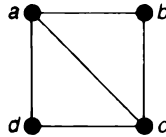


Рис. 3.4

- 3.6. Изобразите все остовные деревья графа на рис. 3.5.

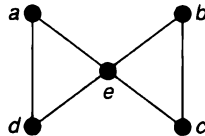


Рис. 3.5

- 3.7^s Найдите все фундаментальные множества циклов и разрезов графа на рис. 3.6, связанные с показанным на рисунке остовным деревом.

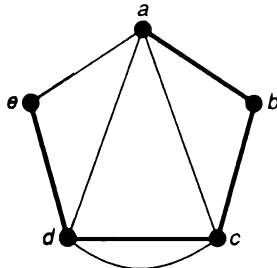


Рис. 3.6

- 3.8. Найдите циклический ранг и ранг разреза для
1) K_5 ; 2) $K_{3,3}$; 3) W_5 ; 4) N_5 ; 5) графа Петерсена.
- 3.9^s Пусть G — связный граф. Что можно сказать о
1) ребре G , которое встречается в каждом остовном дереве, и о
2) ребре G , которое не встречается ни в одном остовном дереве?

- 3.10. Если G — связный граф, то центром G является вершина v с тем свойством, что максимальное расстояние между v и другими вершинами G является наименьшим. Путем последовательного удаления всех конечных вершин докажите, что у каждого дерева есть либо один центр, либо два соседних центра. Приведите пример дерева каждого типа с семью вершинами.
- 3.11. Пусть T_1 и T_2 — остовные деревья связного графа G .
- 1) Покажите, что для любого ребра e остовного дерева T_1 существует ребро f остовного дерева T_2 , такое, что граф $(T_1 - \{e\}) \cup \{f\}$ (полученный из T_1 заменой e на f) также является остовным деревом.
 - 2) Выведите отсюда, что T_1 может быть “преобразовано” в T_2 путем замены ребер в T_1 ребрами T_2 по одному таким образом, что на каждом шаге получается остовное дерево.
- (Этот результат потребуется в главе 7, “Матроиды”).

3.2. Перечисление деревьев

Теория перечисления графов занимается задачей определения количества неизоморфных графов, обладающих тем или иным свойством. Эта тема возникла в 1850-х годах благодаря работе Артура Кейли (Arthur Cayley), который пытался найти количество изомеров алканов (насыщенных углеводородов) C_nH_{2n+2} с заданным числом атомов углерода. Как он обнаружил (и как вы увидите ниже), эта задача сводится к подсчету числа деревьев, степень каждой вершины которых равна либо четырем, либо единице.

Сейчас решены многие стандартные задачи по перечислению графов. Например, можно подсчитать число графов, связных графов, деревьев и эйлеровых графов, содержащих заданное количество вершин и ребер. Большую часть всех известных результатов можно получить, применяя фундаментальную теорему перечислений Пойа (Polya, [43]). К сожалению, почти ни в одном случае невозможно выразить эти результаты с помощью простых формул. В приложении 2 приводится таблица некоторых известных результатов.

Подсчет химических молекул

Одним из самых ранних применений деревьев было перечисление химических молекул. Если у нас есть молекула, состоящая только из атомов углерода и атомов водорода, то ее можно представить в виде графа, на котором каждый атом углерода выглядит как вершина степени 4, а каждый атом водорода выглядит как вершина степени 1, как мы видели в упражнении 0.3.

На рис. 3.7 показаны графы *n*-бутана и 2-метил-пропана (изобутана). Хотя они имеют одинаковую химическую формулу, C_4H_{10} , на самом деле они представляют собой разные молекулы, потому что атомы углерода расположены в молекуле по-разному. Эти две молекулы образуют часть общего класса молекул, известных как *алканы* (*парафины*, *насыщенные алифатические углеводороды*), с химической формулой C_nH_{2n+2} .

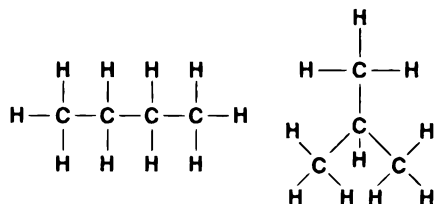


Рис. 3.7

Сколько же с этой формулой существует разных молекул? Чтобы ответить на этот вопрос, заметим сначала, что граф любой молекулы с формулой C_nH_{2n+2} является деревом; это следует из теоремы 3.1.3, так как он связан и имеет

$$n + (2n + 2) = 3n + 2 \text{ вершин и } (4n + (2n + 2))/4 = 3n + 1 \text{ ребер.}$$

Заметим также, что алкан полностью определен расположением атомов углерода, поскольку атомы водорода могут быть добавлены только таким образом, чтобы довести степень каждой углеродной вершины до 4. Таким образом, мы можем отбросить атомы водорода, как показано на рис. 3.8, и задача сводится к тому, чтобы найти количество деревьев с n вершинами, каждая со степенью 4 или менее.

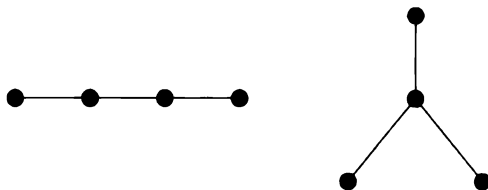


Рис. 3.8

Эта проблема была решена в 1875 году Артуром Кейли путем подсчета количества способов, которыми деревья могут быть построены из их центра (или центров) (см. упражнение 3.10); детали его вывода слишком сложны, чтобы описывать их здесь, но их можно найти в работе [17]. Большая часть работы Кейли была переделана Пойа и другими, и в результате несколько химических рядов были перечислены с помощью методов теории графов.

Подсчет маркированных деревьев

Этот раздел посвящен, прежде всего, двум доказательствам известного результата (обычно приписываемого Кейли) о количестве *маркированных* (помеченных, labelled) деревьев с заданным числом вершин.

Чтобы понять, о чем идет речь, рассмотрим рис. 3.9, на котором показаны три способа маркировки пути из четырех вершин. Поскольку второе помеченное дерево оказывается обратным первому, мы считаем их одинаковыми. С другой стороны, ни первое, ни второе дерево не изоморфно третьему дереву, как вы можете видеть, сравнивая степени вершины, помеченной 3. Таким образом, поскольку обратный путь любого маркированного пути не приводит к новому пути, общее количество маркированных путей равно $(4!)/2 = 12$.



Рис. 3.9

Точно так число способов маркировки “звезды” на рис. 3.10 равно 4, поскольку центральная вершина может быть помечена четырьмя различными способами, и каждый из них полностью определяет маркировку.

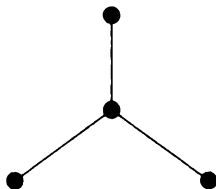


Рис. 3.10

Поскольку каждое дерево с четырьмя вершинами является либо путем, либо звездой, общее число неизоморфных маркированных деревьев с четырьмя вершинами равно $12 + 4 = 16$.

Теперь докажем **теорему Кейли**, которая обобщает полученный результат для маркированных деревьев с n вершинами. Приведенные доказательства принадлежат Х. Прюферу (H. Prüfer) и Л.Э. Кларку (L.E. Clarke); другие доказательства представлены в [40].

Теорема 3.3 (Кейли, 1889). Общее количество различных маркированных деревьев с n вершинами равно n^{n-2} .

Первое доказательство. Давайте установим взаимно однозначное соответствие между множеством маркированных деревьев с n вершинами и множеством последовательностей $(a_1, a_2, \dots, a_{n-2})$, где каждое a_i является целым

числом, удовлетворяющим неравенству $1 \leq a_i \leq n$. Поскольку таких последовательностей ровно n^{n-2} , отсюда немедленно следует справедливость утверждения теоремы. Предположим, что $n \geq 3$, поскольку при n , равном 1 или 2, справедливость утверждения очевидна.

Чтобы установить требуемое соответствие, давайте обозначим как T маркированное дерево порядка n и покажем, как определить нужную нам последовательность. Если b_1 — наименьшая метка, назначенная конечной вершине, то a_1 — метка вершины, смежной с вершиной b_1 ; например, если T является маркированным деревом, показанным на рис. 3.11, то $b_1 = 2$ и $a_1 = 6$. Затем мы удаляем вершину b_1 и ее инцидентное ребро, получая маркированное дерево порядка $n - 1$. Далее находим очередную конечную вершину b_2 с наименьшей меткой и получаем a_2 — метку вершины, смежной с вершиной b_2 ; в нашем примере $b_2 = 3$ и $a_2 = 5$. Затем мы удаляем вершину b_2 и инцидентное ей ребро, как и раньше. Мы продолжаем работу, пока не останется только две вершины; так мы получаем искомую последовательность $(a_1, a_2, \dots, a_{n-2})$; в нашем примере $b_3 = 4$ и $a_3 = 6$, $b_4 = 6$ и $a_4 = 5$, $b_5 = 5$ и $a_5 = 1$, так что искомая последовательность равна $(6, 5, 6, 5, 1)$.

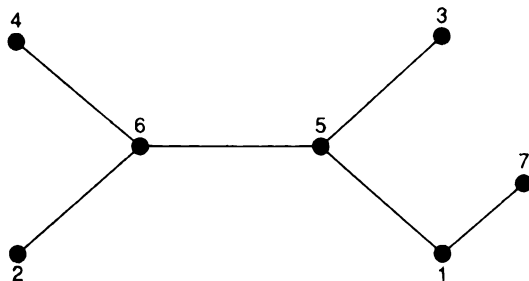


Рис. 3.11

Чтобы получить обратное соответствие, мы берем последовательность $(a_1, a_2, \dots, a_{n-2})$, после чего находим b_1 , которое представляет собой наименьшее число от 1 до n , которого нет в последовательности, и соединяем вершины a_1 и b_1 . Например, для последовательности $(6, 5, 6, 5, 1)$ имеем $a_1 = 6$, $b_1 = 2$ и первое ребро — 62. Затем мы удаляем из последовательности a_1 , а число b_1 удаляем из рассмотрения и продолжаем действовать, как раньше, наращивая дерево ребро за ребром. В данном примере $a_2 = 5$, $b_2 = 3$ и второе ребро равно 53; $a_3 = 6$, $b_3 = 4$ и третье ребро равно 64; $a_4 = 5$, $b_4 = 6$ и четвертое ребро равно 56; $a_5 = 1$, $b_5 = 5$ и пятое ребро равно 15. В заключение мы соединяем две последние вершины, которые еще не вычеркнуты, — в нашем примере это 1 и 7.

Можно проверить, что, если начать с любого маркированного дерева и найти соответствующую последовательность, то после восстановления маркированного дерева, соответствующего этой последовательности, мы получим

исходное дерево, с которого начали работу. Таким образом, мы установили требуемое соответствие, откуда непосредственно следует искомый результат.

Второе доказательство. Пусть $T(n, k)$ — количество маркированных деревьев с n вершинами, в которых данная вершина v имеет степень k . Мы выведем выражение для $T(n, k)$ и выполним суммирование от $k=1$ до $k=n-1$.

Пусть A — произвольное маркированное дерево, в котором $\deg(v) = k-1$. Удаление из A любого ребра wz , не инцидентного v , дает два поддерева, одно из которых содержит v и либо w , либо z (скажем, w), и другое, содержащее z . Если теперь мы соединим вершины v и z , то получим маркированное дерево B , в котором $\deg(v) = k$ (рис. 3.12). Назовем пару (A, B) маркированных деревьев **связью** (linkage), если B можно получить из A с помощью описанного выше построения. Наша цель — подсчитать возможные связи (A, B) .

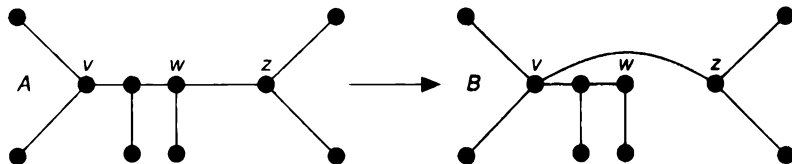


Рис. 3.12

Поскольку A может быть выбрано $T(n, k-1)$ способами и поскольку B однозначно определяется ребром wz , которое может быть выбрано $(n-1)-(k-1) = n-k$ способами, общее количество связей (A, B) составляет $(n-k)T(n, k-1)$.

С другой стороны, пусть B — маркированное дерево, в котором $\deg(v) = k$, и пусть T_1, T_2, \dots, T_k — поддеревья, полученные из B удалением вершины v и каждого ребра, инцидентного v . Тогда мы получаем маркированное дерево A с $\deg(v) = k-1$, удаляя из B только одно из этих ребер (скажем, vw_i , где w_i лежит в T_i) и соединяя w_i с любой вершиной u любого другого поддерева T (рис. 3.13). Обратите внимание, что соответствующая пара (A, B) помеченных деревьев является связью и что таким способом могут быть получены все связи.

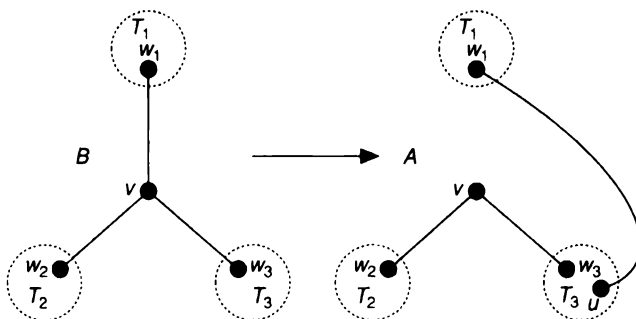


Рис. 3.13

Поскольку B можно выбрать $T(n, k)$ способами, а число способов соединения w , с вершинами в любом другом T_j равно $(n-1)-n_i$, где n_i — количество вершин T_i , общее число связей (A, B) равно

$$T(n, k) \{ (n-1-n_1) + (n-1-n_2) + \dots + (n-1-n_k) \},$$

что равно $(n-1)(k-1)T(n, k)$, так как $n_1 + n_2 + \dots + n_k = n-1$.

Таким образом, мы показали, что

$$(n-k)T(n, k-1) = (n-1)(k-1)T(n, k).$$

Итерируя этот результат и используя тот очевидный факт, что $T(n, n-1) = 1$, мы находим, что²

$$T(n, k) = \binom{n-2}{k-1} (n-1)^{n-k-1}.$$

Выполняя суммирование по всем возможным значениям k , мы получаем, что общее число $T(n)$ маркированных деревьев с n вершинами равно

$$T(n) = \sum_{k=1}^{n-1} T(n, k) = \sum_{k=1}^{n-1} \binom{n-2}{k-1} (n-1)^{n-k-1} = \{(n-1)+1\}^{n-2} = n^{n-2}. \quad \blacksquare$$

Приведенный выше результат можно также интерпретировать в терминах остовных деревьев полного графа K_n .

Следствие 3.4. Количество остовных деревьев графа K_n равно n^{n-2} .

Доказательство. Каждому маркированному дереву с n вершинами соответствует единственное остовное дерево K_n . И наоборот, каждое остовное дерево K_n дает уникальное маркированное дерево с n вершинами. \blacksquare

Мы завершаем этот раздел, констатируя результат, который можно использовать для вычисления количества остовных деревьев в любом связном простом графе. Она называется **теоремой о матричном дереве** (matrix-tree theorem), а ее доказательство можно найти у Харари (Harary) в [14].

Теорема 3.5. Пусть G — связный простой граф с множеством вершин $\{v_1, v_2, \dots, v_n\}$ и пусть $\mathbf{M} = (m_{ij})$ — матрица размером $n \times n$, в которой $m_{ii} = \deg(v_i)$, $m_{ij} = -1$, если v_i и v_j смежны, и $m_{ij} = 0$ в противном случае. Тогда количество остовных деревьев G равно алгебраическому дополнению любого элемента \mathbf{M} .

² Напомним, что обозначение $\binom{n}{k}$ соответствует обозначению C_n^k в отечественной литературе. — *Примеч. ред.*

Упражнения

- 3.12^s Непосредственно убедитесь в том, что имеется ровно 125 маркированных деревьев из пяти вершин.
- 3.13. Изобразите все деревья, соответствующие алканам с формулами C_5H_{12} и C_6H_{14} .
- 3.14^s Покажите, что для каждого значения n граф, связанный со спиртом $C_nH_{2n+1}OH$, является деревом (вершина кислорода имеет степень 2). Изобразите дерево, соответствующее молекуле C_2H_5OH .
- 3.15^s В первом доказательстве теоремы Кейли найдите
- 1) маркированные деревья, соответствующие последовательностям (1,2,3,4) и (3,3,3,3);
 - 2) последовательности, соответствующие маркированным деревьям на рис. 3.14.

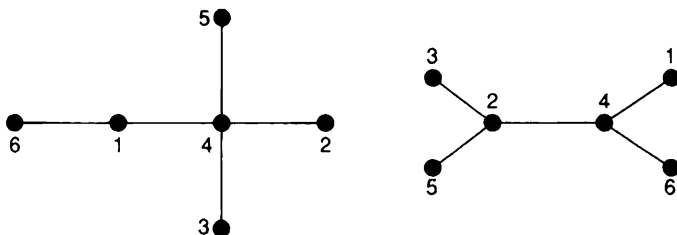


Рис. 3.14

- 3.16. В первом доказательстве теоремы Кейли найдите маркированное дерево, соответствующее последовательности (7,6,5,4,3,2,1).
- 3.17. 1) Найдите количество деревьев с n вершинами, в которых данная вершина является конечной.
- 2) Выведите отсюда, что для больших n вероятность того, что данная вершина дерева с n вершинами является конечной, составляет примерно e^{-1} .
- 3.18^s Сколько остовных деревьев имеет граф $K_{2,n}$?
- 3.19. Пусть $\tau(G)$ — количество остовных деревьев в связном графе G .
- 1) Докажите, что для любого ребра e справедливо $\tau(G) = \tau(G - e) + \tau(G \setminus e)$.
 - 2) Используйте этот результат для вычисления $\tau(K_{2,3})$.

3.3. Другие приложения

В разделе 2.4 мы рассмотрели четыре проблемы, возникающие в ходе исследований операций: задачу о кратчайшем пути, задачу о критическом пути, задачу китайского почтальона и задачу коммивояжера. В этом разделе мы рассмотрим четыре приложения, которые включают использование деревьев, взятые из исследования операций, информатики, структурной инженерии и теории электрических цепей.

Задача о минимальном остовном дереве

Предположим, что мы хотим построить железнодорожную сеть, соединяющую n заданных городов таким образом, чтобы пассажир мог путешествовать из любого города в любой другой. Если по экономическим причинам общее количество дорог должно быть минимальным, то граф, составленный из n городов в качестве вершин и соединяющих их рельсов в качестве ребер, должен представлять собой дерево. Задача состоит в том, чтобы найти эффективный алгоритм для определения того, какое из n^{n-2} возможных деревьев, соединяющих эти города, использует наименьшее количество рельсов, в предположении, что все расстояния между парами городов известны. Как и прежде, мы можем сформулировать проблему в терминах взвешенных графов. Обозначим вес ребра e через $w(e)$. Наша цель — найти остовное дерево T с наименьшим возможным общим весом $W(T)$.

В отличие от некоторых рассмотренных ранее задач, для данной задачи существует простой алгоритм ее решения. Он является **жадным алгоритмом** и на каждом этапе решения предполагает “жадность”, заключающуюся в выборе ребра минимального веса таким образом, чтобы не создавался цикл. Например, если есть пять городов, показанных на рис. 3.15, мы начинаем с выбора самых коротких ребер — AB (вес 2) и BD (вес 3). Теперь мы не можем выбрать ребро AD (вес 4), так как это создаст цикл ABD ; поэтому вместо него мы выберем ребро DE (вес 5). На следующем шаге мы не можем выбрать ребра AE или BE (вес 6), поскольку каждое из них создает цикл, так что мы выбираем ребро BC (вес 7). Это завершает построение дерева (рис. 3.16), которое имеет минимальный общий вес.

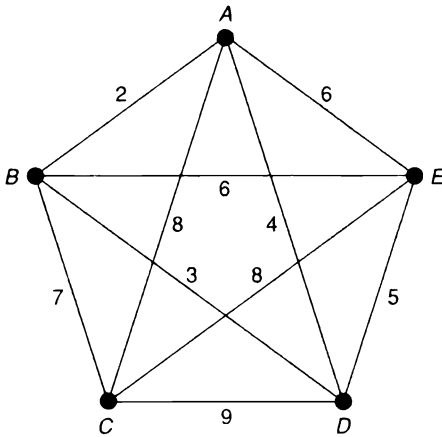


Рис. 3.15

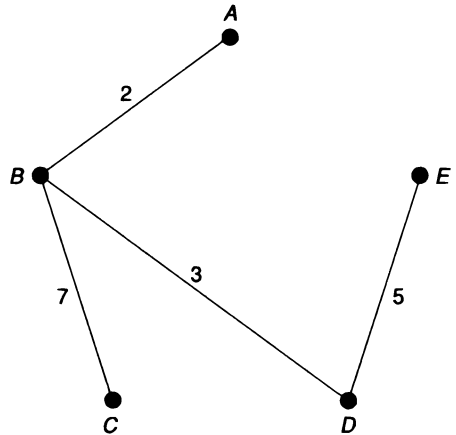


Рис. 3.16

Алгоритм в общем случае описывается в следующей теореме.

Теорема 3.6. Пусть G — связный граф с n вершинами. Тогда следующее построение дает решение задачи о минимальном остовном дереве:

- 1) пусть e_1 — ребро G минимального веса;
- 2) определим e_2, e_3, \dots, e_{n-1} , выбирая на каждом этапе новое ребро наименьшего возможного веса, которое не образует цикла с ранее выбранными ребрами e_i .

Искомое остовное дерево представляет собой подграф T графа G , образованный ребрами e_1, e_2, \dots, e_{n-1} .

Доказательство. Тот факт, что T является остовным деревом графа G , немедленно следует из теоремы 3.1.2. Мы должны лишь показать, что общий вес T является минимальным.

Для этого предположим, что S является остовным деревом графа G , таким, что для него выполняется неравенство $W(S) < W(T)$. Если e_k — первое ребро в приведенной выше последовательности, которое не лежит в S , то подграф графа G , образованный добавлением e_k к S , содержит единственный цикл C , который включает в себя ребро e_k . Поскольку C содержит ребро e , лежащее в S , но не в T , подграф, полученный из S заменой e на e_k , является остовным деревом S' . Но согласно построению $w(e_k) \leq w(e)$, так что $W(S') \leq W(S)$, и S' имеет на одно общее ребро с T больше, чем S .

Повторение этой процедуры означает, что мы можем превратить S в T , по одному шагу за раз, при этом на каждом этапе общий вес остовного дерева уменьшается. Следовательно, $W(T) \leq W(S)$, что приводит к требуемому противоречию. ■

Мы можем также использовать приведенный выше алгоритм для получения нижней границы решения задачи коммивояжера (раздел 2.4). Это полезно, поскольку жадный алгоритм является эффективным; при этом эффективные общие алгоритмы для задачи коммивояжера не известны.

Если мы возьмем любой гамильтонов цикл в полном графе и удалим любую вершину v , то получим полугамильтонов путь, проходящий через оставшиеся вершины, причем такой путь должен быть остовным деревом. Таким образом, любое решение задачи коммивояжера должно состоять из остовного дерева данного типа вместе с двумя ребрами, инцидентными v . Отсюда следует, что если мы возьмем вес остовного дерева *минимального веса* для оставшихся вершин и добавим два *наименьших* веса ребер, инцидентных v , то получим *нижнюю границу* решения задачи коммивояжера.

Например, если мы возьмем взвешенный граф на рис. 3.15 и удалим вершину C , то полученный в результате граф будет иметь четыре вершины — A , B , D и E . Остовное дерево минимального веса, соединяющее эти четыре вершины, — это дерево с ребрами AB , BD и DE с общим весом 10 и два ребра минимального веса, инцидентные C (это ребра CB и CA (или CE) с общим весом 15 (рис. 3.17)). Это дает нам значение $10 + 15 = 25$ в качестве итоговой нижней границы для задачи коммивояжера. Правильный ответ — 26, так что, как видите, такой подход к задаче коммивояжера может дать на удивление хорошие результаты.

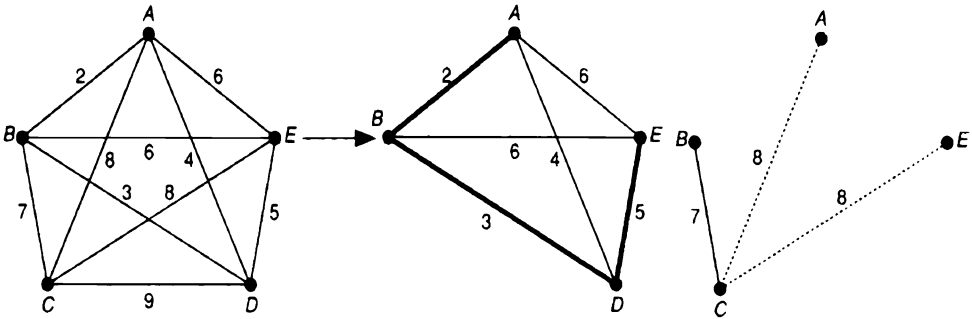


Рис. 3.17

Деревья поиска

Во многих приложениях деревья имеют иерархическую структуру с одной вершиной вверху (неверно именуемой **корнем** (root)), а другие вершины ветвятся от нее вниз, как показано на рис. 3.18. Например, система компьютерных файлов или библиотечных классификаторов часто организована именно таким образом, с информацией, хранящейся в вершинах дерева.

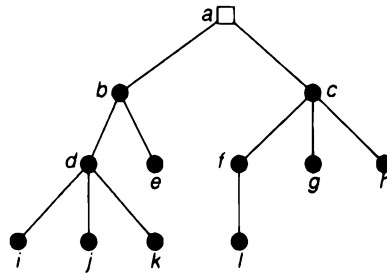


Рис. 3.18

Чтобы получить некоторую конкретную часть информации, нужна возможность систематического поиска в дереве. Зачастую такой поиск включает изучение каждой части дерева, пока не будет найдена нужная вершина. Мы хотим найти технику поиска, которая в конечном итоге посещает все части дерева, не посещая никакую из вершин слишком часто.

Существуют две хорошо известные процедуры поиска: **поиск в глубину** (depth-first search) и **поиск в ширину** (breadth-first search). Оба метода посещают все вершины, но в разном порядке. Нет точного правила, какой именно метод следует использовать для решения некоторой конкретной задачи — у каждого из них есть свои преимущества. Например, поиск в ширину используется в алгоритме поиска кратчайшего пути (раздел 2.4), тогда как для поиска потоков в сети используется поиск в глубину (раздел 6.3).

При поиске в ширину мы выполняем ветвление по максимально возможному количеству вершин, прежде чем идти вглубь дерева. Это означает, что мы посещаем все вершины, смежные с текущей, прежде чем перейти к другой вершине. Например, рассмотрим дерево на рис. 3.18. Чтобы выполнить поиск в ширину, мы начинаем работу с вершины a и посещаем вершины b и c , смежные с a . Затем мы посещаем вершины d и e , смежные с b , и вершины f , g и h , смежные с c . Наконец мы посещаем вершины i , j и k , смежные с d , и l , смежную с f . Это дает нам маркированное дерево, показанное на рис. 3.19, где метки соответствуют порядку, в котором посещаются вершины.

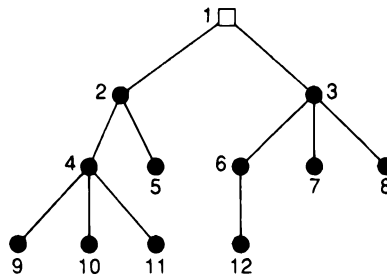


Рис. 3.19

При поиске в глубину, прежде чем переходить к другим вершинам, мы как можно сильнее углубляемся в дерево. Например, вновь рассмотрим дерево на рис. 3.18. Чтобы выполнить поиск в глубину, мы начинаем с вершины a и опускаемся до b , d и i . Поскольку мы не можем углубиться дальше, мы возвращаемся к d и затем опускаемся к j . Затем мы вновь должны вернуться назад и перейти к k . После этого мы возвращаемся через d к b , откуда можем перейти к e . Затем возврат к a приводит нас к c , f и l , и в конечном итоге к g и h , прежде чем мы вернемся в a . Это дает нам маркированное дерево на рис. 3.20, в котором метки соответствуют порядку посещения вершин при поиске в глубину.

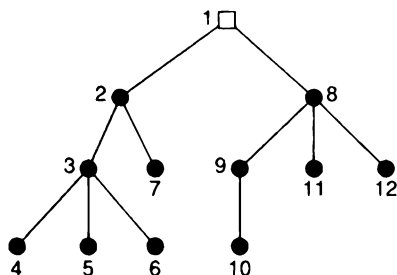


Рис. 3.20

Скрепление прямоугольных каркасов

Многие строения и различные жесткие конструкции поддерживаются прямоугольными стальными каркасами, и такие каркасы при больших нагрузках должны оставаться жесткими. Однако в теоретических целях такие конструкции часто можно рассматривать как плоские структуры со штыревыми соединениями (а не с жесткими сварными швами), удерживающими балки вместе.

Предположим, что у нас есть прямоугольный каркас, состоящий из стержней, соединенных точечными шарнирами и образующих структуру из квадратных ячеек, так что вся конструкция в плоскости подвижна (рис. 3.21). Теперь мы соединяем три квадратные ячейки диагональными скобами, чтобы деформация стала невозможной и весь каркас стал жестким. (Диагональные скобы могут идти в любом направлении.)

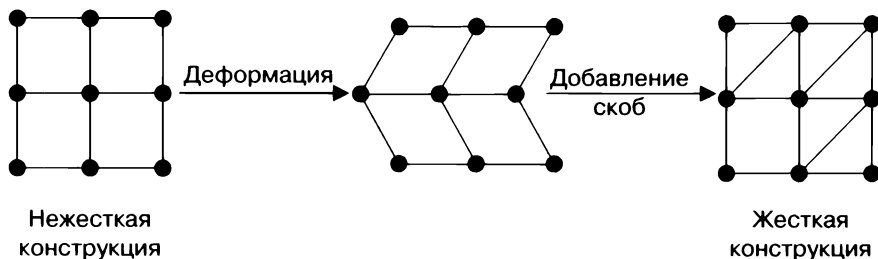


Рис. 3.21

Другие примеры показаны на рис. 3.22. Каркас 1 является не жестким, поскольку он может быть деформирован, как показано на рисунке. Каркас 2 — жесткий, но имеет лишние скобы: некоторые из них могут быть удалены без влияния на жесткость каркаса. Но является ли жесткой структура 3? Если да, можно ли снять какие-либо скобы, не влияя на ее жесткость?

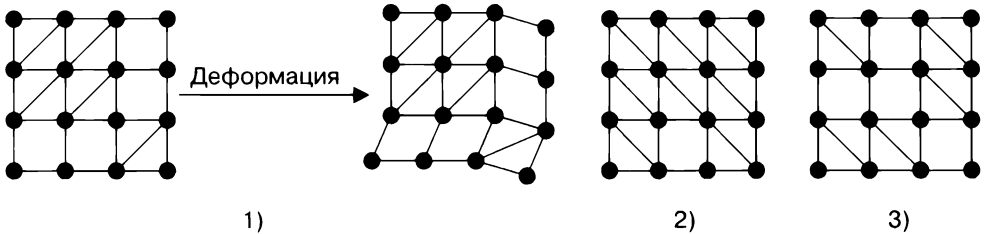


Рис. 3.22

В общем случае чем больше скоб мы добавляем к каркасу, тем более жесткой становится структура, но зачастую, взглянув на данную скобочную структуру, трудно сказать, является ли она жесткой и можно ли удалить какие-либо из скобок без влияния на жесткость всего каркаса.

Метод, который мы используем, состоит в том, чтобы нарисовать двудольный граф, вершины которого соответствуют строкам и столбцам каркаса, с ребрами, соединяющими вершины-строки и вершины-столбцы всякий раз, когда между соответствующей строкой и столбцом есть диагональная скоба. Например, на рис. 3.23 показаны двудольные графы, соответствующие каркасам на рис. 3.22; в каждом случае есть три вершины, r_1, r_2 и r_3 , соответствующие строкам, и три вершины, c_1, c_2 и c_3 , соответствующие столбцам; во всех графах имеется ребро от r_1 до c_1 , поскольку в квадрате r_1c_1 имеется диагональная скоба.

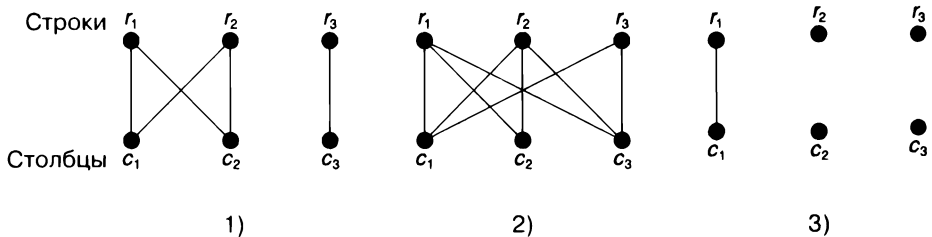


Рис. 3.23

Обратите внимание, что нежесткий каркас 1 порождает несвязный граф, тогда как жесткий каркас 2 порождает связный граф. Это связано с тем, что каждая диагональная фигурная скоба заставляет находиться под прямым углом соответствующие строку и столбец. Например, в двудольном графе каркаса 2 ребра от r_1 и r_2 до c_1, c_2 и c_3 показывают, что строки 1 и 2 расположены под

прямым углом ко всем трем столбцам, и точно так же строка 3 находится под прямым углом к столбцам 1 и 3; из этого следует, что каждая строка находится под прямым углом к каждому столбцу, а значит, каркас не может быть деформирован. Однако в двудольном графе каркаса 1 вершины r_3 и c_3 не связаны с другими вершинами; таким образом, строка 3 и столбец 3 не обязаны оставаться под прямым углом к другим строкам и столбцам и данный каркас может деформироваться.

Эти примеры являются примерами следующего общего правила, которое говорит, что каркас 3 также является жестким, поскольку его граф связан.

Теорема 3.7. Прямоугольный каркас со скобами является жестким тогда и только тогда, когда соответствующий двудольный граф связан.

Отметим также, что граф каркаса 2 содержит несколько циклов, например $r_1c_2r_2c_1r_1$. Если мы удалим какое-либо ребро из этого цикла, граф останется связным, а каркас — жестким. Мы можем продолжать удалять ребра из циклов в графе, пока в нем не останется циклов, например если мы последовательно удалим ребра r_1c_1 , r_2c_2 и r_3c_1 , граф останется связным, а каркас — жестким. Результирующий граф представляет собой дерево, проходящее через все вершины, т.е. остовное дерево (рис. 3.24). Удаление любого из имеющихся ребер отсоединит дерево, и каркас перестанет быть жестким.

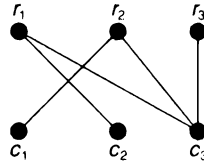


Рис. 3.24

Таким образом, у нас есть следующее правило, которое показывает, что каркасы в части 3 рис. 3.22 и справа на рис. 3.21 имеют минимальное количество скоб — никакие диагональные скобы не могут быть удалены без влияния на жесткость каркаса:

*если двудольный граф является остовным деревом,
то связывание каркаса скобами является минимальным.*

Электрические цепи

Предположим, что у нас имеется электрическая цепь, показанная на рис. 3.25, и мы хотим найти ток в каждом ее проводе.

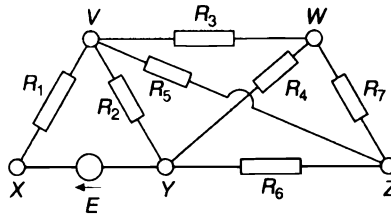


Рис. 3.25

Для этого мы указываем произвольное направление тока в каждом проводе, как показано на рис. 3.26, и применяем **законы Кирхгофа**:

- 1) алгебраическая сумма токов в каждой вершине равна 0;
- 2) общее напряжение в каждом цикле получается путем сложения произведений токов i_k и сопротивлений R_k в этом цикле.

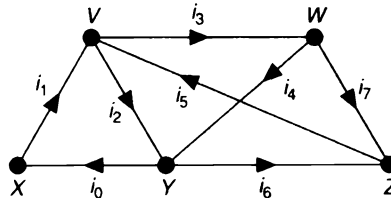


Рис. 3.26

Применяя второй закон Кирхгофа к циклам $VYXV$, $VWYV$ и $VWYXV$, получаем уравнения

$$i_1 R_1 + i_2 R_2 = E; \quad i_3 R_3 + i_4 R_4 - i_2 R_2 = 0; \quad i_1 R_1 + i_3 R_3 + i_4 R_4 = E.$$

Но последнее из этих трех уравнений является просто суммой двух первых и не дает никакой дополнительной информации. Аналогично, если есть уравнения Кирхгофа для циклов $VWYV$ и $WZYW$, то мы можем вывести уравнение для цикла $VWZYV$.

Если мы сможем найти набор циклов, который даст нам необходимую информацию без какой-либо избыточности, это сэкономит наши усилия. И это можно сделать с помощью фундаментального множества циклов (см. раздел 3.1). В данном примере, беря фундаментальную систему циклов на рис. 3.3, мы получим следующие уравнения:

для цикла $VYXV$	$i_1 R_1 + i_2 R_2 = E;$
для цикла $VYZV$	$i_2 R_2 + i_5 R_5 + i_6 R_6 = 0;$
для цикла $VWZV$	$i_3 R_3 + i_5 R_5 + i_7 R_7 = 0;$
для цикла $VYWZV$	$i_2 R_2 - i_4 R_4 + i_5 R_5 + i_7 R_7 = 0.$

Уравнения, вытекающие из первого закона Кирхгофа:

для вершины X $i_0 - i_1 = 0$;
 для вершины V $i_1 - i_2 - i_3 + i_5 = 0$;
 для вершины W $i_3 - i_4 - i_7 = 0$;
 для вершины Z $i_5 - i_6 - i_7 = 0$.

Теперь эти восемь уравнений можно решить и получить восемь токов — i_0, i_1, \dots, i_7 . Например, если $E = 12$ и если каждый провод имеет единичное сопротивление (т.е. $R_i = 1$ для всех i), то решение будет таким, как показано на рис. 3.27.

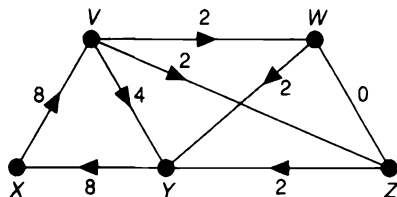


Рис. 3.27

Упражнения

3.20^s Используйте жадный алгоритм для поиска остовного дерева минимального веса в графе на рис. 3.28.

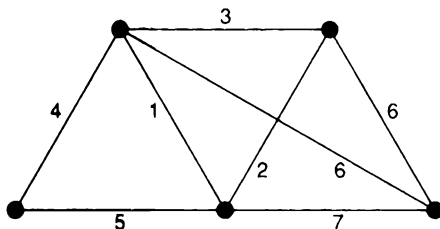


Рис. 3.28

3.21. Найдите остовное дерево минимального веса в графе на рис. 3.29.

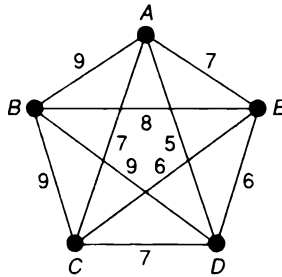


Рис. 3.29

- 3.22. Покажите, что если каждое ребро связного взвешенного графа G имеет один и тот же вес, то жадный алгоритм дает метод построения остовного дерева в G .
- 3.23. 1) Как бы вы адаптировали жадный алгоритм для поиска остовного дерева с *максимальным* весом?
 2) Найдите остовное дерево с максимальным весом для взвешенных графов на рис. 3.15 и 3.28.
- 3.24^s Какие нижние границы получатся при применении жадного алгоритма к задаче коммивояжера, приведенной в тексте, при удалении вершин A , B , D и E вместо C ?
- 3.25^s Выполните поиск в ширину и поиск в глубину в дереве на рис. 3.30.

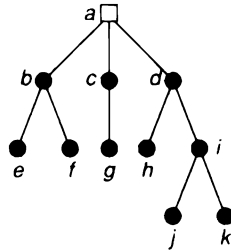


Рис. 3.30

- 3.26. Выполните поиск в ширину и поиск в глубину в дереве на рис. 3.31.

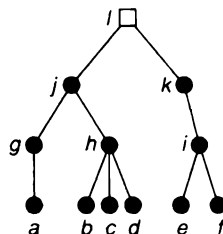


Рис. 3.31

3.27^s Построив соответствующий двудольный граф, определите, является ли каркас на рис. 3.32 жестким. Является ли укрепление скобами минимальным?

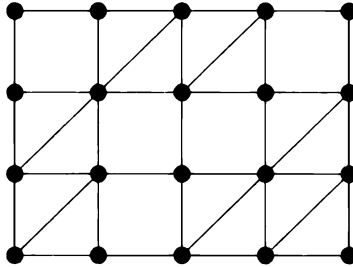


Рис. 3.32

3.28. Определите, является ли каркас на рис. 3.33 жестким. Является ли укрепление скобами минимальным?

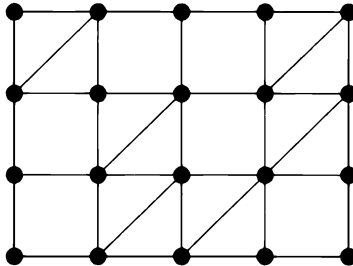


Рис. 3.33

3.29. Определите, являются ли каркасы на рис. 3.34 жестким. Является ли укрепление скобами минимальным?

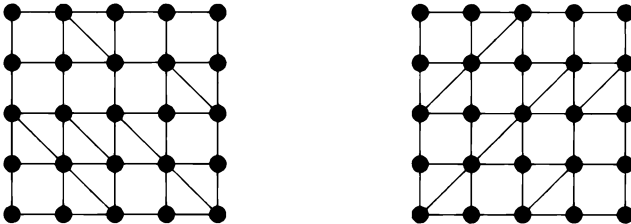


Рис. 3.34

3.30^s Проверьте правильность вычисления токов на рис. 3.27, применив законы Кирхгофа к фундаментальным циклам, связанным с остовным деревом с ребрами VX , VW , WZ и YZ .

- 3.31. Запишите уравнения Кирхгофа для цепи на рис. 3.35, в которой значения сопротивлений указаны числами; используйте остовное дерево с ребрами VW , WZ , XV и WY .

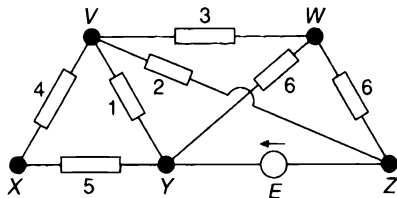


Рис. 3.35

Проблемы

- 3.32. 1) Пусть C^* — множество ребер связного графа G . Покажите, что если C^* имеет общее ребро с каждым остовным деревом G , то C^* содержит разрез.
- 2) Получите соответствующий результат для циклов.
- 3.33. Покажите, что если H и K — подграфы связного графа G и если $H \cup K$ и $H \cap K$ определены естественным образом, то ранг разреза ξ удовлетворяет следующим соотношениям:
- 1) $0 \leq \xi(H) \leq |E(H)|$ (количество ребер в H);
 - 2) если H является подграфом K , то $\xi(H) \leq \xi(K)$;
 - 3) $\xi(H \cup K) + \xi(H \cap K) \leq \xi(H) + \xi(K)$.
- 3.34. Пусть V — векторное пространство, связанное с простым связным графом G , и пусть T — остовное дерево графа G .
- 1) Покажите, что фундаментальное множество циклов, связанное с T , образует базис подпространства циклов W графа G .
 - 2) Получите соответствующий результат для подпространства разрезов W^* .
 - 3) Выведите, что размерности подпространств W и W^* равны $\gamma(G)$ и $\xi(G)$ соответственно.
- 3.35. Используйте теорему о матричном дереве для доказательства теоремы Кейли.
- 3.36. Пусть $T(n)$ — количество маркированных деревьев с n вершинами.
- 1) С помощью подсчета количества способов соединения маркированного дерева с k вершинами и одной из $n - k$ вершин докажите, что

$$2(n-1)T(n) = \sum_{k=1}^{n-1} \binom{n}{k} k(n-k)T(k)T(n-k).$$

2) Выведите тождество

$$\sum_{k=1}^{n-1} \binom{n}{k} k^{k-1} (n-k)^{n-k-1} = 2(n-1)n^{n-2}.$$

3.37. Используя результат упражнения 3.31, найдите токи в каждом проводе цепи, показанной на рис. 3.35.

Планарность

“Лесть никуда не приведет”.¹

Популярная поговорка

Теперь приступим к изучению топологической теории графов, в которой элементы теории графов тесно переплетаются с такими топологическими понятиями, как планарность, род и т.д. В частности, мы исследуем возможность построения графа на плоскости и на других поверхностях. В разделе 4.1 мы обсуждаем планарные графы, демонстрируем некоторые графы, не являющиеся планарными, и рассматриваем критерий Куратовского² для планарных графов. В разделе 4.2 мы доказываем формулу Эйлера, связывающую число вершин, ребер и граней планарного графа. В разделе 4.3 раскрывается важная тема дуальности; в разделе 4.4 все эти идеи обобщаются для графов, изображенных на поверхностях, отличных от плоскости.

4.1. Планарные графы

Планарный граф (planar graph) — это граф, который можно нарисовать на плоскости без самопересечений, т.е. так, чтобы никакие два ребра геометрически не пересекались нигде, кроме как в вершине, которой оба они инцидентны. Любое такое изображение графа является **плоским рисунком (чертежом)** (plane drawing). Для удобства мы часто используем сокращенное название **плоский граф** (plane graph) для плоского чертежа планарного графа. Например, на рис. 4.1 показаны три изображения планарного графа K_4 , но только второй и третий изображения являются плоскими графами.

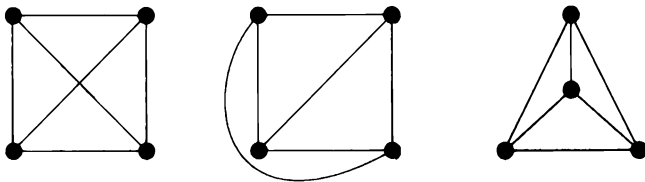


Рис. 4.1

¹ Непереводимая игра слов: на английском “лесть” — “flattery”, что созвучно со словом “flat” — “плоский”. — *Примеч. пер.*

² Точнее, Понтрягина–Куратовского. — *Примеч. ред.*

Изображение справа на рис. 4.1 приводит к вопросу. “Можно ли нарисовать каждый планарный граф на плоскости таким образом, чтобы каждое ребро было представлено прямой линией?” Хотя очевидно, петли или кратные ребра не могут быть нарисованы, как прямые линии, К. Вагнер (K. Wagner) в 1936 году и И. Фари (I. Fáry) в 1948 году независимо друг от друга доказали, что

каждый простой планарный граф может быть начерчен прямыми линиями.

Подробности можно найти в [11] или [16].

Не все графы планарны, как гласит приведенная ниже теорема.

Теорема 4.1. Графы $K_{3,3}$ и K_5 не планарны.

Примечание. Мы приводим два доказательства этой теоремы. Первое, представленное здесь, является конструктивным. Второе доказательство, которое мы приведем в разделе 4.2, является следствием формулы Эйлера.

Доказательство. Предположим сначала, что граф $K_{3,3}$ планарный. Поскольку $K_{3,3}$ содержит цикл

$$u \rightarrow v \rightarrow w \rightarrow x \rightarrow y \rightarrow z \rightarrow u$$

длиной 6, любой плоский чертеж должен содержать этот цикл, изображенный в виде шестиугольника, как показано на рис. 4.2.

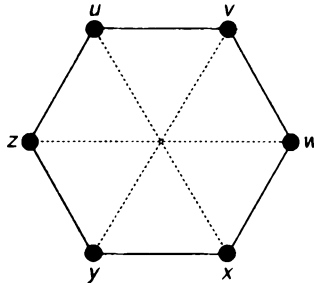


Рис. 4.2

Теперь ребро wz должно лежать либо целиком внутри шестиугольника, либо целиком снаружи него. Мы будем рассматривать случай, когда wz лежит внутри шестиугольника — другой случай аналогичен. Поскольку ребро ix не должно пересекать ребро wz , оно должно лежать вне шестиугольника; ситуация сейчас выглядит так, как показано на рис. 4.3. Тогда оказывается невозможным нарисовать ребро yu , так как оно пересечет либо ix , либо wz . Это дает нам требуемое противоречие.

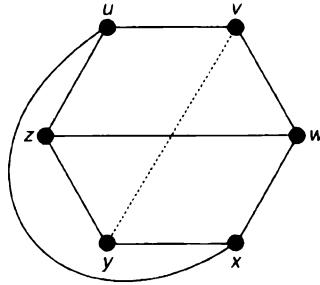


Рис. 4.3

Далее предположим, что граф K_5 является планарным. Так как в K_5 есть цикл

$$v \rightarrow w \rightarrow x \rightarrow y \rightarrow z \rightarrow v$$

длиной 5, любое плоское изображение должно содержать этот цикл в виде пятиугольника, как показано на рис. 4.4.

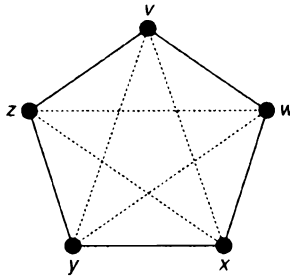


Рис. 4.4

Теперь ребро wz должно находиться либо целиком внутри пятиугольника, либо полностью снаружи него. Мы рассмотрим случай, когда wz находится внутри пятиугольника; другой случай полностью аналогичен. Поскольку ребра vx и yu не пересекают ребро wz , они оба должны находиться за пределами пятиугольника; ситуация при этом выглядит так, как показано на рис. 4.5. Но ребро xz не может пересечь ребро vu и поэтому должно лежать внутри пятиугольника; но точно так же ребро wu должно лежать внутри пятиугольника, и в результате ребра wu и xz должны пересекаться. Это и дает требуемое противоречие. ■

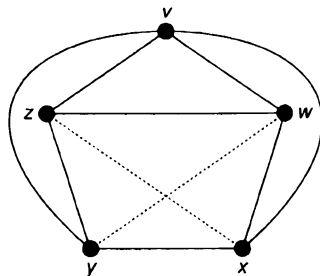


Рис. 4.5

Обратите внимание, что если мы попытаемся нарисовать K_5 или $K_{3,3}$ на плоскости, то у нас должно быть хотя бы одно пересечение двух ребер, поскольку эти графы не являются планарными. Однако нам не потребуется более одного пересечения (рис. 4.6), даже если пересечения должны включать только два ребра.

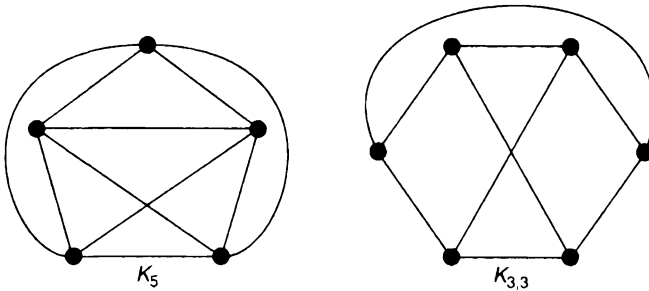


Рис. 4.6

В более общем случае **число пересечений** (crossing number) $cr(G)$ графа G представляет собой наименьшее число пересечений (двух ребер), которое может встречаться при изображении G на плоскости. Например, число пересечений любого планарного графа равно 0, а $cr(K_5) = cr(K_{3,3}) = 1$. К сожалению, о числе пересечений графов в общем случае известно мало. Неизвестны даже числа пересечений большинства полных графов и полных двудольных графов.

Теорема Куратовского

Ясно, что каждый подграф планарного графа является планарным и что каждый граф с непланарным подграфом должен быть непланарным. Отсюда следует, что любой граф с графами $K_{3,3}$ и K_5 в качестве подграфов является непланарным. Фактически, как мы увидим, эти два графа являются “строительными блоками” для всех непланарных графов в том смысле, что каждый непланарный граф должен “содержать” хотя бы один из них.

Чтобы сделать это утверждение более точным, определим два графа как **гомеоморфные**, если оба они могут быть получены из одного и того же графа путем вставки новых вершин степени 2 в его ребра. Например, гомеоморфны любые два циклических графа, как и два графа на рис. 4.7.

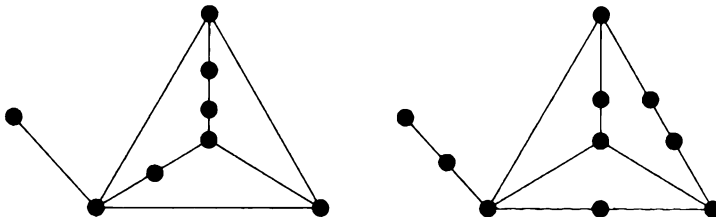


Рис. 4.7

Обратите внимание, что введение термина “гомеоморфный” удобно только с технической точки зрения, так как вставка или удаление вершин степени 2 не имеет отношения к планарности. Однако оно позволяет нам сформулировать следующий важный результат, известный как **теорема Куратовского**³, которая дает необходимое и достаточное условие планарности графа.

Теорема 4.2 (Понтрягин, 1927; Куратовский, 1930). Граф является планарным тогда и только тогда, когда он не содержит подграфов, гомеоморфных графам K_5 и $K_{3,3}$.

Доказательство теоремы Куратовского длинное и сложное, так что мы его опустим — его можно найти в [11] или [16]. Однако мы будем использовать теорему Куратовского для получения другого критерия планарности. Для этого сначала определим граф H как **стягиваемый** (contractible) к K_5 или $K_{3,3}$, если мы можем получить графы K_5 и $K_{3,3}$ путем последовательного “стягивания” ребер H . Например, граф Петерсена является стягиваемым к K_5 , что можно видеть, стянув пять “спиц”, соединяющих внутренний и внешний 5-циклы (рис. 4.8).

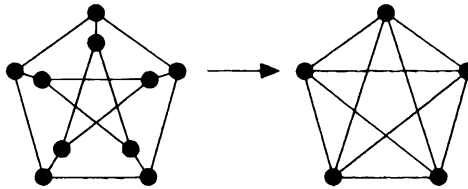


Рис. 4.8

Теорема 4.3. Граф является планарным тогда и только тогда, когда он не содержит подграфа, стягиваемого к K_5 или $K_{3,3}$.

Схема доказательства. \Leftarrow Предположим сначала, что граф G не планарный. Тогда по теореме Куратовского G содержит подграф H , гомеоморфный K_5 или $K_{3,3}$. Последовательно стягивая ребра H , которые инцидентны вершинам степени 2, мы увидим, что H стягиваем к K_5 или $K_{3,3}$.

\Rightarrow Теперь предположим, что G содержит подграф H , стягиваемый в $K_{3,3}$, и пусть вершина v в $K_{3,3}$ получается в результате стягивания подграфа H_v в H (рис. 4.9).

³ Точнее, Понтрягина–Куратовского. — Примеч. ред.

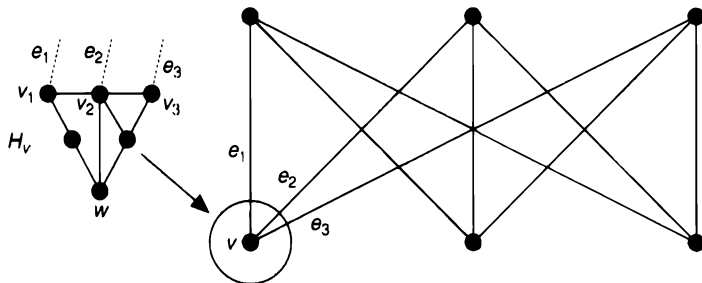


Рис. 4.9

Вершина v в $K_{3,3}$ инцидентна трем ребрам — e_1 , e_2 и e_3 . Что касается ребер H_v , то они инцидентны трем (не обязательно различным) вершинам, v_1 , v_2 и v_3 , подграфа H_v . Если v_1 , v_2 и v_3 различны, то можно найти вершину w из H_v и три пути из w в эти вершины, пересекающиеся только в вершине w . (Существует аналогичное построение и когда вершины не различны; пути в этом случае вырождаются до отдельных вершин.) Следовательно, можно заменить подграф H_v вершиной w и тремя путями, выходящими из нее. Если это построение выполняется для каждой вершины $K_{3,3}$ и полученные пути соединяются с соответствующими ребрами $K_{3,3}$, то результирующий подграф гомеоморфен $K_{3,3}$. Из теоремы Куратовского следует, что граф G не планарный (рис. 4.10).

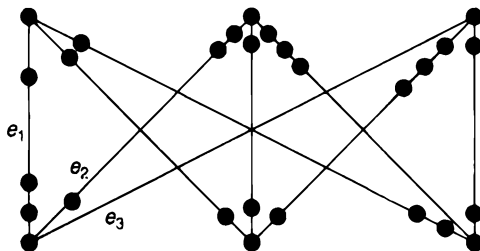


Рис. 4.10

Аналогичные рассуждения могут быть выполнены и если граф G содержит подграф, стягиваемый к K_3 . Здесь детали построения более сложны, так как подграф, который мы получаем с помощью описанного выше процесса, может быть гомеоморфен либо K_5 , либо $K_{3,3}$ (см. [11]). ■

Бесконечные планарные графы

Завершим этот раздел теоремой для бесконечных плоских графов. Напомним из раздела 2.1, что лемма Кёнига позволяет выводить утверждения для бесконечных графов из соответствующих утверждений для конечных графов. Следующая теорема может рассматриваться в качестве типичного примера.

Теорема 4.4. Если G — счетный граф, каждый конечный подграф которого планарный, то граф G также является планарным.

Доказательство. Поскольку граф G счетный, его вершины могут быть перечислены как v_1, v_2, v_3, \dots . Построим строго возрастающую последовательность $G_1 \subset G_2 \subset G_3 \subset \dots$ подграфов G , полагая G_k подграфом с вершинами v_1, v_2, \dots, v_k , ребра которого представляют собой ребра G , соединяющие две из этих вершин. Поскольку каждый подграф G_i может быть нарисован на плоскости только с помощью конечного числа $m(i)$ топологически различных способов, мы можем построить еще один бесконечный граф H , вершины которого w_{ij} (где $i \geq 1$ и $1 \leq j \leq m(i)$) соответствуют различным чертежам графов G_i , ребра соединяют вершины w_{ij} и w_{kl} , когда $k = i + 1$, а плоский чертеж, соответствующий w_{kl} , расширяет чертеж, соответствующий w_{ij} . Поскольку очевидно, что H связный и локально конечный, из леммы Кёнига следует, что H содержит односторонний бесконечный путь. Поскольку граф G счетен, этот бесконечный путь дает требуемый плоский чертеж G . ■

Упражнения

4.1⁵ Покажите, что граф на рис. 4.11 может быть изображен на плоскости без самопересечений.

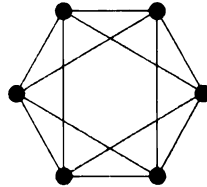


Рис. 4.11

4.2. Покажите, что граф на рис. 4.12 может быть изображен на плоскости без самопересечений.

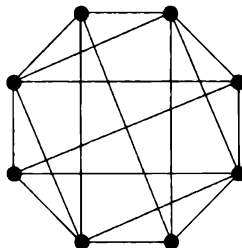


Рис. 4.12

- 4.3^s Три враждующих соседа пользуются одними и теми же колодцем, магазином и автобусной остановкой. Чтобы избежать встреч, они хотят проложить непересекающиеся тропинки от каждого из своих домов до каждого из этих мест общего пользования. Возможно ли это?
- 4.4^s Какие полные графы и полные двудольные графы планарны?
- 4.5. 1) Для каких значений k является планарным k -куб Q_k ?
2) Для каких значений r, s и t является планарным полный трехдольный граф $K_{r,s,t}$?
- 4.6^s Покажите, что граф $K_{4,3}$ и граф Петерсена имеют число пересечений, равное 2.
- 4.7. Докажите, что граф Петерсена непланарный,
1) удаляя два “горизонтальных” ребра и применяя теорему 4.2;
2) используя теорему 4.3.
- 4.8^s Приведите пример
1) непланарного графа, не гомеоморфного K_5 или $K_{3,3}$;
2) непланарного графа, не стягиваемого в K_5 или $K_{3,3}$.
Почему существование таких графов не противоречит теоремам 4.2 и 4.3?
- 4.9. Покажите, что если два гомеоморфных графа имеют n_i вершин и m_i ребер ($i = 1, 2$), то
- $$m_1 - n_1 = m_2 - n_2 .$$
- 4.10. Планарный граф G является **внешнепланарным** (outerplanar), если он может быть изображен на плоскости так, что все его вершины лежат на внешней границе.
1) Покажите, что графы K_4 и $K_{2,3}$ внешнепланарны.
2) Выведите, что если граф G — внешнепланарный, то G не содержит подграфов, гомеоморфных K_4 и $K_{2,3}$ или стягиваемых к ним. (Справедлив и обратный результат, дающий критерий внешнепланарности в духе критерия Куратовского.)
- 4.11. Размещая вершины в точках $(1, 1^2, 1^3)$, $(2, 2^2, 2^3)$, $(3, 3^2, 3^3)$, ..., докажите, что любой простой граф может быть изображен без пересечений в трехмерном евклидовом пространстве так, что каждое ребро представляет собой прямую линию.
- 4.12. Приведите пример
1) счетного планарного графа;
2) счетного непланарного графа.

4.2. Формула Эйлера

Если G — планарный граф, то любой плоский чертёж G делит множество точек плоскости, не лежащих на G , на области, именуемые **гранями** (faces). Например, планарные графы на рис. 4.13 и 4.14 имеют восемь и четыре грани соответственно. Обратите внимание, что в каждом случае грань f_4 не ограничена; она называется **бесконечной гранью**.

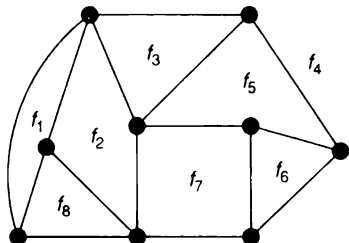


Рис. 4.13

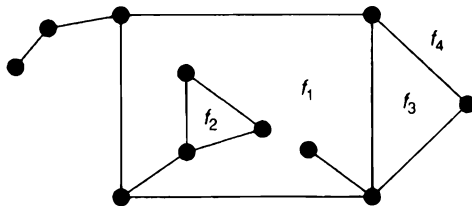


Рис. 4.14

В бесконечной грани нет ничего особенного — фактически в качестве таковой может быть выбрана любая грань. Чтобы увидеть это, отобразим граф на поверхность сферы с помощью стереографической проекции (рис. 4.15). Теперь повернем сферу так, чтобы точка проекции (северный полюс) лежала внутри выбранной в качестве бесконечной грани, а затем проецируем граф вниз на плоскость, касательную к сфере на южном полюсе. Выбранная грань теперь становится бесконечной.

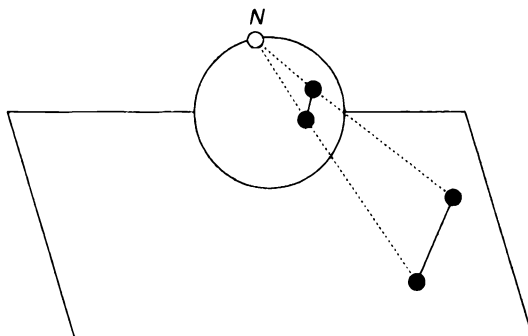


Рис. 4.15

На рис. 4.16 показано представление графа с рис. 4.14, в котором роль бесконечной грани играет f_3 .

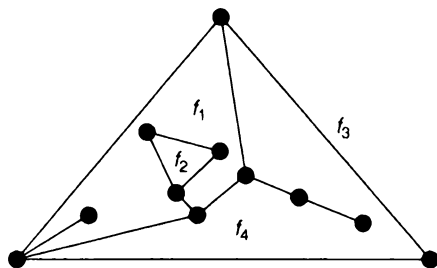


Рис. 4.16

Теперь сформулируем и докажем **формулу Эйлера**, которая гласит, что независимо от того, как именно изображен планарный граф на плоскости, число граней всегда одинаково и задается простой формулой.

Теорема 4.5 (Эйлер, 1750). Пусть G — плоский чертеж связного планарного графа и пусть n , m и f означают количество вершин, ребер и граней графа G соответственно. Тогда

$$n - m + f = 2.$$

Примечание. Пример теоремы приведен на рис. 4.14, где $n = 11$, $m = 13$, $f = 4$ и $n - m + f = 11 - 13 + 4 = 2$.

Доказательство. Доказательство выполняется по индукции по числу ребер G .

Если $m = 0$, то $n = 1$ (поскольку граф G связан) и $f = 1$ (бесконечная грань). Следовательно, в этом случае теорема верна.

Теперь предположим, что теорема справедлива для всех плоских графов с не более чем $m - 1$ ребрами, и пусть G — плоский граф с m ребрами. Если G является деревом, то $m = n - 1$ и $f = 1$, так что $n - m + f = 2$, как и требуется. Если же G — не дерево, то пусть e — ребро в некотором цикле G . Тогда $G - e$ представляет собой связный плоский граф с n вершинами, $m - 1$ ребрами и $f - 1$ гранями, так что $n - (m - 1) + (f - 1) = 2$ согласно гипотезе индукции. Отсюда следует, что $n - m + f = 2$, как и требуется. ■

Этот результат часто называют “формулой многогранника Эйлера”, поскольку он связывает количество вершин, ребер и граней выпуклого многогранника. Например, для куба мы имеем $n = 8$, $m = 12$, $f = 6$ и $n - m + f = 8 - 12 + 6 = 2$ (рис. 4.17).

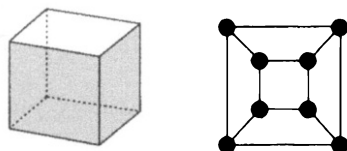


Рис. 4.17

Чтобы увидеть ситуацию в общем случае, спроецируйте многогранник на поверхность описанной вокруг него сферы, а затем используйте стереографическую проекцию (как на рис. 4.15), чтобы спроецировать его вниз на плоскость. Полученный плоский граф является связным графом, каждая грань которого ограничена многоугольником; такой граф называется **графом многогранника** (polyhedral graph) (рис. 4.13). Для удобства переформулируем формулу Эйлера для таких графов; альтернативное доказательство изложено в упражнении 4.42.

Следствие 4.6. Пусть G — граф многогранника. Тогда, с использованием приведенных выше обозначений,

$$n - m + f = 2.$$

Формула Эйлера может быть легко расширена для несвязных графов.

Следствие 4.7. Пусть G — плоский граф с n вершинами, m ребрами, f гранями и k компонентами. Тогда

$$n - m + f = k + 1.$$

Доказательство. Требуемый результат можно получить, применяя формулу Эйлера к каждому компоненту отдельно и учитывая, что бесконечную грань нужно считать только один раз. ■

Все приведенные выше результаты применимы к произвольным плоским графам. Теперь ограничимся простыми графами.

Следствие 4.8.

- 1) Если G — простой связный планарный граф с n (≥ 3) вершинами и m ребрами, то

$$m \leq 3n - 6.$$
- 2) Если, кроме того, G не содержит треугольников, то

$$m \leq 2n - 4.$$

Доказательство

- 1) Можно считать, что у нас есть плоский чертёж G . Поскольку каждая грань ограничена как минимум тремя ребрами, из подсчета ребер вокруг каждой грани следует, что $3f \leq 2m$; множитель 2 появляется из-за того, что каждое ребро ограничивает две грани (или одну и ту же грань дважды), а потому учитывается два раза. Мы получаем требуемый результат, комбинируя это неравенство с формулой Эйлера.
- 2) Эта часть доказывается аналогичным образом, с тем отличием, что указанное выше неравенство $3f \leq 2m$ заменяется неравенством $4f \leq 2m$. ■

Используя данное следствие, можно дать альтернативное доказательство теоремы 4.1.

Следствие 4.9. Графы K_5 и $K_{3,3}$ не являются планарными.

Доказательство. Если бы K_5 был планарным, то, применив следствие 4.8.1, мы получили бы соотношение $10 < 9$, т.е. явное противоречие. Если бы планарным был граф $K_{3,3}$, то, применив следствие 4.8.2, мы получили бы, что $9 < 8$, что также является явным противоречием. ■

Мы можем использовать аналогичные рассуждения для доказательства следующей теоремы, которая будет полезна при изучении раскраски графов в главе 5, “Раскраска графов”.

Теорема 4.10. Каждый простой планарный граф G содержит вершину, степень которой не превышает 5.

Доказательство. Без потери общности можно считать граф G связным и содержащим по меньшей мере три вершины. Если степень каждой вершины не менее шести, то (в тех же обозначениях, что и выше) получаем, что $6n \leq 2m$, т.е. $3n \leq m$. Из следствия 4.8.1 сразу же вытекает, что $3n \leq 3n - 6$, т.е. мы получаем противоречие. ■

В заключение этого раздела скажем несколько слов о “толщине” графа, которая представляет собой еще одну меру “непланарности” графа. В электронике элементы схем зачастую монтируют на одной стороне тонкой непроводящей пластины, которая называется печатной платой. Поскольку проводники не изолированы, они не могут пересекаться, и соответствующие графы должны быть планарными (рис. 4.18).

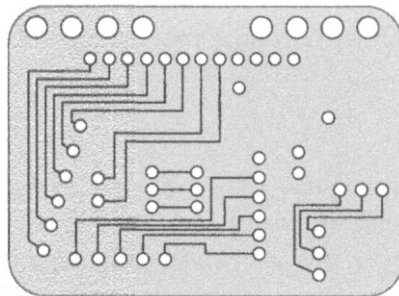


Рис. 4.18

В общем случае важно знать, сколько понадобится печатных плат для всей схемы. С этой целью определим понятие **толщины** (thickness) $t(G)$ графа G как наименьшее число планарных графов, объединение которых дает G .

Например, толщина планарного графа равна 1, а толщина графов K_5 и $K_{3,3}$ равна 2. На рис. 4.19 показано, что толщина графа K_6 равна 2.

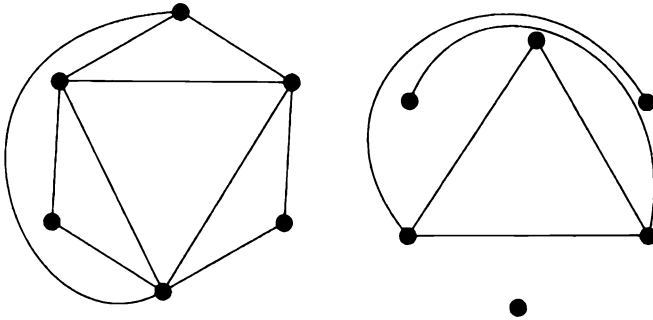


Рис. 4.19

Как мы увидим, нижняя оценка толщины графа легко получается из формулы Эйлера. Как ни удивительно, эта тривиальная нижняя граница часто оказывается точной величиной (что можно проверить прямым построением). При получении этой нижней границы мы используем символы “пола” и “потолка” $\lfloor x \rfloor$ и $\lceil x \rceil$ для обозначения соответственно наибольшего целого числа, не превосходящего x , и наименьшего целого числа, не меньшего x , например

$$\lfloor 3 \rfloor = \lceil 3 \rceil = 3; \quad \lfloor \pi \rfloor = 3; \quad \lceil \pi \rceil = 4.$$

Теорема 4.11. Пусть G — простой граф с n (≥ 3) вершинами и m ребрами. Тогда толщина $t(G)$ графа G удовлетворяет неравенствам

$$t(G) \geq \lceil m/(3n-6) \rceil \quad \text{и} \quad t(G) \geq \lfloor (m+3n-7)/(3n-6) \rfloor.$$

Доказательство. Первое неравенство является непосредственным применением следствия 4.4.1, причем скобки вытекают из того факта, что толщина должна быть целым числом. Второе неравенство следует из первого с использованием легко доказуемого соотношения $\lceil a/b \rceil = \lfloor (a+b-1)/b \rfloor$, где a и b — натуральные числа. ■

Упражнения

4.13[§] Проверьте формулу Эйлера для

- 1) колеса W_8 ;
- 2) графа октаэдра;
- 3) графа на рис. 4.13;
- 4) полного двудольного графа $K_{2,7}$.

- 4.14. Перерисуйте граф на рис. 4.14 таким образом, чтобы бесконечной гранью была 1) f_1 ; 2) f_2 .
- 4.15^s: 1) Используйте формулу Эйлера, чтобы доказать, что, если G является связным планарным графом с обхватом 5, с n вершинами и m ребрами, то $m \leq 5(n-2)/3$. Выведите отсюда, что граф Петерсена непланарный.
- 2) Получите неравенство, обобщающее п. 1 для связных планарных графов обхвата p .
- 4.16. Пусть G — многогранник (или граф многогранника), каждая грань которого ограничена пяти- или шестиугольником.
- 1) Используйте формулу Эйлера, чтобы показать, что G должен иметь как минимум 12 пятиугольных граней.
- 2) Докажите кроме того, что если G — такой многогранник с встречающимися в каждой вершине ровно тремя гранями (например, в футбольном мяче), то G имеет ровно 12 пятиугольных граней.
- 4.17. Пусть G — простой плоский граф с менее чем 12 гранями, в котором каждая вершина имеет степень, не меньшую 3.
- 1) Используйте формулу Эйлера, чтобы показать, что G имеет грань, ограниченную не более чем четырьмя ребрами.
- 2) Приведите пример, демонстрирующий, что результат п. 1 ложен, если G имеет 12 граней.
- 4.18^s: 1) Пусть G — простой связный кубический плоский граф и пусть C_k — количество k -сторонних граней. Подсчитав количество вершин и ребер G , докажите, что
- $$3C_3 + 2C_4 + C_5 - C_7 - 2C_8 - 3C_9 - \dots = 12.$$
- 2) Используйте этот результат, чтобы вывести результат упражнения 4.16.2.
- 3) Выведите также, что G имеет по крайней мере одну грань, ограниченную не более чем пятью ребрами.
- 4.19. Пусть G — простой граф, содержащий не менее 11 вершин и пусть \overline{G} — его дополнение.
- 1) Докажите, что G и \overline{G} не могут одновременно быть планарными. (Тот же результат получается и при замене 11 на 9, но его труднее доказать.)
- 2) Найдите граф G с восемью вершинами, для которого и G , и \overline{G} являются планарными.
- 4.20^s: Определите толщину 1) графа Петерсена; 2) 4-куба Q_4 .

4.21. 1) Покажите, что толщина K_n удовлетворяет условию

$$t(K_n) \geq \lfloor (n+7)/6 \rfloor.$$

2) Воспользуйтесь результатами упр. 4.19, чтобы доказать, что равенство выполняется при $n = 8$, но не при 9 и 10. (На самом деле равенство выполняется для всех n , отличных от 9 и 10.)

4.3. Дуальные графы

В теоремах 4.2 и 4.3 мы дали необходимые и достаточные условия того, чтобы граф был планарным, а именно — чтобы он не содержал подграфа, гомеоморфного или стягиваемого к K_5 или $K_{3,3}$. Теперь мы обсудим условия другого рода, включающие концепцию дуальности.

Для данного плоского чертежа планарного графа G мы строим еще один граф G^* , именуемый (геометрически) дуальным (geometric dual) графу G . Построение выполняется в два этапа:

- 1) внутри каждой грани f из G выбирается точка v^* — эти точки являются вершинами G^* ;
- 2) в соответствии с каждым ребром e из G мы рисуем линию e^* , которая пересекает e (но не другие ребра G) и соединяет вершины v^* в гранях f , примыкающих к e — эти линии и являются ребрами графа G^* .

Эта процедура проиллюстрирована на рис. 4.20. Вершины v^* в G^* показаны с помощью маленьких квадратов; ребра e в G — сплошными линиями, а ребра e^* в G^* — пунктирными линиями. Обратите внимание, что конечная вершина или мост G порождает петлю в G^* , и если две грани G имеют более одного общего ребра, то G^* имеет кратные ребра.

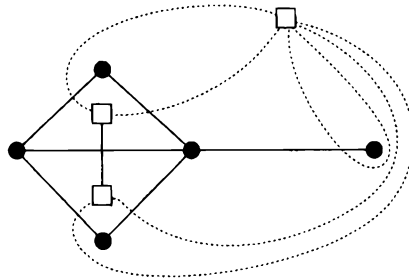


Рис. 4.20

Геометрическая идея дуальности очень стара. Например, в “пятнадцатой книге Евклида”, написанной около 500–600 гг. н.э., отмечается, что дуальным для

куба является октаэдр, а дуальным для додекаэдра — икосаэдр (см. упр. 4.24). Обратите внимание, что любые два графа, образованные из G таким образом, должны быть изоморфными. С другой стороны, если граф G изоморфен графу H , то это не обязательно означает, что граф G^* изоморфен графу H^* ; пример, демонстрирующий это, приведен в упр. 4.27.

Если граф G одновременно плоский и связный, то и G^* плоский и связный, а между количествами вершин, ребер и граней G и G^* существуют простые соотношения.

Лемма 4.12. Пусть G — связный плоский граф с n вершинами, m ребрами и f гранями и пусть геометрически дуальный к нему граф G^* имеет n^* вершин, m^* ребер и f^* граней. Тогда

$$n^* = f, \quad m^* = m \quad \text{и} \quad f^* = n.$$

Доказательство. Первые два соотношения являются прямыми следствиями определения G^* . Третье соотношение получается при подстановке первых двух соотношений в формулу Эйлера, применяемую как к G , так и к G^* . ■

Поскольку граф G^* , дуальный к плоскому графу G , также является плоским графом, можно повторить приведенное выше построение, чтобы сформировать граф G^{**} , дуальный к G^* . Если граф G связный, то взаимоотношение между G^{**} и G особенно простое.

Теорема 4.13. Если G — связный плоский граф, то G^{**} изоморфен к G .

Доказательство. Достаточно заметить, что построение, которое порождает G^* из G , может быть обращено и давать G из G^* ; например, на рис. 4.20 граф G является дуальным графу G^* . Нам нужно только убедиться, что грань графа G^* не может содержать более одной вершины из G (она, безусловно, всегда содержит хотя бы одну). Это немедленно следует из соотношений $n^{**} = f^* = n$, где n^{**} — количество вершин G^{**} . ■

Если G — планарный граф, то дуальный к G граф можно определить, взяв любой плоский чертеж и сформировав геометрически дуальный к нему, но единственность при этом не всегда выполняется. Поскольку дуальные графы были определены только для планарных графов, утверждение, что граф планарный тогда и только тогда, когда он имеет дуальный граф, тривиально верное. С другой стороны, из сказанного выше мы не в состоянии определить, является ли данный граф планарным. Очевидно, что желательно найти такое определение дуальности, которое обобщает геометрическую дуальность и в принципе говорит нам, является ли данный граф планарным. Одно такое определение использует взаимосвязь между циклами и разрезами плоского графа

G при дуальности. Сейчас мы опишем это соотношение и используем его для получения определения, которое мы ищем. Альтернативное определение дано в упр. 4.43.

Теорема 4.14. Пусть G — планарный граф и пусть граф G^* геометрически дуален к G . Тогда множество ребер G образует цикл в G тогда и только тогда, когда соответствующее множество ребер G^* образует разрез в G^* .

Доказательство. Можно считать, что G — связный плоский граф. Если C является циклом в G , то C включает в себе одну или несколько конечных граней G и, таким образом, содержит внутри себя непустое множество S вершин из G^* . Из этого сразу следует, что те ребра G^* , которые пересекают ребра C , образуют разрез G^* , удаление которого разъединяет G^* на два подграфа, один — с множеством вершин S и другой — содержащий те вершины, которые не лежат в S (рис. 4.21).

Обратное утверждение доказывается простым обращением этого рассуждения. ■

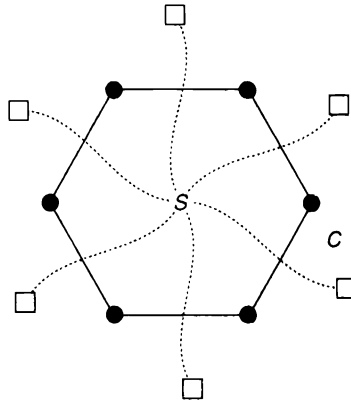


Рис. 4.21

Следствие 4.15. Множество ребер G образует разрез в G тогда и только тогда, когда соответствующее множество ребер в G^* образует цикл в G^* .

Доказательство. Применив теорему 4.14 к G^* и используя теорему 4.13, мы немедленно получаем требуемый результат. ■

Используя в качестве мотивации теорему 4.14, мы теперь можем дать абстрактное определение дуальности. Обратите внимание, что это определение не связано с какими-либо геометрическими свойствами планарных графов, но касается только взаимоотношений между двумя графами.

Мы говорим, что граф G^* является **абстрактно дуальным** к графу G , если существует взаимно однозначное соответствие между ребрами G и G^* , обладающее тем свойством, что множество ребер G образует цикл в G тогда и только тогда, когда соответствующее множество ребер G^* образует разрез в G^* . Например, на рис. 4.22 показаны граф и абстрактно дуальный к нему граф; их соответственные ребра обозначены одинаковыми буквами.

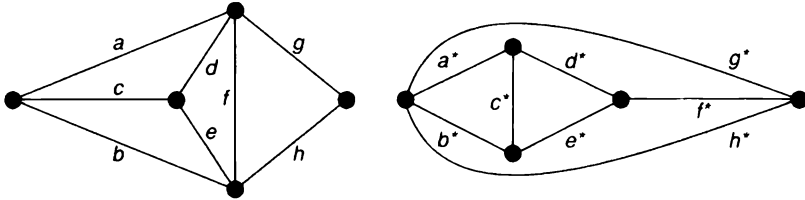


Рис. 4.22

Из теоремы 4.14 следует, что понятие абстрактной дуальности обобщает понятие геометрической дуальности в том смысле, что если G — плоский граф, а G^* — геометрически дуальный к G граф, то G^* — абстрактно дуален к G . Теперь хотелось бы получить для абстрактно дуальных графов аналоги некоторых результатов, относящихся к геометрически дуальным графам. Здесь мы представим только один из них — аналог теоремы 4.13 для абстрактно дуальных графов. В этой теореме мы не требуем, чтобы граф G был связным.

Теорема 4.16. Если граф G^* является абстрактно дуальным к графу G , то G является абстрактно дуальным к графу G^* .

Доказательство. Пусть C — разрез G и пусть C^* обозначает соответствующее ему множество ребер G^* . Покажем, что C^* является циклом в G^* . Согласно первой части упражнения 2.47 C имеет четное число ребер, общих с любым циклом G , и поэтому C^* имеет четное число ребер, общих с любым разрезом G^* . Из второй части упражнения 2.47 следует, что C^* является либо циклом в G^* , либо объединением двух или более реберно-непересекающихся циклов. Но вторая возможность не имеет места, так как мы можем аналогичным образом показать, что циклы в G^* соответствуют объединениям реберно-непересекающихся разрезов в G , и поэтому C будет реберно-непересекающимся объединением по крайней мере двух разрезов, а не отдельным разрезом. Отсюда непосредственно следует искомым результат. ■

Хотя наше определение абстрактной дуальности может показаться странным, оказывается, что оно удовлетворяет нашим требованиям. В теореме 4.14 мы видели, что у планарного графа есть абстрактно дуальный граф (например, любой геометрически дуальный граф). Покажем теперь, что верен и обратный результат — любой граф с абстрактным дуальным графом должен быть планарным. Это дает нам абстрактное определение дуальности, которое обобщает геометрическую дуальность и характеризует планарные графы. Как мы увидим в разделе 7.3, приведенное выше определение абстрактной дуальности является естественным следствием дуальности в матроидах.

Теорема 4.17. Граф является планарным тогда и только тогда, когда он имеет абстрактно дуальный граф.

Примечание. Есть несколько доказательств этой теоремы. Мы изложим доказательство, которое использует теорему Куратовского.

Набросок доказательства. Как упоминалось выше, достаточно доказать, что если G — граф с абстрактным дуальным графом G^* , то граф G планарный. Доказательство состоит из четырех этапов.

- 1) Сначала заметим, что если из G удалить некоторое ребро e , то абстрактно дуальный граф для получающегося после удаления графа получается из G^* путем стягивания соответствующего ребра e^* . Повторяя эту процедуру, мы приходим к выводу, что если G имеет абстрактно дуальный граф, то им обладает и любой подграф графа G .
- 2) Далее мы заметим, что если G имеет абстрактно дуальный граф и если G' — граф, гомеоморфный G , то у G' также есть абстрактно дуальный граф. Это следует из того факта, что вставка или удаление из G вершины степени 2 приводит к добавлению или удалению “кратного ребра” в G^* .
- 3) Третий этап — показать, что ни у K_5 , ни у $K_{3,3}$ нет абстрактно дуального графа. Но $K_{3,3}$ содержит только циклы длиной 4 или 6 и не содержит разрывов с двумя ребрами. Таким образом, если бы G^* был дуальным графом $K_{3,3}$, то G^* не содержал бы кратных ребер, и каждая вершина G^* имела бы степень не менее 4. Следовательно, G^* будет иметь по крайней мере пять вершин и не менее $(5 \times 4) / 2 = 10$ ребер, что невозможно. Рассуждения для K_5 аналогичны.
- 4) Предположим теперь, что G — непланарный граф с абстрактно дуальным графом G^* . Тогда по теореме Куратовского G имеет подграф H , гомеоморфный K_5 или $K_{3,3}$. Из пп. 1 и 2 следует, что H , а значит, и K_5 или $K_{3,3}$, должны иметь абстрактно дуальный граф, что противоречит п. 3. ■

Упражнения

4.22^s Найдите граф, дуальный графу на рис. 4.23, и проверьте выполнение леммы 4.12.

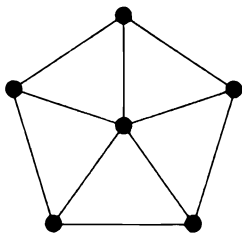


Рис. 4.23

4.23. Найдите граф, дуальный графу на рис. 4.24, и проверьте выполнение леммы 4.12.

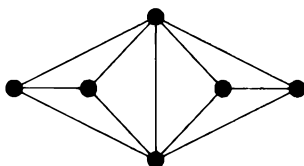


Рис. 4.24

4.24. Покажите, что дуальный граф для графа куба является графом октаэдра и что дуальный граф для графа додекаэдра является графом икосаэдра. Что собой представляет граф, дуальный графу тетраэдра?

4.25. Покажите, что дуальный граф для графа колеса является колесом.

4.26^s Используйте дуальность, чтобы доказать, что не существует плоского графа с пятью гранями, каждая пара которых имеет общее ребро.

4.27^s Покажите, что графы на рис. 4.25 изоморфны, но их геометрически дуальные графы изоморфными не являются.

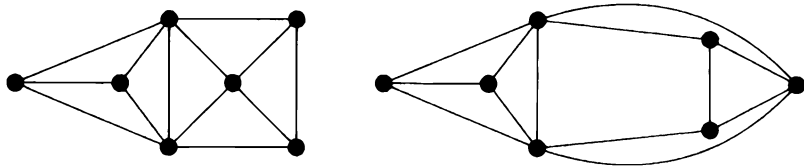


Рис. 4.25

4.28. 1) Приведите пример, демонстрирующий, что если G — несвязный плоский граф, то G^{**} не изоморфен графу G .

2) Докажите результат из п. 1 в общем случае.

- 4.29^s: “Дуализируйте” результаты упражнения 4.16.
- 4.30^s: Докажите, что если G — трехсвязный плоский граф, то его дуальный граф является простым.
- 4.31^s: Пусть G — связный плоский граф. Используя теорему 2.1 и следствие 2.10, докажите, что G является двудольным тогда и только тогда, когда его дуальный граф G^* является эйлеровым. (Этот результат будет необходим в главах 5, “Раскраска графов”, и 7, “Матроиды”.)
- 4.32. 1) Приведите пример, демонстрирующий, что если G — связный плоский граф, то любое остовное дерево в G соответствует дополнению остовного дерева в G^* .
- 2) Докажите результат из п. 1 в общем случае.
(Этот результат будет необходим в главе 7, “Матроиды”.)

4.4. Графы на других поверхностях

В трех предыдущих разделах мы рассматривали графы, изображенные на плоскости или (что эквивалентно) на поверхности сферы. Теперь рассмотрим изображение графов на других поверхностях, например на торе (рис. 4.26). Легко проверить, что и K_5 , и $K_{3,3}$ могут быть нарисованы на поверхности тора без пересечений (упражнение 4.33), и естественно спросить, существуют ли аналоги формулы Эйлера и теоремы Куратовского для графов, изображенных на таких поверхностях.

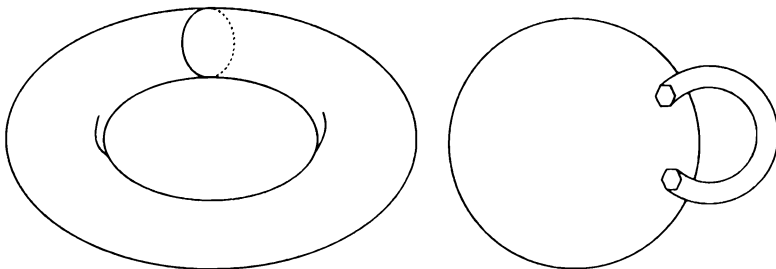


Рис. 4.26

Тор можно представить как сферу с одной “ручкой”. В общем случае поверхность имеет род (genus) g , если она топологически гомеоморфна сфере с g “ручками”. Если вы не знакомы с этими терминами, просто думайте о графах, нарисованных на поверхности пончика с g отверстиями в нем. Таким образом, род сферы равен 0, а род тора — 1.

Граф, который можно изобразить без пересечений на поверхности рода g , но нельзя ни на одной из поверхностей с родом $g-1$, является **графом рода g** . Таким образом, K_5 и $K_{3,3}$ являются графами рода 1 (также именуемыми **торидальными графами**).

Следующая теорема дает нам верхнюю оценку рода графа.

Теорема 4.18. Род графа не превосходит числа пересечений.

Доказательство. Нарисуем граф на поверхности сферы так, чтобы число пересечений было как можно меньшим и, следовательно, равным числу пересечений c . На каждом пересечении мы построим “мост” (как на рис. 0.1 во введении) и проведем одно ребро над мостом, а другое — под ним. Поскольку каждый такой мост можно рассматривать как ручку, мы нарисовали граф на поверхности сферы с c ручками. Отсюда следует, что род не превосходит значение c . ■

В настоящее время не существует полного аналога теоремы Куратовского для поверхностей рода g , хотя Нил Робертсон (Neil Robertson) и Пол Сеймур (Paul Seymour) доказали, что существует конечное множество “запрещенных” подграфов рода g для каждого значения g , соответствующих запрещенным подграфам K_5 и $K_{3,3}$ для графов рода 0. Однако, похоже, что даже для тора существует много сотен таких запрещенных подграфов.

В случае формулы Эйлера нам повезло больше, поскольку существует естественное ее обобщение для графов рода g . В этом обобщении **грань** графа рода g определяется очевидным образом.

Теорема 4.19. Пусть G — связный граф рода g с n вершинами, m ребрами и f гранями. Тогда

$$n - m + f = 2 - 2g.$$

Набросок доказательства. Опишем основные этапы доказательства, опуская детали.

Без потери общности можно считать, что G изображен на поверхности сферы с g ручками. Можно также предположить, что кривые A , по которым ручки прикреплены к сфере, являются циклами графа G (достаточно стянуть соответствующим образом те циклы, которые содержат эти кривые внутри себя).

Затем мы отрываем каждую ручку на одном конце таким образом, чтобы у ручки появился свободный конец E , а у сферы — соответствующее отверстие H . Можно считать, что цикл, соответствующий концу ручки, остается как на свободном конце E , так и на другом конце с отверстием, поскольку дополнительные вершины и ребра, необходимые для этого, точно уравнивают одни других, оставляя значение $n - m + f$ неизменным (рис. 4.27).

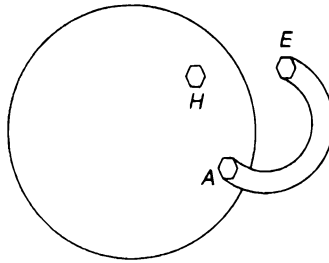


Рис. 4.27

Завершим доказательство, “сплющивая” каждую из этих ручек, оставляя сферу с $2g$ отверстиями. Этот процесс не меняет значение $n - m + f$. Но для сферы $n - m + f = 2$, а следовательно, для сферы с $2g$ отверстиями в ней

$$n - m + f = 2 - 2g.$$

Это и есть требуемый результат. ■

Следствие 4.20. Род $g(G)$ простого графа G с n (≥ 4) вершинами и m ребрами удовлетворяет неравенству

$$g(G) \geq \lceil (m - 3n) / 6 + 1 \rceil.$$

Доказательство. Поскольку каждая грань ограничена как минимум тремя ребрами, мы имеем (как в доказательстве следствия 4.8.1) $3f \leq 2m$. Подставляя это неравенство в теорему 4.19 и используя тот факт, что род графа является целым числом, получаем требуемый результат. ■

О роде произвольного графа, как и о толщине, известно немного. Обычный подход состоит в том, чтобы использовать следствие 4.20 для получения нижней границы рода, а затем попытаться получить требуемое изображение прямым построением.

Одним из случаев, имеющих особое историческое значение, является род полных графов. Следствие 4.20 говорит нам, что род K_n удовлетворяет соотношению

$$g(K_n) \geq \lceil \{n(n-1)/2 - 3n\} / 6 + 1 \rceil$$

или, после небольших преобразований,

$$g(K_n) \geq \lceil (n-3)(n-4) / 12 \rceil.$$

Перси Хивуд (Percy Heawood) в 1890 году выдвинул гипотезу, что данное неравенство является равенством, и это было доказано в 1968 году Герхардом

Рингелем (Gerhard Ringel) и Тедом Янгсом (Ted Youngs) после долгого и упорного труда (см. обсуждение и доказательство этой теоремы в [44]).

Теорема 4.21 (Рингель и Янгс, 1968)

$$g(K_n) = \lceil (n-3)(n-4)/12 \rceil$$

Дополнительные результаты, касающиеся изображений графов на этих поверхностях, а также на “неориентируемых” поверхностях (таких, как проективная плоскость и лента Мёбиуса), можно найти в работах [34] и [37].

Упражнения

4.33^s: Поверхность тора можно рассматривать как прямоугольник, в котором противоположные ребра отождествлены (рис. 4.28). Используя это представление, найдите изображения K_5 и $K_{3,3}$ на торе.

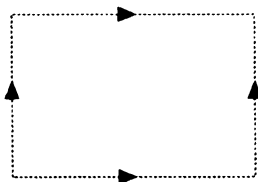


Рис. 4.28

- 4.34. Используя представление из упражнения 4.33, покажите, что граф Петерсена имеет род 1.
- 4.35^s: 1) Вычислите $g(K_7)$ и $g(K_{11})$.
2) Приведите пример полного графа рода 2.
- 4.36. 1) Используйте теорему 4.21 для доказательства того факта, что не существует значения n , для которого $g(K_n) = 7$.
2) Какое следующее целое число не является родом какого-либо полного графа?
- 4.37^s: 1) Приведите пример плоского графа, который является регулярным графом степени 4 и в котором каждая грань представляет собой треугольник.
2) Покажите, что не существует графа рода $g \geq 1$ с указанными свойствами.
- 4.38. 1) Получите нижнюю оценку, аналогичную следствию 4.20, для графа, не содержащего треугольников.
2) Выведите отсюда, что $g(K_{r,s}) \geq \lceil (r-2)(s-2)/4 \rceil$. (Рингель показал, что это — равенство.)

Проблемы

4.39. Пусть G — планарный граф с множеством вершин $\{v_1, v_2, \dots, v_n\}$ и пусть p_1, p_2, \dots, p_n — n произвольных различных точек на плоскости. Приведите эвристические рассуждения, показывающие, что G можно нарисовать на плоскости таким образом, что для всех i точка p_i представляет вершину v_i .

4.40. Докажите, что если r и s четны, то

$$cr(K_{r,s}) \leq rs(r-2)(s-2)/16,$$

и получите соответствующий результат для случая, когда r и/или s нечетно.

(Подсказка: поместите r вершин вдоль оси x с $r/2$ вершинами по каждую сторону от начала координат и аналогично разместите s вершин вдоль оси y ; затем соедините вершины отрезками прямых линий и подсчитайте пересечения.)

4.41. 1) Воспользуйтесь следствием 4.8.2 для доказательства того факта, что

$$t(K_{r,s}) \geq \lceil rs/(2r+2s-4) \rceil,$$

и проверьте, что для $t(K_{3,3})$ выполняется равенство.

2) Разбивая $K_{r,s}$ на несколько копий $K_{2,s}$, докажите, что если r четно, то $t(K_{r,s}) \leq r$, и выведите из п. 1, что

$$t(K_{r,s}) = r/2 \text{ при } s > (r-2)^2/2.$$

4.42. Пусть G — граф многогранника и пусть W — подпространство циклов в G .

1) Покажите, что многоугольники, ограничивающие конечные грани графа G , образуют базис для W .

2) Выведите следствие 4.6.

4.43. Граф G^* дуальный по Уитни графу G , если имеется взаимно однозначное соответствие между $E(G)$ и $E(G^*)$, такое, что для каждого подграфа H графа G с $V(H) = V(G)$ соответствующий подграф H^* графа G^* удовлетворяет условию

$$\gamma(H) + \xi(\bar{H}^*) = \xi(G^*),$$

где \bar{H}^* получается из G^* путем удаления ребер H^* , а γ и ξ определены в разделе 3.1.

1) Покажите, что это — обобщение идеи геометрической дуальности.

- 2) Докажите, что если граф G^* дуальный по Уитни графу G , то граф G дуальный по Уитни графу G^* . (В 1931 году Х. Уитни (H. Whitney) доказал, что граф является планарным тогда и только тогда, когда имеет граф, дуальный по Уитни.)
- 4.44. 1) Пусть G — непланарный граф, который может быть изображен без самопересечений на ленте Мёбиуса. Докажите, что с использованием обычных обозначений $n - m + f = 1$.
- 2) Покажите, как без самопересечений изобразить на ленте Мёбиуса графы K_5 и $K_{3,3}$.

Раскраска графов

“Сокрять хотели
Под светлой краской черные дела”.
Уильям Шекспир, “Буря”¹

В этой главе мы исследуем раскраску графов и карт, обращая особое внимание на знаменитую теорему о четырех красках и смежные вопросы. В разделе 5.1 мы раскрасим вершины графа так, чтобы каждое ребро соединяло две вершины разных цветов, а в разделе 5.2 — о хроматических полиномах — выясним *количество способов* такой раскраски. В разделе 5.3 описана связь между раскрасками вершин и раскрасками карт, а в разделе 5.4 — теорема о четырех красках. В заключение, в разделе 5.5, эти идеи связаны с раскраской ребер графа.

5.1. Раскраска вершин

Если G — граф без петель, то G является **k -раскрашиваемым** (k -colourable), если мы можем назначить один из k цветов каждой вершине таким образом, чтобы смежные вершины имели разные цвета. Если G является k -раскрашиваемым, но не является $(k - 1)$ -раскрашиваемым, мы говорим, что G является **k -хроматическим** (k -chromatic) или что **хроматическое число** G равно k , и пишем $\chi(G) = k$. Например, на рис. 5.1 показан граф G , для которого $\chi(G) = 4$; цвета обозначены греческими буквами: таким образом, это k -раскрашиваемый граф для $k \geq 4$. Мы предполагаем, что здесь все графы простые, так как кратные ребра не играют роли в нашем обсуждении. Мы также предполагаем, когда это необходимо, что рассматриваемые графы связные.

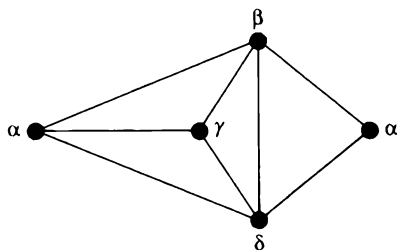


Рис. 5.1

¹ Перевод М. Донского.

Очевидно, что $\chi(K_n) = n$, поэтому существуют графы с произвольно высоким хроматическим числом. На другом конце шкалы $\chi(G) = 1$ тогда и только тогда, когда G — нулевой граф, и $\chi(G) = 2$ тогда и только тогда, когда G — ненулевой двудольный граф. Обратите внимание, что каждое дерево является 2-раскрашиваемым, как и любой циклический граф с четным числом вершин.

При каких условиях граф является 3-хроматическим, неизвестно, хотя привести примеры таких графов легко. К ним относятся циклические графы с нечетным числом вершин, колеса с нечетным числом вершин, граф Петерсена. Колеса с четным числом вершин являются 4-хроматическими.

О хроматическом числе произвольного графа мало что можно сказать. Если граф имеет n вершин, то очевидно, что его хроматическое число не превосходит n , а если граф содержит в качестве подграфа K_r , то его хроматическое число не может быть меньше r , однако на таком запасе сведений далеко не уедешь. Значительного прогресса можно добиться, если известна степень каждой вершины графа.

Теорема 5.1. Если G — простой граф, наибольшая степень вершины которого равна Δ , то граф G является $(\Delta + 1)$ -раскрашиваемым.

Доказательство. Доказательство выполняется по индукции по числу вершин G .

Пусть G — простой граф с n вершинами. Если мы удалим любую вершину v и инцидентные ей ребра, то оставшийся граф является простым графом с $n - 1$ вершинами и наибольшей степенью вершины, не превышающей Δ (рис. 5.2). По нашей гипотезе индукции этот граф $(\Delta + 1)$ -раскрашиваемый. $(\Delta + 1)$ -раскраска для G получается путем окрашивания v цветом, отличным от тех, которыми окрашены смежные с ней вершины (их не более Δ). ■

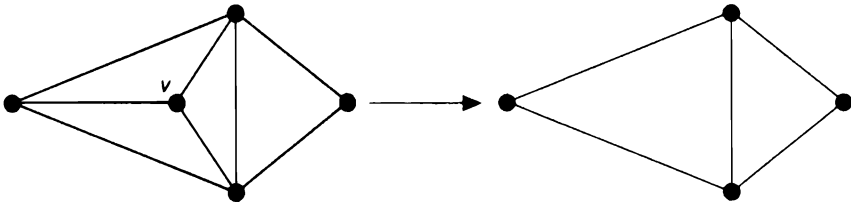


Рис. 5.2

Теорема Брукса

Проводя рассуждения более аккуратно, можно немного усилить эту теорему и получить следующий результат, известный как **теорема Брукса** (Brooks). Ее доказательство весьма длинное и при желании может быть опущено.

Теорема 5.2 (Брукс, 1941). Если G — простой связный граф, не являющийся полным, и наибольшая степень вершины в G равна $\Delta (\geq 3)$, то граф G является Δ -раскрашиваемым.

Доказательство. Доказательство выполняется по индукции по числу вершин G .

Предположим, что G имеет n вершин. Если какая-либо вершина из G имеет степень меньше Δ , то мы можем завершить доказательство, подражая доказательству теоремы 5.1. Таким образом, мы можем предположить, что G — регулярный граф степени Δ .

Если мы удаляем вершину v и инцидентные ей ребра, то получающийся граф имеет $n - 1$ вершин, а наибольшая степень вершины все еще не превосходит Δ . По нашей гипотезе индукции этот граф является Δ -раскрашиваемым. Сейчас наша цель состоит в том, чтобы окрасить v одним из Δ цветов. Можно предположить, что вершины $v_1, v_2, \dots, v_\Delta$, смежные с v , расположены вокруг v по часовой стрелке и окрашены в разные цвета $c_1, c_2, \dots, c_\Delta$, поскольку в противном случае имелся бы резервный цвет, который можно было бы использовать для окраски v .

Теперь мы определим H_{ij} ($i \neq j, 1 \leq i, j \leq \Delta$) как подграф G , вершины которого окрашены в цвет c_i или c_j , а ребра соединяют вершины, окрашенные в цвет c_i , и вершины, окрашенные в цвет c_j . Если вершины v_i и v_j лежат в разных компонентах H_{ij} , то мы можем изменить цвета всех вершин в компоненте H_{ij} , содержащем v_i (рис. 5.3). Результатом такой перекраски является то, что и v_i и v_j имеют цвет c_j , а это позволяет окрасить v в цвет c_j . Таким образом, мы можем считать, что при любых i и j вершины v_i и v_j связаны путем, полностью лежащим в H_{ij} . Обозначим компоненту графа H_{ij} , содержащую вершины v_i и v_j , через C_{ij} .

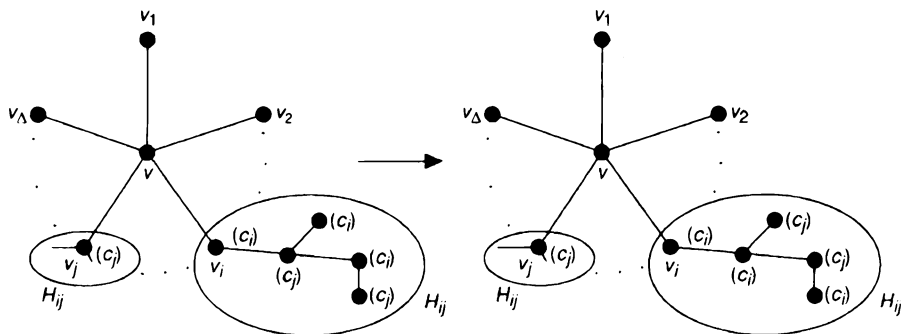


Рис. 5.3

Ясно, что если вершина v_i смежна более чем с одной вершиной цвета c_j , то существует цвет (отличный от c_j), не назначенный никакой из вершин,

смежных с v_i . В таком случае вершину v_i можно окрасить в этот цвет, что, в свою очередь, позволит окрасить вершину v в цвет c_i и закончить на этом доказательство теоремы. Если же этот случай не имеет места, то используем аналогичное рассуждение, чтобы показать, что каждая вершина из C_{ij} (отличная от v_i и от v_j) должна иметь степень 2. Предположим, что w — первая вершина пути из v_i в v_j , которая имеет степень, большую 2; тогда w можно перекрасить в цвет, отличный от c_i или c_j , нарушая тем самым свойство, что v_i и v_j связаны путем, целиком лежащим в C_{ij} (рис. 5.4). Таким образом, можно считать, что для любых i и j компонент C_{ij} состоит только из пути от вершины v_i до вершины v_j .

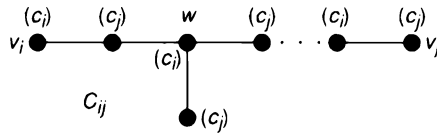


Рис. 5.4

Можно также считать, что два пути вида C_{ij} и C_{il} (где $i \neq l$) пересекаются только в вершине v_j , поскольку любая другая точка пересечения x может быть перекрашена в цвет, отличный от c_i , c_j или c_l (рис. 5.5), что противоречит тому факту, что v_i и v_j связаны путем.

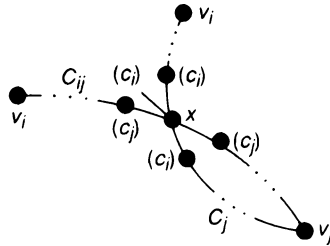


Рис. 5.5

Для завершения доказательства выберем две несмежные вершины v_i и v_j , и пусть y — вершина с цветом c_j , смежная с v_j . Если C_{il} является путем (для некоторого $l \neq j$), то мы можем поменять цвета вершин на этом пути, не влияя на раскраску остальной части графа (рис. 5.6). Но если мы проведем этот обмен, то y будет вершиной, общей для путей C_{ij} и C_{il} , что является противоречием. Это противоречие и доказывает нашу теорему. ■

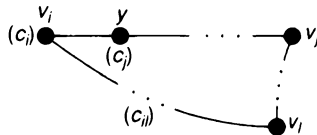


Рис. 5.6

Обе эти теоремы полезны, если все степени вершин приблизительно одинаковы. Например, по теореме 5.1 каждый кубический граф является 4-раскрашиваемым, а по теореме 5.2 каждый связный кубический граф, кроме K_4 , является 3-раскрашиваемым. С другой стороны, если граф имеет несколько вершин большой степени, то эти теоремы говорят нам очень мало. Это хорошо иллюстрируется графом $K_{1,s}$; теорема Брукса говорит нам, что он s -раскрашиваемый, но на самом деле он 2-раскрашиваемый для любых значений s . Не существует эффективного способа избежать этой ситуации, хотя есть методы, которые могут немного помочь.

Раскраска планарных графов

Эта довольно удручающая ситуация не возникает, если ограничиться планарными графами. Фактически можно легко доказать довольно сильный результат: каждый простой планарный граф является 6-раскрашиваемым.

Теорема 5.3. Каждый простой планарный граф является 6-раскрашиваемым.

Доказательство. Действуем так же, как и при доказательстве теоремы 5.1, — доказывая теорему по индукции по числу вершин. Для планарных графов, имеющих меньше семи вершин, результат тривиален.

Предположим, что G — простой планарный граф с n вершинами и что все простые планарные графы с $n - 1$ вершинами 6-раскрашиваемы. По теореме 4.10 G содержит вершину v , степень которой не больше 5. Удаляя вершину v вместе с инцидентными ей ребрами, приходим к графу с $n - 1$ вершинами, который является 6-раскрашиваемым (рис. 5.7). Тогда 6-раскраска для G получится, если окрасить вершину v цветом, отличным от тех, которыми окрашены смежные с ней вершины (которых не более пяти). ■

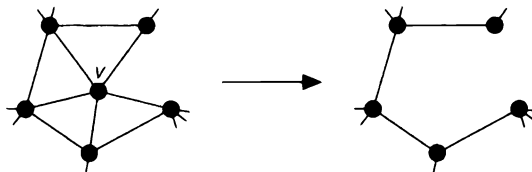


Рис. 5.7

Как и теорема 5.1, этот результат может быть усилен при более тщательном рассмотрении. Результат называется **теоремой о пяти цветах**.

Теорема 5.4. Каждый простой планарный граф является 5-раскраси-
ваемым.

Доказательство. Это доказательство аналогично примененному при дока-
зательстве теоремы 5.3, хотя детали здесь несколько сложнее. Проведем ин-
дукцию по числу вершин; для планарных графов, имеющих меньше шести
вершин, результат очевиден. Предположим, что G — простой планарный граф
с n вершинами и что все планарные графы с $n - 1$ вершинами 5-раскрасивае-
мы. По теореме 4.10 он содержит вершину v , степень которой не больше 5. Как
и ранее, удаление вершины v и всех инцидентных ей ребер приводит нас к гра-
фу с $n - 1$ вершинами, который, таким образом, является 5-раскрасиваемым.
Наша задача состоит в том, чтобы окрасить v в один из пяти цветов и завер-
шить тем самым 5-раскрасивание графа G .

Если $\deg(v) < 5$, то v можно раскрасить любым цветом, не участвующим в
раскраске вершин, смежных с v , что в этом случае завершает доказательство.
Таким образом, мы предполагаем, что $\deg(v) = 5$ и что вершины v_1, v_2, v_3, v_4, v_5 ,
смежные с v , расположены вокруг v по часовой стрелке, как на рис. 5.8. Если
все эти вершины v_i взаимно смежны, то G содержит в качестве подграфа не-
планарный граф K_5 , что невозможно. Таким образом, по крайней мере две из
них (скажем, v_1 и v_3) не являются смежными.

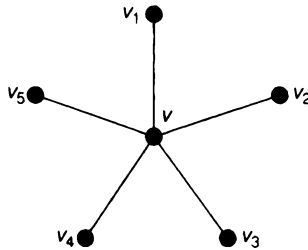


Рис. 5.8

Теперь мы стянем два ребра — vv_1 и vv_3 . Результирующий граф представ-
ляет собой планарный граф с менее чем n вершинами, а следовательно, является
5-раскрасиваемым. Теперь мы восстанавливаем два ребра, давая вершинам v_1
и v_3 цвет, изначально присвоенный v . Тогда 5-раскраска G получается путем
окрашивания v цветом, отличным от (не более четырех) цветов, назначенных
вершинам v_i . ■

Представляется естественным спросить, нельзя ли дополнительно усилить
этот результат, и этот вопрос приводит к тому, что раньше было одной из са-
мых известных нерешенных проблем математики, — к “проблеме четырех
красок”. Эта задача в своей обычной формулировке для карт (см. разделы 5.3

и 5.4) была впервые поставлена в 1852 году и в конечном итоге решена в 1976 году К. Аппелем (K. Appel) и В. Хакеном (W. Haken).

Теорема 5.5 (Аппель и Хакен, 1976). Каждый простой планарный граф является 4-раскрашиваемым.

Их доказательство, для которого потребовались несколько лет и значительное количество компьютерного времени, в конечном счете зависит от сложного расширения идей из приведенного выше доказательства теоремы о пяти цветах. Мы вернемся к этой теме в разделе 5.4.

Мы завершаем этот раздел простым применением раскраски вершин. Предположим, что химик хочет хранить пять химикатов, a , b , c , d и e , в различных областях склада. Некоторые из этих химикатов при контакте вступают в бурную реакцию, поэтому их следует хранить в разных местах. В следующей таблице звездочкой указаны те пары химикатов, которые необходимо разделить. Сколько областей необходимо?

	a	b	c	d	e
a	—	*	*	*	—
b	*	—	*	*	*
c	*	*	—	*	—
d	*	*	*	—	*
e	—	*	—	*	—

Чтобы ответить на этот вопрос, нарисуем граф, вершины которого соответствуют пяти химическим веществам, в котором две вершины смежны, когда соответствующие химические вещества должны быть разделены (рис. 5.9). Если мы теперь раскрасим вершины так, как показано греческими буквами, то цвета будут соответствовать нужным областям склада. В данном случае хроматическое число равно 4, и поэтому для хранения необходимы четыре области склада. Например, химические вещества a и e могут храниться в области α , а химические вещества b , c и d могут храниться в областях β , γ и δ соответственно.

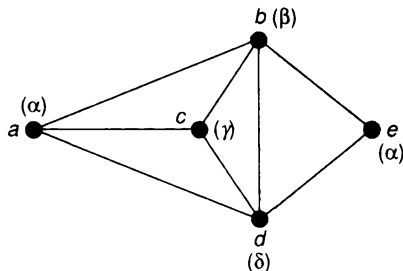


Рис. 5.9

Упражнения

5.1^s Найдите хроматические числа каждого графа на рис. 5.10.

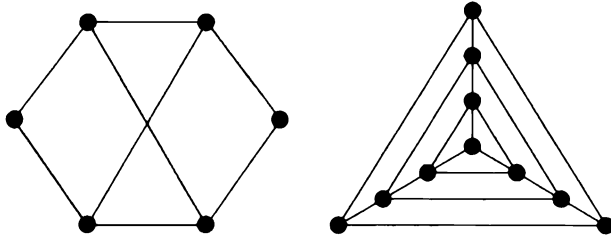


Рис. 5.10

5.2. Найдите хроматические числа каждого графа на рис. 5.11.

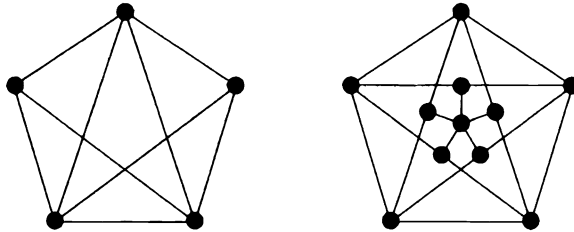


Рис. 5.11

5.3^s Найдите в таблице на рис. 1.9 2-, 3- и 4-хроматические графы.

5.4. Чему равно хроматическое число

- 1) каждого из платоновых графов;
- 2) полного трехдольного графа $K_{r,s,t}$;
- 3) k -куба Q_k ?

5.5^s Сравните верхнюю границу хроматического числа, получаемую с помощью теоремы Брука, с точным значением для 1) графа Петерсена; 2) k -куба Q_k .

5.6. Требуется составить расписание лекций продолжительностью один час. Поскольку некоторые студенты хотят посетить несколько лекций, некоторые лекции не должны совпадать по времени, как показано звездочками в следующей таблице. Сколько часов требуется для того, чтобы были прочитаны все семь лекций?

	a	b	c	d	e	f	g
a	—	*	*	*	—	—	*
b	*	—	*	*	*	—	*

	<i>a</i>	<i>b</i>	<i>c</i>	<i>d</i>	<i>e</i>	<i>f</i>	<i>g</i>
<i>c</i>	*	*	—	*	—	*	—
<i>d</i>	*	*	*	—	—	*	—
<i>e</i>	—	*	—	—	—	—	—
<i>f</i>	—	—	*	*	—	—	*
<i>g</i>	*	*	—	—	—	*	—

5.7^s Пусть G — простой регулярный степени d граф с n вершинами. Рассматривая количество вершин, которым можно присвоить один и тот же цвет, докажите, что

$$\chi(G) \geq n/(n-d).$$

5.8. Пусть G — простой плоский граф, не содержащий треугольников.

- 1) Используя формулу Эйлера, покажите, что G содержит вершину степени не более 3.
- 2) Используйте индукцию, чтобы сделать вывод, что G — 4-раскрашиваемый граф. (На самом деле можно доказать, что G — 3-раскрашиваемый граф.)

5.2. Хроматические полиномы

В этом разделе мы продолжим изучение раскраски вершин, связывая с каждым графом функцию, которая, среди прочего, сообщает нам, является ли граф 4-раскрашиваемым. Исследуя эту функцию, мы можем надеяться получить полезную информацию о теореме о четырех красках. Без потери общности мы ограничиваем наше внимание простыми графами.

Пусть G — простой граф и пусть $P_G(k)$ — количество способов раскраски вершин G с помощью k цветов так, чтобы никакие две смежные вершины не имели одинаковый цвет. P_G называется (на данный момент) **хроматической функцией** (chromatic function) G . Например, если G — дерево, показанное на рис. 5.12, то $P_G(k) = k(k-1)^2$, поскольку средняя вершина может быть окрашена k способами, а затем каждая конечная вершина может быть окрашена любым из $k-1$ способов. Этот результат можно расширить и показать, что если G — любое дерево с n вершинами, то $P_G(k) = k(k-1)^{n-1}$. Аналогично, если G — полный граф K_3 на рис. 5.13, то $P_G(k) = k(k-1)(k-2)$. Эту формулу можно расширить до $P_G(k) = k(k-1)(k-2)\dots(k-n+1)$ для графа G , представляющего собой полный граф K_n .

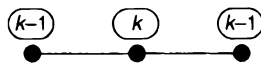


Рис. 5.12

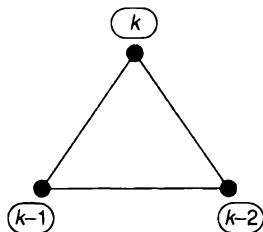


Рис. 5.13

Ясно, что $P_G(k) = 0$, если $k < \chi(G)$, и $P_G(k) > 0$, если $k \geq \chi(G)$. Обратите также внимание, что теорема о четырех красках эквивалентна утверждению

если G — простой планарный граф, то $P_G(4) > 0$.

Если нам дан произвольный простой граф, обычно трудно получить его хроматическую функцию чисто умозрительным путем. Следующая теорема и следствие дают нам систематический метод получения хроматической функции простого графа в терминах хроматических функций нулевых графов.

Теорема 5.6. Пусть G — простой граф и пусть $G-e$ и $G \setminus e$ — графы, получаемые из G путем удаления и сжатия ребра e . Тогда

$$P_G(k) = P_{G-e}(k) - P_{G \setminus e}(k).$$

Например, пусть G — граф, показанный на рис. 5.14. Соответствующие графы $G-e$ и $G \setminus e$ показаны на рис. 5.15, и теорема гласит, что

$$k(k-1)(k-2)(k-3) = \{k(k-1)(k-2)^2\} - \{k(k-1)(k-2)\}.$$

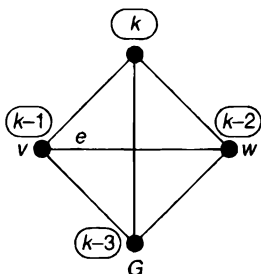


Рис. 5.14

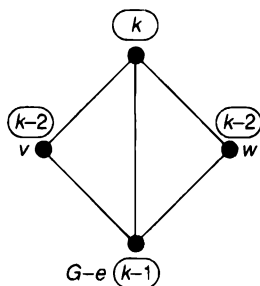
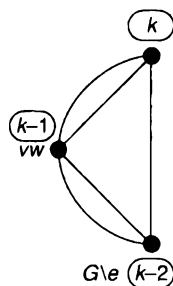


Рис. 5.15



Доказательство. Пусть $e = vw$. Число k -раскрасок $G-e$, в которых v и w раскрашены в *разные* цвета, не изменяется, если нарисовано ребро e , соединяющее v и w , и, следовательно, равно $P_{G-e}(k)$. Аналогично число k -раскрасок $G-e$, в

которых v и w имеют *одинаковый* цвет, не изменяется, если v и w отождествлены, и, следовательно, равно $P_{G \setminus e}(k)$. Таким образом, общее количество $P_G(k)$ k -раскрасок графа $G - e$ равно сумме $P_G(k) + P_{G \setminus e}(k)$, что и требовалось доказать. ■

Используя этот результат, мы можем доказать, что хроматическая функция любого простого графа является полиномом.

Следствие 5.7. Хроматическая функция простого графа является полиномом.

Доказательство. Продолжим описанную выше процедуру, выбирая ребро в $G - e$ и ребро в $G \setminus e$, а затем удаляя и сжимая их. Затем мы повторим процедуру для четырех полученных новых графов и т.д. Процесс завершится, когда ребер не останется, — другими словами, когда каждый оставшийся граф будет нулевым. Поскольку хроматическая функция нулевого графа является полиномом ($= k^r$, где r — число вершин), из многократного применения теоремы 5.6 следует, что хроматическая функция графа G должна быть суммой полиномов, а потому должна быть полиномом. ■

Рабочий пример, иллюстрирующий эту процедуру, приведен ниже в тексте раздела. На практике нам не нужно сводить каждый граф к нулевому. Достаточно свести каждый граф к графам, хроматические полиномы которых мы уже знаем, таким, как деревья.

В свете следствия 5.7 мы можем называть $P_G(k)$ **хроматическим полиномом** графа G . Заметьте из вышеприведенного доказательства, что если G имеет n вершин, то $P_G(k)$ имеет степень n , поскольку новые вершины не вводятся ни на каком этапе. Поскольку построение дает только один нулевой граф с n вершинами, коэффициент при k^n равен 1. Можно также доказать по индукции (см. упражнение 5.15), что знаки коэффициентов чередуются и что коэффициент при k^{n-1} равен $-m$, где m — число ребер в G . Поскольку мы не можем раскрасить граф, если доступных цветов нет, постоянный член любого хроматического полинома равен 0.

Теперь приведем пример, иллюстрирующий вышеприведенные идеи. Используем теорему 5.6, чтобы найти хроматический полином графа G на рис. 5.16, а затем убедимся, что этот полином имеет вид

$$k^5 - 7k^4 + ak^3 - bk^2 + ck,$$

где a , b и c — положительные константы, как предсказывалось в предыдущем абзаце. На каждом этапе удобно рисовать сам граф, а не записывать его хроматический полином. Например, вместо того чтобы писать $P_G(k) = P_{G-e}(k) - P_{G \setminus e}(k)$, где G , $G - e$ и $G \setminus e$ — графы на рис. 5.14 и 5.15, мы записываем “уравнение” так, как показано на рис. 5.17.

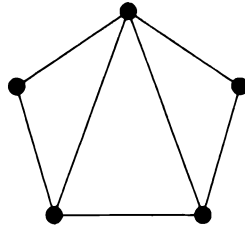


Рис. 5.16

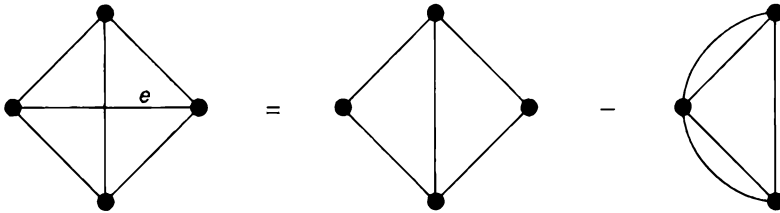
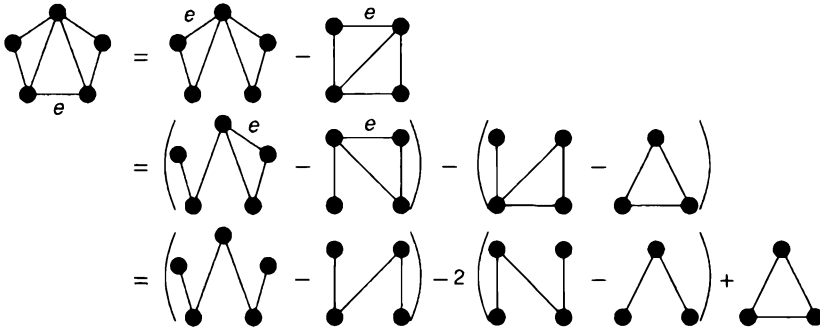


Рис. 5.17

При таком соглашении, и игнорируя несколько ребер по мере работы, мы получим



Таким образом,

$$\begin{aligned}
 P_G(k) &= k(k-1)^4 - 3k(k-1)^3 + 2k(k-1)^2 + k(k-1)(k-2) = \\
 &= k^5 - 7k^4 + 18k^3 - 20k^2 + 8k.
 \end{aligned}$$

Обратите внимание, что результат имеет предсказанный вид $k^5 - 7k^4 + ak^3 - bk^2 + ck$, где a , b и c — положительные константы.

Мы завершаем этот раздел, вспоминая из упражнения 5.6, как раскраска вершин может применяться к задачам составления расписаний. Предположим, мы хотим определить время, когда должны быть прочитаны определенные лекции. Некоторые пары лекций не могут быть прочитаны одновременно, так как могут быть студенты, желающие посетить их обе. Чтобы составить расписание, мы

строим граф, вершины которого соответствуют лекциям, а ребра объединяют те пары лекций, которые не могут быть прочитаны одновременно. Если с каждым временем, доступным для чтения лекции, мы связываем цвет, то раскраска вершин соответствует расписанию лекций. Хроматическое число графа говорит нам о количестве необходимых часов лекций, а хроматический полином — сколько существует способов составления расписания лекций.

Упражнения

5.9^с. Запишите хроматические полиномы для

- 1) полного графа K_6 ;
- 2) полного двудольного графа $K_{1,5}$.

Сколькими способами эти графы могут быть раскрашены семью красками?

5.10. Запишите хроматические полиномы для

- 1) полного графа K_7 ;
- 2) полного двудольного графа $K_{1,6}$.

Сколькими способами эти графы могут быть раскрашены десятью красками?

5.11. 1) Найдите хроматические полиномы шести связных простых графов с четырьмя вершинами.

2) Проверьте, что каждый из полиномов в п. 1 упражнения имеет вид

$$k^4 - mk^3 + ak^2 - bk,$$

где m — число ребер, а a и b представляют собой положительные константы.

5.12^с. Найдите хроматические полиномы

- 1) полного двудольного графа $K_{2,5}$;
- 2) циклического графа C_5 .

5.13. 1) Докажите, что хроматический полином $K_{2,n}$ имеет вид

$$k(k-1)^n + k(k-1)(k-2)^n.$$

2) Докажите, что хроматический полином C_n имеет вид

$$(k-1)^n + (-1)^n(k-1).$$

5.14. Докажите, что если G — простой несвязный граф, то его хроматический полином $P_G(k)$ равен произведению хроматических полиномов его компонент. Что вы можете сказать о степени наименьшего неисчезающего члена?

5.15. Пусть G — простой граф с n вершинами и m ребрами. Используйте индукцию по m вместе с теоремой 5.6, чтобы доказать, что

- 1) коэффициент при k^{n-1} равен $-m$;
- 2) знаки коэффициентов $P_G(k)$ чередуются.

5.16^s: 1) Используйте результаты упражнений 5.14 и 5.15 для доказательства того, что если

$$P_G(k) = k(k-1)^n,$$

то G представляет собой дерево с n вершинами.

2) Найдите три графа с хроматическим полиномом

$$k^5 - 4k^4 + 6k^3 - 4k^2 + k.$$

5.3. Раскраска карт

Исторически проблема четырех красок возникла в связи с раскраской карт. Для данной карты с несколькими странами встает вопрос о минимальном необходимом количестве цветов для ее окраски так, чтобы две страны с общей границей были на карте разного цвета; например, на рис. 5.18 показана карта, раскрашенная в четыре цвета. Хотя может показаться, что чем сложнее карта, тем больше цветов необходимо для ее раскраски, но это не так. Фактически

любая карта может быть раскрашена с помощью четырех красок.

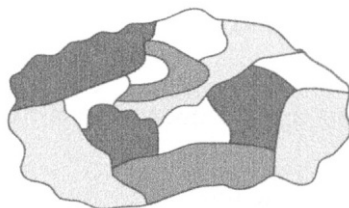


Рис. 5.18

Чтобы сделать это утверждение точным, следует объяснить, что мы подразумеваем под “картой”. Так как два цвета с двух сторон ребра должны быть разными, мы должны исключить карты, содержащие мосты (рис. 5.19). Мы также можем исключить вершины степени 2, поскольку они могут быть легко устранены (рис. 5.20). Чтобы охватить эти и подобные случаи, мы определяем **карту** как трехсвязный плоский граф; таким образом, карта не содержит разрывов с одним или двумя ребрами и, в частности, не содержит вершин степени 1 или 2. Как мы увидим, эти исключения соответствуют нашему исключению петель и кратных ребер в разделе 5.1.

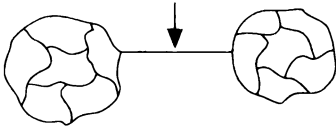


Рис. 5.19

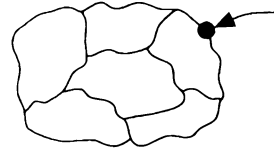


Рис. 5.20

Теперь мы определим карту как k -раскрашиваемую-(f), если ее грани можно раскрасить с помощью k цветов так, чтобы никакие две грани с общим ребром не имели одинакового цвета. Чтобы избежать путаницы, мы используем термин k -раскрашиваемость-(v) для обозначения k -раскрашиваемости в обычном смысле. Например, карта на рис. 5.21 является 3-раскрашиваемой-(f) и 4-раскрашиваемой-(v). Теорема о четырех красках, таким образом, является утверждением, что каждая карта является 4-раскрашиваемой-(f).

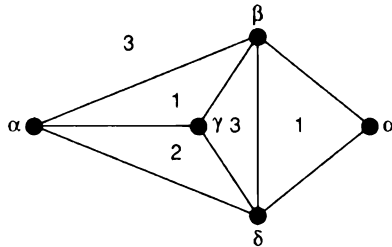


Рис. 5.21

В следствии 5.10 мы докажем эквивалентность двух форм теоремы о четырех красках. Но сначала мы исследуем условие, при котором карта может быть окрашена двумя цветами. Это условие имеет особенно простой вид.

Теорема 5.8. Карта G является 2-раскрашиваемой-(f) тогда и только тогда, когда G представляет собой эйлеров граф.

Первое доказательство. \Rightarrow Для каждой вершины v карты G количество граней, окружающих v , должно быть четным, так как они могут быть окрашены в два цвета. Отсюда следует, что каждая вершина имеет четную степень, а следовательно, по теореме 2.9, G — эйлеров граф.

\Leftarrow Если G — эйлеров граф, мы окрашиваем его грани в два цвета следующим образом. Выберем любую грань F и окрасим ее красным цветом. Проведем кривую от точки x в F до точки в каждой другой грани, не проходящую через вершины G . Если такая кривая пересекает четное число ребер, цвет грани — красный; в противном случае она закрашивается синим цветом (рис. 5.22).

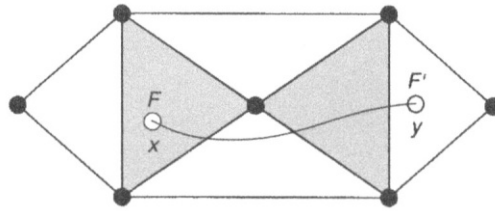


Рис. 5.22

Эта раскраска точно определена, как мы можем увидеть, взяв “цикл” из двух таких кривых и доказав, что он пересекает четное число ребер G (используя тот факт, что каждая вершина имеет четное число инцидентных ей ребер). ■

Более простое доказательство теоремы 5.8 включает перевод ситуации в одну из раскрасок вершин дуального графа. Сначала мы обосновываем эту процедуру, а затем иллюстрируем ее, приводя альтернативное доказательство теоремы 5.8 и доказывая эквивалентность двух форм теоремы о четырех красках.

Теорема 5.9. Пусть G — плоский граф без петель и пусть граф G^* — геометрически дуальный графу G . В таком случае граф G является k -раскрашиваемым-(v) тогда и только тогда, когда G^* является k -раскрашиваемым-(f).

Доказательство. \Rightarrow Можно считать, что G — простой и связный, так что G^* является картой. Если у нас есть k -раскраска вершин G , то мы можем k -раскрасить грани G^* так, чтобы каждая грань наследовала цвет единственной вершины, которую она содержит (рис. 5.23). Никакие две смежные грани из G^* не могут иметь одинаковый цвет, поскольку содержащиеся в них вершины G являются смежными в G и поэтому должны иметь разный цвет. Таким образом, G^* является k -раскрашиваемым-(f).

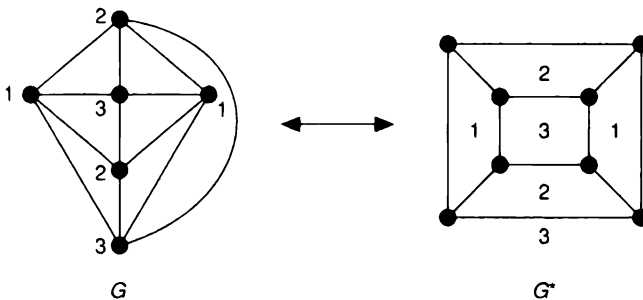


Рис. 5.23

\Leftarrow Предположим теперь, что у нас есть k -раскраска граней G^* . Тогда мы можем k -раскрасить вершины G так, чтобы каждая вершина наследовала цвет

грани, содержащей ее. Рассуждая так же, как и ранее, получаем, что никакие две смежные вершины G не имеют одинакового цвета. Таким образом, G является k -раскрашиваемым-(v).

Отсюда следует, что мы можем дуализировать любую теорему о раскраске вершин планарного графа и получить теорему о раскраске граней карты, и наоборот. В качестве примера рассмотрим теорему 5.8 еще раз.

Теорема 5.8. Карта G является 2-раскрашиваемой-(f) тогда и только тогда, когда G представляет собой эйлеров граф.

Второе доказательство. Согласно результату упражнения 4.31 дуальным для эйлерова планарного графа является двудольный планарный граф, и наоборот. Поэтому достаточно заметить, что связный планарный граф без петель является 2-раскрашиваемым-(v) тогда и только тогда, когда он является двудольным.

Аналогичным образом можно доказать эквивалентность двух форм теоремы о четырех красках.

Следствие 5.10. Теорема о четырех красках для карт эквивалентна теореме о четырех красках для планарных графов.

Доказательство. \Rightarrow Можно считать, что G — простой связный плоский граф. Тогда геометрически дуальный к нему граф G^* представляет собой карту, по условию являющуюся 4-раскрашиваемой-(f). Из теоремы 5.9 немедленно следует, что граф G 4-раскрашиваемый-(v).

\Leftarrow И наоборот, пусть G — карта, а G^* — геометрически дуальный ей граф. Тогда G^* представляет собой простой планарный граф, по условию являющийся 4-раскрашиваемым-(v). Из теоремы 5.9 немедленно следует, что граф G 4-раскрашиваемый-(f).

Дуальность может быть также использована для доказательства следующей теоремы.

Теорема 5.11. Пусть G — кубическая карта. Тогда G является 3-раскрашиваемой-(f) тогда и только тогда, когда каждая ее грань ограничена четным количеством ребер.

Доказательство. \Rightarrow Для любой грани F графа G грани G , которые окружают F , должны чередоваться по цвету. Таким образом, их должно быть четное число, и поэтому каждая грань ограничена четным количеством ребер (рис. 5.24).

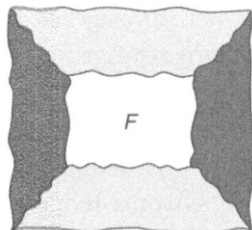


Рис. 5.24

\Leftarrow Докажем дуальный результат: если G — простой связный плоский граф, в котором каждая грань является треугольником, а каждая вершина имеет четную степень (т.е. G — эйлеров граф), то G является 3-раскрашиваемым-(v). Обозначим три цвета буквами α , β и γ .

Поскольку G — эйлеров граф, из теоремы 5.8 следует, что его грани могут быть окрашены в два цвета, красный и синий. Требуемая 3-раскраска вершин G получается путем такого раскрашивания вершин любой красной грани, чтобы цвета α , β и γ появлялись в порядке по часовой стрелке, а вершин любой синей грани так, чтобы эти цвета появлялись в порядке против часовой стрелки (рис. 5.25). Такая раскраска вершин может быть распространена на весь граф, что и доказывает нашу теорему. ■

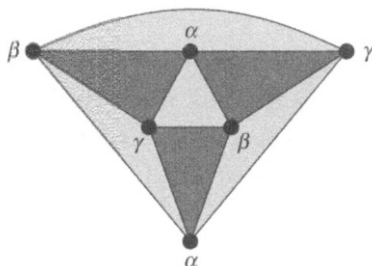


Рис. 5.25

В приведенной выше теореме мы предположили, что карта является кубом. Как показывает следующая теорема, это не должно быть серьезным ограничением.

Теорема 5.12. Чтобы доказать теорему о четырех красках, достаточно доказать, что каждая кубическая карта является 4-раскрашиваемой-(f).

Доказательство. Согласно следствию 5.10 достаточно доказать, что 4-раскрашиваемость граней любой кубической карты влечет 4-раскрашиваемость граней любой карты.

Пусть G — произвольная карта. Если у G есть вершины степени 2, то мы можем удалить их, не влияя на раскраску. Осталось только устранить вершины степени 4 и более. Но если v — такая вершина, то мы можем прикрепить над ней “заплатку”, как показано на рис. 5.26. Повторяя это действие для всех таких вершин, мы получаем кубическую карту, которая является 4-раскрашиваемой (f) в соответствии с предположением. Требуемая 4-раскраска граней графа G получается путем сжатия каждой заплатки до одной вершины и восстановления каждой вершины степени 2. ■

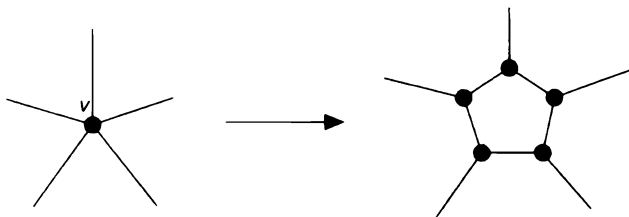


Рис. 5.26

Упражнения

5.17^s: Сколько цветов необходимо для раскраски стран на картах на рис. 5.27?

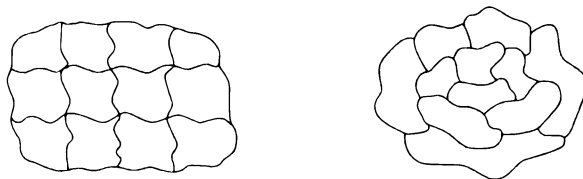


Рис. 5.27

5.18. Сколько цветов необходимо для раскраски стран на картах на рис. 5.28?

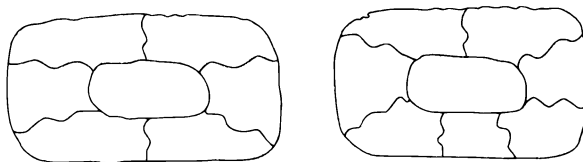


Рис. 5.28

5.19. Рассмотрим карту на рис. 5.29, на которой страны раскрашены в красный, синий, зеленый и желтый цвета.

1) Покажите, что страна A должна быть окрашена в красный цвет.

2) Каким цветом должна быть окрашена страна B ?



Рис. 5.29

- 5.20^s. Найдите минимальное количество цветов, необходимое для раскраски граней каждого из платоновых графов, так, чтобы смежные грани были окрашены в разные цвета.
- 5.21^s. Приведите пример плоского графа, который является одновременно 2-раскрашиваемым-(f) и 2-раскрашиваемым-(v).
- 5.22. Плоскость делится на конечное число областей путем рисования бесконечных прямых линий произвольным образом. Покажите, что эти области являются 2-раскрашиваемыми.
- 5.23^s. Дуализируя доказательство теоремы 5.3, докажите для карт теорему о шести цветах.
- 5.24. Пусть G — простой плоский граф с менее чем 12 гранями и пусть каждая вершина G имеет степень не менее 3.
- 1) Используйте упражнение 4.17, чтобы доказать, что граф G является 4-раскрашиваемым-(v).
 - 2) Дуализируйте результат п. 1 данного упражнения.

5.4. Теорема о четырех красках

Проблема четырех красок была впервые поставлена в 1852 году лондонским студентом Фрэнсисом Гатри (Francis Guthrie), который сформулировал ее, раскрашивая карту графств Англии. Проблема оставалась нерешенной в течение нескольких лет до 1879 года, когда лондонский адвокат Альфред Кемпе (Alfred Kempe) представил “доказательство”, которое считалось правильным в течение десяти лет. Однако в 1890 году Перси Хивуд (Percy Heawood) из Дарема указал на ошибку Кемпе, но при этом спас из доказательства Кемпе аргументацию, достаточную для вывода теоремы о пяти красках, и обобщил задачу для других поверхностей. Только в 1976 году Кеннет Appel (Kenneth Appel) и Вольфганг Хакен (Wolfgang Haken) из Иллинойского университета доказали теорему о четырех красках. Подробности доказательства можно найти в [46].

Хотя доказательство Кемпе было ошибочным, оно содержало две важнейшие идеи, сработавшие в окончательном доказательстве: **неизбежное множество конфигураций** (unavoidable set of configurations) и **сводимая конфигурация** (reducible configuration).

Неизбежное множество

Из упражнения 4.18.3 мы знаем, что *каждая* кубическая карта должна содержать хотя бы одну грань, ограниченную тремя, четырьмя или пятью сторонами (рис. 5.30), т.е. треугольник, четырехугольник или пятиугольник. Мы называем такой набор граней **неизбежным множеством конфигураций**, потому что его нельзя избежать.

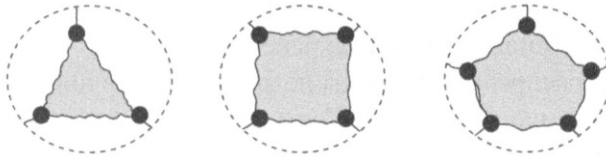


Рис. 5.30

Другое неизбежное множество, показанное на рис. 5.31, было получено Паулем Вернике (Paul Wernicke) в 1904 году. Он показал, что каждая карта, которая не содержит треугольника или четырехугольника, должна содержать либо два соседних пятиугольника, либо пятиугольник, смежный с шестиугольником.

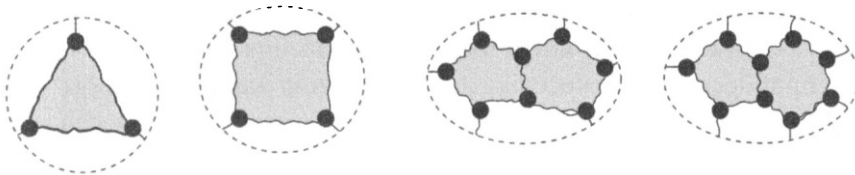


Рис. 5.31

Теорема 5.13. Конфигурации на рис. 5.31 образуют неизбежное множество.

Доказательство. Мы предполагаем, что существует кубическая карта, которая не содержит ни одной из этих конфигураций, и хотим получить противоречие. Поскольку ни один пятиугольник не может быть смежным с треугольником или четырехугольником (потому что их нет ни одного), или с другим пятиугольником или шестиугольником, каждый пятиугольник может быть смежным только с гранями, ограниченными не менее семью ребрами.

Теперь мы назначаем каждой грани число, которое мы можем рассматривать как “электрический заряд”: каждой грани с k граничными ребрами мы назначаем заряд $b-k$, так что каждый пятиугольник получает заряд 1, каждый шестиугольник получает нулевой заряд, а все остальные грани получают отрицательный заряд. Обратите внимание, что если на карте имеется C_5 пятиугольников, C_6 шестиугольников, C_7 семиугольников и так далее, то общий заряд карты равен

$$(1 \times C_5) + (0 \times C_6) + (-1 \times C_7) + (-2 \times C_8) + \dots$$

Однако в соответствии с результатом упражнения 4.18.1 при условии $C_3 = C_4 = 0$ имеем

$$C_5 - C_7 - 2C_8 - 3C_9 - \dots = 12.$$

Таким образом, общий заряд карты равен 12.

Теперь мы перераспределим заряды по карте таким образом, чтобы ни один заряд не был создан или уничтожен. Для этого мы переводим *одну пятую* единицы заряда от каждого пятиугольника каждому из его пяти отрицательно заряженных соседей: напомним, что каждый такой сосед ограничен семью или более ребрами. Тогда общий заряд на карте остается равным 12, но каждый пятиугольник теперь имеет нулевой заряд, а каждый шестиугольник сохраняет нулевой заряд.

Обратите внимание, что если бы семиугольник (с начальным зарядом -1) получил достаточное количество зарядов $1/5$, чтобы в результате иметь положительный заряд, то таких соседних пятиугольников должно быть по крайней мере шесть; но тогда два из этих пятиугольников должны быть смежными, что запрещено. Таким образом, после перераспределения ни один семиугольник не может приобрести положительный заряд. Точно так же, если бы восьмиугольник (с начальным зарядом -2) получил достаточное количество зарядов $1/5$, чтобы приобрести положительный заряд, то соседних пятиугольников было бы как минимум одиннадцать, что невозможно. Таким образом, после перераспределения зарядов ни один восьмиугольник не сможет приобрести положительный заряд; аналогично это не может сделать ни один девятиугольник, десятиугольник и т.д.

Итак, после перераспределения ни одна грань не может иметь положительного заряда, что противоречит нашему утверждению о том, что общий заряд карты равен 12. Это противоречие доказывает, что каждая кубическая карта должна содержать треугольник, квадрат, два соседних пятиугольника или пятиугольник, примыкающий к шестиугольнику, — а потому эти четыре конфигурации образуют неизбежное множество. ■

Сводимые конфигурации

Если бы теорема о четырех цветах была ложной, то существовали бы кубические карты, требующие пять или более цветов, и из них хотя бы одна была с минимальным количеством граней. Такая карта M (иногда называемая *минимальным контрпримером*) требовала бы для раскраски не менее пяти цветов, в то время как любая карта с меньшим количеством граней, чем у M , могла бы быть раскрашенной четырьмя цветами.

Заметим, что такая карта M не может содержать треугольник T . Если бы это было возможно, мы могли бы удалить граничное ребро из T и объединить T с одним из его бывших соседей (рис. 5.32²), давая карту с меньшим количеством граней. По нашему предположению, эта новая карта может быть раскрашена с помощью четырех красок.

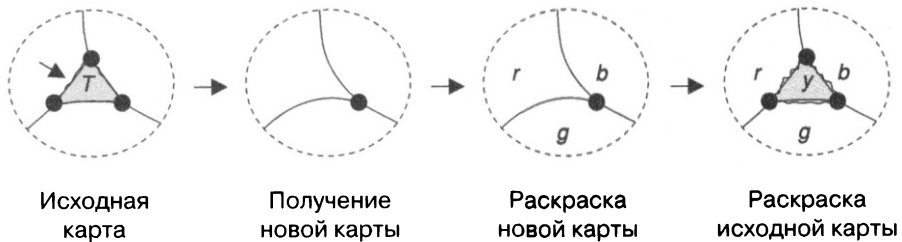


Рис. 5.32

Теперь мы восстановим T , заменив удаленное ребро. Поскольку страны, смежные с T , используют только три из четырех доступных цветов, для T должен иметься запасной цвет. Таким образом, мы можем закрасить M четырьмя цветами, что противоречит нашему предположению. Это показывает, что M не может содержать треугольник.

Далее аналогичным образом покажем, что M не может содержать четырехугольник Q . Если бы это было так, мы могли бы удалить граничное ребро и объединить Q с одним из его бывших соседей (рис. 5.33), получая карту с меньшим количеством граней. По нашему предположению, мы можем раскрасить эту новую карту четырьмя цветами.

² Здесь и далее цвета обозначаются латинскими буквами: r — красный (red), y — желтый (yellow), g — зеленый (green), b — синий (blue). — *Примеч. пер.*

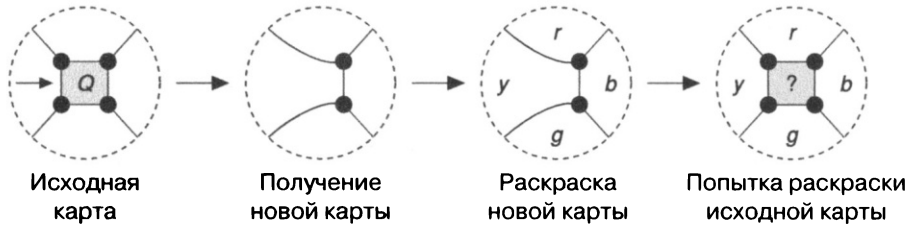


Рис. 5.33

Теперь восстановим Q , заменив удаленную линию. Но в этом случае страны рядом с Q могут использовать все четыре цвета, а потому запасной цвет для раскраски Q недоступен. Таким образом, как прежде, доказательство продолжаться не может.

Чтобы преодолеть эту трудность, Кемпе представил метод, который теперь называется **метод цепей Кемпе**. В его методе мы выбираем два цвета, окружающих Q , которые не являются смежными (скажем, красный и зеленый), и учитываем только те грани, которые окрашены этими цветами. Каждая красная или зеленая грань, смежная с Q , является стартовой точкой для красно-зеленой части карты, т.е. части карты, состоящей полностью из стран, окрашенных в красный или зеленый цвет. При этом возникают два случая в зависимости от того, отделены ли две красно-зеленые части одна от другой или связаны (рис. 5.34).

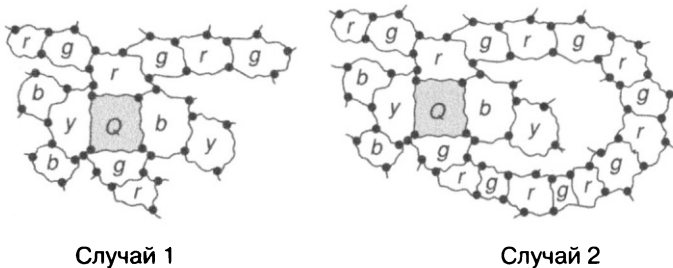


Рис. 5.34

Случай 1. В первом случае красные и зеленые грани над Q , которые могут быть достигнуты из красного соседа Q , не соединяются с красными и зелеными гранями ниже Q , которые могут быть достигнуты от зеленого соседа Q . Поэтому мы можем поменять цвета красных и зеленых граней над Q , как показано на рис. 5.35, не влияя на цвета граней, находящихся ниже Q . Четырехугольник Q тогда окружен только зеленым, синим и желтым цветами, так что Q может быть окрашен в красный цвет. Это завершает раскраску M в первом случае.

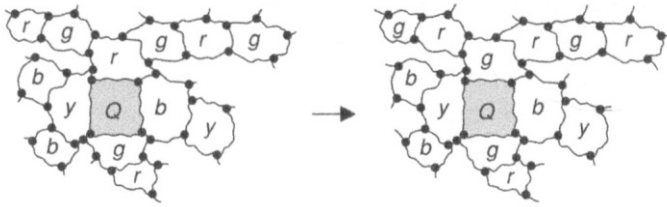


Рис. 5.35

Случай 2. Второй случай, когда красно-зеленая часть над Q соединяется с красно-зеленой частью ниже Q , немного сложнее, так как перестановка красного и зеленого цветов не позволяет ничего достичь: красный сосед Q становится зеленым, зеленый сосед Q становится красным, и мы оказываемся не в лучшем положении, чем раньше.

В этом случае мы обращаем наше внимание на сине-желтые части карты слева и справа от Q . Здесь сине-желтая часть справа от Q отсекается от сине-желтой части слева от Q , потому что дорогу им перекрывает цепочка красных и зеленых стран, как показано на рис. 5.36. Таким образом, можно поменять цвета синих и желтых граней справа от Q , не влияя на окраску граней, находящихся слева от Q . После этого четырехугольник Q окружают только желтый, красный и зеленый цвета, так что Q может быть синего цвета. Это завершает раскраску M во втором случае.

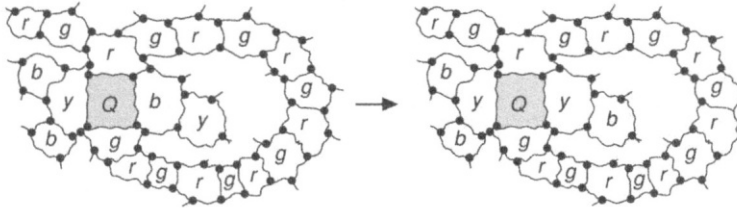


Рис. 5.36

Таким образом, в каждом из случаев мы можем раскрасить M четырьмя красками, что противоречит нашему предположению. Это показывает, что M не может содержать четырехугольник.

Мы говорим, что конфигурация граней **сводима** (reducible), если 4-раскраска всех остальных граней может быть расширена (непосредственно или после смены цветов) для включения данной конфигурации; например, как мы уже видели, треугольник и четырехугольник представляют собой сводимые конфигурации. Обратите внимание, что никакая сводимая конфигурация не может появиться в минимальном контрпримере к теореме о четырех красках.

Еще одной сводимой конфигурацией является расположение четырех пятиугольников на рис. 5.37. Она известна как **алмаз Биркгофа** — по имени американского математика Джорджа Биркгофа (George Birkhoff). Приведенное далее доказательство при желании может быть опущено.

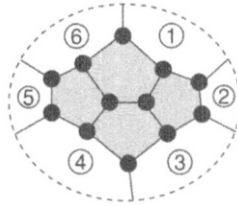


Рис. 5.37

Теорема 5.14. Алмаз Биркгофа является сводимым.

Набросок доказательства. Предположим, что у нас есть кубическая карта M , содержащая алмаз Биркгофа D . Удаление D дает новую карту с меньшим количеством граней. Мы предполагаем, что эта новая карта может быть раскрашена четырьмя цветами, и попытаемся расширить раскраску на пятиугольники в D .

Если грани во внешнем кольце, окружающем D , пронумеровать как 1, 2, 3, 4, 5 и 6, как показано на рис. 5.37, то есть, по существу, 31 различных способ, которыми они могут быть окрашены в четыре цвета: красный, зеленый, синий и желтый. Эти раскраски шести граней следующие (причина появления звездочек описана ниже).

$rgrgrg$	$rgrbrg^*$	$rgrbgy^*$	$rgbrgy$	$rgbryb$	$rgbgbg^*$	$rgbyrg$	$rgbygy^*$
$rggrgb^*$	$rgbrbr$	$rgbrbyg^*$	$rgbrbg^*$	$rgbgrg^*$	$rgbgbg^*$	$rgbyrb$	$rgbybg^*$
$rgrgbg$	$rgbrby$	$rgbrbyb^*$	$rgbrby$	$rgbgrb^*$	$rgbgyg$	$rgbyry^*$	$rgbyby^*$
$rgrgby^*$	$rgrbgb^*$	$rgbrgb$	$rgbryg$	$rgbgry^*$	$rgbgyb$	$rgbygb$	

Обратите внимание, что мы не можем включать такие раскраски, как $rgyghr$, в которых находятся рядом две грани, окрашенные в красный цвет; мы также опустили такие раскраски, как $rggrgy$, поскольку это, по сути, та же раскраска, что и $rgbrgb$ (при замене последнего желтого цвета синим).

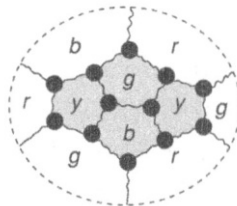


Рис. 5.38

Раскраска $rgrbrb$ не является хорошей окраской, но, используя изменения цветов Кемпе (меняющие местами красный и желтый цвета, а также зеленый и синий), можно преобразовать ее в одну из хороших раскрасок $rgrgrb$, $rgrbrg$ или $rgrbyb$. Например, если есть красно-желтая цепочка, соединяющая страны 3 и 5, то мы можем поменять цвета в сине-зеленой цепочке из страны 4, чтобы перекрасить страну 4 в зеленый. Точно так же, если есть красно-желтая цепь, соединяющая страны 1 и 5, мы можем поменять цвета в сине-зеленой цепочке из страны 6, чтобы перекрасить страну 6 в зеленый. Но если красно-желтой цепочки, соединяющей страны 3 и 5 или 1 и 5, нет, то мы можем поменять цвета в красно-желтой цепочке из страны 5, чтобы перекрасить страну 5 в желтый цвет. (Эти три ситуации показаны на рис. 5.39.) Таким образом, раскраска $rgrbrb$ может быть преобразована в хорошую раскраску.

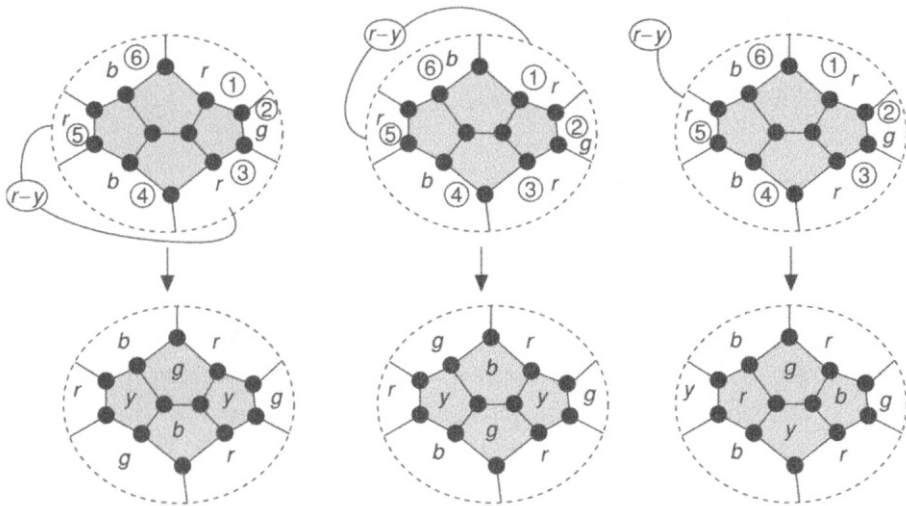


Рис. 5.39

Используя аналогичные рассуждения, можно показать, что каждая из 31 возможной раскраски внешнего кольца либо является хорошей раскраской, либо может быть преобразована в хорошую раскраску с помощью подходящих изменений цвета. Таким образом, все из 31 раскраски кольца могут быть распространены на алмаз, так что алмаз Биркгофа является сводимым. ■

Теперь мы можем заметить, что

для доказательства теоремы о четырех красках достаточно найти неизбежный набор сводимых конфигураций.

Это связано с тем, что каждая карта должна содержать хотя бы одну из этих конфигураций (поскольку множество неизбежно), и какой бы она ни была, любая раскраска остальной части карты может быть расширена для этой конфигурации (поскольку конфигурация сводима). Выражаясь иначе, каждая карта

должна содержать хотя бы одну из этих конфигураций и ни одна из них не может быть в наличии в минимальном контрпримере к теореме о четырех красках. Таким образом, существовать такой контрпример не может, а потому теорема о четырех цветах верна.

В XX веке были открыты тысячи сводимых конфигураций, и ученые в области теории графов потратили много времени, пытаясь объединить их в неизбежное множество, существование которого доказало бы теорему о четырех цветах. В конечном итоге преуспели Аппель и Хакен, подход которых был иным: они начали работу с построения неизбежных множеств конфигураций, которые, вероятно, должны быть сводимыми. Затем они проверили на сводимость каждую из конфигураций, запрограммировав компьютер для проверки всех возможных раскрасок окружающего кольца граней и устраняя конфигурации, оказавшиеся несводимыми. В конечном итоге эта стратегия оказалась успешной и привела к неизбежному набору из 1482 конфигураций, тем самым доказав теорему о четырех красках.

5.5. Раскраска ребер

В этом разделе мы займемся раскраской ребер графа. Как мы увидим, теорема о четырех красках для планарных графов эквивалентна теореме о раскраске ребер кубических карт.

Граф G является k -раскрашиваемым-(е) (или k -реберно-раскрашиваемым), если его ребра могут быть раскрашены k цветами так, чтобы никакие два смежных ребра не были окрашены в одинаковый цвет. Если G является k -раскрашиваемым-(е), но не $(k-1)$ -раскрашиваемым-(е), мы говорим, что **хроматический индекс** G равен k , и записываем это как $\chi'(G) = k$. Например, на рис. 5.40 показан граф G , для которого $\chi'(G) = 4$.

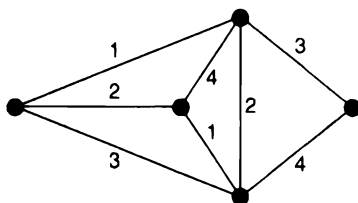


Рис. 5.40

Обратите внимание, что если Δ — наибольшая степень вершины в графе G , то $\chi'(G) \geq \Delta$. Следующий результат, известный как **теорема Визинга** (Vizing), дает очень точную оценку границ для хроматического индекса простого графа G . Ее доказательство можно найти в [16] или [35].

Теорема 5.15 (Визинг, 1964). Если G — простой граф с наибольшей степенью вершины, равной Δ , то

$$\Delta \leq \chi'(G) \leq \Delta + 1.$$

Неизвестно, какие именно графы имеют хроматический индекс Δ , а какие — $\Delta + 1$. Однако результаты для конкретных типов графов найти легко. Например, $\chi'(C_n) = 2$ или 3 в зависимости от того, является ли n четным или нечетным, а $\chi'(W_n) = n - 1$ при $n \geq 4$.

Теперь определим соответствующие результаты для полных графов.

Теорема 5.16. $\chi'(K_n) = n$ для нечетных $n \geq 3$ и $\chi'(K_n) = n - 1$ — для четных n .

Доказательство. Если $n = 2$, результат тривиален. Поэтому мы сразу же предполагаем, что $n \geq 3$.

Если n нечетно, то мы можем выполнить n -раскраску ребер K_n , поместив вершины K_n в виде правильного n -угольника, раскрасив ребра вокруг границы различными цветами для каждого ребра, а затем раскрасив каждое из оставшихся ребер цветом, использованным для граничного ребра, параллельного ему (рис. 5.41). Тот факт, что K_n не является $(n - 1)$ -раскрашиваемым(е), следует из наблюдения, что наибольшее возможное количество ребер одного и того же цвета составляет $(n - 1)/2$, и поэтому K_n имеет не более $\chi'(K_n) \times (n - 1)/2$ реб

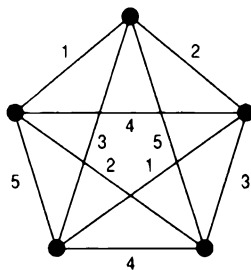


Рис. 5.41

Если n четно, то сначала получим K_n , соединив полный граф K_{n-1} с одной вершиной. Если мы теперь закрасим ребра K_{n-1} , как описано выше, то в каждой вершине будет отсутствовать один цвет, и все эти недостающие цвета будут разными. Мы завершаем раскраску ребер K_n , окрашивая оставшиеся ребра этими недостающими цветами (рис. 5.42). ■

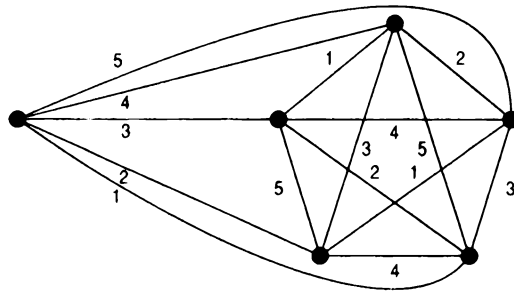


Рис. 5.42

Теперь покажем связь между теоремой о четырех красках и раскраской ребер графа. Эта связь поясняет большую часть интереса к раскраске ребер.

Теорема 5.17. Теорема о четырех красках эквивалентна утверждению, что для каждой кубической карты G выполняется $\chi'(G) = 3$.

Доказательство. \Rightarrow Предположим, что у нас есть 4-раскраска граней G , где цвета обозначены как $\alpha = (1, 0)$, $\beta = (0, 1)$, $\gamma = (1, 1)$ и $\delta = (0, 0)$. Тогда мы можем построить 3-раскраску ребер G , окрашивая каждое ребро e цветом, полученным суммированием (по модулю 2) цветов двух граней, примыкающих к e ; например, если e примыкает к двум граням, окрашенным цветами α и γ , то e окрашивается в цвет β , поскольку $(1, 0) + (1, 1) = (0, 1)$. Обратите внимание, что цвет δ в этой окраске появляться не может, так как две грани, примыкающие к каждому ребру, должны быть различными. Кроме того, никакие два соседних ребра не могут быть одного и того же цвета. Таким образом, мы получаем требуемую раскраску ребер тремя цветами (рис. 5.43).

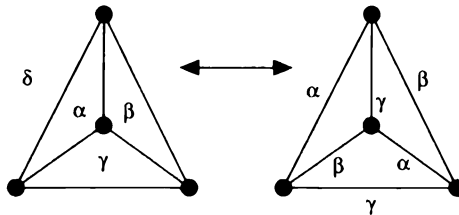


Рис. 5.43

\Leftarrow Предположим теперь, что у нас есть 3-раскраска ребер G . Тогда в каждой вершине есть ребро каждого цвета. Подграф, определяемый ребрами, раскрашенными цветами α и β , является регулярным графом степени 2, и, следовательно, в силу очевидного расширения теоремы 5.8 на несвязные графы, его грани можно раскрасить двумя цветами, 0 и 1. Аналогично можно раскрасить цветами 0 и 1 грани подграфа, определенного ребрами с цветами α и γ . Таким образом,

можно назначить каждой грани G две координаты (x, y) , где каждое из значений x и y равно 0 или 1. Поскольку координаты, назначенные двум соседним граням графа G , должны различаться как минимум в одном месте, эти координаты, $(1, 0)$, $(0, 1)$, $(1, 1)$, $(0, 0)$, дают требуемую 4-раскраску граней графа G . ■

Теорема Кёнига

Завершим этот раздел теоремой Денеша Кёнига (Dénés König) о хроматическом индексе двудольного графа. Метод ее доказательства подобен методу доказательства теоремы Брукса из раздела 5.1 — мы рассмотрим двуцветный подграф $H_{\alpha\beta}$ и обменяем его цвета.

Теорема 5.18 (Кёниг, 1916). Если G — двудольный граф с наибольшей степенью вершины Δ , то $\chi'(G) = \Delta$.

Доказательство. Используем индукцию по числу ребер G и докажем, что если все, кроме одного, из ребер окрашены с помощью не более чем Δ цветов, то имеется Δ -раскраска ребер G .

Итак, предположим, что каждое ребро G было раскрашено, за исключением ребра vw . Тогда в вершине v отсутствует по крайней мере один цвет и по крайней мере один цвет отсутствует в вершине w . Если какой-либо цвет отсутствует и в v , и в w , то мы окрашиваем ребро vw в этот цвет. Если это не так, то пусть α — цвет, отсутствующий в v , а β — цвет, отсутствующий в w , и пусть $H_{\alpha\beta}$ — связный подграф G , состоящий из вершины v и тех ребер и вершин G , которые могут быть достигнуты из v по пути, состоящему полностью из ребер, окрашенных в цвет α или β (рис. 5.44).

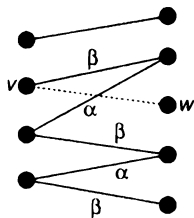


Рис. 5.44

Поскольку граф G является двудольным, подграф $H_{\alpha\beta}$ не может содержать вершину w , так что можно поменять в этом подграфе цвета α и β местами, не затрагивая w или остальные цвета. Ребро vw теперь может быть окрашено цветом β , тем самым завершая раскраску ребер G . ■

Следствие 5.19. $\chi'(K_{r,s}) = \max(r, s)$.

Упражнения

5.25^s Найдите хроматический индекс графа, изображенного на рис. 5.45.

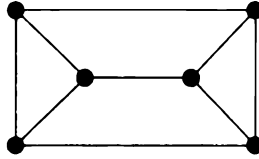


Рис. 5.45

5.26. Найдите хроматический индекс графа, изображенного на рис. 5.46.

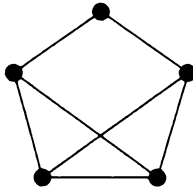


Рис. 5.46

5.27^s Найдите в таблице на рис. 1.9 все графы с хроматическими индексами 2 и 3.

5.28^s Сравните нижнюю и верхнюю границы хроматического индекса, получаемые с помощью теоремы Визинга, с точными значениями для

- 1) циклического графа C_7 ;
- 2) полного графа K_8 ;
- 3) полного двудольного графа $K_{4,6}$.

5.29. Чему равен хроматический индекс каждого из платоновых графов?

5.30^s Указав явную раскраску для ребер $K_{r,s}$, дайте альтернативное доказательство следствия 5.19.

5.31^s Докажите, что если G — кубический гамильтонов граф, то $\chi'(G) = 3$.

5.32. 1) Рассматривая все возможные 3-раскраски внешнего 5-цикла, докажите, что граф Петерсена имеет хроматический индекс, равный 4.

2) Используя п. 1 данного упражнения и упражнение 5.31, сделайте вывод о том, что граф Петерсена — негамильтонов.

Проблемы

- 5.33. Граф G является k -критическим, если удаление любой вершины дает граф с меньшим хроматическим числом.
- 1) Найдите все 2- и 3-критические графы.
 - 2) Приведите пример 4-критического графа.
 - 3) Докажите, что если G является k -критическим, то а) каждая вершина G имеет степень не ниже $k - 1$ и б) G не имеет разрезающих вершин.
- 5.34. Обобщите результаты упражнения 5.8 для случаев, когда
- 1) G имеет обхват r ;
 - 2) G имеет толщину t .
- 5.35. Попробуйте доказать теорему о четырех красках, адаптировав доказательство теоремы о пяти красках из раздела 5.1. В какой момент доказательство перестает работать?
- 5.36. Пусть G — счетный граф, каждый конечный подграф которого является k -раскрашиваемым.
- 1) Используйте лемму Кёнига (теорема 2.7), чтобы доказать, что G является k -раскрашиваемым графом.
 - 2) Выведите, что каждый счетный планарный граф является 4-раскрашиваемым.
- 5.37. 1) Пусть G — простой граф, не являющийся нулевым. Докажите, что $\chi'(G) = \chi(L(G))$, где $L(G)$ — реберный граф G .
- 2) Объединив п. 1 упражнения с теоремой Брукса, докажите теорему Визинга в случае $\Delta = 3$.
- 5.38. Дуализируя доказательство теоремы 5.4, докажите теорему о пяти красках для карт.
- 5.39. 1) Докажите, что если тороидальный граф вложен в поверхность тора, то его грани могут быть раскрашены семью цветами.
- 2) Найдите тороидальный граф, грани которого не могут быть раскрашены шестью цветами.
- 5.40. На карте на рис. 5.47 показаны 16 стран, пронумерованных от 0 до 15. Каждая страна, отличная от 0, окрашена в красный, синий, зеленый или желтый цвет.
- 1) Запишите номера стран в сине-зеленой и сине-желтой частях карты, соседних со страной 0, и объясните, почему обмен цветов только в одной из этих частей не дает 4-раскраски карты.

2) Обменивая цвета стран 1 и 2 и перекрашивая страны 3 и 5, найдите 4-раскраску данной карты.

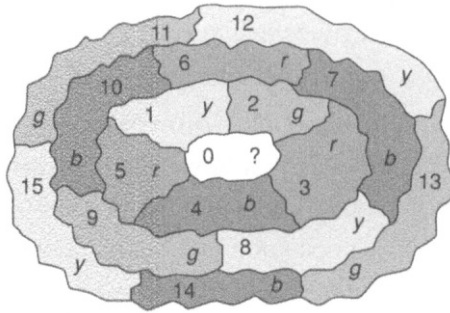


Рис. 5.47

5.41. Пусть G — простой граф с нечетным числом вершин. Докажите, что если G — регулярный граф степени Δ , то $\chi'(G) = \Delta + 1$.

Паросочетания, свадьбы и теорема Менгера

“А еще они рисовали... всякую всячину... все, что начинается на М...”¹

Льюис Кэрролл (Lewis Carroll)

Результаты этой главы по сравнению с результатами других глав носят более комбинаторный характер, хотя, как мы увидим, они тесно связаны с теорией графов. Мы начнем с обсуждения теоремы Холла “о свадьбах” в различных контекстах. В разделе 6.2 мы докажем теорему Менгера (введенную в разделе 2.1) о количестве непересекающихся путей, соединяющих данную пару вершин в графе или ориентированном графе, а в разделе 6.3 дадим альтернативную формулировку теоремы Менгера, известную как теорема о максимальном потоке и минимальном разрезе, которая имеет важное значение в связи с задачей о потоках в сетях. Более детальное изложение этих вопросов можно найти в [39] и [22].

6.1. Теорема Холла “о свадьбах”

Теорема о свадьбах, доказанная Филиппом Холлом (Philip Hall) в 1935 году, отвечает на следующий вопрос, известный как **задача о свадьбах** (marriage problem).

Если имеется конечное множество девушек, каждая из которых дружит с несколькими юношами, то при каких условиях все девушки смогут выйти замуж за юношей так, чтобы каждая выходила замуж за того юношу, с которым дружит?

Например, если есть четыре девушки, $\{g_1, g_2, g_3, g_4\}$, и пять юношей, $\{b_1, b_2, b_3, b_4, b_5\}$, между которыми имеются дружеские отношения, показанные ниже, то возможное решение состоит в том, что g_1 выходит замуж за b_4 , g_2 выходит замуж за b_1 , g_3 выходит замуж за b_3 и g_4 выходит замуж за b_2 .

¹ Перевод Н.М. Демуровой. Эпиграф из “Приключений Алисы в стране чудес” связан с тем, что в оригинале глава называется “Matching, marriage and Menger’s theorem”. — Примеч. пер.

<i>Девушка</i>	<i>Юноши, с которыми дружит девушка</i>		
g_1	b_1	b_4	b_5
g_2	b_1		
g_3	b_2	b_3	b_4
g_4	b_2	b_4	

Эта проблема может быть представлена графически, если взять двудольный граф G , в котором множество вершин разбивается на два непересекающихся множества, V_1 и V_2 , соответствующих девушкам и юношам, и каждое ребро соединяет девушку с юношей, с которым она дружит. На рис. 6.1 показан граф G , соответствующий показанной выше ситуации.

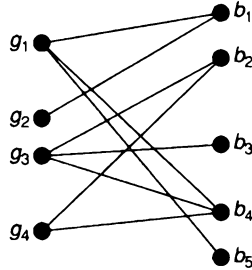


Рис. 6.1

В более общей постановке **совершенное паросочетание** (complete matching) из V_1 в V_2 в двудольном графе $G(V_1, V_2)$ представляет собой взаимно-однозначное соответствие между вершинами V_1 и некоторыми вершинами V_2 , такое, что соответствующие вершины соединены ребрами. Задача о свадьбах может быть выражена в теоретико-графических терминах следующим образом.

Если $G = G(V_1, V_2)$ представляет собой двудольный граф, то при каких условиях существует совершенное паросочетание из V_1 в V_2 в G ?

Возвращаясь к брачной терминологии, заметим, что при любом решении задачи о свадьбах.

Для всех целых k , удовлетворяющих условию $1 \leq k \leq t$, где t — общее количество девушек, каждое множество из k девушек должно коллективно дружить как минимум с k юношами.

Это условие необходимо, потому что, если оно не выполнено для некоторого множества из k девушек, выдать замуж всех девушек в этом множестве не удастся. Мы называем это условием **свадьбы** (marriage condition).

Как это ни удивительно, условие свадьбы оказывается и достаточным: в этом и заключается теорема Холла о свадьбах. Хотя данная теорема сформули-

рована в легкомысленных терминах брака, она применима и к более серьезным проблемам. Например, она дает необходимое и достаточное условие решения задачи о назначениях заданий, в которой задания назначаются работникам с различной квалификацией. Пример такой задачи приведен в упражнении 6.2. Из-за важности этой теоремы мы приводим три ее доказательства; первое дано с П. Халмосом (P. Halmos) и Х.Э. Воганом (H.E. Vaughan).

Теорема 6.1 (Холл, 1935). Необходимое и достаточное условие решения задачи о свадьбах состоит в том, чтобы любое множество из k девушек в совокупности дружило по меньшей мере с k юношами, $1 \leq k \leq m$.

Доказательство. Как отмечалось выше, это условие является необходимым.

Чтобы доказать, что это условие является достаточным, используем индукцию по m . Теорема, очевидно, верна при $m = 1$.

Предположим теперь, что есть m девушек, и предположим, что теорема верна, если количество девушек меньше m . Следует рассмотреть два случая.

- 1) Если каждые k девушек (где $k < m$) в совокупности дружат по меньшей мере с $k + 1$ юношей, так что условие всегда верно с одним “запасным” юношей, то мы берем любую девушку и выдаем ее замуж за любого юношу, с которым она дружит. Тогда исходное условие остается истинным для $m - 1$ девушек, которые могут выйти замуж по индукции, завершая доказательство данного случая.
- 2) Если имеется множество из k девушек (где $k < m$), которые в совокупности дружат ровно с k юношами, то эти k девушек могут вступать в брак по индукции с k юношами, оставляя $m - k$ девушек ожидать замужества. Но любое множество из h из этих $m - k$ девушек, где $h \leq m - k$, должно дружить по меньшей мере с h из оставшихся юношей, так как в противном случае эти h девушек вместе с упомянутым выше множеством из k девушек в совокупности будут дружить менее чем с $h + k$ юношами, что противоречит нашему предположению. Отсюда следует, что исходное условие применимо и к $m - k$ девушкам. Поэтому по индукции они могут вступить в брак таким образом, чтобы все были счастливы, а доказательство — завершено. ■

Мы также можем сформулировать теорему Холла на языке совершенных паросочетаний в двудольном графе. Напомним, что количество элементов в множестве S обозначается как $|S|$.

Следствие 6.2. Пусть $G = G(V_1, V_2)$ — двудольный граф, и для каждого подмножества A множества V_1 обозначим через $\varphi(A)$ множество

вершин V_2 , смежных по меньшей мере с одной вершиной из A . Тогда совершенное паросочетание из V_1 в V_2 существует тогда и только тогда, когда $|A| \leq |\varphi(A)|$ для каждого подмножества A множества V_1 .

Доказательство. Доказательство данного следствия представляет собой перевод на язык графов доказательства, приведенного выше. ■

Теория трансверсалей

Теперь мы представим альтернативное доказательство теоремы Холла на языке теории трансверсалей (transversal theory). Мы оставляем читателям в качестве упражнения перевод этого доказательства с использованием терминологии паросочетаний или брака.

Вспомним из приведенного выше примера (см. рис. 6.1), что множества юношей, являющихся друзьями для четырех девушек, представляют собой $\{b_1, b_4, b_5\}$, $\{b_1\}$, $\{b_2, b_3, b_4\}$ и $\{b_2, b_4\}$ и что решение задачи о свадьбах получается путем нахождения четырех разных b , по одному из каждого из показанных множеств юношей; такое решение приведено на рис. 6.2.

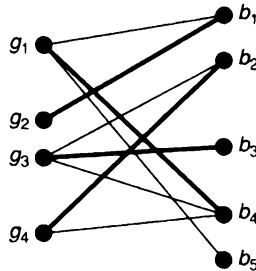


Рис. 6.2

В общем случае, если E — непустое конечное множество и если $\mathcal{F} = (S_1, S_2, \dots, S_m)$ представляет собой семейство (не обязательно различных) непустых подмножеств E , то **трансверсаль** (transversal) \mathcal{F} является множеством из m различных элементов E , по одному из каждого множества S_i ; таким образом, $\{b_4, b_1, b_3, b_2\}$ является трансверсалью семейства

$$\mathcal{F} = (\{b_1, b_4, b_5\}, \{b_1\}, \{b_2, b_3, b_4\}, \{b_2, b_4\}).$$

Теперь предположим, что $E = \{1, 2, 3, 4, 5, 6\}$, и пусть

$$S_1 = S_2 = \{1, 2\}, \quad S_3 = S_4 = \{2, 3\}, \quad S_5 = \{1, 4, 5, 6\}.$$

В таком случае невозможно найти пять различных элементов E , по одному от каждого подмножества S_i ; иными словами, семейство $\mathcal{F} = (S_1, S_2, \dots, S_5)$ не имеет трансверсали. Тем не менее подсемейство $\mathcal{F}' = (S_1, S_2, S_3, S_5)$ имеет трансверсаль, например $\{1, 2, 3, 4\}$. Мы называем трансверсаль подсемейства семейства \mathcal{F} **частичной трансверсалью** (partial transversal) \mathcal{F} . В нашем примере \mathcal{F} имеет несколько частичных трансверсалей, таких как $\{1, 2, 3, 6\}$, $\{2, 3, 6\}$, $\{1, 5\}$ и \emptyset . Обратите внимание, что любое подмножество частичной трансверсали является частичной трансверсалью.

Естественно спросить, при каких условиях данное семейство подмножеств множества имеет трансверсаль. Связь между этой задачей и задачей о свадьбах легко увидеть, если E — множество юношей, а S_i — множество юношей, дружащих с девушкой g_i , $1 \leq i \leq m$. В этом случае трансверсаль — это просто множество из m юношей, в котором каждый юноша дружит с соответствующей девушкой. Отсюда следует, что теорема 6.1 дает также достаточное условие наличия трансверсали для данного семейства множеств.

Теперь переформулируем теорему Холла в соответствующем виде и представим альтернативное доказательство, найденное Р. Радо (R. Rado). Прелесть этого доказательства заключается в том, что, по сути, оно состоит только из одного шага, в отличие от доказательства Халмоса–Вогана, которое включает в себя два отдельных случая (однако рассматриваемое доказательство очень трудно выразить на интуитивном и привлекательном языке бракосочетаний).

Теорема 6.3. Пусть E — непустое конечное множество и пусть $\mathcal{F} = (S_1, S_2, \dots, S_m)$ — семейство непустых подмножеств E . Тогда \mathcal{F} имеет трансверсаль тогда и только тогда, когда объединение любых k подмножеств S_i содержит как минимум k элементов для $1 \leq k \leq m$.

Доказательство. Необходимость условия очевидна.

Чтобы доказать достаточность, покажем, что если одно из подмножеств (скажем, S_1) содержит больше чем один элемент, то мы можем удалить элемент из S_1 без изменения условия. Повторяя эту процедуру, мы в конечном итоге сводим задачу к случаю, когда каждое подмножество содержит только один элемент, и доказательство становится тривиальным.

Осталось только показать обоснованность этой “процедуры сведения”. Итак, предположим, что S_1 содержит элементы x и y , удаление любого из которых делает условие неверным. Тогда имеются подмножества A и B из $\{2, 3, \dots, m\}$, обладающие тем свойством, что $|P| \leq |A|$, а также $|Q| \leq |B|$, где

$$P = \bigcup_{j \in A} S_j \cup (S_1 - \{x\}) \quad \text{и} \quad Q = \bigcup_{j \in B} S_j \cup (S_1 - \{y\}).$$

Тогда

$$|P \cup Q| = \left| \bigcup_{j \in A \cup B} S_j \cup S_1 \right| \text{ и } |P \cap Q| \geq \left| \bigcup_{j \in A \cap B} S_j \right|.$$

Отсюда вытекает необходимое противоречие, поскольку

$$\begin{aligned} |A| + |B| &\geq |P| + |Q| = |P \cup Q| + |P \cap Q| \geq \\ &\geq \left| \bigcup_{j \in A \cup B} S_j \cup S_1 \right| + \left| \bigcup_{j \in A \cap B} S_j \right| \geq \\ &\geq (|A \cup B| + 1) + |A \cap B| = \quad (\text{по условию Холла}) \\ &= |A| + |B| + 1. \quad \blacksquare \end{aligned}$$

Прежде чем перейти к некоторым приложениям теоремы Холла, сформулируем следствие, которое дает нам условие, при котором *как минимум* t девушек могут выйти замуж за юношей, с которыми они дружат.

Следствие 6.4. Если E и \mathcal{F} определены так же, как и раньше, то \mathcal{F} имеет частичную трансверсаль размером t тогда и только тогда, когда объединение любых k подмножеств S_i содержит не менее $k + t - m$ элементов.

Набросок доказательства. Необходимый результат следует из применения теоремы 6.1 к семейству

$$\mathcal{F}' = (S_1 \cup D, S_2 \cup D, \dots, S_m \cup D),$$

где D — любое множество, не пересекающееся с E и содержащее $m - t$ элементов. Обратите внимание, что \mathcal{F} имеет частичную трансверсаль размером t тогда и только тогда, когда \mathcal{F}' имеет трансверсаль. \blacksquare

Упражнения

6.1[§] Предположим, что три юноши, a , b и c , дружат с четырьмя девушками, w , x , y и z , следующим образом.

Юноша	Девушки, с которыми дружит юноша		
a	w	y	z
b	x	z	
c	x	y	

- 1) Изобразите двудольный граф, соответствующий этой таблице отношений.
 - 2) Найдите пять различных решений соответствующей задачи о свадьбах.
 - 3) Проверьте условие свадьбы для этой задачи.
- 6.2. Строительный подрядчик ищет каменщика, плотника, сантехника и слесаря и получает пять претендентов: одного — на должность каменщика, одного — на плотника, одного — на каменщика и сантехника и двух — на сантехника и слесаря.
- 1) Изобразите соответствующий двудольный граф.
 - 2) Проверьте, выполняется ли условие свадьбы для этой задачи.
- Могут ли на все должности быть приняты работники соответствующей квалификации?
- 6.3: Объясните, почему граф на рис. 6.3 не имеет совершенного паросочетания из V_1 в V_2 . Найдите множество вершин в V_1 , для которых не выполняется условие свадьбы.

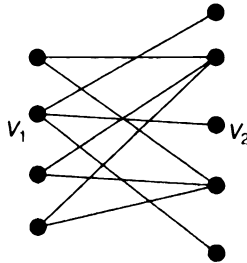


Рис. 6.3

- 6.4. (“Задача о гареме”.) Пусть B — множество юношей и пусть каждый юноша в B желает жениться более чем на одной из своих подружек. Найти необходимое и достаточное условие для того, чтобы задача о гареме имела решение. (Подсказка: замените каждого юношу несколькими идентичными копиями самого себя, а затем воспользуйтесь теоремой Холла.)
- 6.5. Докажите, что если $G = G(V_1, V_2)$ — двудольный граф, в котором степень каждой вершины в V_1 не меньше, чем степень каждой вершины в V_2 , то G имеет совершенное паросочетание.
- 6.6: Решите, какие из следующих семейств подмножеств $E = \{1, 2, 3, 4, 5\}$ имеют трансверсали; найдите трансверсаль для семейств, у которых она есть; и перечислите все частичные трансверсали у тех семейств, у которых нет трансверсали:

1) $(\{1\}, \{2, 3\}, \{1, 2\}, \{1, 3\}, \{1, 4, 5\})$;

2) $(\{1, 2\}, \{2, 3\}, \{4, 5\}, \{4, 5\})$;

3) $(\{1, 3\}, \{2, 3\}, \{1, 2\}, \{3\})$;

4) $(\{1, 3, 4\}, \{1, 4, 5\}, \{2, 3, 5\}, \{2, 4, 5\})$.

6.7. Повторите упражнение 6.6 для множества $\{G, R, A, P, H, S\}$:

1) $(\{R\}, \{R, G\}, \{A, P\}, \{A, H\}, \{R, A\})$;

2) $(\{R\}, \{R, G\}, \{A, G\}, \{A, R\})$;

3) $(\{G, R\}, \{R, P, H\}, \{G, S\}, \{R, H\})$;

4) $(\{R, P\}, \{R, P\}, \{R, G\}, \{R\})$.

6.8^s Пусть E — множество букв в слове *MATROIDS*. Покажите, что семейство подмножеств E

$(STAR, ROAD, MOAT, RIOT, RIDS, DAMS, MIST)$

имеет ровно восемь трансверсалей.

6.9^s Пусть E представляет собой множество $\{1, 2, \dots, 50\}$. Сколько различных трансверсалей имеет семейство $(\{1, 2\}, \{2, 3\}, \{3, 4\}, \dots, \{50, 1\})$?

6.10. Проверьте утверждение следствия 6.4 для $E = \{a, b, c, d, e\}$ и $\mathcal{F} = (\{a, c, e\}, \{b, d\}, \{b, d\}, \{b, d\})$.

6.11^s Пусть $E = \{\diamond, \heartsuit, \spadesuit, \clubsuit, \star\}$ и $\mathcal{F} = (\{\diamond, \heartsuit, \spadesuit\}, \{\spadesuit, \clubsuit\}, \{\clubsuit\}, \{\clubsuit\}, \{\clubsuit\}, \{\diamond, \heartsuit, \star\})$.

1) Перечислите все подсемейства \mathcal{F} , для которых не выполняется условие свадьбы.

2) Проверьте утверждение следствия 6.4.

6.12. Перепишите

1) утверждение следствия 6.4 с использованием терминологии бракосочетаний;

2) доказательство Халмоса–Вогана теоремы Холла на языке теории трансверсалей.

6.2. Теорема Менгера

Теперь мы обратимся к теореме, которая тесно связана с теоремой Холла и имеет далеко идущие практические применения. Эта теорема, открытая К. Менгером (K. Menger), касается числа путей, соединяющих две заданные вершины, v и w , в графе G . Нас может интересовать максимальное количество путей от v до w , никакие два из которых не имеют общих ребер, — такие пути называются **реберно-непересекающимися путями**. Может также возникнуть

вопрос о максимальном количестве путей от v до w , никакие два из которых не имеют общей вершины (кроме v и w), — такие пути называются **вершинно-непересекающимися путями**. Например, на графе на рис. 6.4 имеется четыре реберно-непересекающихся и два вершинно-непересекающихся пути из v в w .

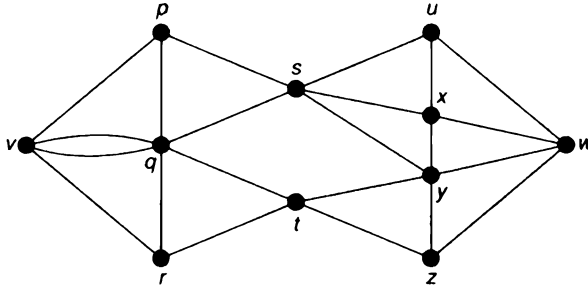


Рис. 6.4

Для исследования этих задач нужны некоторые дополнительные определения. Будем считать, что G — связный граф, а v и w — разные вершины G . **vw -разделяющим множеством** (vw -disconnecting set) G будем называть множество E ребер G , такое, что каждый путь от v до w включает в себя ребро из E ; обратите внимание, что всякое vw -разделяющее множество является разделяющим множеством G . Аналогично **vw -отделяющим множеством** (vw -separating set) графа G является множество S вершин, отличных от v и w , таких, что каждый путь из v в w проходит через вершину из S . На рис. 6.4 множества

$$E_1 = \{ps, qs, ty, tz\} \text{ и } E_2 = \{uw, xw, yw, zw\}$$

являются vw -разделяющими множествами, а

$$V_1 = \{s, t\} \text{ и } V_2 = \{p, q, y, z\}$$

являются vw -отделяющими множествами.

Чтобы посчитать реберно-непересекающиеся пути от v до w , заметим сначала, что если E представляет собой vw -разделяющее множество с k ребрами, то число реберно-непересекающихся путей не может превышать k , так как в противном случае некоторое ребро из E будет включено более чем в один путь. Фактически, если E является vw -разделяющим множеством минимально возможного размера, число реберно-непересекающихся путей равно k и в каждом таком пути имеется ровно одно ребро из E . Этот результат известен как **реберная форма теоремы Менгера**; в этой форме она была впервые доказана Л.Р. Фордом (мл.) (L.R. Ford, Jr.) и Д.Р. Фалкерсоном (D.R. Fulkerson) в 1955 году.

Теорема 6.5. Максимальное количество реберно-непересекающихся путей, соединяющих две различные вершины, v и w , связного графа, равно минимальному числу ребер в vw -разделяющем множестве.

Примечание. Приведенное доказательство неконструктивно, поскольку не дает систематического способа получения k реберно-непересекающихся путей или даже поиска самого значения k . Алгоритм, который может это сделать, приведен в следующем разделе.

Доказательство. Как мы только что указали, максимальное число реберно-непересекающихся путей, соединяющих v и w , не может превышать минимальное количество ребер в vw -разделяющем множестве. Используем индукцию по числу ребер графа G , чтобы доказать, что эти числа равны. При $m = 1$ результат тривиален.

Итак, предположим, что число ребер графа G равно m и что теорема верна для всех графов с менее чем m ребрами. Следует рассмотреть два случая.

- 1) Предположим сначала, что существует vw -разделяющее множество E минимального размера k , такое, что не все его ребра инцидентны v и не все инцидентны w . Например, на рис. 6.4 вышеупомянутое множество E_1 является таким vw -разделяющим множеством. Удаление из G ребер из E оставляет два непересекающихся подграфа, V и W , содержащих вершины v и w соответственно.

Теперь определим два новых графа, G_1 и G_2 , следующим образом: G_1 получается из G путем стягивания каждого ребра V (т.е. сжиманием V до v), а G_2 получается аналогичным стягиванием каждого ребра W . Графы G_1 и G_2 , полученные из графа на рис. 6.4, показаны на рис. 6.5; пунктирными линиями обозначены ребра E_1 . Поскольку каждый из подграфов G_1 и G_2 содержит меньше ребер, чем G , и так как E является vw -разделяющим множеством минимального размера и для G_1 , и для G_2 , то по гипотезе индукции в G_1 имеется k реберно-непересекающихся путей от v до w ; аналогичное утверждение верно и для G_2 . Комбинируя очевидным образом эти пути, получаем k реберно-непересекающихся путей в G .

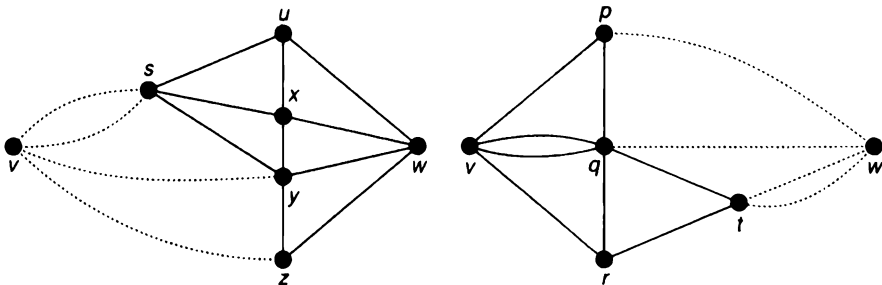


Рис. 6.5

2) Теперь допустим, что каждое vw -разделяющее множество минимального размера k состоит только из ребер, которые все инцидентны v , либо все инцидентны w . Например, на рис. 6.4 таким vw -разделяющим множеством является множество E_2 . Без потери общности можно считать, что каждое ребро графа G содержится в некотором vw -разделяющем множестве размером k , так как в противном случае удаление соответствующего ребра не влияет на величину k и мы можем воспользоваться гипотезой индукции для получения k реберно-непересекающихся путей. Если P — произвольный путь от v до w , то он должен состоять либо из единственного ребра, либо из двух ребер, и поэтому может содержать не более одного ребра из любого vw -разделяющего множества размером k . Удаляя из G ребра, принадлежащие P , мы получим граф, содержащий по крайней мере $k - 1$ реберно-непересекающихся путей (согласно гипотезе индукции). Вместе с P эти пути дают искомые k путей в G . ■

Обратимся теперь к другой задаче, упомянутой в начале этого раздела, — к нахождению числа вершинно-непересекающихся путей из v в w . Именно эту задачу и решал Менгер, хотя обычно его имя связывают с обеими теоремами — и 6.5, и 6.6. Доказательство теоремы 6.5 при этом претерпевает лишь незначительные изменения, состоящие главным образом в замене таких терминов, как “реберно-непересекающийся” и “инцидентный”, терминами “вершинно-непересекающийся” и “смежный”. Сформулируем теперь вершинную форму теоремы Менгера, а ее доказательство предоставим читателю.

Теорема 6.6 (Менгер, 1927). Максимальное число вершинно-непересекающихся путей, соединяющих две различные несмежные вершины, v и w , графа, равно минимальному числу вершин в vw -отделяющем множестве.

Из теорем 6.5 и 6.6 можно немедленно вывести условия (с которыми мы встречались в разделе 2.1) того, что граф является k -связным и k -реберно-связным.

Следствие 6.7. Граф G является k -реберно-связным тогда и только тогда, когда любые две различные вершины G соединяются по крайней мере k реберно-непересекающимися путями.

Следствие 6.8. Граф G с как минимум $k + 1$ вершиной является k -связным тогда и только тогда, когда любые две различные вершины G соединяются по крайней мере k вершинно-непересекающимися путями.

Приведенное выше обсуждение может быть изменено таким образом, чтобы дать число “дугонепересекающихся” путей из вершины v в вершину w в

ориентированном графе. Приведенная теорема аналогична теореме 6.5, и ее доказательство выполняется почти дословно так же. Обратите внимание, что в ориентированном графе vw -разделяющее множество представляет собой множество дуг A , такое, что каждый путь из v в w включает дугу из множества A .

Теорема 6.9. Максимальное количество дугонепересекающихся путей из вершины v в вершину w в ориентированном графе равно минимальному количеству дуг в vw -разделяющем множестве.

Например, если ориентированный граф имеет вид, показанный на рис. 6.6, то имеется шесть дугонепересекающихся путей от v до w . Соответствующее vw -разделяющее множество состоит из дуг vz , xz , yz (дважды) и xw (дважды).

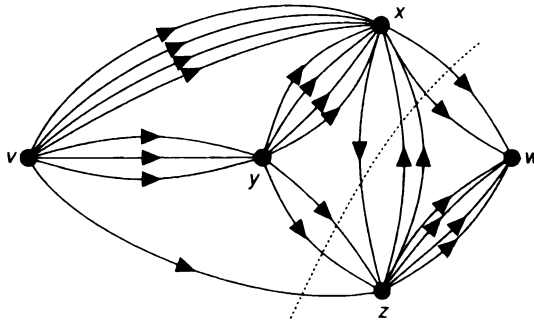


Рис. 6.6

Очевидно, что эти диаграммы по мере увеличения количества дуг, соединяющих пары вершин, становятся очень громоздкими. Чтобы справиться с этой неприятностью, мы изображаем только одну дугу и указываем рядом с ней необходимое количество дуг (рис. 6.7). Это, казалось бы, невинное замечание имеет фундаментальное значение для изучения сетевых потоков, которые мы обсудим в следующем разделе.

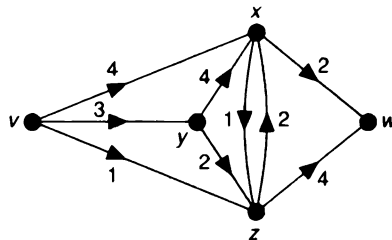


Рис. 6.7

Этот раздел мы завершим выводом теоремы Холла из теоремы Менгера. Мы также докажем версию теоремы Холла, представленную в следствии 6.2.

Теорема 6.10. Теорема Холла вытекает из теоремы Менгера.

Доказательство. Пусть $G = G(V_1, V_2)$ — двудольный граф. Мы должны доказать, что если $|A| \leq |\varphi(A)|$ для каждого подмножества A множества V_1 , то существует совершенное паросочетание из V_1 в V_2 .

Для этого мы применим вершинную форму теоремы Менгера (теорема 6.6) к графу, полученному присоединением к G вершины v , смежной с каждой вершиной в V_1 (девушки), и вершины w , смежной с каждой вершиной в V_2 (юноши) (рис. 6.8).

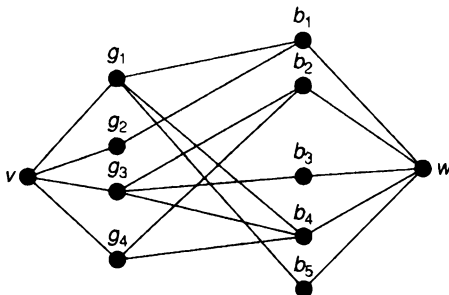


Рис. 6.8

Поскольку совершенное паросочетание из V_1 в V_2 существует тогда и только тогда, когда количество вершинно-непересекающихся путей из v в w равно числу вершин в V_1 (скажем, k), достаточно показать, что каждое vw -отделяющее множество имеет не менее k вершин. Итак, пусть S представляет собой vw -отделяющее множество, состоящее из подмножества A множества V_1 и подмножества B множества V_2 . Поскольку $A \cup B$ является vw -отделяющим множеством, ни одно ребро не может соединить вершину $V_1 - A$ с вершиной $V_2 - B$, а следовательно, $\varphi(V_1 - A) \subseteq B$. Отсюда следует, что

$$|V_1 - A| \leq |\varphi(V_1 - A)| \leq |B|,$$

и, таким образом, $|S| = |A| + |B| \geq |V_1| = k$, что и требовалось. ■

Упражнения

6.13^s: Проверьте теоремы 6.5 и 6.6 для графов на рис. 6.9.

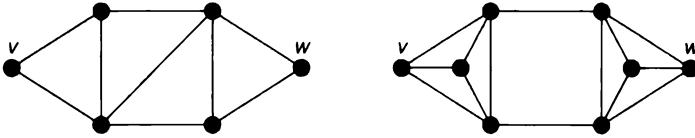


Рис. 6.9

6.14. Проверьте теоремы 6.5 и 6.6 для графа Петерсена в случае, когда v и w
1) смежные вершины; 2) не являются смежными вершинами.

6.15^s. Проверьте следствие 6.7 для каждого из следующих графов:

1) W_5 ; 2) $K_{3,4}$; 3) Q_3 .

6.16. Проверьте следствие 6.7 для каждого из следующих графов:

1) $K_{3,5}$; 2) $K_{3,3,3}$; 3) граф октаэдра.

6.17. Проверьте теорему 6.9 для каждого ориентированного графа на рис. 6.10.

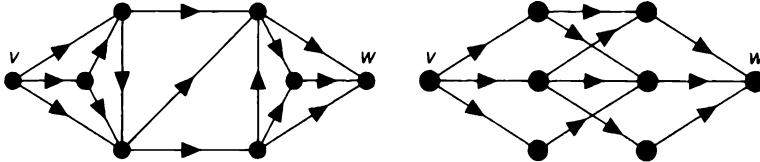


Рис. 6.10

6.3. Сетевые потоки

Современное общество в значительной степени управляется сетями — транспортными, сетями связи и т.д., — и фундаментальное значение приобретает математический анализ таких сетей. В этом разделе мы проиллюстрируем, что анализ сетей, по сути, представляет собой изучение ориентированных графов.

Производитель компьютеров хочет отправить свои компьютеры на данный рынок. Существуют различные каналы, по которым могут быть отправлены ящики с компьютерами, как показано на рис. 6.11, где вершина v представляет производителя, а w — рынок. Число рядом с каждой дугой указывает максимальную нагрузку, которая может проходить через соответствующий канал. Производитель желает найти максимальное количество ящиков с компьютерами, которые можно отправить по сети, не превышая разрешенную пропускную способность каждого канала.

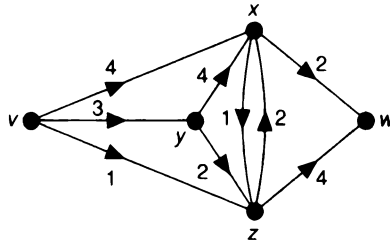


Рис. 6.11

Рисунок 6.11 позволяет описывать и другие ситуации. Например, если каждая дуга представляет улицу с односторонним движением, а число рядом с дугой — максимально возможный поток движения по этой улице в транспортных средствах в час, то мы можем запросить максимально возможное количество транспортных средств, которые смогут проехать из v в w в течение одного часа. В качестве альтернативы, если на схеме изображена электрическая цепь, мы можем определить максимальный ток, который можно безопасно пропустить через эту цепь при указанных предельных токах, при превышении которых выгорают отдельные провода.

Используя эти примеры в качестве исходной точки, определим **сеть** (network) N как взвешенный ориентированный граф, т.е. ориентированный граф, каждой дуге a которого присваивается неотрицательное вещественное число $c(a)$, именуемое ее **пропускной способностью** (capacity). **Полустепень исхода** (out-degree) $\text{outdeg}(x)$ вершины x является суммой пропускных способностей дуг вида xz ; **полустепень захода** $\text{indeg}(x)$ определяется аналогично. Например, в сети, показанной на рис. 6.11, $\text{outdeg}(v) = 8$ и $\text{indeg}(x) = 10$. Обратите внимание, что орлемма о рукопожатиях теперь принимает следующий вид.

Сумма полустепеней исхода всех вершин в сети равна сумме их полустепеней захода.

Вершина с нулевой полустепенью захода является **источником** (source), а вершина с нулевой полустепенью исхода является **стоком** (sink); например, на рис. 6.11 единственный источник — v , а w — единственный сток. Обычно мы предполагаем, что любая сеть имеет ровно один источник v и один сток w . Общий случай нескольких источников и стоков, соответствующих более чем одному производителю и рынку, легко сводится к этому частному случаю (см. упражнение 6.22).

Поток (flow) в сети представляет собой функцию ϕ , которая назначает каждой дуге неотрицательное действительное число $\phi(a)$, называемое **поток** **через a** , таким образом, чтобы

- 1) для каждой дуги a выполнялось условие $\phi(a) \leq c(a)$;
- 2) полустепени исхода и захода каждой вершины, отличной от v и w , были одинаковы.

Таким образом, поток в любой дуге не может превышать ее пропускную способность, а “общий поток”, входящий в каждую вершину, кроме v и w , равен “общему потоку” из нее. На рис. 6.12 показан возможный поток в сети на рис. 6.11. **Нулевым потоком** (zero flow) является поток, в котором поток в каждой дуге равен нулю; любой иной поток является **ненулевым потоком** (non-zero flow). Дуга a , для которой $\varphi(a) = c(a)$, называется **насыщенной** (saturated). На рис. 6.12 дуги vz , xz , yz , xw и zw насыщены, а остальные — **ненасыщены** (unsaturated).

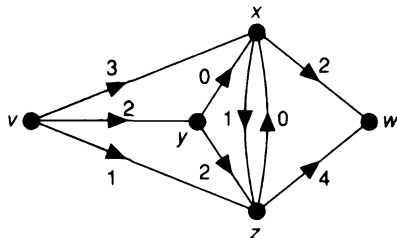


Рис. 6.12

Из орлеммы о рукопожатиях следует, что сумма потоков в дугах, выходящих из v , равна сумме потоков в дугах, входящих в w ; эта сумма называется **величиной потока** (value of the flow). Исходя из приведенных выше примеров нас интересуют в основном потоки, значение которых максимально велико, — **максимальные потоки** (maximum flow). Вы можете легко проверить, что поток на рис. 6.12 является максимальным для сети на рис. 6.11 и что его величина равна 6. Хотя сеть может иметь несколько разных максимальных потоков, величины всех их должны быть равны.

Исследование максимальных потоков в сети тесно связано с понятием **разреза** (cut), который представляет собой множество дуг A , таких, что каждый путь от v до w включает в себя дугу из A . Таким образом, разрез в сети является vw -разделяющим множеством в соответствующем ориентированном графе D . **Пропускная способность разреза** представляет собой сумму пропускных способностей дуг в разрезе. Мы занимаемся в основном теми разрезами, пропускная способность которых настолько мала, насколько это возможно, — так называемыми **минимальными разрезами** (minimum cut). На рис. 6.13 минимальный разрез состоит из дуг vz , xz , yz и xw , но не дуги zx ; пропускная способность этого разреза равна $2 + 2 + 2 = 6$.

Обратите внимание, что величина любого потока не может превышать пропускную способность любого разреза, так что величина любого *максимального* потока не может превышать пропускной способности любого *минимального* разреза. Оказывается, эти два значения всегда равны. Этот результат, известный как **теорема о максимальном потоке и минимальном разрезе**, доказан

Л.Р. Фордом (мл.) и Д.Р. Фалкерсоном в 1955 году. Мы представим два доказательства. Первое показывает, что данная теорема, по сути, эквивалентна теореме Менгера; второе же является прямым доказательством теоремы.

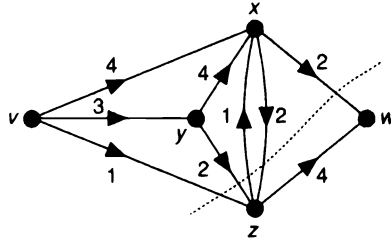


Рис. 6.13

Теорема 6.11 (теорема о максимальном потоке и минимальном разрезе). В любой сети величина максимального потока равна пропускной способности любого минимального разреза.

Примечание. Применяя эту теорему, часто проще всего найти поток и разрез, для которого величина потока равна пропускной способности разреза. Из теоремы следует, что поток должен быть максимальным, а разрез — минимальным. Если все пропускные способности представляют собой целые числа, то величина максимального потока также является целым числом; этот результат оказывается полезным в определенных приложениях сетевых потоков.

Первое доказательство. Предположим сначала, что пропускная способность каждой дуги является целым числом. Тогда сеть можно рассматривать как ориентированный граф D , в котором пропускные способности представляют собой количество дуг, соединяющих различные вершины (как на рис. 6.6 и 6.7). Величина максимального потока соответствует общему количеству дугонепересекающихся путей из вершины v в вершину w в D , а пропускная способность минимального разреза — минимальному количеству дуг в vw -разделяющем множестве графа D . После этого необходимый результат следует из теоремы 6.9.

Распространение этого результата на сети, в которых пропускные способности представляют собой рациональные числа, достигается путем умножения этих пропускных способностей на подходящее целое число d , чтобы сделать их целыми числами. Так мы получаем описанный выше случай, а требуемый результат получается путем деления на d .

Наконец, если некоторые из пропускных способностей иррациональны, то мы используем их приближение с любой желаемой точностью до рациональных значений, после чего применяем приведенный выше результат. Тщательно выбирая рациональные приближения, мы можем гарантировать, что значение

любого максимального потока и пропускная способность любого минимального разреза будут различаться на сколь угодно малую величину. Обратите внимание, что в практических применениях иррациональные пропускные способности встречаются редко, так как обычно они указываются в десятичном виде.

Второе доказательство. Поскольку величина любого максимального потока не может превышать пропускную способность любого минимального разреза, достаточно доказать существование разреза, пропускная способность которого равна величине данного максимального потока.

Пусть φ является максимальным потоком. Определим два множества, V и W , вершин в сети следующим образом. Если G является базовым графом сети, то вершина z находится в V тогда и только тогда, когда в G существует путь

$$v = v_0 \rightarrow v_1 \rightarrow v_2 \rightarrow \dots \rightarrow v_{m-1} \rightarrow v_m = z,$$

в котором каждое ребро $v_i v_{i+1}$ соответствует либо ненасыщенной дуге $v_i v_{i+1}$, либо дуге $v_{i+1} v_i$, через которую проходит ненулевой поток. Множество W состоит из всех тех вершин, которые не принадлежат V . Например, на рис. 6.12 множество V состоит из вершин v, x и y , а множество W — из вершин z и w .

Очевидно, что v содержится в V . Покажем теперь, что множество W содержит вершину w . Если это не так, то w принадлежит V и, следовательно, в G существует путь

$$v \rightarrow v_1 \rightarrow v_2 \rightarrow \dots \rightarrow v_{m-1} \rightarrow w$$

вышеуказанного типа. Теперь выберем положительное число ε , которое не превышает ни одного из чисел, необходимых для насыщения любой ненасыщенной дуги $v_i v_{i+1}$, и не превышает поток в любой дуге $v_{i+1} v_i$, через которую проходит ненулевой поток. Легко видеть, что если увеличить на ε потоки во всех дугах первого типа и уменьшить на ε потоки во всех дугах второго типа, то величина потока φ увеличится на ε , а это противоречит нашему предположению о том, что поток φ — максимальный. Отсюда следует, что w принадлежит W .

Для завершения доказательства обозначим через E множество всех дуг вида xz , где x принадлежит V , а z принадлежит W . Ясно, что E является разрезом. Кроме того, каждая дуга xz из E насыщена, а через каждую дугу zx проходит нулевой поток, поскольку в противном случае z также была бы элементом V . Отсюда следует, что пропускная способность E должна быть равна величине потока φ и что E является требуемым минимальным разрезом. ■

Теорема о максимальном потоке и минимальном разрезе позволяет проверять, максимален ли данный поток, но только для достаточно простых сетей. На практике сети, с которыми приходится иметь дело, большие и сложные, так что обычно трудно найти максимальный поток такой сети простым подбором. Большинство методов поиска максимального потока включает в себя

определение путей увеличения потока из v в w . Это пути, которые полностью состоят из ненасыщенных дуг xz и дуг zx , через которые проходит ненулевой поток. Например, рассмотрим сеть, показанную на рис. 6.14.

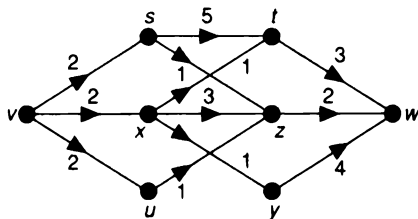


Рис. 6.14

Начиная с нулевого потока, мы можем построить пути, увеличивающие поток $v \rightarrow s \rightarrow t \rightarrow w$, вдоль которого величину потока можно увеличить на 2, $v \rightarrow x \rightarrow z \rightarrow w$, вдоль которого величину потока можно увеличить на 2, и $v \rightarrow u \rightarrow z \rightarrow x \rightarrow y \rightarrow w$, вдоль которого величину потока можно увеличить на 1.

Полученный в результате поток с величиной 5 показан на рис. 6.15.

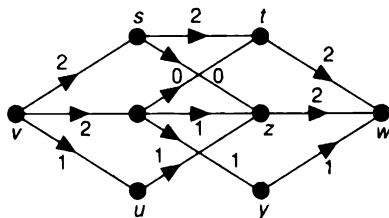


Рис. 6.15

Поскольку сеть имеет пропускную способность 5, этот поток является максимальным потоком, а разрез — минимальным разрезом.

В этом разделе нам удалось только слегка коснуться этого многогранного и важного направления. Читатель, желающий продолжить изучение затронутых вопросов, может обратиться к работам [22] и [24].

Упражнения

6.18^s Рассмотрим сеть на рис. 6.16.

- 1) Перечислите все разрезы данной сети и найдите минимальный разрез.
- 2) Найдите максимальный поток и проверьте выполнение теоремы о максимальном потоке и минимальном разрезе.

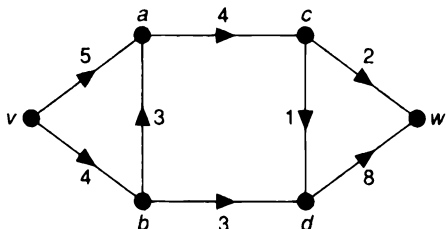


Рис. 6.16

6.19. Повторите упражнение 6.18 для сети, показанной на рис. 6.17.

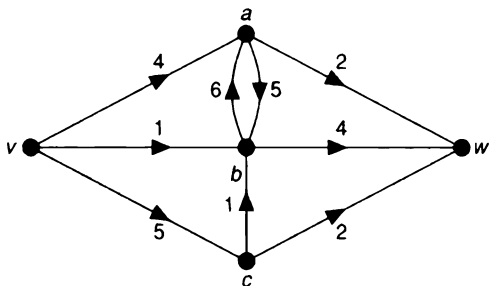


Рис. 6.17

6.20^s Проверьте выполнение теоремы о максимальном потоке и минимальном разрезе для сети, показанной на рис. 2.37.

6.21. Найдите поток величиной 20 в сети на рис. 6.18. Является ли этот поток максимальным?

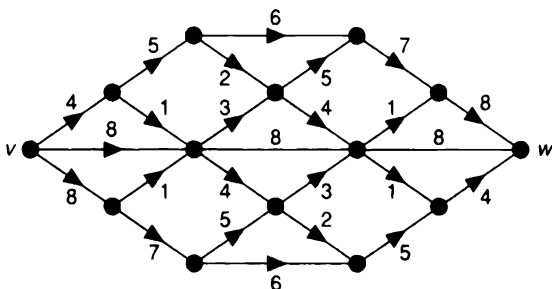


Рис. 6.18

6.22^s. 1) Рассмотрим сеть с несколькими источниками и стоками. Покажите, как анализ потоков в этой сети может быть приведен к стандартному случаю путем добавления новых “вершины-источника” и “вершины-стока”.

2) Проиллюстрируйте свой ответ на вопрос из п. 1 для сети на рис. 6.19.

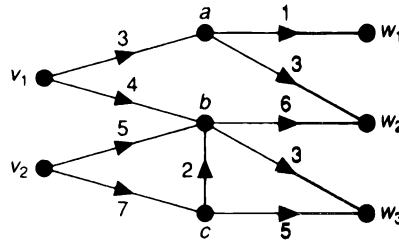


Рис. 6.19

Проблемы

- 6.23. 1) Используйте условие свадьбы, чтобы показать, что если у каждой девушки есть $r \geq 1$ друзей, а у каждого юноши есть r подруг, то у задачи о свадьбах есть решение.
- 2) Используйте результат п. 1 упражнения, чтобы доказать, что если G — двудольный регулярный степени r граф, то G имеет совершенное паросочетание. Выведите из этого, что хроматический индекс графа G равен r .

(Это частный случай теоремы 5.18.)

- 6.24. Предположим, что условие свадьбы удовлетворено и каждая из m девушек дружит как минимум с t юношами. По индукции по m покажите, что браки могут быть заключены не менее чем $t!$ способами, если $t \leq m$, и не менее чем $t!/(t-m)!$ способами при $t > m$.
- 6.25. Пусть E и \mathcal{F} определены обычным образом и пусть T_1 и T_2 — трансверсали \mathcal{F} , а x — элемент T_1 . Покажите, что существует элемент y из T_2 , такой, что $(T_1 - \{x\}) \cup \{y\}$ (множество, полученное из T_1 заменой x на y) также является трансверсалью \mathcal{F} . Сравните этот результат с результатом упражнения 3.11.

(Этот результат понадобится нам в главе 7, “Матроиды”).

- 6.26. Пусть \mathcal{F} — семейство, состоящее из m непустых подмножеств E и пусть A — подмножество E . Применяя теорему Холла к семейству, состоящему из \mathcal{F} вместе с $|E| - m$ копиями $E - A$, докажите, что существует трансверсаль \mathcal{F} , содержащая A тогда и только тогда, когда

- 1) \mathcal{F} имеет трансверсаль;
- 2) A является частичной трансверсалью \mathcal{F} .

(Более простое доказательство с использованием матроидов приведено в главе 7, “Матроиды”).

6.27. **Ранг** (rank) $r(A)$ подмножества A множества E представляет собой количество элементов в наибольшей частичной трансверсали \mathcal{F} , содержащейся в A . Покажите, что

1) $0 \leq r(A) \leq |A|$;

2) если $A \subseteq B \subseteq E$, то $r(A) \leq r(B)$;

3) если $A, B \subseteq E$, то $r(A \cup B) + r(A \cap B) \leq r(A) + r(B)$.

Сравните эти результаты с результатами упражнения 3.33.

(Этот результат также понадобится нам в главе 7, “Матроиды”).

6.28. Пусть E — счетное множество и пусть $\mathcal{S} = (S_1, S_2, \dots)$ — счетное семейство непустых *конечных* подмножеств E .

1) При определении трансверсали \mathcal{F} обычным путем покажите по лемме Кёнига (теорема 2.7), что \mathcal{F} имеет трансверсаль тогда и только тогда, когда для всех конечных k объединение любых k подмножеств S_i содержит как минимум k элементов.

2) Рассмотрев

$$E = \{1, 2, 3, \dots\}, S_1 = E, S_2 = \{1\}, S_3 = \{2\}, S_4 = \{3\}, \dots,$$

покажите, что результат п. 1 ложен, если не все S_i конечны.

6.29. Подробно докажите теорему 6.6.

6.30. Покажите, как теорема о максимальном потоке и минимальном разрезе может быть использована для доказательства теоремы Холла.

Матроиды

“Первое из земных благословений — независимость”.

Эдвард Гиббон (Edward Gibbon)

В этой главе мы исследуем неожиданное сходство между некоторыми результатами теории графов и их аналогами в теории трансверсалей (см., например, упражнения 3.11 и 6.25 или 3.33 и 6.27). Для этого мы вводим новую концепцию — матроида, который впервые был изучен в 1935 году в новаторской работе Хасслера Уитни (Hassler Whitney). Как мы увидим, матроид — это множество с определенной на нем “структурой независимости”, где понятие независимости обобщает независимость в графах, определенную в упражнении 2.48, и линейную независимость в векторных пространствах. Связь с теорией трансверсалей обеспечивается упражнением 6.25.

В разделе 7.3 мы определяем дуальность в матроидах таким образом, чтобы объяснить сходство свойств циклов и разрезов в графе. Интуитивно неочевидное определение абстрактной дуальности графов в разделе 4.3 оказывается естественным следствием дуальности матроидов. Мы также укажем, как можно использовать матроиды для “легкого” доказательства результатов в теории трансверсалей, и завершим рассмотрение матроидным аналогом теоремы Куратовского. В этой главе там, где это возможно, мы приводим результаты без доказательств. Опущенные доказательства можно найти в работах [42] и [45].

7.1. Введение в матроиды

В разделе 3.1 мы определили остовное дерево в связном графе G как связный подграф G , который не содержит циклов и включает в себя каждую вершину G . Ясно, что остовное дерево не может содержать другое остовное дерево в качестве собственного подграфа. Мы также видели в упражнении 3.11, что если B_1 и B_2 являются остовными деревьями G , а e является ребром в B_1 , то в B_2 имеется ребро f , такое, что $(B_1 - \{e\}) \cup \{f\}$ (граф, полученный из B_1 заменой e на f) также является остовным деревом G .

Аналогичные результаты имеют место в теории векторных пространств и в теории трансверсалей. Если V является векторным пространством и если B_1 и B_2 являются базисами V , а e является элементом B_1 , то в B_2 можно найти элемент f , такой, что $(B_1 - \{e\}) \cup \{f\}$ также является базисом V . Соответствующий результат в теории трансверсалей имеется в упражнении 6.25.

Используя эти примеры в качестве мотивации, дадим наше первое определение матроида.

Матроид M состоит из непустого конечного множества E и непустой совокупности его подмножеств \mathcal{B} , именуемых **базами** (*base*), удовлетворяющими следующим условиям:

B_1) никакая база не содержит в качестве собственного подмножества другую базу;

B_2) если B_1 и B_2 являются базами, а e — любой элемент из B_1 , то в B_2 существует элемент f , обладающий тем свойством, что $(B_1 - \{e\}) \cup \{f\}$ также является базой.

Множественно используя свойство B_2 , можно легко показать, что любые две базы матроида M имеют одинаковое количество элементов (см. упражнение 7.5). Это число называется **рангом** (*rank*) M .

Как указывалось выше, с любым связным графом G можно естественным образом связать некоторый матроид, взяв в качестве E множество ребер графа G , а в качестве баз — ребра остовных деревьев графа G . По причинам, которые выяснятся позднее, этот матроид называется **циклическим матроидом** графа G и обозначается через $M(G)$. Аналогично, если E — конечное множество векторов в векторном пространстве V (таком, как \mathbf{R}^n), то можно определить матроид на E , беря в качестве баз всевозможные линейно независимые подмножества E , которые охватывают то же подпространство, что и E . Матроид, полученный таким образом, называется **векторным матроидом** (*vector matroid*).

Подмножество E является **независимым** (*independent*), если оно содержится в некоторой базе матроида M . Для векторного матроида подмножество E является независимым, если его элементы линейно независимы как векторы в векторном пространстве. Для циклического матроида $M(G)$ графа G независимыми множествами являются те множества ребер графа G , которые не содержат циклов.

Поскольку базами M являются максимальные независимые множества (т.е. те независимые множества, которые не содержатся в большем независимом множестве), матроид однозначно определяется указанием его независимых множеств. Естественно спросить, нет ли простого определения матроида в терминах его независимых множеств. Одним из таких определений является следующее (доказательство эквивалентности этого определения и определения, приведенного выше, представлено в [45]).

Матроид M состоит из непустого конечного множества E и непустой совокупности его подмножеств \mathcal{I} , именуемых **независимыми множествами** (*independent set*) удовлетворяющих следующим условиям:

- J1) любое подмножество независимого множества независимо;*
J2) если I и J являются независимыми множествами, обладающими тем свойством, что $|J| > |I|$, то в J существует элемент e , отсутствующий в I и обладающий тем свойством, что $I \cup \{e\}$ является независимым множеством.

При таком определении база определяется как максимальное независимое множество. Свойство $J2$ можно использовать многократно для расширения любого независимого множества до базы.

Если M — матроид, определенный в терминах независимых множеств, то если подмножество E не является независимым, то оно является зависимым, а минимальное зависимое множество называется **циклом**. Если $M(G)$ — циклический матроид связного графа G , то циклами $M(G)$ являются именно циклы графа G . Так как подмножество E является независимым тогда и только тогда, когда оно не содержит циклов, матроид может быть определен в терминах циклов. Одно из таких определений, обобщающих для матроидов результат упражнения 2.46.1, выглядит следующим образом.

*Матроид M состоит из непустого конечного множества E и совокупности \mathcal{C} его непустых подмножеств, именуемых **циклами** (cycle) и удовлетворяющих следующим условиям:*

- C1) никакой цикл не содержит в качестве собственного подмножества другой цикл;*
C2) если C_1 и C_2 являются двумя различными циклами, каждый из которых содержит элемент e , то в $C_1 \cup C_2$ существует цикл, не содержащий e .

Прежде чем перейти к некоторым примерам, приведем еще одно определение матроида. Это определение в терминах функции ранга r , по сути, является определением, данным Уитни.

Если M является матроидом, определенным в терминах его независимых множеств, и если A является подмножеством E , то его **ранг** $r(A)$ является размером наибольшего независимого множества, содержащегося в A ; обратите внимание, что ранее определенный ранг M равен $r(E)$.

Поскольку подмножество A в E является независимым тогда и только тогда, когда $r(A) = |A|$, можно определить матроид в терминах его функции ранга. Следующая теорема распространяет на матроиды результаты упражнений 3.33 и 6.27.

Теорема 7.1. Матроид состоит из непустого конечного множества E и целочисленной функции r , определенной на множестве подмножеств E и удовлетворяющей следующим свойствам:

- r1) $0 \leq r(A) \leq |A|$ для каждого подмножества A множества E ;*

r_2) если $A \subseteq B \subseteq E$, то $r(A) \leq r(B)$;

r_3) для любых $A, B \subseteq E$ выполняется $r(A \cup B) + r(A \cap B) \leq r(A) + r(B)$.

Доказательство. Предположим сначала, что M — матроид, определенный в терминах его независимых множеств, и докажем свойства r_1 – r_3 .

Свойства r_1 и r_2 тривиальны. Чтобы доказать r_3 , обозначим через X базу (максимальное независимое подмножество) множества $A \cap B$. Поскольку X является независимым подмножеством A , X можно расширить до базы Y множества A , а затем до базы Z множества $A \cup B$. Поскольку $X \cup (Z - Y)$ является независимым подмножеством B , мы, как и требовалось, получаем

$$r(B) \geq r(X \cup (Z - Y)) = |X| + |Z| - |Y| = r(A \cap B) + r(A \cup B) - r(A).$$

И обратно, пусть M — матроид, определенный в терминах функции ранга r . Определим подмножество A в E как независимое тогда и только тогда, когда $r(A) = |A|$. Тогда свойство $\mathcal{J}1$ доказывается элементарно. Чтобы доказать свойство $\mathcal{J}2$, обозначим через I и J независимые множества, обладающие тем свойством, что $|J| > |I|$, и предположим, что $r(I \cup \{e\}) = k$ для каждого элемента e , который находится в J , но не в I . Если e и f — два таких элемента, то

$$r(I \cup \{e\} \cup \{f\}) \leq r(I \cup \{e\}) + r(I \cup \{f\}) - r(I) = k,$$

и, таким образом, $r(I \cup \{e\} \cup \{f\}) = k$. Теперь продолжим эту процедуру, добавляя в J по одному новому элементу за раз. Поскольку на каждом этапе ранг равен k , заключаем, что $r(I \cup J) = k$, а следовательно (согласно r_2), $r(J) \leq k$, что является противоречием. Отсюда следует, что существует элемент f , который принадлежит J , но не I , такой, что $r(I \cup \{f\}) = k + 1$. ■

Завершим этот раздел некоторыми дополнительными определениями. **Петля** (loop) матроида M представляет собой элемент e из E , удовлетворяющий условию $r(\{e\}) = 0$, а пара **параллельных элементов** (parallel elements) M представляет собой пару $\{e, f\}$ элементов из E , которые удовлетворяют условию $r(\{e, f\}) = 1$ и не являются петлями. Обратите внимание, что если M — циклический матроид графа G , то петли и параллельные элементы M соответствуют петлям и кратным ребрам G .

Нам также нужна концепция изоморфизма. Мы называем два матроида M_1 и M_2 **изоморфными**, если существует взаимно однозначное соответствие между их базовыми множествами E_1 и E_2 , при котором сохраняется независимость; таким образом, множество элементов E_1 независимо в M_1 тогда и только тогда, когда соответствующее множество элементов E_2 независимо в M_2 . Например, циклические матроиды трех графов на рис. 7.1 изоморфны. Заметим, что, хотя изоморфизм матроидов сохраняет циклы, разрезы и количество ребер в графе, он не обязательно сохраняет связность, количество вершин или их степени.

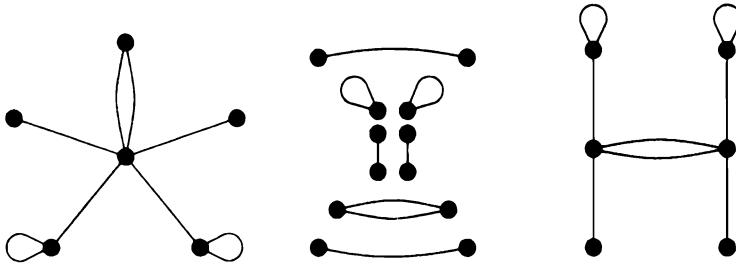


Рис. 7.1

Упражнения

7.1[§] Пусть $E = \{a, b, c, d, e\}$. Найдите матроиды на множестве E , для которых

- 1) единственной базой является множество E ;
- 2) единственной базой является пустое множество \emptyset ;
- 3) базами являются подмножества E , содержащие ровно три элемента.

Для каждого матроида запишите независимые множества, циклы (если таковые имеются) и функцию ранга.

(Ответ на этот вопрос приведен в следующем разделе.)

7.2[§] Пусть G_1 и G_2 — графы, показанные на рис. 7.2. Запишите базы, циклы и независимые множества циклических матроидов $M(G_1)$ и $M(G_2)$.

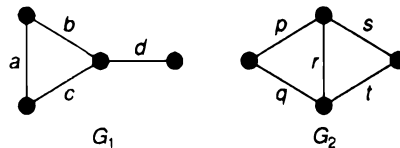


Рис. 7.2

7.3. Пусть M — матроид на множестве $E = \{a, b, c, d\}$, базами которого являются

$\{a, b\}$, $\{a, c\}$, $\{a, d\}$, $\{b, c\}$, $\{b, d\}$ и $\{c, d\}$.

Запишите циклы M и сделайте вывод о том, что не существует графа G с M в качестве его циклического матроида.

7.4[§] Пусть $E = \{1, 2, 3, 4, 5, 6\}$ и $\mathcal{F} = (S_1, S_2, S_3, S_4, S_5)$, где

$S_1 = S_2 = \{1, 2\}$, $S_3 = S_4 = \{2, 3\}$, $S_5 = \{1, 4, 5, 6\}$.

1) Запишите частичные трансверсали \mathcal{F} и убедитесь, что они образуют независимые множества матроида на множестве E .

2) Запишите базы и циклы этого матроида.

- 7.5. Используйте свойства $B1$ и $B2$, чтобы доказать, что любые две базы матроида на множестве E имеют одно и то же количество элементов.
- 7.6: 1) Используйте результат упражнения 2.46.2, чтобы показать, что разрезы графа удовлетворяют условиям $C1$ и $C2$.
- 2) Запишите базы соответствующих матроидов для графов на рис. 7.2.
- 7.7. Покажите, как можно расширить определение фундаментальной системы циклов в графе на матроиды.

7.2. Примеры матроидов

В этом разделе мы рассмотрим несколько важных типов матроидов.

Тривиальные матроиды

На любом непустом конечном множестве E можно определить матроид, единственным независимым множеством которого является пустое множество \emptyset . Этот матроид называется **тривиальным матроидом** на E и имеет ранг 0.

Дискретные матроиды

На другом полюсе находится **дискретный матроид** на E , в котором каждое подмножество E независимо. Обратите внимание, что дискретный матроид на E имеет только одну базу, само E , и что ранг любого подмножества A равен числу элементов в A .

Однородные матроиды

Преыдушие примеры являются частными случаями **k -однородного матроида** на E , базами которого являются все подмножества E с ровно k элементами. Тривиальный матроид на E является 0-однородным матроидом, а дискретный матроид — $|E|$ -однородным. Обратите внимание, что независимыми множествами являются подмножества E не более чем с k элементами, а ранг любого подмножества A равен меньшему из значений $|A|$ и k .

Графические матроиды

Как мы видели в предыдущем разделе, можно определить матроид $M(G)$ на множестве ребер связного графа G , взяв циклы G в качестве циклов матроида. $M(G)$ является **циклическим матроидом** G , а его ранговой функцией является ранг разреза ξ .

Естественно возникает вопрос, является ли данный матроид M циклическим матроидом некоторого графа; иными словами, существует ли граф G , такой, что M изоморфен $M(G)$. Такие матроиды называются **графическими матроидами**, а их характеристика будет приведена в следующем разделе. Например, матроид M на множестве $\{1, 2, 3\}$, базами которого являются $\{1, 2\}$ и $\{1, 3\}$, представляет собой графический матроид, изоморфный циклическому матроиду графа на рис. 7.3. Примером неграфического матроида является 2-однородный матроид на множестве из четырех элементов (см. упражнение 7.3).

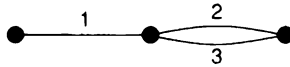


Рис. 7.3

Кографические матроиды

Для заданного связного графа G циклический матроид $M(G)$ — не единственный матроид, который можно определить на множестве ребер графа G . Из-за сходства свойств циклов и разрезов в графе можно построить матроид, взяв в качестве его циклов разрезы графа G . В упражнении 7.6 мы видели, что эта конструкция определяет матроид, и мы называем его **матроидом разрезов** (cutset matroid) графа G и обозначаем как $M^*(G)$. Обратите внимание, что множество ребер графа G независимо тогда и только тогда, когда оно не содержит разрезов графа G .

Мы называем матроид M **кографическим**, если существует граф G , такой, что M изоморфен $M^*(G)$. Причина названия “кографический” приведена в следующем разделе.

Планарные матроиды

Матроид, который является одновременно и графическим, и кографическим, называется **планарным матроидом**. В следующем разделе мы исследуем связь между планарными матроидами и планарными графами.

Двудольные и эйлеровы матроиды

Мы также можем определить двудольные и эйлеровы матроиды. Так как обычные определения двудольных и эйлеровых графов, приведенные в разделах 1.2 и 2.2, не подходят для обобщения на матроиды, придется использовать иные характеристики этих графов. В случае двудольных графов воспользуемся теоремой 2.1 и определим **двудольный матроид** как матроид, в котором каждый цикл имеет четное количество элементов. Для эйлеровых графов используем следствие 2.10 и определим матроид на множестве E как **эйлеров**

матроид, если E можно представить в виде объединения непересекающихся циклов. В следующем разделе мы увидим, что эйлеровы матроиды и двудольные матроиды являются дуальными понятиями (в смысле, который будет уточнен позже), как и следовало ожидать из упражнения 4.31.

Представимые матроиды

Поскольку определение матроида частично мотивировано понятием линейной независимости в векторных пространствах (таких, как \mathbf{R}^n), представляет интерес исследование тех матроидов, которые возникают как векторные матроиды, связанные с некоторым множеством векторов в векторном пространстве. Для данного матроида M на множестве E будем говорить, что он является **представимым над полем F** , если существуют векторное пространство V над F и отображение φ из E в V , обладающее тем свойством, что подмножество A из E независимо в M тогда и только тогда, когда отображение φ взаимно однозначно на A , и $\varphi(A)$ линейно независимо в V . Это означает, что, если игнорировать петли и параллельные элементы, то M изоморфен векторному матроиду, определенному в некотором векторном пространстве над F . Мы также говорим, что M является **представимым матроидом (representable matroid)**, если существует некоторое поле F , такое, что M представим над F .

Оказывается, что некоторые матроиды представимы над каждым полем (**регулярные матроиды**), некоторые не представимы ни над какими полями, а некоторые представимы только над ограниченным классом полей. Особое значение имеют **бинарные матроиды**, которые представимы над полем целых чисел $\{0, 1\}$ по модулю 2. Например, если G — произвольный граф, то его циклический матроид $M(G)$ является бинарным матроидом. Чтобы увидеть это, свяжем с каждым ребром G соответствующую строку матрицы инцидентий G , рассматриваемую как вектор с компонентами 0 или 1. Обратите внимание, что если множество ребер G образует цикл, то сумма (по модулю 2) соответствующих векторов равна 0.

Примером бинарного матроида, не являющегося ни графическим, ни кографическим, является матроид Фано (Fano), описываемый ниже.

Трансверсальные матроиды

Наш следующий пример устанавливает связь между теорией матроидов и теорией трансверсалей. Вспомним из упражнений 6.25, 6.26 и 7.4, что если E — непустое конечное множество, а $\mathcal{F} = (S_1, S_2, \dots, S_m)$ — семейство непустых его подмножеств, то частичные трансверсали \mathcal{F} можно взять в качестве независимых множеств матроида на E , обозначаемого как $M(\mathcal{F})$ или $M(S_1, S_2, \dots, S_m)$. Любой матроид, полученный таким образом (при подходящем выборе E и \mathcal{F}),

называется **трансверсальным матроидом**. Например, описанный выше графический матроид M является трансверсальным матроидом на множестве $\{1, 2, 3\}$, так как его независимые множества являются частичными трансверсальными семействами семейства $\mathcal{F} = (S_1, S_2)$, где $S_1 = \{1\}$, а $S_2 = \{2, 3\}$. Заметим, что ранг подмножества A множества E равен размеру наибольшей частичной трансверсали, содержащейся в A . Пример матроида, не являющегося трансверсальным, приведен в упражнении 7.11.

В качестве примера использования трансверсальных матроидов вспомним из упражнения 6.26, что семейство \mathcal{F} подмножеств E имеет трансверсаль, содержащую данное подмножество A тогда и только тогда, когда \mathcal{F} имеет трансверсаль, а A является частичной трансверсалью \mathcal{F} . Ясно, что эти условия являются необходимыми. Чтобы доказать их достаточность, заметим, что, поскольку A является частичной трансверсалью \mathcal{F} , A является независимым множеством в трансверсальном матроиде M , определяемом \mathcal{F} , и, таким образом, может быть расширено до базы M . Так как \mathcal{F} имеет трансверсаль, каждая база M должна быть трансверсалью \mathcal{F} , откуда немедленно следует требуемый результат. Если вы работали над упражнением 6.26, вы поймете, насколько эти рассуждения проще.

Можно доказать, что каждый трансверсальный матроид представим над некоторым полем, но является бинарным тогда и только тогда, когда является графическим.

Матроид Фано

Матроид Фано F — это матроид, определенный на множестве $E = \{1, 2, 3, 4, 5, 6, 7\}$, базы которого — все подмножества E из трех элементов, кроме $\{1, 2, 4\}$, $\{2, 3, 5\}$, $\{3, 4, 6\}$, $\{4, 5, 7\}$, $\{5, 6, 1\}$, $\{6, 7, 2\}$ и $\{7, 1, 3\}$.

Этот матроид представлен геометрически на рис. 7.4; его базами являются те множества из трех элементов, которые не лежат на одной линии. Можно показать, что F является бинарным и эйлеровым, но не является графическим, кографическим, трансверсальным и регулярным.

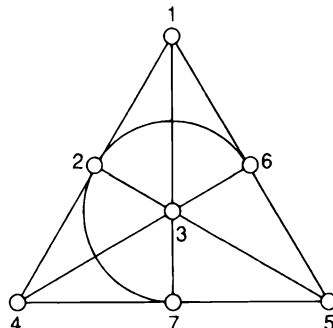


Рис. 7.4

Ограничения и сужения

В теории графов зачастую исследование графа проводится путем изучения его подграфов, или графа, полученного стягиванием некоторых его ребер. Определим соответствующие понятия для матроидов.

Пусть матроид M определен на множестве E и пусть A — подмножество E . Назовем **ограничением** (restriction) матроида M на A (обозначается как $M \times A$) матроид, циклами которого являются те и только те циклы из M , которые содержатся в A . Аналогично определим **сужение** (contraction) матроида M на A (обозначается $M \cdot A$) как матроид, циклы которого получаются взятием минимальных элементов совокупности $\{C_i \cap A\}$, где C_i — циклы матроида M . (Более простое определение дано в упражнении 7.22.) Вы можете самостоятельно убедиться в том, что эти объекты действительно являются матроидами и что они соответствуют графам с удаленными или стянутыми ребрами.

Матроид, полученный из M в результате ограничений и/или сужений, называется **мином** (minor) матроида M . Можно доказать, что если матроид M является графическим, кографическим, бинарным и/или регулярным, то таковым же является и минор M (см. упражнение 7.26).

Упражнения

- 7.8^s. Пусть $E = \{a, b\}$. Покажите, что на E имеются (с точностью до изоморфизма) ровно четыре матроида, и перечислите их базы, независимые множества и циклы.
- 7.9. Пусть $E = \{a, b, c\}$. Покажите, что на E имеются (с точностью до изоморфизма) ровно восемь матроидов, и перечислите их базы, независимые множества и циклы.
- 7.10^s. Пусть G_1 и G_2 — графы, показанные на рис. 7.2.
- 1) Являются ли $M(G_1)$ и $M(G_2)$ трансверсальными матроидами?
 - 2) Являются ли $M^*(G_1)$ и $M^*(G_2)$ трансверсальными матроидами?
- 7.11. Покажите, что $M(K_4)$ не является трансверсальным матроидом.
- 7.12^s. Покажите, что каждый однородный матроид является трансверсальным матроидом.
- 7.13. Покажите, что графические матроиды $M(K_5)$ и $M(K_{3,3})$ не являются кографическими.
- 7.14^s. Опишите циклы матроида Фано.
- 7.15. Пусть M — матроид на множестве E и пусть $A \subseteq B \subseteq E$. Докажите, что $(M \times B) \times A = M \times A$ и $(M \cdot B) \cdot A = M \cdot A$.

7.3. Матроиды и графы

Приступим к изучению дуальности в матроидах. Наша цель — показать, как некоторые наши результаты становятся более естественными, если рассмотреть их в этом свете. Мы увидим, например, что довольно искусственное определение абстрактного дуального планарного графа из раздела 4.3 является прямым следствием соответствующего определения дуальности матроидов. Фактически понятия теории матроидов не только обобщают свои аналоги в теории графов, но иногда и упрощают их.

Дуальность матроидов

Напомним, что мы можем построить матроид $M^*(G)$ на множестве ребер связного графа G , взяв в качестве циклов $M^*(G)$ разрезы G . С учетом теоремы 4.14 разумно определить дуальность матроидов так, чтобы упомянутый матроид был дуален циклическому матроиду $M(G)$.

Это достигается следующим образом. Если M является матроидом на множестве E , определенном в терминах его функции ранга, дуальный матроид M^* для матроида M определен как матроид на E , функция ранга которого r^* задается выражением

$$r^*(A) = |A| + r(E - A) - r(E) \quad \text{для } A \subseteq E.$$

Сначала мы должны проверить, является ли r^* функцией ранга матроида на E .

Теорема 7.2. M^* является матроидом на E .

Доказательство. Проверим свойства $r1$ и $r3$ из раздела 7.1 для функции r^* . Доказательство $r2$ столь же простое (см. упражнение 7.18).

Чтобы доказать свойство $r1$, заметим, что $r(E - A) \leq r(E)$. Следовательно, $r^*(A) \leq |A|$. Кроме того, применив $r3$ к функции r , имеем

$$r(E) + r(\emptyset) \leq r(A) + r(E - A),$$

а следовательно,

$$r(E) - r(E - A) \leq r(A) \leq |A|.$$

Отсюда немедленно вытекает, что $r^*(A) \geq 0$.

Докажем $r3$. Для любых $A, B \subseteq E$ имеем

$$\begin{aligned} r^*(A \cup B) + r^*(A \cap B) &= \\ &= |A \cup B| + |A \cap B| + r(E - (A \cup B)) + r(E - (A \cap B)) - 2r(E) = \\ &= |A| + |B| + r((E - A) \cap (E - B)) + r((E - A) \cup (E - B)) - 2r(E) \leq \\ &\leq |A| + |B| + r(E - A) + r(E - B) - 2r(E) = \quad (\text{применяя } r3 \text{ к } r) \\ &= r^*(A) + r^*(B), \end{aligned}$$

что и требовалось доказать. ■

Хотя приведенное выше определение кажется надуманным, оказывается, как сейчас будет показано, что базы M^* можно очень просто описать в терминах баз M ; этот результат часто используется для определения M^* .

Теорема 7.3. Базами M^* являются дополнения баз M , и только они.

Доказательство. Покажем, что если B^* — база M^* , то $E - B^*$ является базой M ; обратный результат получается путем обращения рассуждений.

Поскольку B^* не зависит от M^* , $|B^*| = r^*(B^*)$, а следовательно, $r(E - B^*) = r(E)$. Остается только доказать, что $E - B^*$ не зависит от M . Но это следует непосредственно из того факта, что $r^*(B^*) = r^*(E)$ (и нужно применить еще указанное выше выражение для r^*). ■

Непосредственным следствием данного выше определения является то, что, в отличие от планарных графов,

каждый матроид имеет дуальный матроид, и этот дуальный матроид единственный.

Из теоремы 7.3 непосредственно следует, что дважды дуальный матроид M^{**} эквивалентен исходному матроиду M . Как мы увидим, этот тривиальный результат является естественным обобщением нетривиальных теорем 4.13 и 4.16 для матроидов.

Циклы и разрезы

Теперь покажем, что матроид разрезов $M^*(G)$ связного графа G дуален циклическому матроиду $M(G)$.

Теорема 7.4. Если G — связный граф, то $M^*(G) = (M(G))^*$.

Доказательство. Поскольку циклы $M^*(G)$ являются разрезами в G , мы должны проверить, что C^* является циклом в $(M(G))^*$ тогда и только тогда, когда C^* является разрезом в G .

Предположим сначала, что C^* является разрезом в G . Если множество C^* не зависит от $(M(G))^*$, то C^* может быть расширено до базы B^* в $(M(G))^*$, так что $C^* \cap (E - B^*)$ пусто. Это противоречит результату теоремы 3.2.1, так как $E - B^*$ является остовным деревом G . Таким образом, C^* является зависимым множеством в $(M(G))^*$ и, следовательно, содержит цикл из $(M(G))^*$.

С другой стороны, если D^* является циклом в $(M(G))^*$, то D^* не содержится ни в одной базе $(M(G))^*$. Отсюда следует, что D^* пересекается с каждой базой $M(G)$, т.е. с каждым остовным деревом графа G . Таким образом, из упражнения 3.32.1 следует, что D^* содержит разрез. Отсюда следует искомым результат. ■

Прежде чем продолжить изложение, введем еще несколько терминов. Мы говорим, что множество элементов матроида M образует **коцикл** (cocycle) M , если это множество является циклом в M^* . Обратите внимание, что, в силу теоремы 7.4, коциклы циклического матроида графа G в точности являются разрезами в G . Аналогично определим **кобазу** (cobase) M как базу M^* с соответствующими определениями **коранга**, **конезависимого множества** и т.д. Будем также называть матроид M **кографическим** тогда и только тогда, когда дуальный ему матроид M^* является графическим. В силу теоремы 7.4 это определение согласуется с приведенным в предыдущем разделе.

Причина введения этой “ко-нотации” в том, что теперь мы можем ограничиться рассмотрением одного матроида M , без необходимости обращаться к M^* . Чтобы проиллюстрировать это, докажем аналог теоремы 3.2.1 для матроидов.

Теорема 7.5. Любой коцикл матроида пересекается со всеми его базами.

Доказательство. Пусть C^* — коцикл матроида M , и предположим, что существует база B матроида M , обладающая тем свойством, что $C^* \cap B$ пусто. Тогда C^* содержится в $E - B$, и потому C^* является циклом M^* , который содержится в базе матроида M^* . Это противоречие и доказывает нужный результат. ■

Следствие 7.6. Каждый цикл матроида пересекается с каждой кобазой.

Доказательство. Применим результат теоремы 7.5 к матроиду M^* . ■

С матроидной точки зрения два утверждения теоремы 3.2 являются дуальными формами одного и того же утверждения. Таким образом, вместо того чтобы доказывать два результата для графов, как нам пришлось делать это в главе 3, “Деревья”, для матроидов достаточно доказать один результат, а затем использовать дуальность. Это экономит время и усилия, а также дает лучшее понимание ряда проблем, встречавшихся ранее в книге.

В качестве дальнейшего примера упрощения вернемся к упражнению 2.46. Прямое доказательство в нем включало два отдельных доказательства: одно — для циклов, другое — для разрезов. Однако если доказать матроидный аналог результата для циклов (сформулированный в разделе 7.1), то он просто применяется к матроиду $M^*(G)$ для получения соответствующего результата для разрезов. И наоборот, можно использовать дуальность для получения результатов для циклов из результатов для разрезов.

Планарные графы

Теперь обратимся к планарным графам и покажем, как определения геометрической и абстрактной дуальности графов являются следствием дуальности матроидов. Дуальность по Уитни, введенная в упражнении 4.43, также является следствием матроидной дуальности, так как уравнение, данное в этом упражнении, является просто переформулировкой выражения для r^* , данного в начале этого раздела.

Начнем с абстрактной дуальности.

Теорема 7.7. Если G^* — абстрактный дуальный граф графа G , то $M(G^*)$ изоморфен к $(M(G))^*$.

Доказательство. Поскольку G^* является абстрактным дуальным графом графа G , существует взаимно однозначное соответствие между ребрами G и G^* , такое, что циклы в G соответствуют разрезам в G^* и наоборот. Из этого немедленно следует, что циклы $M(G)$ соответствуют коциклам $M(G^*)$. Таким образом, согласно теореме 7.4 $M(G^*)$ изоморфен $M^*(G)$. ■

Следствие 7.8. Если G^* — геометрически дуальный граф связного плоского графа G , то $M(G^*)$ изоморфен $(M(G))^*$.

Доказательство. Этот факт следует непосредственно из теорем 7.7 и 4.14. ■

Как отмечалось ранее, планарный граф G может иметь несколько различных дуальных графов, тогда как у матроида может быть только один дуальный ему. Причина этого в том, что, если у графа G есть два (возможно, неизоморфных) дуальных графа, то их циклические матроиды являются изоморфными.

Графические матроиды

В заключение ответим на вопрос “При каких условиях данный матроид M является графическим?” Найти необходимые условия нетрудно. Например, из нашего рассмотрения представимых матроидов в разделе 7.2 следует, что такой

матроид должен быть бинарным. Кроме того, согласно результатам наших обсуждений матроида Фано F и миноров, матроид M не может содержать в качестве миноров ни одного из матроидов $M^*(K_5)$, $M^*(K_{3,3})$, F и F^* . У.Т. Тутте (W.T. Tutte) показал, что эти необходимые условия являются достаточными. Доказательство этого факта слишком сложное, чтобы приводить его здесь (см. [45]).

Теорема 7.9 (Тутте, 1958). Матроид M является графическим тогда и только тогда, когда он является бинарным и не содержит миноров, изоморфных $M^*(K_5)$, $M^*(K_{3,3})$, F или F^* .

Применив теорему 7.9 к M^* и заметив, что матроид, дуальный к бинарному матроиду, является бинарным, мы получаем необходимые и достаточные условия для того, чтобы матроид был кографическим.

Следствие 7.10. Матроид M является кографическим тогда и только тогда, когда он бинарный и не содержит миноров, изоморфных $M^*(K_5)$, $M^*(K_{3,3})$, F или F^* .

Тутте также доказал, что

бинарный матроид регулярен тогда и только тогда, когда не содержит миноров, изоморфных F или F^ .*

Комбинируя этот результат с результатами теоремы 7.9 и следствия 7.10, мы немедленно получаем следующий матроидный аналог теоремы Куратовского (теоремы 4.2).

Теорема 7.11. Матроид является планарным тогда и только тогда, когда он регулярный и не содержит миноров, изоморфных $M(K_5)$, $M(K_{3,3})$ или дуальных им.

Упражнения

- 7.16^с 1) Покажите, что матроид, дуальный дискретному матроиду, является тривиальным.
- 2) Что собой представляет матроид, дуальный k -однородному матроиду на множестве из n элементов?
- 7.17. Найдите матроиды, дуальные восьми матроидам на множестве $E = \{a, b, c\}$, полученным в упражнении 7.9.

- 7.18. Проверьте свойство r_2 из раздела 7.1 для функции r^* .
- 7.19^s. Проверьте результат теоремы 7.4 для графа K_3 .
- 7.20^s. Что собой представляют коциклы и кобазы
- 1) 3-однородного матроида на множестве из девяти элементов;
 - 2) циклических матроидов графов, показанных на рис. 7.2;
 - 3) циклического матроида графа, показанного на рис. 7.3;
 - 4) матроида Фано?
- 7.21. Приведите пример, показывающий, что матроид, дуальный к трансверсальному матроиду, не обязательно должен быть трансверсальным.
- 7.22. Покажите, что суженный матроид $M|A$ является матроидом, коциклы которого являются в точности теми коциклами M , которые содержатся в A .

Проблемы

- 7.23. Рассмотрим матроид на множестве E . Используйте свойства B_1 и B_2 , чтобы доказать, что если $A \subseteq E$, то любые два максимальных независимых подмножества A имеют одинаковое количество элементов.
- 7.24. Сформулируйте и докажите матроидный аналог жадного алгоритма (теорема 3.6).
- 7.25. Пусть E — множество из n элементов. Докажите, что с точностью до изоморфизма
- 1) число матроидов на E не превышает 2^{2^n} ;
 - 2) число трансверсальных матроидов на E не превышает 2^{n^2} .
- 7.26. Докажите, что если матроид M является графическим, кографическим, бинарным и/или регулярным, то таковым же является и любой минор M .
- 7.27. Пусть M — бинарный матроид на множестве E .
- 1) Докажите, что если M является эйлеровым матроидом, то M^* является двудольным.
 - 2) Используйте индукцию по $|E|$, чтобы доказать обратный результат.
 - 3) Рассматривая 5-однородный матроид на множестве из 11 элементов, покажите, что слово “бинарный” не может быть опущено.
(Этот результат обобщает упражнение 4.31.)
- 7.28. Докажите, что если C — цикл, а C^* — коцикл в матроиде, то $|C \cap C^*| \neq 1$.
(Этот результат обобщает результат упражнения 2.47.)

Алгоритмы

В этой книге мы столкнулись с рядом задач и представили систематические методы их решения. Эти задачи включают в себя *поиск кратчайшего пути, поиск критического пути, задачу китайского почтальона, задачу коммивояжера, задачу о минимальном остовном дереве и задачу о сетевом потоке*. Некоторые из представленных алгоритмов были эффективными, в то же время для некоторых других задач эффективные алгоритмы неизвестны. Но что понимается под эффективностью алгоритма?

Алгоритмы и время их работы

Алгоритм представляет собой конечную пошаговую процедуру решения задачи. Его можно рассматривать как черный ящик, в который вы вводите некоторые данные, поворачиваете ручку и получаете на выходе решение задачи. Слово “алгоритм” происходит от имени персидского математика IX века аль-Хорезми, который написал важное арифметическое исследование по индустско-арабским цифрам. Когда эта книга была переведена на латинский язык, начальными словами перевода стали *Dixit algorismus*, а слово *algorism* в средние века стало использоваться для обозначения арифметики.

В своем знаменитом эссе 1798 года о народонаселении Томас Мальтус (Thomas Malthus) противопоставил устойчивый линейный рост производства продовольствия экспоненциальному росту населения. В результате он пришел к выводу что как бы хорошо ни шли дела в краткосрочной перспективе, в долгосрочной перспективе выиграет экспоненциальный рост и возникнет острая нехватка продовольствия — вывод, который был подтвержден на практике.

Аналогичный подход можно применить и для различных алгоритмов, используемых для решения задач. Каждая задача имеет некоторый *размер входных данных n* , например количество городов в транспортной сети, а алгоритм имеет *время работы*, которое может быть временем, за которое компьютер может выполнить все необходимые расчеты, или фактическое число выполняемых вычислений. Обычно время работы зависит от размера входных данных n .

Особенно важными (в силу эффективности) являются алгоритмы с полиномиальным временем работы, в которых максимальное время работы пропорционально степени размера входных данных — скажем, n^2 или n^7 . Совокупность всех задач, которые могут быть решены с помощью алгоритмов с полиномиальным временем работы, называется P .

Существуют также алгоритмы, о которых известно, что они требуют времени работы, большего, чем полиномиальное время, — *алгоритмы с экспоненциальным временем работы*, в которых время выполнения может расти как 2^n или быстрее. Совокупность всех задач, о которых известно, что они не имеют полиномиального алгоритма решения, называется *не-Р*.

Чтобы ощутить различия этих алгоритмов, рассмотрим следующую таблицу, в которой сравниваются времена работы для входных размеров $n = 10$ и $n = 50$ для различных типов алгоритмов, полиномиального и экспоненциального, при работе на компьютере, выполняющем миллион операций в секунду. Обратите внимание, как быстро увеличивается с ростом n время работы экспоненциальных алгоритмов.

	$n = 10$	$n = 50$
n	0,00001 с	0,00005 с
n^2	0,0001 с	0,0025 с
n^3	0,001 с	0,125 с
n^5	0,1 с	5,2 мин
2^n	0,001 с	35,7 лет
3^n	0,059 с	$2,3 \times 10^{10}$ лет

Есть много алгоритмов с полиномиальным временем работы. Их время работы в худшем случае представляет собой некоторую степень от размера входных данных — обычно квадрат или куб. Мы говорим, что время работы алгоритма для решения задачи с графом — $O(n^k)$, если оно не больше, чем n^k , умноженное на постоянный множитель, где n представляет собой размер входных данных (обычно количество вершин графа). В качестве примеров можно указать следующие алгоритмы:

- *задача о кратчайшем пути* — $O(n^2)$;
- *задача китайского почтальона* — $O(n^3)$;
- *поиск эйлеровой цепи* (алгоритм Флёрн) — $O(m)$, где m — количество ребер;
- *поиск минимального остовного дерева* — $O(n^2)$;
- *задача о планарном графе* (является ли данный граф планарным) — $O(n)$.

Таким образом, *Р* представляет собой совокупность “простых” задач, которые можно решить с помощью алгоритма с полиномиальным временем работы. С другой стороны, есть несколько задач, для которых не был найден

полиномиальный алгоритм, например *задача коммивояжера*. Но если предложен некоторый возможный маршрут коммивояжера, то за полиномиальное время можно проверить, является ли он циклическим маршрутом и не превышает ли его длина известный минимум. В общем случае совокупность недетерминистических проверяемых за полиномиальное время задач — т.е. задач, решения которых, будучи представленными, могут быть проверены за полиномиальное время — носит название *NP*. Так что задача коммивояжера принадлежит *NP*.

Вопрос $P=NP$

Очевидно, что *P* является подмножеством *NP*, так как если проблема может быть решена за полиномиальное время, то и решение может быть проверено за полиномиальное время. Но как они соотносятся на самом деле? Не эквивалентны ли эти совокупности? $P=NP$? Это кажется маловероятным — по сути, мало кто верит, что они эквивалентны, но это не было доказано и является одной из основных нерешенных математических проблем с премией за ее решение в 1 миллион долларов.

В 1971 году Стивен Кук (Stephen Cook) из Университета Торонто написал короткую, но фундаментальную статью *Сложность процедур доказательства теорем*, в которой рассмотрел частную *NP*-задачу под названием *задача выполнимости* и доказал удивительный результат, что любая другая *NP*-задача может быть преобразована в данную за полиномиальное время. Это означает, что путем трансформации через задачу выполнимости

любая NP-задача может быть преобразована в любую другую NP-задачу за полиномиальное время.

Так что, если *задача выполнимости* принадлежит *P*, то этому множеству принадлежат и все задачи в *NP*, так что $P=NP$. Но если задача выполнимости в *P* не входит, то $P \neq NP$. Таким образом, ответ на вопрос " $P=NP$?" зависит от того, сможем ли мы найти полиномиальный алгоритм хотя бы для одной задачи. Но такая задача не одна — есть тысячи задач на выбор!

Мы говорим, что задача является *NP-полной* (*NP-complete*), если ее решение за полиномиальное время означает, что любая *NP*-задача может быть решена за полиномиальное время. К таким задачам относятся задача выполнимости, задача коммивояжера и тысячи других. Если бы можно было найти полиномиальный алгоритм только для одной из них, то полиномиальные алгоритмы существовали бы для всех этих задач, а множество *P* совпадало бы с множеством *NP*. С другой стороны, если бы можно было доказать, что у одной из задач не может существовать полиномиального алгоритма, то ни у одной из остальных задач также не может существовать полиномиальный алгоритм решения и *P* будет отличаться от *NP*.

Примеры NP -полных задач включают в себя следующие.

- Задача коммивояжера.
- Задача изоморфизма (являются ли два заданных графа изоморфными?).
- Задача о гамильтоновом цикле (имеет ли данный граф гамильтонов цикл?).
- Задача 3-раскрашиваемости (является ли данный граф 3-раскрашиваемым?).

Приложение 2

Количества графов

В этой таблице указано количество графов и ориентированных графов различных типов с n вершинами для $n \leq 8$. Числа, большие 10^8 , даны с двумя значащими цифрами.

<i>Типы графов</i>	$n =$	1	2	3	4	5	6	7	8
Простые графы		1	2	4	11	34	156	1044	12346
Связные простые графы		1	1	2	6	21	112	853	11117
Эйлеровы простые графы		1	0	1	1	4	8	37	184
Гамильтоновы простые графы		1	0	1	3	8	48	383	6020
Деревья		1	1	1	2	3	6	11	23
Маркированные деревья		1	1	3	16	125	1296	16807	262144
Простые орграфы		1	3	16	218	9608	1540944	$8,8 \times 10^8$	$1,8 \times 10^{12}$
Связные простые орграфы		1	2	13	199	9364	1530843	$8,8 \times 10^8$	$1,8 \times 10^{12}$
Сильно связанные простые орграфы		1	1	5	83	5048	1047008	$7,1 \times 10^8$	$1,6 \times 10^{12}$
Турниры		1	1	2	4	12	56	456	6880

Условные обозначения

“У меня получился маленький список”.

У.Ш. Гильберт (W.S. Gilbert)

A	Матрица смежности	M	Матроид
$A(D)$	Семейство дуг D	M^*	Дуальный матроид
B	База M	$M \cdot A$	Сужение матроида
B	Множество баз матроида	$M \times A$	Ограничение матроида
C_n	Циклический граф	$M(G)$	Циклический матроид
C	Множество циклов матроида	$M(S_1, \dots, S_m)$	Трансверсальный матроид
$cr(G)$	Число пересечений в G	n	Количество вершин
D	Ориентированный граф	N_n	Нулевой граф
$deg(v)$	Степень v	$P_G(k)$	Хроматический полином G
E	Непустое конечное множество	P_n	Цепь
$E(G)$	Множество ребер G	Q_k	k -куб
f	Количество граней	r	Функция ранга M
F	Матроид Фано	r^*	Функция ранга M^*
\mathcal{F}	Семейство подмножеств	$t(G)$	Толщина G
g	Род	T	Дерево
G	Граф	u, v, w, z	Вершины G
\bar{G}	Дополнение G	$v_0 \rightarrow \dots \rightarrow v_m$	Маршрут, цепь или путь
G^*	Граф, дуальный к G	$V(D)$	Множество вершин ориентированного графа D
$G(V_1, V_2)$	Двудольный граф	$V(G)$	Множество вершин графа G
$G_1 \cup G_2$	Объединение графов	W_n	Колесо
I	Независимое множество	$\alpha, \beta, \gamma, \delta$	Цвета
\mathcal{J}	Множество независимых множеств матроида	$\gamma(G)$	Циклический ранг G
k	Количество компонентов	Δ	Наибольшая степень вершины G
K_n	Полный граф	$\kappa(G)$	Связность G
$K_{r,s}$	Полный двудольный граф	$\lambda(G)$	Реберная связность G
$K_{r,s,t}$	Полный трехдольный граф	$\xi(G)$	Ранг разреза G
$L(G)$	Реберный граф	$\chi(G)$	Хроматическое число G
m	Количество ребер	$\chi'(G)$	Хроматический индекс G

Список литературы

“Много книг составлять — конца не будет,
И много читать утомительно для плоти”.

Экклезиаст

Хотя мы почти достигли конца этой книги, мы никоим образом не достигли конца предмета. Мы надеемся, что вы продолжите изучение теории графов, и по этой причине предлагаем возможные направления для дальнейшего чтения.

Другие книги вводного уровня

1. Joan M. Aldous and Robin J. Wilson, *Graphs and Applications: An Introductory Approach* (with CD-ROM), Springer, 2000.
2. V. K. Balakrishnan, *Theory and Problems of Graph Theory*, Schaum's Outline Series, 2004.
3. Gary Chartrand, *Introductory Graph Theory*, Dover, 1984.
4. John Clark and Derek A. Holton, *A First Look at Graph Theory*, World Scientific, 1991.
5. Daniel A. Markus, *Graph Theory: A Problem Oriented Approach*, MAA Textbooks, Mathematical Association of America, 2008.
6. O. Ore, *Graphs and their Uses*, 2nd edn., New Mathematical Library 10, Mathematical Association of America, 1990.
7. Richard J. Trudeau, *Introduction to Graph Theory*, 2nd edn., Dover Books on Advanced Mathematics, 1994.
8. W. D. Wallis, *A Beginner's Guide to Graph Theory*, Birkhäuser, 2007.

Более сложные книги по теории графов

9. C. Berge, *Graphs*, North-Holland, 1985.
10. J. A. Bondy and U. S. R. Murty, *Graph Theory*, Springer, 2008.
11. G. Chartrand and L. Lesniak, *Graphs & Digraphs*, 4th edn., Chapman & Hall/CRC Press, 2004.
12. Jonathan Gross and Jay Yellen, *Graph Theory and its Applications*, CRC Press, 1998.
13. Jonathan Gross and Jay Yellen, *Handbook of Graph Theory*, CRC Press, 2003.
14. F. Harary, *Graph Theory*, Addison-Wesley, 1969.
15. O. Ore, *Theory of Graphs*, American Mathematical Society Colloquium Publications XXXVIII, 1962.
16. Douglas B. West, *Introduction to Graph Theory*, 2nd edn., Prentice Hall, 2000.

Исторический подход к предмету, включая переводы многих оригинальных источников, дан в

17. N. L. Biggs, E. K. Lloyd and R. J. Wilson, *Graph Theory 1736–1936*, rev. edn., Oxford University Press, 1998.

Изображения и таблицы с более чем 10000 графов можно найти в

18. R. C. Read and R. J. Wilson, *An Atlas of Graphs*, Oxford University Press, 1998.

Приложения теории графов и использование алгоритмов обсуждаются в следующих книгах.

19. L. W. Beineke and R. J. Wilson (eds), *Graph Connections*, Oxford University Press, 1997.
20. G. Chartrand and O. R. Oellermann, *Applied and Algorithmic Graph Theory*, McGraw-Hill, 1993.
21. N. Deo, *Graph Theory with Applications to Engineering and Computer Science*, Pearson Education, 2001.
22. A. K. Dolan and J. Aldous, *Networks and Algorithms: An Introductory Approach*, Wiley-Interscience, 1993.
23. A. Gibbons, *Algorithmic Graph Theory*, Cambridge University Press, 1985.
24. E. L. Lawler, *Combinatorial Optimization, Networks and Matroids*, Dover, 2001.
25. F. S. Roberts, *Discrete Mathematical Models, with Applications to Social, Biological and Environmental Problems*, Prentice Hall, 1976.
26. A. Tucker, *Applied Combinatorics*, 4th edn., Wiley, 2001.

Вводные книги по комбинаторике и теории трансверселей

27. I. Anderson, *A First Course in Combinatorial Mathematics*, 2nd edn., Oxford University Press, 1989.
28. N. Biggs, *Discrete Mathematics*, 2nd edn., Oxford University Press, 2002.
29. Kenneth P. Bogart, *Introductory Combinatorics*, Brooks Cole, 2000.
30. V. Bryant, *Aspects of Combinatorics*, Cambridge University Press, 1993.
31. J. H. van Lint and R. M. Wilson, *A Course in Combinatorics*, 2nd edn., Cambridge University Press, 2001.

Специализированные книги по некоторым темам этой книги

32. Jørgen Bang-Jensen and Gregory Gutin, *Digraphs: Theory, Algorithms and Applications*, 2nd edn., Springer, 2008.
33. L. W. Beineke and R. J. Wilson (eds.), *Selected Topics in Graph Theory 1, 2, 3*, Academic Press, 1978, 1983, 1987.

34. L. W. Beineke and R. J. Wilson (eds.), *Topics in Topological Graph Theory*, Cambridge University Press, 2008.
35. S. Fiorini and R. J. Wilson, *Edge-Colourings of Graphs*, Research Notes in Mathematics 16, Pitman, 1977.
36. Ronald L. Graham, Martin Grötschel and László Lovász (eds.), *Handbook of Combinatorics* (2 vols.), MIT Press, 2003.
37. J. L. Gross and T. W. Tucker, *Topological Graph Theory*, Wiley-Interscience, 1987.
38. Tommy R. Jensen and Bjarne Toft, *Graph Coloring Problems*, Wiley-Interscience, 1995.
39. László Lovász and Michael D. Plummer, *Matching Theory*, American Mathematical Society, Vol. 367, Chelsea, 2009.
40. J. W. Moon, *Counting Labelled Trees*, Canadian Mathematical Congress, 1970.
41. J. W. Moon, *Topics on Tournaments*, Holt, Rinehart and Winston, 1968.
42. James G. Oxley, *Matroid Theory*, Oxford University Press, 1993.
43. George Polya and R. C. Read, *Combinatorial Enumeration of Groups, Graphs, and Chemical Compounds*, Springer, 1987.
44. G. Ringel, *Map Color Theorem*, Springer, 1974.
45. D. J. A. Welsh, *Matroid Theory*, Academic Press, 1976.
46. Robin Wilson, *Four Colours Suffice*, Allen Lane, 2002.

Уникальная книга математических воспоминаний одного из ведущих ученых XX века в области теории графов

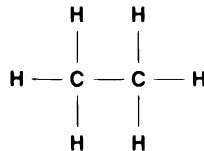
47. W. T. Tutte, *Graph Theory as I have Known it*, Oxford University Press, 1998.

Рано или поздно вам может понадобиться обратиться к математическим журналам, а не к книгам. Теории графов и смежным областям посвящены многие журналы, такие как *Journal of Graph Theory*, *Journal of Combinatorial Theory*, *European Journal of Combinatorics*, *Ars Combinatoria* и *Discrete Mathematics*.

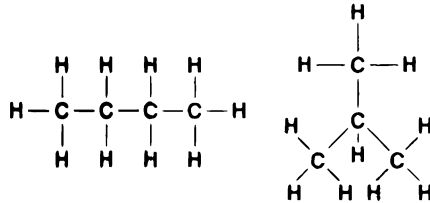
Решения к избранным упражнениям

Введение

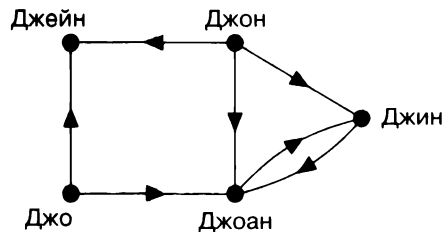
- 0.1. 1) Имеется пять вершин и восемь ребер; вершины P и T имеют степень 3, вершины Q и S имеют степень 4, а вершина R имеет степень 2.
- 2) Имеется шесть вершин и пять ребер; вершины A, B, E и F имеют степень 1, а вершины C и D — степень 3.
- 0.3. 1) Каждый атом углерода имеет степень 4, а каждый атом водорода — степень 1.
- 2) Граф имеет следующий вид.



- 3) Графы имеют следующий вид.



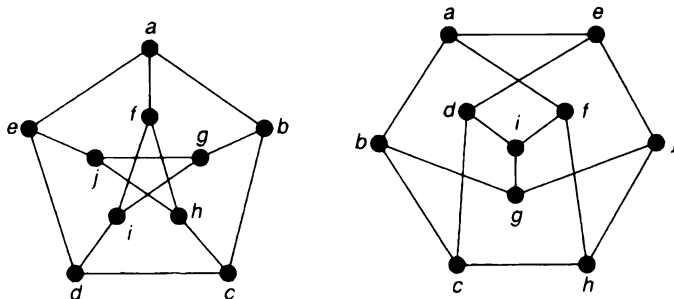
- 0.5. Ориентированный граф можно изобразить так.



Глава 1, “Определения и примеры”

- 1.1 $V(G) = \{u, v, w, x, y, z\}$ и $E(G) = \{ux, uy, uz, vx, vy, vz, wx, wy, wz\}$;
 $V(G) = \{l, m, n, p, q, r\}$ и $E(G) = \{lp, lq, lr, mp, mq, mr, np, nq, nr\}$.

1.4. Вершины можно маркировать следующим образом.



1.5. В первом графе нет вершин степени 2, являющихся смежными; во втором графе они смежны в парах. Поскольку изоморфизм сохраняет смежность вершин, графы не изоморфны.

1.8. 1) граф 12; 2) граф 27; 3) граф 30.

1.11. Граф 5: последовательность степеней (1, 1, 1, 3); сумма степеней — 6; количество ребер — 3.

Граф 6: последовательность степеней (1, 1, 2, 2); сумма степеней — 6; количество ребер — 3.

Граф 7: последовательность степеней (1, 2, 2, 3); сумма степеней — 8; количество ребер — 4.

Граф 8: последовательность степеней (2, 2, 2, 2); сумма степеней — 8; количество ребер — 4.

Граф 9: последовательность степеней (2, 2, 3, 3); сумма степеней — 10; количество ребер — 5.

Граф 10: последовательность степеней (3, 3, 3, 3); сумма степеней — 12; количество ребер — 6.

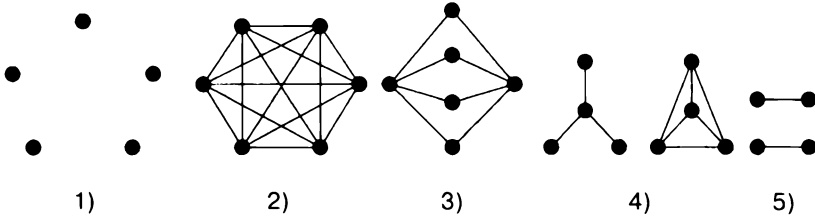
В каждом случае сумма степеней представляет собой удвоенное количество ребер.

1.16. Циклы с пятью и шестью вершинами.

1.20.

$$A = \begin{pmatrix} 0 & 1 & 0 & 0 & 1 \\ 1 & 0 & 1 & 0 & 1 \\ 0 & 1 & 0 & 2 & 0 \\ 0 & 0 & 2 & 0 & 1 \\ 1 & 1 & 0 & 1 & 0 \end{pmatrix}, \quad M = \begin{pmatrix} 1 & 1 & 0 & 0 & 0 & 0 & 0 \\ 0 & 1 & 1 & 0 & 1 & 0 & 0 \\ 0 & 0 & 0 & 0 & 1 & 1 & 1 \\ 0 & 0 & 0 & 1 & 0 & 1 & 1 \\ 1 & 0 & 1 & 1 & 0 & 0 & 0 \end{pmatrix}.$$

1.25.

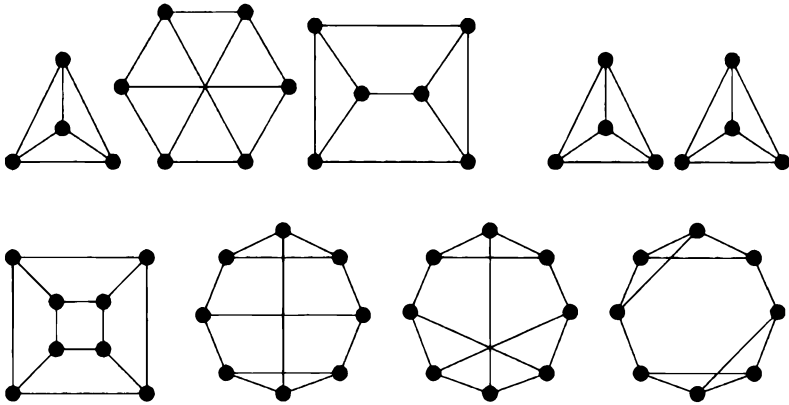


1.26. Регулярные графы: 1, 2, 4, 8, 10, 18, 31.

Двудольные графы: 2, 3, 5, 6, 8, 11, 12, 13, 17, 23.

1.27. 1) 45; 2) 35; 3) 32; 4) 14; 5) 15.

1.32. Имеется восемь таких графов.



1.35. $V(D) = \{u, v, w, z\}$ и $A(D) = \{uv, vw, wu, wv, zw\}$.

1.37. Первый и последний ориентированные графы.

1.39. Сумма полустепеней исхода — $1 + 3 + 2 + 1 =$ количество дуг $= 7$.

Сумма полустепеней захода — $1 + 3 + 3 + 0 =$ количество дуг $= 7$.

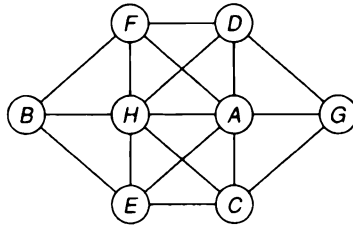
1.41.

$$\begin{pmatrix} 0 & 1 & 0 & 0 \\ 0 & 1 & 2 & 0 \\ 1 & 1 & 0 & 0 \\ 0 & 0 & 0 & 1 \end{pmatrix}$$

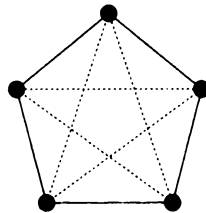
1.45. 1) Бесконечная квадратная решетка, или “бесконечная звезда”, получаемая путем соединения начала координат с бесконечно большим количеством точек на единичной окружности;

2) бесконечная гексагональная решетка.

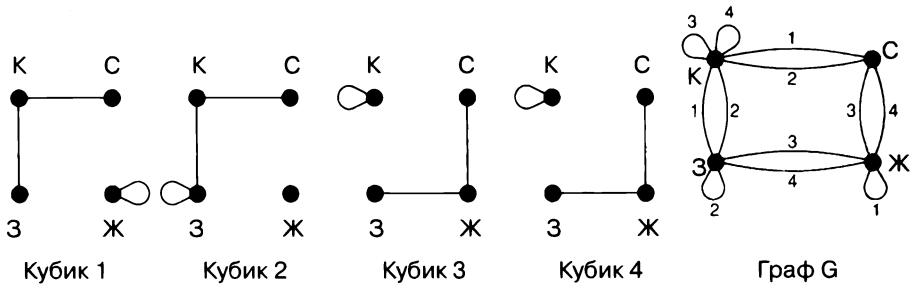
1.47. Существует несколько возможных решений, и все они являются модификациями решения, приведенного в тексте. Одним из них является следующее.



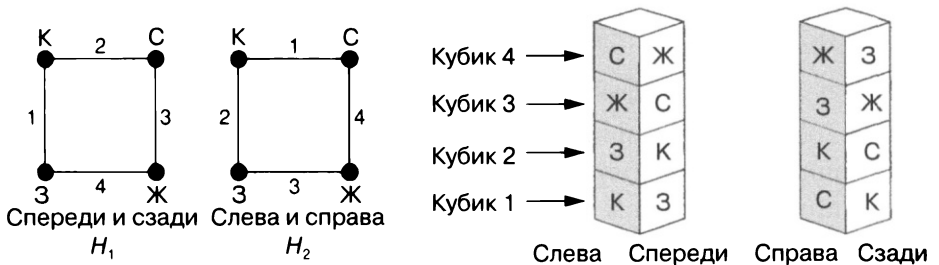
1.48. Такая группа показана на приведенной далее диаграмме, где сплошные и пунктирные линии имеют тот же смысл, что и в тексте раздела.



1.49. Используя метод, описанный в тексте раздела, получаем следующие графы.

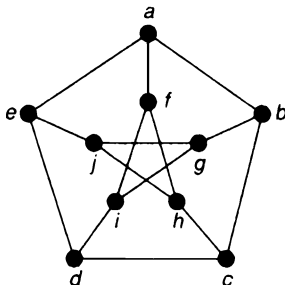


Пара подграфов H_1 и H_2 и соответствующее решение показаны ниже; имеется и несколько других решений.



Глава 2, “Пути и циклы”

2.1.



Имеется много возможностей, например:

- 1) $a \rightarrow b \rightarrow c \rightarrow d \rightarrow e \rightarrow j$;
- 2) $a \rightarrow b \rightarrow c \rightarrow d \rightarrow e \rightarrow j \rightarrow h \rightarrow f \rightarrow i \rightarrow g$;
- 3) $a \rightarrow b \rightarrow c \rightarrow d \rightarrow e \rightarrow a$;
 $a \rightarrow b \rightarrow c \rightarrow d \rightarrow i \rightarrow f \rightarrow a$;
 $a \rightarrow b \rightarrow c \rightarrow d \rightarrow e \rightarrow j \rightarrow h \rightarrow f \rightarrow a$;
 $a \rightarrow b \rightarrow c \rightarrow d \rightarrow e \rightarrow j \rightarrow g \rightarrow i \rightarrow f \rightarrow a$;
- 4) $\{ab, ae, af\}, \{ab, af, de, ej\}, \{ab, af, cd, di, ej\}$.

2.3. 1) 3; 2) 4; 3) 8; 4) 3; 5) 4; 6) 5; 7) 5.

2.5. Пусть G — несвязный граф и пусть v и w — вершины G . Если v и w находятся в разных компонентах G , то они смежны в \bar{G} . Если v и w находятся в одном и том же компоненте G , а z — в другом компоненте, то $v \rightarrow z \rightarrow w$ является путем в \bar{G} . В обоих случаях любые две вершины могут быть связаны путем в \bar{G} , а значит, граф \bar{G} связный.

2.6. 1) $\kappa = \lambda = 2$; 2) $\kappa = \lambda = 3$; 3) $\kappa = \lambda = 4$; 4) $\kappa = \lambda = 4$.

2.14. Рассмотрите бесконечную звезду из решения к упражнению 1.45.1.

2.15. 1) Эйлеров; 2) полуэйлеров; 3) никакой; 4) эйлеров; 5) никакой.

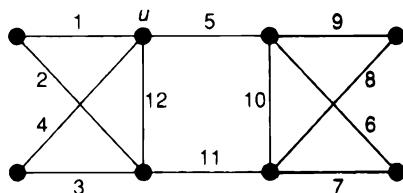
2.16. Эйлеровы графы: 1, 4, 8, 18, 21, 25, 31;

полуэйлеровы графы: 2, 3, 6, 7, 9, 13, 14, 16, 17, 19, 22, 23, 26, 28, 30.

2.19. 1) Требуется как минимум $k/2$ цепей, чтобы “использовать” все k вершин нечетной степени. Если теперь добавить к G $k/2$ ребер и соединить эти вершины в пары, то получится эйлеров граф G' . Мы получаем требуемые $k/2$ цепи, записывая эйлерову цепь для G' , а затем опуская добавленные ребра.

2) четыре.

2.20. Имеется несколько возможных решений; например, обход ребер в порядке, указанном на следующей диаграмме.



2.22. *aedabdcbea*.

2.27. 1) Гамильтонов; 2) полугамильтонов; 3) гамильтонов; 4) гамильтонов; 5) гамильтонов.

2.28. Гамильтоновы: 1, 4, 8, 9, 10, 18, 22, 26, 27, 28, 29, 30, 31;
полугамильтоновы: 2, 3, 6, 7, 13, 15, 16, 17, 19, 20, 21, 23, 24, 25.

2.33. Полный двудольный граф $K_{(n/2)-1, (n/2)+1}$ для четного n и $K_{(n-1)/2, (n+1)/2}$ — для нечетного.

2.35. *aecbda*.

2.36. Перманентными метками являются

$$l(A) = 0, l(B) = 30, l(D) = 36, l(C) = 48, l(F) = 58, l(E) = 69, l(G) = 77.$$

Кратчайшим путем длиной 77 является

$$A \rightarrow B \rightarrow D \rightarrow C \rightarrow F \rightarrow E \rightarrow G.$$

2.39. $G, 12$; $E, 10$; $B, 6$.

2.41. Удвоение ребер вдоль пути

$$B \rightarrow D \rightarrow E \rightarrow A \rightarrow C$$

дает решение с общим весом 24.

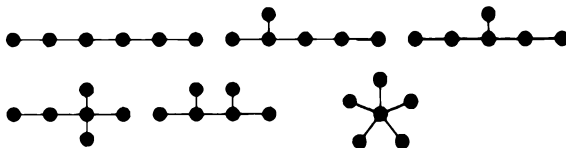
2.42. Искомый гамильтонов цикл с общим весом 14:

$$A \rightarrow B \rightarrow C \rightarrow E \rightarrow D \rightarrow A.$$

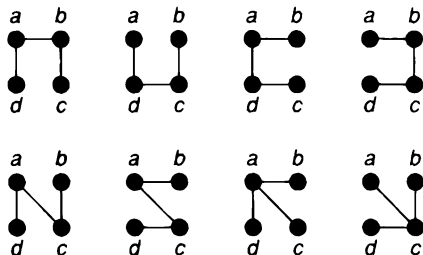
Глава 3, “Деревья”

3.1. Деревья: 1, 2, 3, 5, 6, 11, 12, 13.

3.2.



3.5.

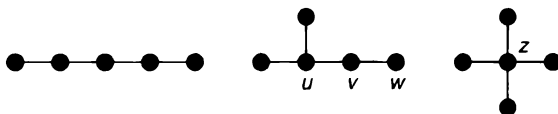


3.7. Циклы: $abcdea$, $abca$, $abcd$, cdc ;

Разрезы: $\{ab, ac, ad, ae\}$, $\{ac, ad, ae, bc\}$, $\{ad, ae, cd, cd\}$, $\{ae, de\}$.

3.9. 1) Это мост; 2) это петля.

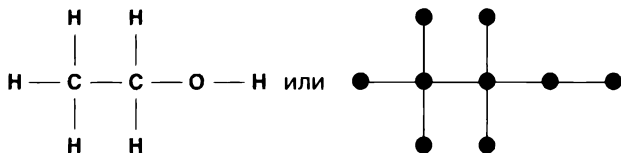
3.12. Существует три немаркированных дерева с пятью вершинами.



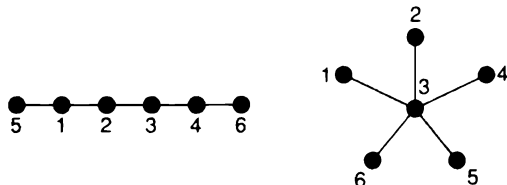
Первое дерево можно маркировать $(5!)/2 = 60$ способами; второе дерево может быть маркировано $5 \times 4 \times 3 = 60$ способами, соответствующими 60 возможным вариантам выбора u , v и w ; третье дерево может быть маркировано 5 способами, соответствующими 5 возможным выборам z . Таким образом, общее количество равно $60 + 60 + 5 = 125$.

3.14. Этот граф является связным графом с

$n + (2n + 1) + 1 + 1 = 3n + 3$ вершинами и $\{4n + (2n + 1) + 2 + 1\}/2$ ребрами и, по теореме 3.1.1, является деревом.

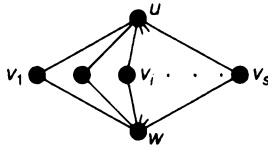


3.15. 1)



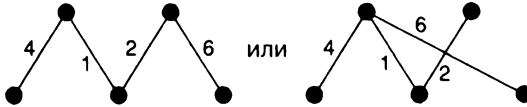
2) $(4, 4, 4, 1)$ и $(4, 2, 2, 4)$.

3.18.



Каждое остовное дерево в $K_{2 \times s}$ содержит одно из ребер uv_i и v_iw для каждого i вместе с одним дополнительным ребром. Таким образом, количество остовных деревьев равно $2^{s \times s/2} = s2^{s-1}$.

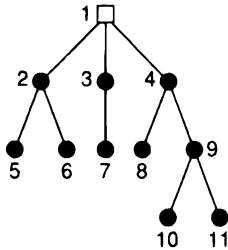
3.20. Мы получим одно из двух взвешенных деревьев с общим весом 13.



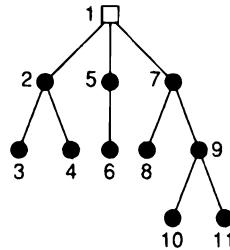
3.24. Вершина A: $15 + (2 + 4) = 21$; вершина B: $17 + (2 + 3) = 22$;

Вершина D: $15 + (3 + 4) = 22$; вершина E: $12 + (5 + 6) = 23$.

3.25. Мы получаем следующие маркированные деревья, метки которых соответствуют порядку посещения вершин.

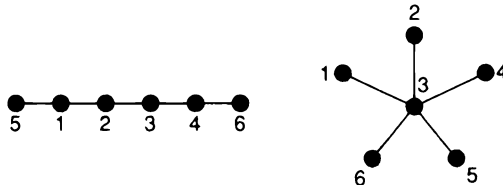


Поиск в ширину



Поиск в глубину

3.27.



Поскольку двудольный граф связан, каркас является жестким.

Граф содержит цикл, поэтому укрепление скобами не является минимальным.

3.30. Фундаментальными уравнениями циклов являются:

$$\begin{aligned} VWZYXV : i_1 + i_3 - i_6 + i_7 = 12; & \quad VWZV : i_3 + i_5 + i_7 = 0; \\ VWZYV : -i_2 + i_3 - i_6 + i_7 = 0; & \quad WZYW : -i_4 - i_6 + i_7 = 0. \end{aligned}$$

Уравнения для вершин:

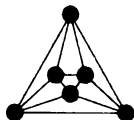
$$V : i_1 + i_5 = i_2 + i_3; \quad W : i_3 = i_4 + i_7; \quad X : i_0 = i_1; \quad Y : i_0 + i_6 = i_2 + i_4; \quad Z : i_5 = i_6 + i_7.$$

Эти уравнения имеют решение

$$i_0 = i_1 = 8, \quad i_2 = 4, \quad i_3 = i_4 = 2, \quad i_5 = i_6 = -2, \quad i_7 = 0.$$

Глава 4, "Планарность"

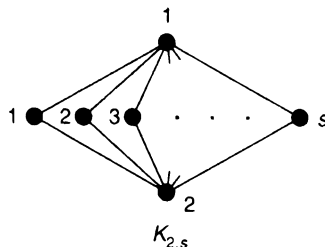
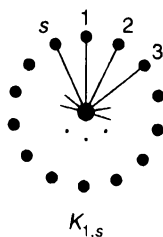
4.1.



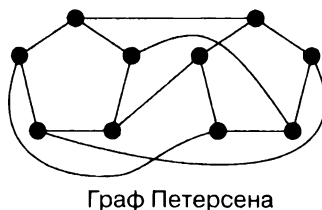
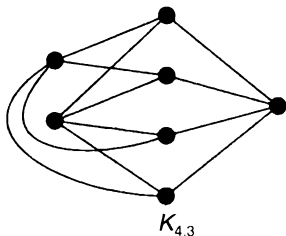
4.3. Нет, поскольку граф $K_{3,3}$ не является планарным.

4.4. Полный граф K_n является планарным при $n \leq 4$.

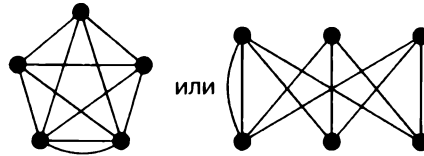
Полный двудольный граф $K_{r,s}$ ($r \leq s$) является планарным при $r = 1$ или 2, что продемонстрировано на следующих диаграммах.



4.6. Приведенные далее диаграммы показывают, как можно изобразить эти графы с двумя пересечениями. Немного поэкспериментировав, вы должны убедиться, что изображение только с одним пересечением невозможно.



4.8. 1) и 2).



Хотя эти графы не являются гомеоморфными или стягиваемыми к K_5 или $K_{3,3}$, каждый из них содержит *подграф*, гомеоморфный или стягиваемый к K_5 или $K_{3,3}$.

4.13. 1) $n = 8, m = 14, f = 8$ и $8 - 14 + 8 = 2$;

2) $n = 6, m = 12, f = 8$ и $6 - 12 + 8 = 2$;

3) $n = 9, m = 15, f = 8$ и $9 - 15 + 8 = 2$;

4) $n = 9, m = 14, f = 7$ и $9 - 14 + 7 = 2$.

4.15. 1) Поскольку обхват G равен 5, имеем $5f \leq 2m$.

Объединяя это неравенство с формулой Эйлера $n - m + f = 2$, получаем требуемое неравенство. Если бы граф Петерсена был планарным, то это неравенство принимало бы вид $15 \leq 40/3$, что неверно. Таким образом, граф Петерсена не является планарным.

2) Если G имеет обхват r , то $rf \leq 2m$.

Объединяя это неравенство с формулой Эйлера, получаем неравенство $m \leq r(n-2)/(r-2)$.

4.18. 1) Если G имеет n вершин, m ребер и f граней, то

$$f = C_3 + C_4 + C_5 + C_6 + \dots,$$

$$2m = 3C_3 + 4C_4 + 5C_5 + 6C_6 + \dots,$$

$$3n = 3C_3 + 4C_4 + 5C_5 + 6C_6 + \dots$$

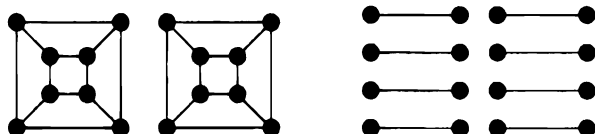
Подстановка этих выражений для f , m и n в формулу Эйлера дает требуемый результат.

2) Поскольку $C_3 = C_4 = C_7 = C_8 = \dots = 0$, выводим, что $C_5 = 12$.

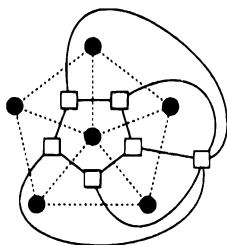
3) Если у G нет грани, ограниченной не более чем пятью ребрами, то $C_3 = C_4 = C_5 = 0$ и левая сторона равенства отрицательна, что является противоречием.

4.20. 1) Поскольку граф Петерсена не планарный, его толщина равна не менее 2. Но граф Петерсена может быть получен путем наложения двух планарных графов, таких как внешний пятиугольник и “спицы”, а также внутренний пятиугольник. Таким образом, граф Петерсена имеет толщину 2.

2) Q_4 не является планарным, как видно из следствия 4.8.2. Таким образом, его толщина равна по крайней мере 2. Но Q_4 можно получить путем наложения двух планарных графов, как показано на диаграмме ниже. Таким образом, Q_4 имеет толщину 2.



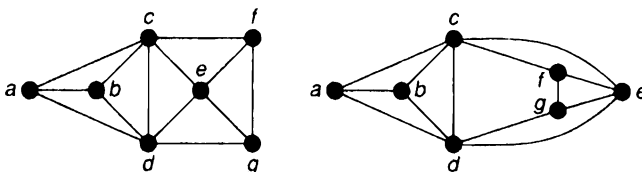
4.22.



$$n^* = f = 6, \quad m^* = m = 10, \quad f^* = n = 6.$$

4.26. Если бы такой плоский граф существовал, то дуальный к нему граф был бы плоским графом с пятью взаимно смежными вершинами. Поскольку граф K_5 не планарный, это невозможно.

4.27.



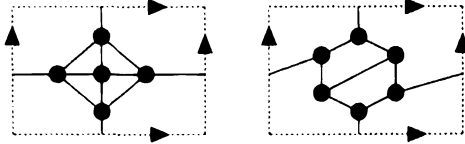
Приведенная выше маркировка показывает, что данные графы изоморфны. В дуальных графах все степени вершин равны 3 или 5 слева, и 3 или 4 справа, поэтому дуальные графы не изоморфны.

4.29. Если G — простой плоский граф, в котором каждая вершина имеет степень 5 или 6, то G имеет по крайней мере 12 вершин степени 5; если, кроме того, каждая грань является треугольником, то G имеет ровно 12 вершин степени 5.

4.30. Если граф G трехсвязный, то у G нет вершин степени 1 или 2 и, следовательно, G^* не имеет петель или кратных ребер, а следовательно, он представляет собой простой граф.

4.31. Если граф G является двудольным, то каждый цикл G имеет четную длину, и, таким образом, каждый разрез G^* имеет четное количество ребер; в частности, каждая вершина G^* имеет четную степень, и, таким образом, граф G^* — эйлеров. Обратное доказательство получается путем обращения приведенной аргументации.

4.33.



4.35. 1) $g(K_7) = \lceil (7-3)(7-4)/12 \rceil = 1$;

$$g(K_{11}) = \lceil (11-3)(11-4)/12 \rceil = \lceil 56/12 \rceil = 5.$$

2) K_8 , поскольку $g(K_8) = \lceil (8-3)(8-4)/12 \rceil = \lceil 20/12 \rceil = 2$.

4.37. 1) Граф октаэдра.

2) Для такого графа $4n = 2m = 3f$. Из теоремы 4.19 следует, что

$$m/2 - m + 2m/3 = 2 - 2g,$$

и, таким образом, значение $m = 12(1 - g)$ является отрицательным. Данное противоречие показывает, что такой граф существовать не может.

Глава 5, “Раскраска графов”

5.1. 2 и 4.

5.3. 2-хроматические: 2, 3, 5, 6, 8, 11, 12, 13, 17, 23;

3-хроматические: 4, 7, 9, 14, 15, 16, 18, 19, 20, 21, 22, 25, 26, 27, 29;

4-хроматические: 10, 24, 28, 30.

5.5. 1) Верхняя граница — 3, хроматическое число — 3;

2) верхняя граница — k , хроматическое число — 2.

5.7. Если c_i — число вершин, раскрашенных в цвет i , для $1 \leq i \leq \chi(G)$, то $c_i \leq n - d$. Таким образом, $n \leq c_1 + c_2 + \dots + c_{\chi(G)} \leq \chi(G) \times (n - d)$, и, таким образом, $\chi(G) \geq n/(n - d)$.

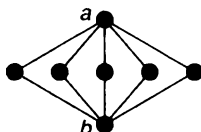
5.9. 1) $k(k-1)(k-2)(k-3)(k-4)(k-5)$;

2) $k(k-1)^5$.

K_6 может быть раскрашен семью цветами $7 \times 6 \times 5 \times 4 \times 3 \times 2 = 5040$ способами;

$K_{1,5}$ может быть раскрашен семью цветами $7 \times 6^5 = 54\,432$ способами.

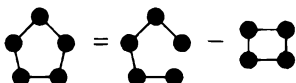
5.12. 1)



Если вершины a и b имеют одинаковый цвет, то существует $k(k-1)^5$ раскрасок; если у них разные цвета, раскрасок $k(k-1)(k-2)^5$. Таким образом,

$$P_G(k) = k(k-1)^5 + k(k-1)(k-2)^5.$$

2) По теореме 5.6 имеем



$$= k(k-1)^4 - k(k-1)(k^2 - 3k + 3) = k(k-1)(k^3 - 4k^2 + 6k - 4).$$

5.16. 1) Поскольку

$$k(k-1)^{n-1} = k^n - (n-1)k^{n-1} + \dots + (-1)^{n-1}k,$$

G имеет n вершин, $n-1$ ребер и один компонент.

Из теоремы 3.1.3 следует, что G является деревом с n вершинами.

2) Поскольку $P_G(k) = k(k-1)^4$, граф G должен быть деревом с пятью вершинами, т.е.



5.17. 2 и 4.

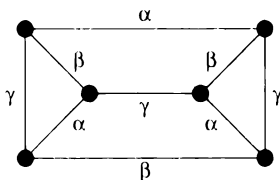
5.20. Тетраэдр, 4; октаэдр, 2; куб, 3; икосаэдр, 3; додекаэдр, 4.

5.21. Любой циклический граф с четным числом вершин; например, C_4 .

5.23. Мы докажем требуемый результат по индукции по числу стран. Этот результат тривиален для карт не более из шести стран. Пусть G — карта с n странами, и предположим, что все карты с $n-1$ странами являются 6-раскрашиваемыми-(f). По теореме Эйлера G содержит страну F , ограниченную не более чем пятью ребрами. Если мы сожжем F до точки, то полученный граф содержит $n-1$ стран и, таким образом, является 6-раскрашиваемым-(f). После этого 6-раскраска стран графа G получается путем раскраски F цветом, отличным от цвета (не более пяти) граней, окружающих F . Таким образом, граф G является 6-раскрашиваемым-(f).

5.25. Поскольку граф G содержит вершины степени 3, имеем $\chi'(G) \geq 3$.

На приведенной ниже диаграмме показана 3-реберная раскраска G , так что $\chi'(G) = 3$.



5.27. Хроматический индекс 2: 3, 6, 8, 13;

хроматический индекс 3: 4, 5, 7, 9, 10, 12, 15, 16, 17, 18, 20, 22, 23.

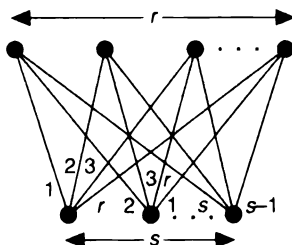
5.28. 1) Нижняя граница 2, верхняя граница 3, фактическое значение 3;

2) нижняя граница 7, верхняя граница 8, фактическое значение 7;

3) нижняя граница 6, верхняя граница 7, фактическое значение 6.

5.30. Предположим, что $r > s$ и что $K_{r,s}$ нарисован, как показано ниже, с s вершинами под r вершинами. Теперь последовательно раскрасим ребра с использованием цветов

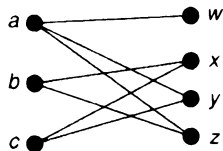
$\{1, 2, \dots, r\}, \{2, 3, \dots, r, 1\}, \dots, \{s, s+1, \dots, r, 1, 2, \dots, s-1\}$.



5.31. Так как G — регулярный граф степени 3, имеем $\chi'(G) \geq 3$. Чтобы получить 3-раскраску ребер G , окрашиваем ребра гамильтонова цикла попеременно красным и синим цветами, а затем остальные ребра окрашиваем зеленым цветом.

Глава 6, “Паросочетания, свадьбы и теорема Менгера”

6.1. 1)



2) $aw, bx, cy; aw, bz, cx; aw, bz, cy; ay, bz, cx; az, bx, cy.$

3)

A	\emptyset	a	b	c	ab	ac	bc	abc
$ A $	0	1	1	1	2	2	2	3
$ \varphi(A) $	0	3	2	2	4	4	3	4

Таким образом, $|A| \leq |\varphi(A)|$ для каждого подмножества A из $\{a, b, c\}$.

- 6.3. Первая, третья и четвертая вершины в V_1 вместе соединены только с двумя вершинами V_2 , и, следовательно, условие свадьбы не выполняется.
- 6.6. 1) Трансверсали отсутствуют. Частичными трансверсалиями являются \emptyset , 1, 2, 3, 4, 5, 12, 13, 14, 15, 23, 24, 25, 35, 123, 124, 125, 134, 135, 234, 235, 1234 и 1235.
- 2) Трансверсаль, например {1, 2, 4, 5}.
- 3) Трансверсали отсутствуют. Частичными трансверсалиями являются \emptyset , 1, 2, 3, 12, 13, 23 и 123.
- 4) Трансверсаль, например {1, 4, 2, 5}.
- 6.8. По результатам проверки мы можем найти восемь трансверсалий, каждая из которых опускает одну из восьми букв в слове *MATROIDS*. Например, опуская *M*, мы последовательно выбираем буквы *S, R, O, I, D, A, T*.
- 6.9. Имеется только одна трансверсаль, а именно — {1, 2, ..., 50}.

- 6.11. 1) Пусть $\mathcal{F} = (S_1, \dots, S_5)$. Тогда условие свадьбы не выполняется для $\{S_3, S_4\}$ и $\{S_2, S_3, S_4\}$.
- 2) Объединение любых k подмножеств содержит хотя бы один элемент, если $k = 1$ или 2; хотя бы два элемента, если $k = 3$; по меньшей мере четыре элемента, если $k = 4$; и пять элементов, если $k = 5$; и, таким образом, содержит не менее $k - 1$ элементов для любого значения k .

Но $t = 4, m = 5$, поэтому $k + t - m = k - 1$, как и требуется.

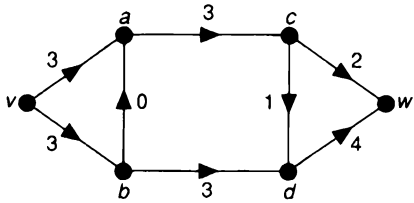
- 6.13. Реберная форма: результат истинный, с $k = 2$ для обоих графов.
 Вершинная форма: результат истинный, с $k = 2$ для обоих графов.

6.15. Подходящим значением k для каждого графа является 3.

- 6.18. 1) Разрезами являются $\{va, vb\}$, $\{va, ba, bd\}$, $\{va, ba, cd, dw\}$, $\{vb, ba, ac\}$, $\{vb, ba, cd, cw\}$, $\{ac, bd\}$, $\{ac, cd, dw\}$, $\{bd, cd, cw\}$ и $\{cw, dw\}$.

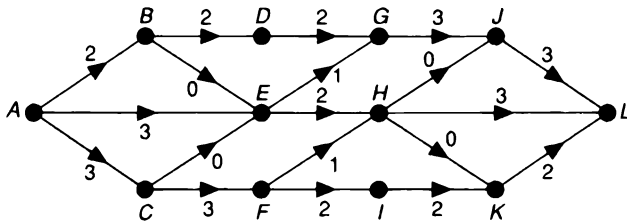
Единственным минимальным разрезом является $\{bd, cd, cw\}$ со значением пропускной способности, равным 24.

- 2) Соответствующий максимальный поток величиной 6 имеет следующий вид.



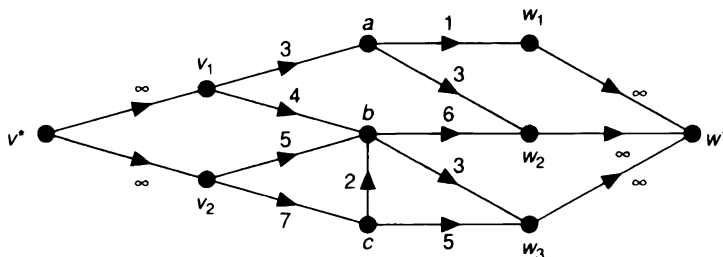
6.20. Разрез с пропускной способностью 8 — $\{BD, EG, EH, FH, FI\}$.

Поток величины 8 имеет следующий вид.



6.22. 1) Добавим новую исходную вершину v^* , соединенную со всеми источниками v_i с помощью дуг v^*v_i с бесконечной пропускной способностью, и новую вершину стока w^* , соединенную со всеми стоками w_j дугами w_jw^* с бесконечной пропускной способностью.

2)



Глава 7, “Матроиды”

7.1. 1) Возьмем матроид, в котором каждое подмножество E независимо, нет циклов и $r(A) = |A|$ для каждого подмножества A из E ; это *дискретный матроид*.

2) Возьмем матроид, в котором единственным независимым множеством является пустое множество. Циклами являются $\{a\}$, $\{b\}$, $\{c\}$, $\{d\}$, $\{e\}$, а функция ранга тождественно равна 0; это — *тривиальный матроид*.

3) Возьмем матроид, в котором независимые множества — подмножества E с нулем, одним, двумя или тремя элементами, циклы — подмножества с четырьмя элементами, и если A является подмножеством E , то тогда $r(A) = \min\{|A|, 3\}$; это — *3-однородный матроид*.

7.2. $M(G_1)$ имеет базы abd , acd и bcd ,

только один цикл abc

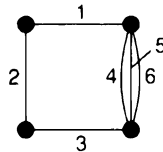
и независимые множества \emptyset , a , b , c , d , ab , ac , ad , bc , bd , cd , abd , acd и bcd .

$M(G_2)$ имеет базы $pqs, pqt, prt, pst, qrs, qrt, qst$ и prs ,
циклы pqr, rst и $pqst$

и независимые множества $\emptyset, p, q, r, s, t, pq, pr, ps, pt, qr, qs, qt, rs, rt, st, pqs, pqt, prt, pst, qrs, qrt, qst$ и prs .

- 7.4. 1) Частичными трансверсалиями являются $\emptyset, 1, 2, 3, 4, 5, 6, 12, 13, 14, 15, 16, 23, 24, 25, 26, 34, 35, 36, 123, 124, 125, 126, 134, 135, 136, 234, 235$ и 236 .

Эти частичные трансверсали являются независимыми множествами матроида $M(G)$, где G — следующий граф.



- 2) Базы представляют собой $123, 124, 125, 126, 134, 135, 136, 234, 235$ и 236 ;
циклы — $1234, 1235, 1236, 45, 46$ и 56 .

- 7.6. 1) Это непосредственно следует из упражнения 2.46.2 и определения разреза.

2) граф G_1 : a, b и c ; граф G_2 : $pr, ps, pt, qr, qs, qt, rs$ и rt .

- 7.8. С точностью до изоморфизма четырематроидами на $\{a, b\}$ являются следующие.

Базы	Независимые множества	Циклы
\emptyset	\emptyset	a, b
a	\emptyset, a	b
a, b	\emptyset, a, b	ab
ab	\emptyset, a, b, ab	—

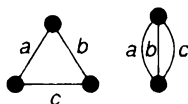
- 7.10. 1) Да: используя обозначения из упражнения 7.2,
 $M(G_1) = M(ab, bc, d)$ и $M(G_2) = M(pq, qrs, st)$.

2) Да:
 $M^*(G_1) = M(abc)$ и $M^*(G_2) = M(pqr, rst)$.

- 7.12. Если M — k -однородный матроид на E , то $M = M(\mathcal{F})$, где \mathcal{F} состоит из k копий E .

- 7.14. Циклами матроида Фано являются линии, такие как $\{1, 2, 4\}$, и дополнения к линиям, такие как $\{1, 2, 3, 6\}$.

- 7.16. 1) Единственной базой дискретного матроида на E является само множество E , так что единственной базой дуального ему матроида является \emptyset ; таким образом, дуальный матроид представляет собой тривиальный матроид на E .
- 2) $(n - k)$ -однородный матроид на том же множестве из n элементов.
- 7.19. Базы $M(K_3)$ являются ab , ac и bc , так что базами $(M(K_3))^*$ являются c , b и a . Таким образом, $M(K_3^*)$ изоморфен $(M(K_3))^*$.



- 7.20. 1) Коциклы являются подмножествами мощности 7; кобазы являются подмножествами мощности 6.
- 2) $M(G_1)$ имеет коциклы ab , ac , bc , d и кобазы a , b , c . $M(G_2)$ имеет коциклы pq , prs , prt , qrs , qrt , st и кобазы pr , ps , pt , qr , qs , qt , rs , rt .
- 3) Коциклы — 1 и 23, кобазы — 2 и 3.
- 4) Коциклы представляют собой 1236, 1257, 1467, 1345, 2347, 2456 и 3567, а кобазы — все подмножества из четырех элементов, содержащих строку, например 1247.

Предметный указатель

*“Мне пару слов всего лишь
Осталось дописать,
Сказать «спокойной ночи»
И лечь в свою кровать”.*
Роберт Геррик (Robert Herrick)

А

Автоморфизм, 48
Алгоритм, 75; 209
 время работы, 209
 жадный, 98
 Флёри, 63
Алмаз Биркгофа, 162

Б

Бесконечный граф, 40

В

Векторное пространство, 48
Вершина, 12; 21
 изолированная, 26
 инцидентные ребру вершины, 26
 конечная, 26
 разрезающая, 54
 смежные вершины, 26
 степень, 26
Вес ребра, 76

Г

Гамильтонов граф, 68
Гомеоморфность, 114
Грань, 119; 132
 бесконечная, 119
Граф, 12; 21
 к-раскрашиваемый, 137
 к-хроматический, 137
 бесконечный, 40
 локально конечный, 41
 локально счетный, 41
 эйлеров, 65

взвешенный, 76
внешнепланарный, 118
гамильтонов, 15; 68
грань, 132
Грëча, 73
двудольный, 35; 51
 полный, 36
дополнение, 28
дуальный, 125
 абстрактно, 128
 геометрически, 125
 по Уитни, 135
колесо, 34
компонент, 24
куб, 36
кубический, 35
матрица инцидентий, 29
матрица смежности, 29
многогранника, 121
множество вершин, 21
множество ребер, 21
несвязный, 24
нулевой, 33
обобщенный, 21
обхват, 59
ориентированный. См. *Ориенти-
рованный граф*
ориентируемый, 56
Петерсена, 35
планарный, 16; 111; 206
 раскраска, 141
платонов, 35
плоский, 111

- полный, 34
 полугамильтонов, 68
 полуэйлеров, 61
 последовательность степеней, 26
 простой, 14; 21
 разделяющее множество, 53
 разрез, 54
 раскраска, 137
 реберная связность, 54
 реберный, 48
 регулярный, 34
 род, 132
 самодополнительный, 48
 связный, 15; 24
 центр, 91
 счетный, 40
 толщина, 122
 тороидальный, 132
 хроматический индекс, 164
 хроматическое число, 137
 цепь, 34
 циклический, 34
 число пересечений, 114
 Эйлеров, 15; 61
 случайно обходимый, 67
 Группа автоморфизмов, 49
- Д**
- Двудольный граф, 35
 полный, 36
 Дерево, 16; 86
 корень, 100
 маркированное, 93
 остовное, 88
 дополнение, 88
 поиска, 100
 Дуга, 14; 38
 насыщенная, 186
- З**
- Задача
 выполнимости, 211
 китайского почтальона, 79
 коммивояжера, 81
 о гареме, 177
- о Кёнигсбергских мостах, 60
 о кратчайшем пути, 75
 о критическом пути, 77
 о минимальном остовном дереве,
 98
 о свадьбах, 171
 подсчета химических молекул, 91
- И**
- Изоморфизм, 22; 39
- К**
- Карта, 150
 раскрашиваемость, 151
 Колесо, 34
 Конфигурация
 неизбежное множество, 157
 сводимая, 159; 161
 Корень дерева, 100
 Коциклический ранг, 88
 Куб, 36
 Кубический граф, 35
- Л**
- Лемма
 Кёнига, 58
 о рукопожатиях, 27
 Линия, 21
- М**
- Маршрут, 14; 50; 55
 бесконечный
 двусторонний, 58
 односторонний, 58
 длина, 50
 замкнутый, 51
 конечная вершина, 50
 конечный, 58
 начальная вершина, 50
 путь, 51
 цепь, 51
 Матрица
 инцидентий, 29
 смежности, 29; 40
 Матроид, 194
 база, 194

- бинарный, 200
 векторный, 194
 графический, 199; 206
 двудольный, 199
 дискретный, 198
 дуальность, 203
 изоморфизм, 196
 кографический, 199
 коцикл, 205
 минор, 202
 независимое множество, 194
 ограничение, 202
 однородный, 198
 петля, 196
 планарный, 199
 представимый, 200
 разрез, 199
 ранг, 194
 регулярный, 200
 сужение, 202
 трансверсальный, 201
 тривиальный, 198
 Фано, 201
 цикл, 195
 циклический, 194; 198
 Эйлеров, 199
 Метод цепей Кемпе, 160
 Множество
 вершин, 22; 38
 независимое, 194
 разделяющее, 53
 разрез фундаментальное, 89
 циклов фундаментальное, 89
 Мост, 53
Н
 Нулевой граф, 33
О
 Обхват, 59
 Орграф. См. *Ориентированный граф*
 Ориентированный граф, 14
 базовый граф, 38
 гамильтонов, 15; 70
 изоморфность, 39
 матрица смежности, 40
 обратный, 42
 полугамильтонов, 70
 полустепень
 захода, 39
 исхода, 39
 простой, 38
 связный, 15; 39; 56
 сильно, 56
 турнир, 40
 Эйлеров, 15; 64
П
 Паросочетание совершенное, 172
 Перешеек, 53
 Петля, 14; 21
 Платоновы графы, 35
 Подграф, 27
 Поиск
 в глубину, 101; 102
 в ширину, 101
 Полный граф, 34
 Полустепень
 захода, 39; 185
 исхода, 39; 185
 Поток, 185
 величина, 186
 Путь, 15; 51
 вершинно-непересекающийся, 179
 критический, 79
 реберно-непересекающийся, 178
Р
 Разделяющее множество, 53
 Разрез, 53; 127; 186
 минимальный, 186
 пропускная способность, 186
 ранг, 88
 Разрезающая вершина, 54
 Ранг
 коциклический, 88
 разреза, 88
 циклический, 88

- Раскраска
 графов, 137
 карт, 150
- Расстояние между вершинами, 59
- Реберный граф, 48
- Ребро, 12; 21
 вес, 76
 кратное, 14; 21
 смежные ребра, 26
- Регулярный граф, 34
- Род поверхности, 131
- С**
- Связность, 53
- Связь, 95
- Семейство
 дуг, 38
 ребер, 22
- Сетевой график, 78
- Сеть, 185
 поток, 185
 пропускная способность, 185
 разрез, 186
- Стягиваемость, 115
- Счетный граф, 40
- Т**
- Теорема
 Брукса, 138
 Визинга, 164
 Дирака, 69
 Кейли, 93
 Кёнига, 167
 Менгера, 179; 180; 181
 Оре, 69
 о максимальном потоке и минимальном разрезе, 187
 о матричном дереве, 96
 о пяти цветах, 141
 о четырех красках, 156
 Понтрягина–Куратовского, 115
 Турана экстремальная, 84
 Тутте, 207
 Холла, 173; 183
- Точка, 21
- Трансверсаль, 174
 частичная, 175
- Треугольник, 51
- Турнир, 40
 неприводимый, 60
 транзитивный, 59
- У**
- Узел, 21
- Ф**
- Формула
 Эйлера, 120; 121
- Х**
- Хроматическая функция, 145
- Хроматический полином, 147
- Ц**
- Цепь, 34; 51
 путь, 51
 эйлерова, 64
- Цикл, 15; 51
 гамильтонов, 68
- Циклический граф, 34
- Циклический ранг, 88
- Цикломатическое число, 88
- Ч**
- Число
 цикломатическое, 88

“Вот и конец моего путешествия”.

Уильям Шекспир (William Shakespeare), “Макбет”

Алгоритмы: построение и анализ 3-е издание

**Томас Кормен,
Чарльз Лейзерсон,
Рональд Ривест,
Клиффорд Штайн**



www.williamspublishing.com

Фундаментальный труд известных специалистов в области информатики достоин занять место на полке любого человека, чья деятельность так или иначе связана с вычислительной техникой и алгоритмами. Для профессионала эта книга может служить настольным справочником, для преподавателя — пособием для подготовки к лекциям и источником интересных нетривиальных задач, для студентов и аспирантов — отличным учебником.

Строгий математический анализ и обилие теорем сопровождаются большим количеством иллюстраций, элементарными рассуждениями и простыми приближенными оценками. Широта охвата материала и степень строгости его изложения дают основания считать эту книгу одной из лучших книг, посвященных разработке и анализу алгоритмов.

Третье издание этого классического труда в большой степени доработано. В нем появились новые главы, в том числе посвященные такой важной в последнее время теме, как многопоточные алгоритмы, а старые подверглись переработке, местами весьма существенной, когда уже имевшийся во втором издании материал излагается с иных позиций, чем ранее.

Данная книга будет не лишней как на столе студента и аспиранта, так и на рабочей полке практикующего программиста.

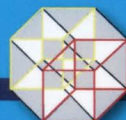
ISBN 978-5-8459-2016-4 в продаже

Отличное введение в популярную тему

Г. Джонс, Саутгемптонский университет

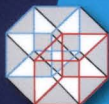
Если бы этой книги не было, ее нужно было бы написать!

Б. Купер, Университет Лидса



Я всегда считал книгу Уилсона незаменимым учебником по теории графов для студентов

Д. Шарп, Университет Шеффилда



В последние годы теория графов, являясь важным математическим инструментом в таких разнообразных областях знаний, как исследование операций, химия, социология или генетика, стала самостоятельным предметом. Книга Робина Уилсона широко используется в качестве учебника для бакалаврата по специальностям математика, информатика и экономика, а также в качестве введения в предмет для студентов не математических специальностей.

Вводные главы представляют собой базовый курс, содержащий определения и примеры. В них рассматриваются связность, эйлеровы и гамильтоновы пути и циклы, а также деревья. Далее следуют две главы о планарных графах и раскраске графов с отдельным рассмотрением проблемы четырех красок. Следующая глава посвящена теории трансверсалей и связности с приложениями к сетевым потокам. Последняя глава по теории матриц связывает воедино материал предыдущих глав. В приложении обсуждаются алгоритмы и их эффективность.

Текст этого нового издания был тщательно пересмотрен, а некоторые разделы были реорганизованы и перенумерованы. Добавлен новый материал, в частности относящийся к доказательству теоремы о четырех красках, к укреплению прямоугольных каркасов и к алгоритмам. Увеличено количество упражнений и представлено больше решений, чем ранее.

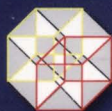
Робин Уилсон — заслуженный профессор математики в Открытом университете и заслуженный профессор геометрии в Грешем-колледже в Лондоне. Ранее работал в Кембл-колледже в Оксфордском университете, а сейчас преподает в Пемброк-колледже. Он известный популяризатор математики, написавший и отредактировавший почти 40 книг по теории графов, комбинаторике, истории математики и музыки.

Д АУДТЕХНИКА

www.williamspublishing.com

Prentice Hall Life
is an imprint of

PEARSON



ISBN 978-5-907144-75-0



9 785907 144750